

INSTITUTUL POLITEHNIC "TRAIAN VUIA" TIMISOARA  
FACULTATEA DE ELECTROTEHNICA

ING. GHEORGHE CIOCLODA

CONTRIBUTII PRIVIND  
MASURAREA SI PRELUCRAREA POTENTIALELOR BIOLOGICE  
PENTRU  
ANALIZA AUTOMATA A TULBURARILOR DE RITM CARDIAC

Conducător științific  
PROF. DR. ING. EUGEN POP

TIMISOARA  
- 1981 -

## I N T R O D U C E R E

Dezvoltarea cunoștiințelor medicale de fiziologie și patologie și a metodelor de diagnostic, tratament și chirurgicale a fost direct corelată, în secolul nostru, cu dezvoltarea informaticii medicale, a electronicii și aparaturii puse de aceasta la dispoziție.

Dintre marile beneficii pe care dezvoltarea electronicii le-a adus medicinei, cardilogia și-a însușit o multitudine de metode tehnice și se poate afirma fără greși că avantajele au fost reciproce, cerințele diagnostului și terapiei cardiovasculare stimulând dezvoltarea, perfeționarea și elaborarea de noi apărate electronice medcale.

Domeniul analizei automate a electrocardiogramelor a-a dezvoltat continuu și o varietate de abordări ale acestuia și-a făcut loc în revistele de specialitate. Aparatura electronică medicală destinată prelucrării electrocardiogramelor existentă pe plan mondial se poate clasifica în două mari categorii, și anume :

- Sisteme cu mare putere de calcul prin care se face o analiză de finețe a traseelor ECG. Problema principală a acestor sisteme o constituie programele de analiză și interpretare.

- Sistemele de supraveghere și control. Scopul acestora este de a monitoriza continuu principali parametri ce caracterizează sistemele cardiovasculare, în vederea detectării imediate a unor anomalii care ar putea afecta starea subiectului, precum și în furnizarea unor informații, ușor de interpretat, asupra stării sistemului cardiovascular în momentul respectiv.

Ambele sisteme conțin module de analiză a tulburărilor de ritm cardiac. Analiza tulburărilor de ritm cardiac este de o importanță deosebită deoarece aritmiile cardiace reprezintă o cauză de morbiditate și mortalitate majoră în patologie.

Lucrarea de față tratează problema analizei automate a tulburărilor de ritm cardiac.

Problemele au fost tratate pe parcursul a șase capitole care se referă la :

1. Caracteristicile sistemelor de culegere a biopotențialelor.
2. Studiul sistemului cardiovascular în vederea sistematizării parametrilor ce caracterizează aritmiiile cardiaice.
3. Influența rețelei de alimentare în măsurarea biopotențialelor.
4. Studiul filtrelor numerice sub aspect teoretic și mai ales practic în vederea elaborării unui algoritm de analiză spectrală numerică a undei ECG.
5. Elaborarea a doi algoritmi pentru analiza automată a ritmului cardiac.
6. Conceperea, proiectarea și realizarea a două monitoare de ritm cardiac.

Se subliniază că preocupările în domeniul analizei ritmului cardiac nu sunt numai de dată recentă în cadrul Institutului Politehnic din Timișoara. Primele cercetări au fost inițiate de prof.dr.ing. Pop Eugen și au avut drept obiectiv elaborarea unui monitor portabil de ritm cardiac.

Cercetări în domeniul analizei ritmului cardiac s-au făcut și la Institutul Politehnic București sub conducerea prof.dr.doc. Edmond Nicolau [105].

Pot fi semnalate, de asemenea, unele contribuții ale autorului în legătură cu analiza tulburărilor de ritm cardiac, [15][16][23][24][25][29][31][34].

Lucrarea de față se aliniază în cadrul acestor preocupații. Ea constituie rezultatul unei activități susținute din partea autorului, concentrată mai cu seamă, în ultimii doi ani, sub îndrumarea competentă și plină de înțelegere a conducerului, prof.dr.ing. Eugen Pop.

Pentru sfaturile și îndrumările primite pe întreaga durată a pregătirii doctoratului, pentru sprijinul profesional și moral acordat cu prilejul elaborării tezei, autorul îi aduce calde mulțumiri și îi rămîne profund îndatorat.

C U P R I N S

	<u>Pag.</u>
<b>Cap.1. CARACTERISTICILE SISTEMELOR DE CULEGERE A BIOPOTENTIALELOR</b>	
1.1. Introducere . . . . .	1
1.2. Comportarea electrică a electrozilor . . . . .	3
1.3. Principalele surse de erori introduse de electrozi în sistemele de măsură a biopotentialelor . . . . .	6
1.3.1. Impedanța electrozilor . . . . .	6
1.3.2. Deriva și zgometul electrozilor. . . . .	11
<b>Cap.2. SISTEMUL CARDIOVASCULAR</b>	
2.1. Introducere . . . . .	14
2.2. Activitatea electrică a inimii . . . . .	15
2.3. Activarea miocardului . . . . .	16
2.4. Producerea curentilor bioelectrici. . . . .	18
2.5. Metode de măsurare a vectorului cardiac . . . . .	20
2.6. Tulburările ritmului cardiac. . . . .	26
<b>Cap.3. INFLUENȚA RETELEI DE ALIMENTARE ÎN MASURAREA BIOPOTENTIALELOR, AMPLIFICATOARE DE MASURA</b>	
3.1. Introducere . . . . .	30
3.2. Sursele de interferență . . . . .	30
3.2.1. Inductia electromagnetică. . . . .	32
3.2.2. Curentii de deplasare între conductoare. . . . .	33
3.2.3. Curentii de deplasare în interiorul corpului . . . . .	35
3.3. Amplificatoare de măsură . . . . .	37
3.3.1. Factorul de rejecție pe mod comun . . . . .	37
3.3.2. Impedanța de intrare . . . . .	39
3.4. Alte metode de eliminare a zgometelor . . . . .	45
<b>Cap.4. APLICATIILE FILTRELOR NUMERICE ÎN MEDICINA</b>	
4.1. Introducere . . . . .	46
4.2. Prelucrarea electrocardiogramelor . . . . .	47
4.2.1. Eliminarea zgometului introdus de reteaua de alimentare . . . . .	48

4.2.2. Analiza spectrală numerică a undei ECG . . .	51
4.2.3. Măsurarea parametrilor caracteristici undei ECG .	54
<b>Cap.5. ALGORITMI PENTRU ANALIZA AUTOMATA A TULBURA-</b>	
<b>RILOR DE RITM CARDIAC</b>	
5.1. Introducere . . . . . . . . . . . . . . . . . . .	62
5.2. Algoritm pentru determinarea activității fizice .	63
5.3. Algoritm bazat pe analiza morfologică a undei ECG .	64
5.3.1. Descrierea metodei . . . . . . . . . . . . . .	64
5.3.2. Rezultate experimentale. . . . . . . . . . . .	67
5.4. Algoritm de identificare a ritmului cardiac de bază prin metode statistice. . . . . . . . . .	75
5.4.1. Introducere . . . . . . . . . . . . . . . . .	75
5.4.2. Modelarea ritmurilor de bază. . . . . . . .	76
5.4.3. Filtrul Kalman . . . . . . . . . . . . . . . .	79
5.4.4. Algoritmul de calcul . . . . . . . . . . . . .	81
5.4.5. Rezultate experimentale. . . . . . . . . . . .	85
5.5. Concluzii . . . . . . . . . . . . . . . . . . .	89
<b>Cap.6. SISTEME DE SUPRAVEGHERE SI CONTROL</b>	
6.1. Introducere . . . . . . . . . . . . . . . . . . .	89
6.2. Monitor portabil pentru analiza automată a ritmului cardiac. . . . . . . . . . . . . . . . . . .	95
6.2.1. Obiectivele impuse . . . . . . . . . . . . . .	95
6.2.2. Descrierea metodei . . . . . . . . . . . . . .	97
6.2.3. Descrierea monitorului . . . . . . . . . . . .	98
6.2.4. Prelucrarea informațiilor. Rezultate expe- rimentale .	105
6.3. Monitor pentru analiza automată a arit- miilor .	109
6.3.1. Metoda de identificare și clasificare a extrasistolelor. Parametrii caracteris- tici monitorului . . . . . . . . . . . . . . . . . .	109
6.3.2. Descrierea sistemului de analiză . . . . .	112
6.3.3. Rezultate experimentale . . . . . . . . . . .	126

' 6.4. Concluzii . . . . .	127
Cap.7. C O N C L U Z I I . . . . .	128
Anexa 1. PROGRAM FORTRAN PENTRU ANALIZA SPECTRALA NUMERICA A UNDEI ECG . . . . .	135
Anexa 2. PROGRAM FORTRAN PENTRU ANALIZA AUTOMATA A TULBURARILOR DE RITM CARDIAC PRIN ANALIZA MORFOLOGICA A UNDEI ECG. . . . .	143
Anexa 3. PROGRAM FORTRAN DE IDENTIFICARE A RITMULUI CARDIAC DE BAZA PRIN METODE STATISTICE. . . .	155
B I B L I O G R A F I E . . . . .	174

## CAPITOLUL I

### CARACTERISTICILE SISTEMELOR DE CULEGERE A BIOPOTENȚIALELOR

#### 1.1. Introducere

Culegerea biopotențialelor celulelor sau a ţesuturilor biologice, excitarea acestora cu ajutorul curentului electric sau măsurarea unor parametrii electrici ai ţesuturilor se face prin intermediul unor electrozi fixați în sau pe ţesut.

Există o mare varietate de electrozi, determinată de locul culegerii sau excitării, de natura ţesutului, de felul înregistrării, de natura tensiunii culese sau a curentului de excitare utilizat, de durata fixării electrozilor, etc., [2], [35], [50].

Cercetările experimentale făcute de autor în măsurarea potențialului electric generat de inimă arată să sistemul de culegere afectează foarte mult precizia măsurării (autorul a utilizat același amplificator de măsură și trei tipuri de electrozi ; din otel inoxidabil, din argint și electrozi Hewlett Packard Nr.14248A).

In urma analizoi morfologică a electrocardiogramelor, corespunzătoare derivației D<sub>2</sub> a accluiașii subiect, s-a constatat:

- în primele trei minute din momentul fixării electrozilor, o fluctuație foarte pronunțată a liniei izoelectricice și un zgomot de 50 Hz excesiv de mare (undele P și T erau complet încăteate în zgomot) în cazul cînd s-au utilizat electrozi din argint.

- după 8 minute din momentul fixării electrozilor, o stabilizare perfectă a liniei izoelectricice și eliminarea aproape completă a zgomotului în cazul utilizării electrozilor din argint. Cînd s-au folosit electrozi din otel inoxidabil linia izoelectrică mai prezenta mici fluctuații, iar zgomotul de 50 Hz s-a redus considerabil (undele P și T puteau fi recunoscute, dar începutul și sfîrșitul acestor unde erau greu de localizat).

- apariția unui zgomot suplimentar în momentul mișcării membrelor de către subiect, cînd s-au utilizat electrozi din oțel inoxidabil și din argint (aceștia au fost fixați cu benzi de cauciuc). Acest efect nu a apărut cînd s-au folosit electrozi de tipul Hewlett Packard.

- amplitudinea undelor P, T și a complexului QRS erau mai mici cînd s-au utilizat electrozi de tipul Hewlett Packard.

- în toate cele 3 cazuri se putea ușor identifica complexul QRS.

Pe baza acestor constatări autorul ajunge la concluzia că în cazurile în care interesează numai caracterul globul ol activității electrice a țesuturilor biologice și nu mărimea sau alura exactă se poate tolera o anumită instabilitate a sistemului de culegere. În studiile în care se urmăresc înregistrări riguroase, sistemul de culegere trebuie să asigure măsurări de precizie.

În literatura de specialitate se arată fenomenele care limitează performanțele sistemului de culegere, ca : supratensiunea ce apare în condiții de neechilibru electrochimic, polarizarea electrozilor, efectul toxic al materialului din care este confectionat electrodul asupra țesuturilor, efectul catalitic al metalului din electrod asupra unor reacții metabolice din țesut, zgomotul electrochimic, etc.

Wetter, [35], definește patru mecanisme fizice independente care duc la creșterea supratensiunii electrozilor, și anume :

1. Procesul de transfer al sarcinii prin stratul dublu electric (strat format la interfața electrod-electrolit).

2. Difuzia reactanților spre electrod și de la electrod spre soluție.

3. Reacțiile chimice care au loc la suprafața electrodului.

4. Procesul de captare sau de pierdere a atomilor metallici în sau din electrod care duce la apariția unei supratensiuni de cristalizare.

Primele trei componente ale supratensiunii depind de densitatea curțntului ce trece prin electrod. Supratensiunea de cristalizare depinde de urmele de impurități active, de neuniformitatea suprafeței metalului, de grosimea stratului

dublu electric. Practic această componentă este foarte mică. Ponderea cea mai mare în supratensiune este dată de supratensiunea de difuzie, cînd densitatea curentului prin electrod este mare. În condiții apropiate de echilibru, dominantă este supratensiunea datorită transferului de sarcină.

Analizînd minuțios aceste procese, autorul face un studiu aprofundat al comportării electrice a electrozilor. Pe bază acestui studiu, autorul stabilește și tratează principalele surse de erori introduse de electrozi în sistemele de măsură a biopotențialelor.

### 1.2. Comportarea electrică a electrozilor

Deoarece în stratul dublu electric (strat format la interfața electrod-electrolit), [47], [53], [102], se face treacerea din la conductia ionică la cea electronică putem echivala acest strat printr-un condensator cu capacitatea  $C_H$  în paralel cu o rezistență  $R$ . Valoarea capacității depinde de valoarea curentului prin electrod în starea de echilibru electrochimic.

Autorul demonstrează relațiile de calcul pentru rezistența datorată transferului de sarcină ( $R_t$ ) și datorată procesului de difuzie ( $R_d$ ).

Dacă considerăm că supratensiunea datorită transferului de sarcină ( $\eta_t$ ) are ponderea cea mai mare în supratensiunea totală ( $\eta$ ), afirmație valabilă cînd densitatea curentului de schimb prin celulă  $J_o$  este mică, legătura dintre supratensiunea  $\eta_t$  și densitatea curentului prin electrod  $J$  este dată, [35], de relația :

$$\frac{J}{J_o} = \exp\left(\frac{\alpha Z \eta_t^F}{RT}\right) - \exp\left(\frac{-(1-\alpha)Z \eta_t^F}{RT}\right) \quad (1.1)$$

unde : -  $\alpha$  este coeficientul de transfer ( $0 \leq \alpha \leq 1$ ) ;

$F$  este numărul lui Faraday ;

$Z$  este valența ionului ;

$T$  este temperatura absolută ;

$R$  este constanta gazelor.

Pentru semnal mic, cînd curentul prin electrod corespunzător stării de echilibru este astfel încît  $\eta_t \ll RT/\alpha ZF$ , rezistența  $R_t$  este dată de relația :

$$R_t = \frac{\partial \eta_t}{\partial I} = \frac{RT}{ZF} \cdot \frac{1}{I_0} \quad (1.2)$$

Pentru curenți mari ecuația (1.1) ia forma :

$$\frac{J}{J_0} = \exp\left(\frac{\alpha Z \eta_t F}{RT}\right) \quad (1.3)$$

și  $R_t$  este dat de :

$$R_t = \frac{RT}{\alpha Z F} \cdot \frac{1}{I} \quad (1.4)$$

Pentru exemplificare, considerind  $\alpha = Z = 1$  și  $I = 100 \mu A$  rezultă  $R_t = 260 \Omega$ , iar cînd  $I = 10 \mu A$  rezultă  $R = 2,6 \text{ k}\Omega$ . În fig.1.1.a este reprezentat circuitul electric echivalent al electrodului, circuit care constă din 2 elemente independente de frecvență, dar care depind nelinier de curentul prin electrod în starea de echilibru.

Pentru cazul cînd se iau în considerare și efectele datorită procesului de difuziune este necesar să se introducă încă 2 elemente ca în fig.1.1.b.

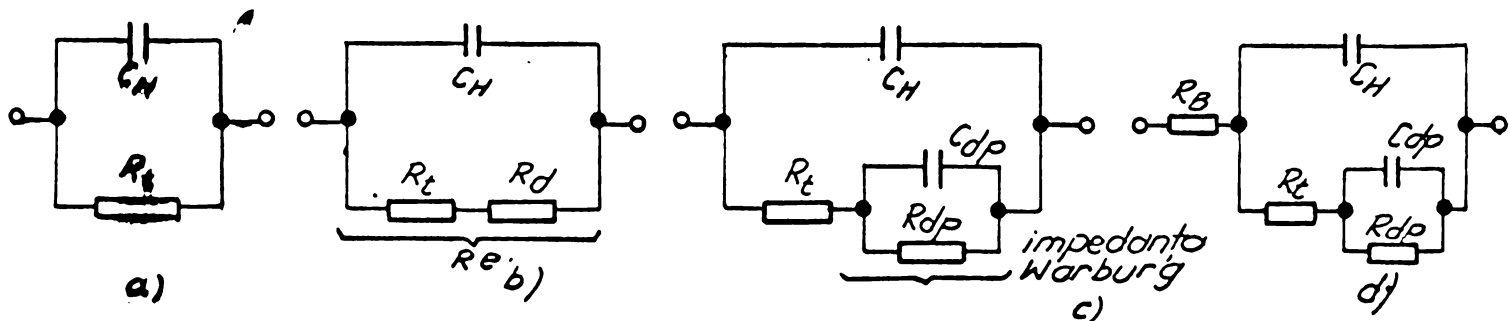


Fig. 1.1.

Fig.1.1

Supratensiunea datorită procesului de difuzie  $\eta_d$  este dată, [35], de relația :

$$\frac{J}{J_s} = 1 - \exp\left(-\frac{|\eta_d| Z F}{RT}\right) \quad (1.5)$$

unde  $J_s$  este densitatea de curent de saturatie ce corespunde vitezei maxime cu care ionii pot fi transportați la electrod din masa soluției. Din relația 1.5 rezultă formula pentru rezistență datorită procesului de difuzie :

$$R_d = \frac{\partial \eta_d}{\partial I} = \frac{kT}{ZF} \cdot \frac{1}{I_s - I} \quad (1.6)$$

Presupunind că efectele datorită difuziei și transferului de sarcină sunt aditive și condițiile sunt foarte apropiate de echilibru ( $\eta = 0$ ) se poate arăta că  $R_e = R_t + R_d$  este dată de expresia :

$$R_e = \frac{RT}{ZF} \left( \frac{1}{I_s} + \frac{1}{I_o} \right) \quad (1.7)$$

Pentru cazul cînd curentul I are o astfel de valoare încît  $\eta \gg RT/\alpha ZF$ , formula de calcul pentru  $R_e$  se obține din însumarea relațiilor 1.4 și 1.6 :

$$R_e = \frac{RT}{ZF} \left( \frac{1}{I_s - I} + \frac{1}{\alpha I} \right) \quad (1.8)$$

Relația (1.5) este valabilă doar în cazul cînd variația curentului prin electrod este foarte lentă. Deci, ecuațiile (1.7) și (1.8) se pot aplica numai în cazul cînd frecvența acumalului de măsurat este foarte joasă. Pentru frecvențe înalte este necesar să se considere efectele reactive care apar prin procesul de difuzie.

Warburg, [35], a făcut analiza distribuției concentrației rezultă prin aplicarea unui curent sinusoidal printr-un electrod metal-electrolit ideal. El arată că impedanța datorită difuziei poate fi reprezentată printr-un condensator și un rezistor în serie. În condiții apropiate de echilibru, valorile pentru aceste elemente sunt date de relațiile :

$$R_{ds} = \frac{RT}{Z^2 F^2} \cdot \frac{1}{\sqrt{2\omega}} \frac{1}{C_0 \sqrt{D}} \quad (1.9)$$

$$C_{ds} = \frac{Z^2 F^2}{RT} \sqrt{\frac{2}{\omega}} \cdot C_0 \sqrt{D} \quad (1.9)$$

unde D este coeficientul de difuzie,  $\omega$  este pulsăția și  $C_0$  este concentrația ionică în condiții de echilibru. Se observă că :

$$R_{ds} \cdot C_{ds} = \frac{1}{\omega} \quad (1.10)$$

O reprezentare mai bună din punct de vedere fizic a impedanței Warburg este circuitul RC paralel (fig.1.1.c). Expresiile de calcul pentru acest ultim caz sunt :

$$R_{dp} = \frac{RT}{Z_F^2} \cdot \sqrt{\frac{2}{\omega}} \cdot \frac{1}{C_0 \sqrt{D}}$$
$$C_{dp} = \frac{Z_F^2}{RT} \cdot \frac{1}{\sqrt{2\omega}} \cdot C_0 \sqrt{D}$$

adică,

$$R_{dp} \cdot C_{dp} = \frac{1}{\omega} \quad (1.12)$$

Efectul polarizării ohmice poate fi inclus în circuitul echivalent prin adăugarea unui rezistor  $R_B$  în serie (fig.1.1.d)

Din cele prezentate mai sus se poate observa că la frecvențe foarte mari impedanța semicelulei este determinată de  $C_H$  și  $R_B$ .

La deducerea circuitului electric echivalent nu s-au luat în considerare efectele supratensiunilor datorate reacțiilor posibile și a cristalizării. Acestor efecte le corespund elemente RC în serie cu impedanța Warburg. Relațiile de calcul a acestor elemente în funcție de frecvență sunt complexe și este foarte dificil de apreciat contribuția acestora la impedanța totală a semicelulei.

### 1.3. Principalele surse de erori introduse de electrozi în sistemele de măsură a biopotențialelor

In acest paragraf autorul prezintă și tratează sursele de erori introduse de sistemul de culegere a biopotențialelor. Pe baza unui studiu aprofundat, autorul ajunge la concluzia că aceste erori depind atât de impedanța electrozilor, cât și de deriva și zgomotul acestora.

#### 1.3.1. Impedanța electrozilor

Impedanța electrozilor poate influența foarte mult acuratețea măsurărilor. Efectele acestora se manifestă sub trei aspecte :

a) Primul și cel mai evident este acela că atenuează semnalul bioelectric. Din acest motiv impedanța de intrare a amplificatorului trebuie să fie mult mai mare decât impedanța internă a sursei de semnal ( $\approx 300 \text{ k}\Omega$ ).

b) Al doilea aspect se manifestă datorită dezechilibrului inevitabil între impedanțele electrozilor. Acest dezechilibru face ca factorul de rejecție pe mod comun al sistemului electrod-amplificator să se reducă substanțial față de factorul de rejecție al amplificatorului.

Este cunoscut faptul că în măsurările ECG apare întotdeauna o interferență între semnalul util și zgomotul de 50 Hz. În fig.1.2.a se arată schema de principiu a măsurării ECG-lui (derivația standard  $D_2$ ) și modul în care apare interferența zgomotului datorită cuplajului capacativ ce există între subiect și rețeaua de tensiune. În fig.1.2.b s-a reprezentat circuitul echivalent pentru calculul factorului de rejecție efectiv (CMR') al sistemului electrod-amplificator. În

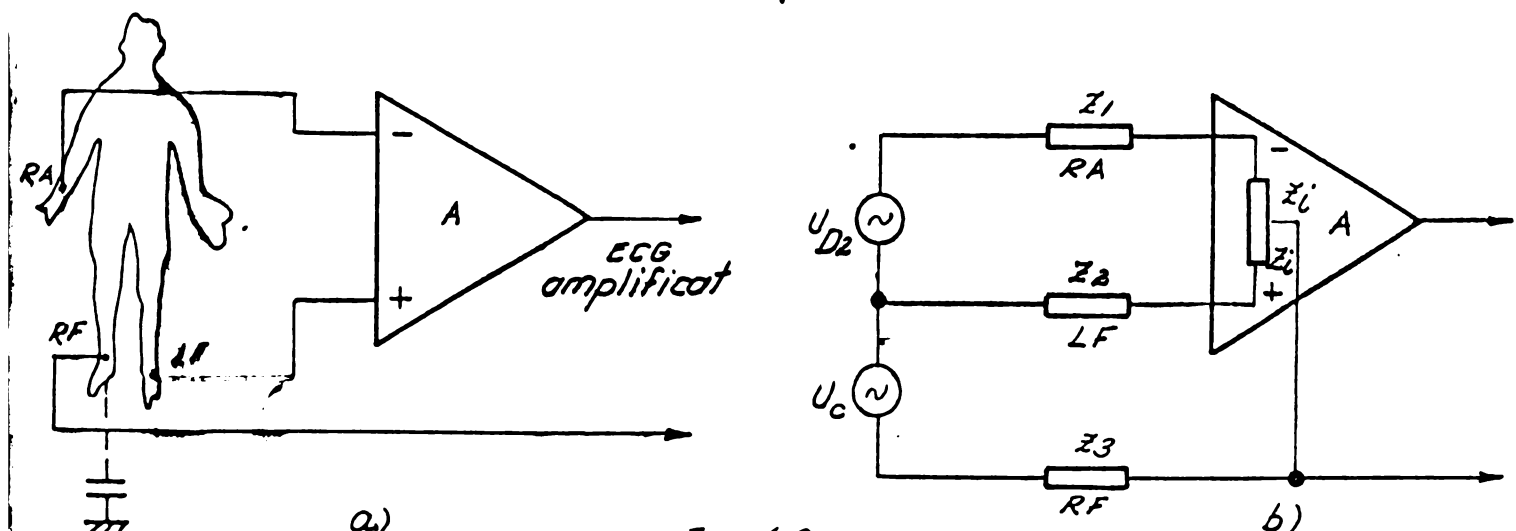


Fig. 1.2.

Fig.1.2

această schemă s-a notat : cu  $U_{D2}$  diferența dintre potențialul reperat de electrodul conectat la piciorul stîng ( $V_{LF}$ ) cu impedanță  $Z_1$  și potențialul recoltat de electrodul conectat la mîna dreaptă ( $V_{RA}$ ) cu impedanță  $Z_2$  ; cu  $U_C$  tensiunca de mod comun care poate fi de cîteva ori mai mare decît mărimea semnalului ECG (0,1 - 3 mV); cu  $Z_i$  impedanța de intrare pe mod comun a amplificatorului utilizat. În funcție de aceste mărimi și de factorul de rejecție al amplificatorului (CMR) se va calcula factorul de rejecție al întregului ansamblu (CMR'). Pentru simplificare considerăm că impedanțele  $Z_1$ ,  $Z_2$ ,  $Z_3$  și  $Z_i$  sunt reale și le notăm cu :  $R_1$ ,  $R_2$ ,  $R_3$  respectiv  $R_i$ . Din fig.1.2.b se observă că tensiunea  $U_C$  face ca semnalul diferen-

țial aplicat la intrarea amplificatorului să crească cu :

$$U_i = U_c \left( \frac{R_i}{R_1+R_i} - \frac{R_i}{R_2+R_i} \right) \quad (1.13)$$

Tinind cont de factorul de rejecție al amplificatorului (CM.R), rezultă că tensiunea de intrare diferențială echivalentă este suma dintre  $U_i$  și  $U_c/\text{CM.R}$ . Dacă  $R_i \gg R_1, R_2$  această sumă este dată de expresia :

$$U'_i = U_c \left( \frac{R_2-R_1}{R_i} \right) + \frac{U_c}{\text{CM.R}} \quad (1.14)$$

Rezultă că factorul de rejecție al sistemului este

$$\frac{1}{\text{CM.R}'} = \frac{1}{\text{CM.R}} + \frac{R_2-R_1}{R_i} \quad (1.15)$$

Se observă din această relație că  $\text{CM.R}' < \text{CM.R}$ . Ca exemplu, pentru un amplificator cu un CMR =  $10^5$  (100 dB),  $R_i = 10 \text{ k}\Omega$  și rezistențele electrozilor de  $10 \text{ k}\Omega$  cu o variație maximă de 20% ( $R_2-R_1 = 2 \text{ k}\Omega$ ) factorul de rejecție al sistemului este  $3 \cdot 10^3$ .

Se observă o reducere substanțială a CM.R'-ului. Având în vedere că impedanțele electrozilor în măsurările ECG sunt cuprinse între  $1 \text{ k}\Omega$  și  $50 \text{ k}\Omega$  și că este posibil să existe un dezechilibru de  $10 \text{ k}\Omega$ , este necesar ca CMR-ul amplificatorului și rezistența de intrare pe mod comun comun să fie mult mai mare.

c) Al treilea aspect apare în măsurările ECG cînd se utilizează derivațiile augmentate și se dătoresc folosirii rezistențelor de mediere. Aceste rezistențe, conectate între electrozi, pot introduce erori în sistemul de măsură. Pentru exemplificare consider derivația AVR. În fig.1.3.a este reprezentat circuitul de măsură pentru AVR, iar în fig.1.3.b circuitul echivalent. În această figură s-a notat: cu  $V_{RA}$ ,  $V_{LA}$ ,  $V_{LF}$  potențialele reciproce de cei trei electrozi conectați la mîna dreaptă, mîna stîngă și piciorul stîng ; cu  $Z_1$ ,  $Z_2$ ,  $Z_3$  impedanțele corespunzătoare celor 3 electrozi ; cu  $Z_i$  impedanța de intrare pe mod comun a amplificatorului utilizat și cu  $k$  cele 2 rezistențe de mediere.

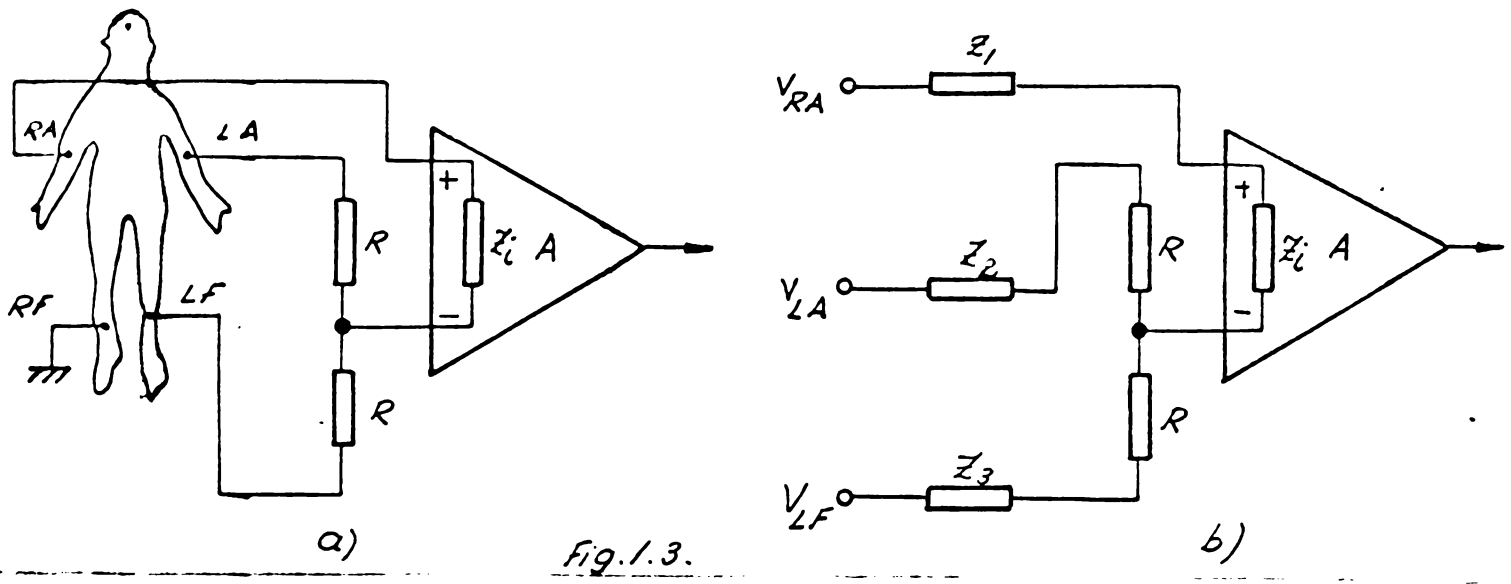


Fig.1.3.

Fig.1.3

Rezistențele  $R$  au rolul de a aplica la intrarea inversoare a amplificatorului un potențial egal cu  $(V_{LF} + V_{LA})/2$ . Diferența de potențial ideală aplicată la intrarea amplificatorului va fi egală cu :  $V_{RA} - (V_{LF} + V_{LA})/2$ . Acest lucru este valabil numai dacă diferența dintre impedanțele electrozilor conectați la piciorul stîng și brațul stîng este foarte mică în comparație cu  $R$  și  $Z_i$  este foarte mare față de  $R$ , adică :

$$|Z_2| - |Z_3| \ll R \ll Z_i \quad (1.16)$$

Tinînd cont de această inegalitate, valorile lui  $R$  sunt cuprinse între 5 și 50 k $\Omega$ . Prin utilizarea acestora precizia măsurării nu este prea mare. Pentru a se obține o precizie mai bună, în cazul utilizării derivațiilor augmentate, se utilizează amplificatoare tampon fixate chiar pe electrozi și cu un amplificator sumator se realizează suma a două potențiale (în cazul derivației aVR :  $(V_{LF} + V_{LA})/2$ ).

Pentru reducerea erorilor sunt preferați electrozi cu impedanță mică. Aceasta depinde foarte mult și de suprafața de contact dintre electrod și piele. (Dacă pielea este uscată impedanța electrodului poate atinge inițial valoarea de 50 k $\Omega$ ). Electrozii cu suprafață mică au impedanță mare. Din acest motiv pot apărea distorsiuni ale biopotențialului înregistrat, mai ales în cazul în care impedanța amplificatorului este mică. Electrozii cu suprafață mare au avantajul unei impedanțe mici,

însă, dacă suprafața lor este prea mare, ei devin sensibili la mișcările subiectului. În fig.1.4 se arată dependența impedanței electrodului de argint în funcție de frecvență și de suprafața electrodului [121].

Pentru stabilirea unui contact sigur cu impedanță mică, adesea se utilizează o pastă de contact (gelatină) între electrod și țesut. Astfel se asigură o stabilitate mecanică a interfeței electrod-electrolit și prin aceasta crește stabilitatea electrică a electrodului. Rezistența serie introdusă de pastă este mică ( $\approx 40\Omega$ ) și nu afectează precizia măsurării.

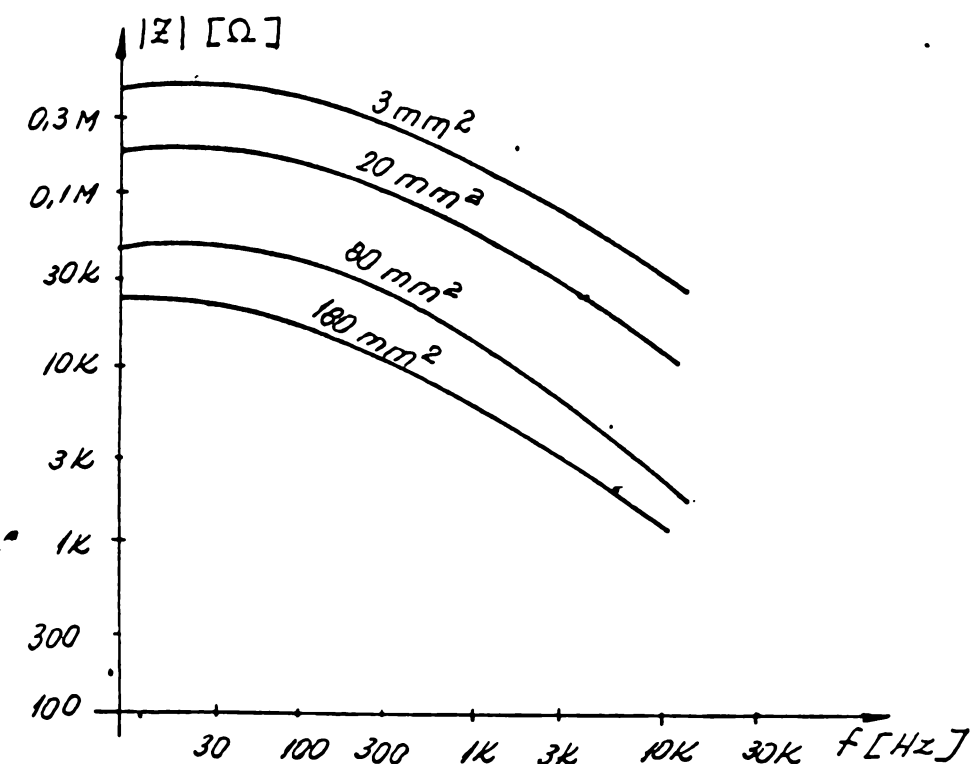


Fig.1.4

Un electrod foarte practic (electrod multipuncte) pentru măsurarea ECG-ului a fost realizat de Lewes [50]. Acesta constă dintr-un grătar de puncte metalice foarte fine din oțel inoxiașabil. Cu un astfel de electrod se realizează circa 1000 puncte cu contact activ. Aceste contacte se realizează prin strâpungerea stratului exterior al pielii. Rezultatele experimentale arată că acest tip de electrod se comportă la fel de bine ca un electrod cu pastă, adică asigură impedanță mică. Electrozi multipuncte se utilizează în cazurile în care este nevoie ca fixarea electrozilor și înregistrarea ECG-ului să se

facă într-un timp foarte scurt (la acest tip de electrod nu este nevoie ca pielea să fie degresată și să se pună pastă). De asemenea, se utilizează în condiții de joasă temperatură și presiune, condiții în care ionele grău nu nu pătrunde puțin de contact.

Trebuie precizat faptul că impedanța electrodului diferă de la subiect la subiect și de locul unde se fixează pe corp. Cercetările experimentale pe mai mulți subiecți arată că la 2% din subiecți impedanța a fost mai mare de  $100\text{ k}\Omega$ . În fig. 1.5 se arată cum variază componentele impedanței electrodului în funcție de locul unde a fost fixat electrodul [50]. Măsurările au fost făcute după 2 minute de la fixarea electrodului. Punctele de pe grafic reprezintă media geometrică a măsurărilor făcute pe 20 subiecți.

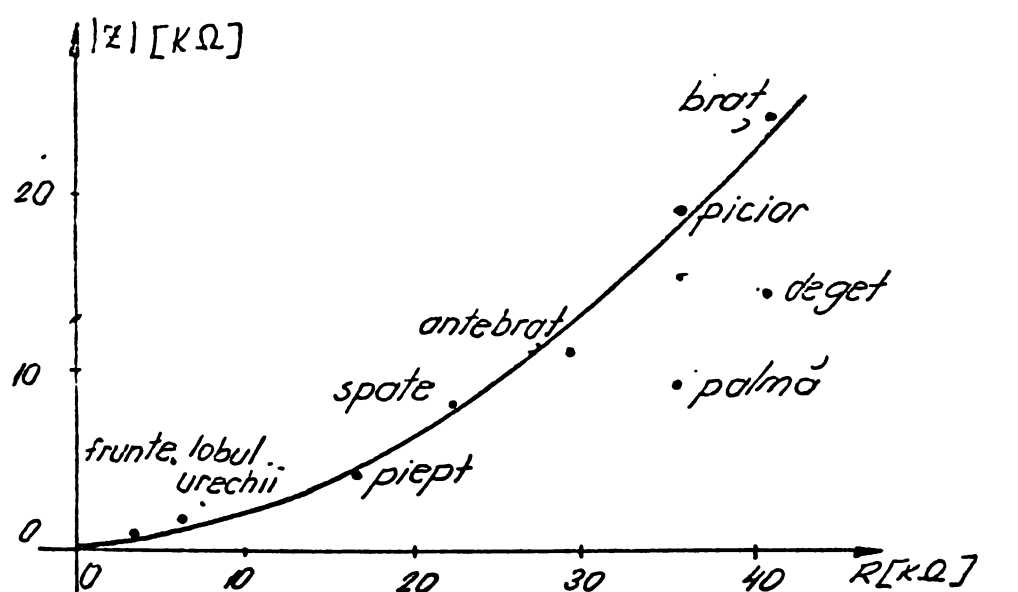


Fig. 1.5.

Fig. 1.5

### 1.3.2. Deriva și zgomotul electrozilor

O altă sursă de erori în măsurarea biopotențialelor o constituie deriva și zgomotul electrozilor.

Deriva apare datorită variației lente a potențialului electrodului pentru atingerea echilibrului electrochimic. În fig. 1.6 se arată deriva pentru 3 tipuri de electrozi, [121].

Deriva, în general, se amortizează în cîteva ore. Procesul poate fi accelerat prin introducerea electrozilor, înainte de a fi utilizati, într-o soluție de ser fiziologic cu concentrație de 0,9% NaCl. Practic după circa 15 minute de la fixare eroarea introdusă de derivă devine neglijabilă. Electrozii de Ag/AgCl și Cu sunt comparabili din punct de vedere al derivei

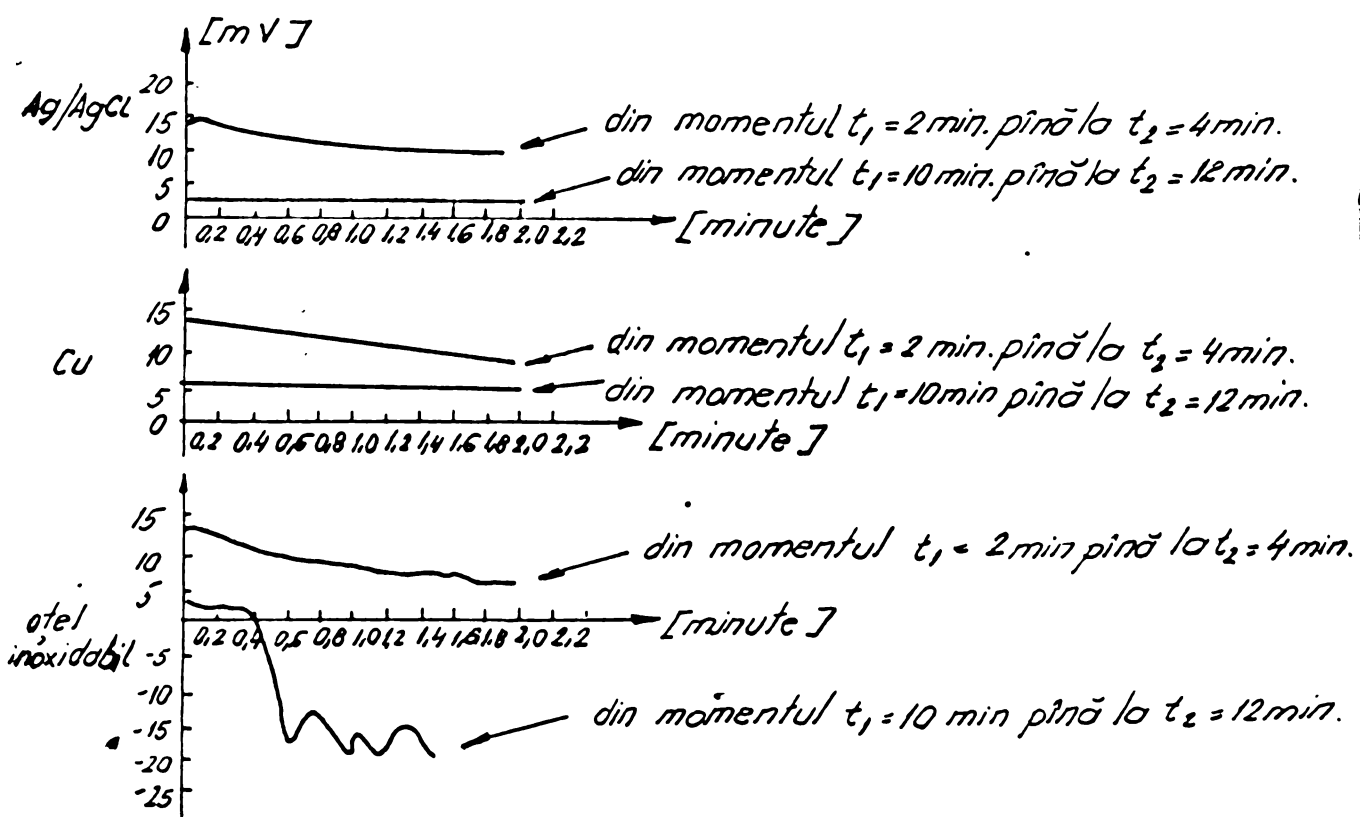


Fig. 1.6.

Fig. 1.6

( $\approx 5$  mV în primele minute) și diferiți de electrodul din oțel inoxidabil ( $\approx 10$  mV) care, în plus, prezintă variații neregulate.

La culegerea bycopotențialelor, cu ajutorul electrozilor metalici, la interfața metal-electrolit datorită polarizării apar unele perturbații, ca : zgomotul de agitație termică, zgomotul de origine electrochimică și zgomotul de origine electro-mecanică.

Zgomotul de origine termică nu prezintă importanță decât în cazul microelectrozilor (utilizați pentru înregistrarea activității electrice din interiorul celulelor) cu impedanță mare, pentru macroelectrozi valoarea lui este neglijabilă.

Zgomotul electrochimic apare datorită fenomenului de polarizare și în special polarizării de activare, care își are originea în neomogenitațile fizice și chimice de la interfața electrod-electrolit. Zgomotul electrochimic poate atinge valori de la zeci de  $\mu$ V la zeci de mV. Aceasta apare sub forma unor fluctuații întâmplătoare în banda de frecvențe foarte joase. Astfel, electrozii din Ag, sub formă de discuri cu diametrul de 3 mm, introdusi într-o soluție salină, cu concentrația de 0,9% au o tensiune efectivă de ordinul a 100  $\mu$ V, a cărui frecvență este de 3 Hz, [50].

Spectrul de frecvență al zgomerului electrochimic este cuprins tocmai în banda de frecvență a majorității biopotențialelor de țesut. Din acest motiv acesta nu poate fi eliminat prin filtrare.

Zgomotul de origine electromecanică este determinat de fluctuațiile potențialului de polarizare la variația suprafeței de contact dintre electrod și electrolit.

. În unele măsurări, datorită curentilor induși electrostatic sau electromagnetic (mai ales cînd subiectul suportă o stimulare sau o defibrilare) apare fenomenul de stocare a sarcinii electrice la interfață. Revenirea trebuie să se facă cît mai rapid. Din acest punct de vedere, electrozii din Cu sunt cu aproximativ 20 de ori, iar cei din oțel inoxidabil de aproximativ 600 de ori mai lenti decît cei din Ag/AgCl.

In concluzie, pentru reducerea erorilor, este necesar să se acorde o atenție deosebită selectării electrozilor în funcție de natura biopotențialului ce se măsoară și a fixării acestora pentru a se asigura un contact cît mai perfect.

## CAPITOLUL 2

### SISTEMUL CARDIOVASCULAR

#### 2.1. Introducere

Frecvența foarte mare a bolilor de inimă, cu importanță lor socială justificată de invaliditatea și mortalitatea impresionantă pe care o generează (pe primul loc și la mare distanță față de celelalte cauze de mortalitate generală), impune o informare rapidă a personalului medical despre starea sistemului cardiovascular a subiectului. Lipsa de informare sau informația incorrectă au însă consecințe negative mai numeroase și cu efecte mai grave în domeniul bolilor cardiovasculare decât în alte domenii ale medicinii, datorită mai multor factori cu mare pondere statistică. Conform datelor statistice de morbiditate, indiferent de specialitate, medicul este confruntat azi cu probleme cardiovasculare la 50% din pacienți [127]. Din acest motiv, adesea se depășește timpul necesar pentru verificarea semnificației clinice și integrarea datelor în raționamentul clinic sau pentru înscrarea lor în tratatele de specialitate. Ameliorarea acestui situații ar putea fi rezolvată, în condițiile actuale, dacă nu total cel puțin parțial, prin realizarea unor sisteme de analiză automată a activității electrice a inimii. Având în vedere această situație, autorul face un studiu profundat al electrocardiogramei.

Pe baza acestui studiu, autorul analizează și sistematizează cei mai importanți parametri, ce caracterizează tulburările ritmului cardiac în scopul de a elabora algoritmi de analiză automată a disritmiilor cardiace.

Electrocardiografia constituie, în condițiile actuale, cea mai importantă metodă în diagnosticul bolilor cardiaice deoarece modificările traseului electric oferă informații variatoare și ile în multe boli de inimă. Este ceea mai importantă metodă în ceea ce privește precizarea existenței, naturii și

particularităților tulburărilor ritmului cardiac. Trebuie precizat că aspecte patologice cu caracter asemănătoare între ele se pot datora unor stări patologice sau numai unor modificări "fiziologice", vegetative, astfel încât semnificația lor clinică poate foarte diferită [113], [127], [133]. De aceea, electrocardiograma trebuie interpretată întotdeauna, ținând seama de întregul context de date clinice și de laborator ale subiectului.

Există astăzi o bază suficientă pentru o interpretare automată a electrocardiogramei. De aceea, autorul redă foarte succint tocmai aceste noțiuni indispensabile cu privire la bazele fiziologice moderne ale interpretării automate a electrocardiogramei.

## 2.2. Activitatea electrică a inimii

Inima poate fi considerată ca fiind constituită dintr-un sistem electric, care generează ritmic impulsuri contractile și dintr-un sistem mecanic care reacționează la aceste impulsuri prin contractii ritmice [121]. Activitatea electrică precede pe cea mecanică și determină ritmul bătăilor inimii. Ea poate fi înregistrată practic sub forma de undă ECG, care evidențiază suma algebrică a modificărilor de potential a tuturor fibrelor miocardului [127]. Fiecare revoluție cardiacă îi corespunde un grup de unde succesive notate cu P, Q, R, S, T, U (fig.2.1).

Unei unde i se apreciază următoarele elemente semiologice : durată exprimată în secunde ; amplitudinea exprimată în mV și zecimi de mV ; orientarea axială sau vectorială exprimată prin unghiul făcut cu linia orizontală orientată spre stînga ; formă, adică particularități de aspect care nu pot fi exprimate în cifre.

Segmentele reprezintă porțiuni de traseu cuprinse între două unde succesive. Segmentul TP corespunde diastolei ventriculare și reprezintă nivelul liniei zero, servind în acest sens ca reper pentru toate celelalte elemente componente ale electrocardiogramei. În electrocardiografie au importanță practică numai două segmente : PQ (sau PR) și ST.

Intervalele exprimă durata dintre două puncte anumite ale traseului, cuprinzînd un segment și una sau două unde.

In electrocardiografia clinică sănt importante : intervalul PQ (sau PR) care cuprinde unda P și segmentul PQ ; intervalul QT care cuprinde complexul QRS, segmentul ST și unda T și care e-

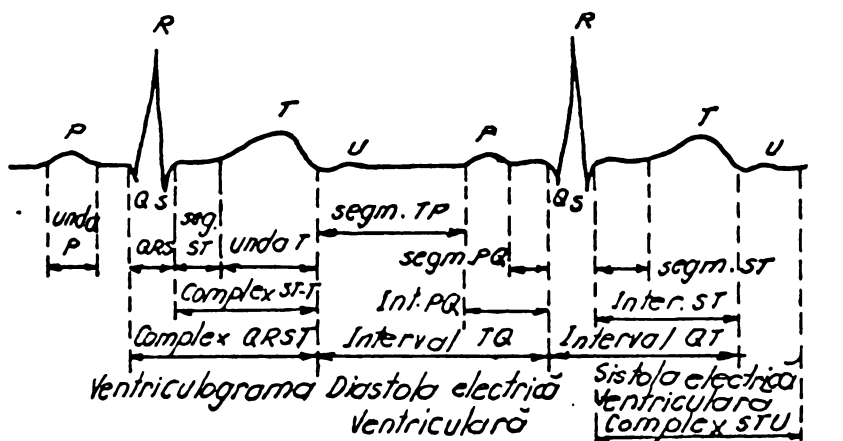


Fig. 2.1

Fig. 2.1

chivalează cu sistola electrică ventriculară ; intervalul RR (sau PP) care reprezintă durata unei revoluții cardiaice. În caz de bloc A-V de gradul II sau III, în disociația A-V și alte aritmii durata intervalului PP diferă de durata intervalului RR.

### 2.3. Activarea miocardului

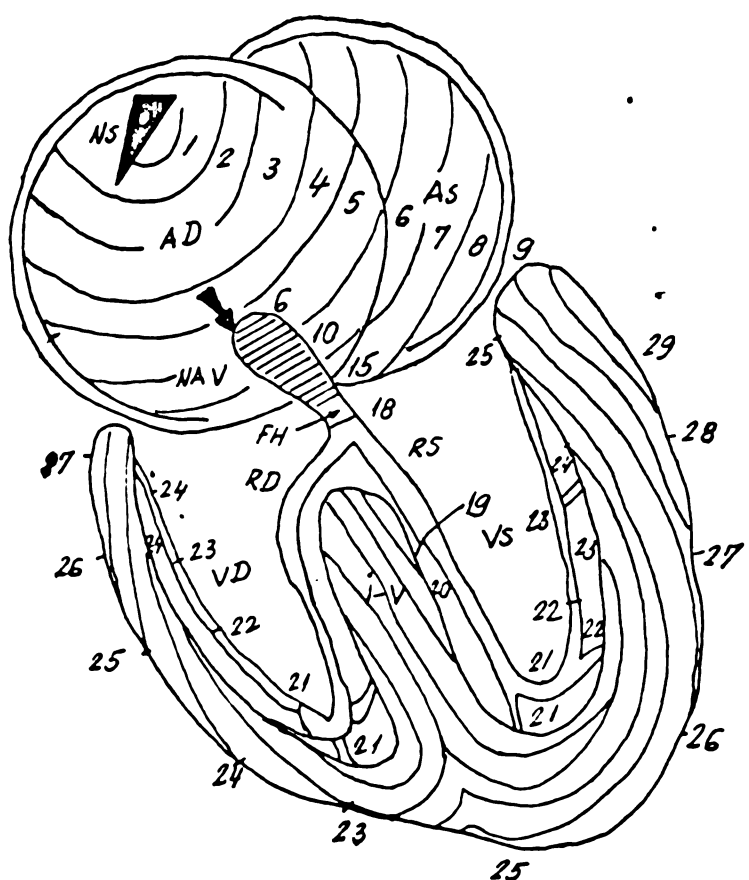
In mod normal, excitația care determină activitatea inițială ia naștere în mod automat și ritmic în nodul sinuzal (NS), situat pe peretele postero-superior al atriului drept (AD) [127]. De aici unda de excitație se propagă în ambele atrii (fig.2.2).

Viteza de propagare a activării miocardului atrial este de aproximativ 1000 mm/sec., astfel că întreg miocardul atrial se activează în aproximativ 0,10 sec. Atriu stîng (AS) începe să se activeze înaintea atriului drept (AD).

Unda de excitație se transmite de la atrii la ventriculi prin nodul atrioventricular (NAV). Viteza de propagare este de aproximativ 200 mm/sec. și ca urmare, conducerea atrioventriculară durează între 0,12 și 0,21 sec. În continuare, excitația este condusă prin fasciculul His (FH), care se împarte în două ramuri principale : una pentru ventriculul stîng (VS) și alta

pentru ventriculul drept (VD). Fiecare ramură se arborizează în fascicule și apoi într-o rețea întinsă subendocardică. Viteza de propagare este de aproximativ 3000 - 4000 mm/sec. De la rețeaua subendocardică unda se propagă în miocardul de lucru a ventriculilor prin celulele Purkinje cu o viteză de aproximativ 400 mm/sec. Întreaga masă ventriculară este activată în 0,10 sec. Cei doi ventriculi sunt activați practic simultan, începînd cu fața stîngă a septului interventricular, apoi regiună apicală, pereții laterală de jos în sus și, în cele din urmă, regiunile ventriculare bazale și ale conurilor arteriale.

Orice fibră miocardică odată activată se găsește în continuare oîtvă timp în stare refractoră, adică nu poate fi excitată de nici un alt impuls sosit în acest timp.



NS = nod sinus /  
AD = atriu drept  
AS = atriu stîng  
NAV = nodul atrio-ventricular  
FH = fascicul His  
i - v = septul interventricular  
VD = ventricul drept  
VS = ventricul stîng.

Fig. 2.2.

Fig. 2.2

#### 2.4. Producerea curentilor bioelectrici

Curentul bioelectric se naște din relația celor două compartimente biochimice, celular și extracelular, separate de membrana celulară. Membrana celulară, deși este sediul unor permanente schimburi echivalente de ioni, menține o compozitie, specifică, diferențiată, între mediul intracelular față de cel extracelular. Repartitia inegală a ionilor de cele două părți ale membranei cellulare face ca aceasta, chiar în condiții de repaus, să fie polarizată, adică să aibă o încărcare deosebită a celor două fețe, negativă în interior și pozitivă în exterior. (fig.2.3).

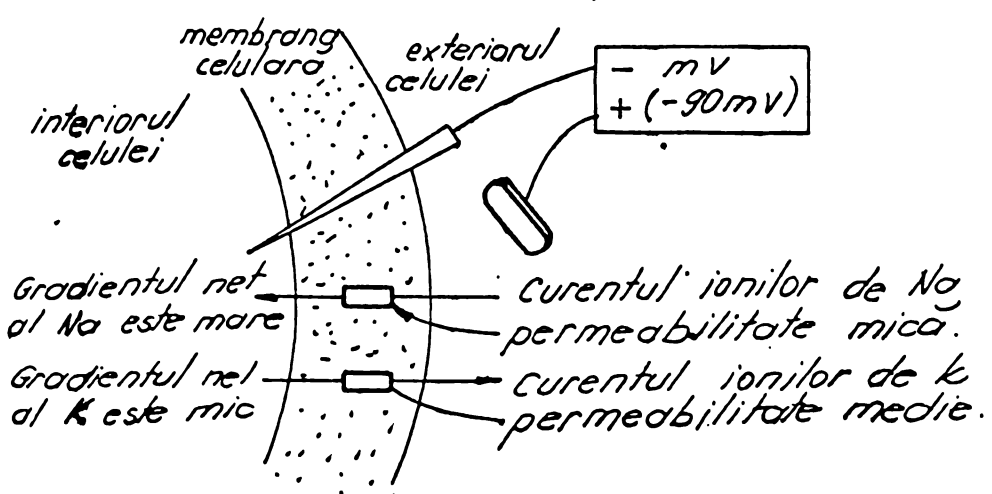


Fig.2.3.

Fig.2.3

Trecerea ionilor prin membrana celulară se realizează prin mai multe mecanisme reglate de factorii :

- gradientul de concentrație (pentru celula nervoasă la mamifere concentrația ionilor de K este de aproximativ 30 de ori mai mare în lichidul intracelular decât cel extracelular, iar a ionilor de Na de aproximativ 10 ori mai mare în lichidul extracelular față de cel intracelular), [113] ;

- permeabilitatea membranei ;
- sarcina electrică a ionului respectiv și polarizarea membranelor în locurile de trecere ;

În condiții de echilibru electric, potențialul de repaus este de aproximativ -90 mV, [121]. Starea de echilibru electric

se înregistrează pe electrocardiogramă printr-o linie orizontală, ce reprezintă intervalul de la sfîrșitul undei T la unda P care urmează (linie numită izoelectrică).

Odată cu excitarea (fiziologică sau artificială) unei celule sau a unui țesut, permeabilitatea fizico-biologică se schimbă brusc și dă naștere unei noi repartiții a ionilor (fig.2.4). Cu aceasta se schimbă și polarizarea electrică a membranei în raport cu starea de repaus, adică se produce depolarizarea. Exteriorul celulei activate devine negativ în raport cu interiorul și diferența de potențial fiind de aproximativ 30 mV, [113], [121].

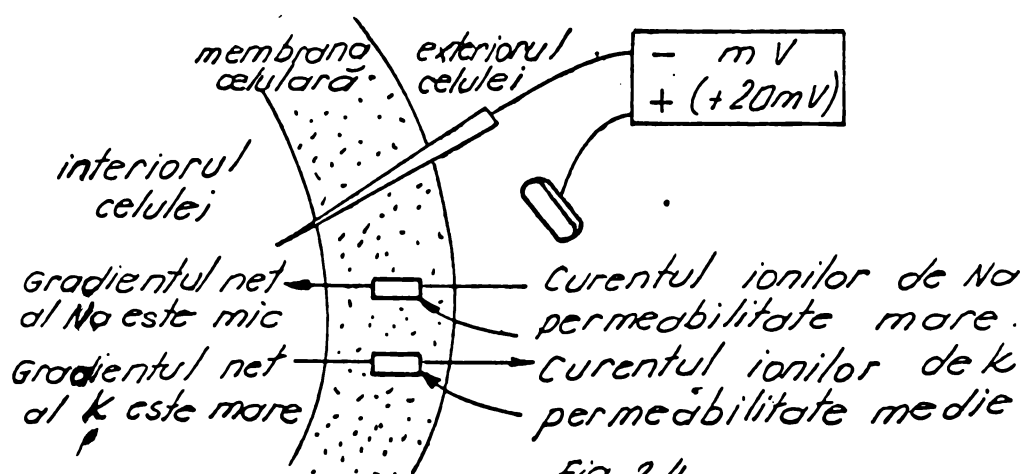


Fig.2.4

Odată produsă activarea (depolarizarea), urmărește în mod necesar și un proces invers de dezactivare sau recuperare, prin care se restabilesc proprietățile fizico-biologice ale membranei celulare, faza de repolarizare. Repolarizarea oricărei celule se face în două etape :

- repolarizarea se face lent, existând diferențe minime de potențial între zonele active și cele recuperate ;

- repolarizarea se face rapid, existând diferențe apreciabile de potențial între partea activată și cea dezactivată.

Pe ECG, complexul QRS corespunde depolarizării ventriculare, segmentul ST corespunde fazei de repolarizare ventriculară lente, iar unda T fazei de repolarizare ventriculară rapidă.

Pentru ca să se genereze potențialul de acțiune este necesar ca în urma stimulării să se atingă un potențial de prag

de aproximativ  $-60$  mV, [113]. Grupul de fibre miocardice a căror pantă a depolarizării (fig.2.5) este abruptă și atinge mai repede nivelul potențialului de prag, reprezentă pacemakerul activ care conduce depolarizarea întregului miocard. Nodul sinuzal este pacemakerul activ fiziologic, [127]. Când panta fazei de depolarizare a nodului atrioventricular sau a altor centri ectopici devine mai abruptă decât cea a nodului sinuzal aceștia preiau conduceră depolarizării devenind centri ectopici.

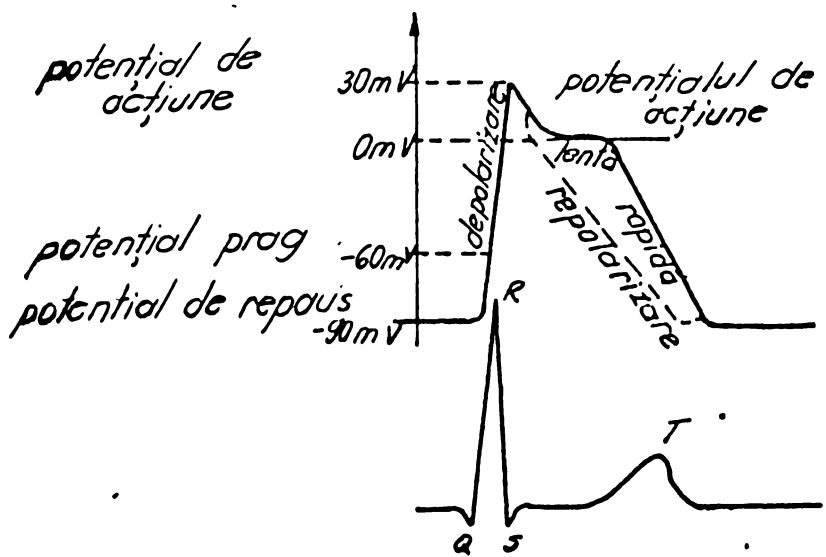


Fig.2.5.  
Fig.2.5

## 2.5.. Metode de măsurare a vectorului cardiac

Inima, din punct de vedere electric, poate fi privită ca un generator electric situat într-un volum conductor, corpul omenește. În momentul în care într-o celulă sau într-un ţesut există o porțiune activată, polarizația electronegativă a acestee și polarizarea electropozitivă a părții neactivate creează un dipol cardiac. Vectorii cardiaci, corespunzători dipolilor cardiaci pe care-i reprezintă, dintr-un anumit moment al revoluției cardiaice se numesc vectori cardiaci instantanei. Vectorul cardiac rezultant, obținut prin însumarea tuturor vectorilor instantanei ai masei ventriculare în cursul depolarizării acestuia, este considerat ca fiind vectorul cel mai reprezentativ al inimii și este cunoscut și sub denumirea de ax electric al inimii. Pentru a se obține o imagine fidelă a distribuției spațiale a cîmpului electric cardiac este necesar să se facă înregistrări

ale vectorului cardiac pe mai multe axe. Pentru a putea determina amplitudinea cît și poziția unghiulară a sa, o singură măsurare nu este suficientă. Sunt necesare minimum două măsurări și rezultatele să fie trecute pe o diagramă verticală a cărui sistem de axe este ortogonal.

a) Măsurarea vectorului cardiac în plan frontal.

În practica medicală se utilizează măsurarea a 3 proiecții ale vectorului cardiac pe un sistem de 3 axe ce formează între ele un unghi de  $60^{\circ}$  (triunghiul lui Einthoven, fig.2.6), [100] , [121] , [133] .

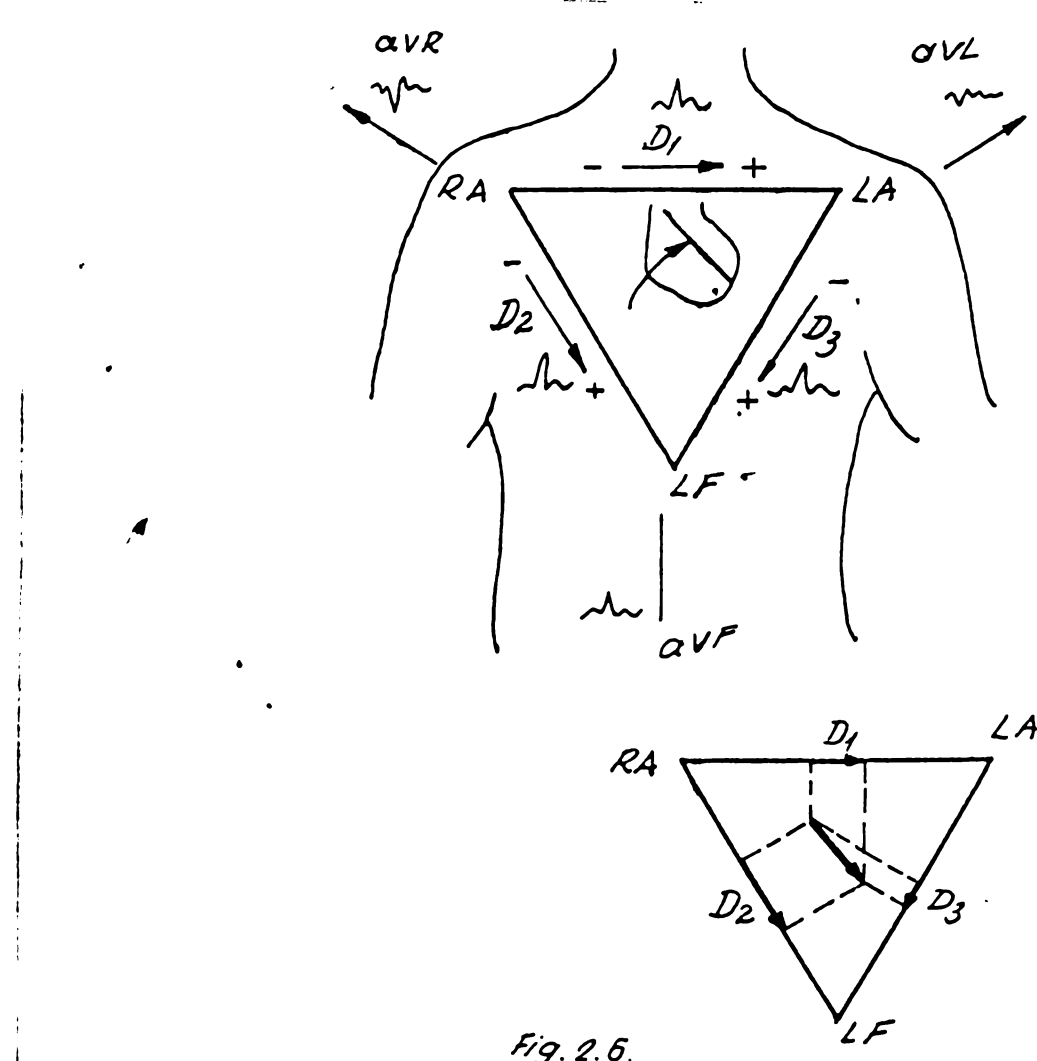


Fig. 2.6.

Fig. 2.6

Astfel de înregistrări sunt cunoscute sub numele de derivații bipolare (se mai numesc și derivații standard). Într-o derivație bipolară se utilizează 2 electrozi exploratori. Amplitudinea diferenței de potențial reperate este proporțională cu proiecția vectorului cardiac pe axa de explorare (axa  $\alpha\alpha$

unește cei 2 electrozi). În aceste derivații se măsoară diferențele de potențial dintre 2 membre (fig.2.7).

În cazul în care se utilizează un singur electrod explorator, iar celălalt electrod are practic un potențial constant (electrod indiferent), se obțin derivații unipolare (fig.2.8)

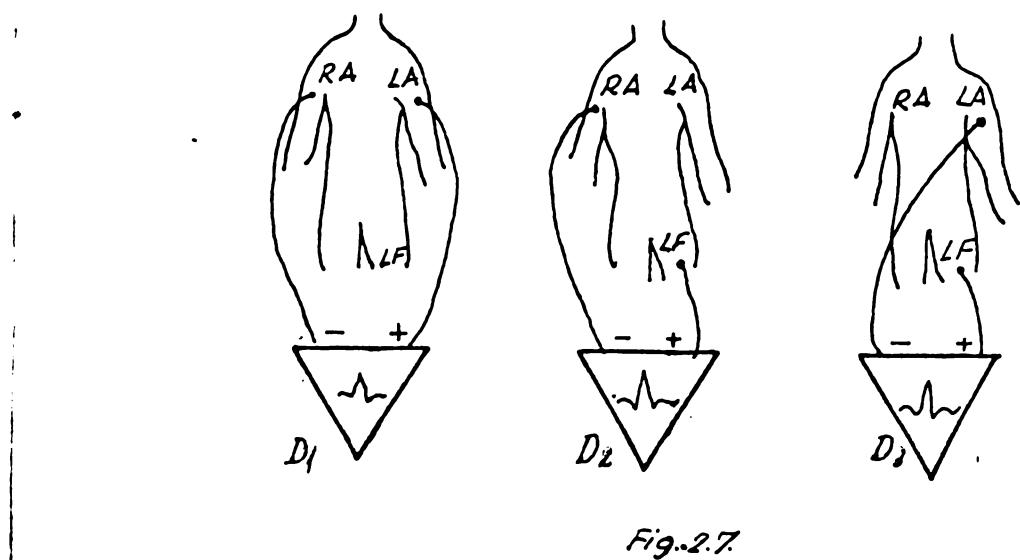


Fig.2.7

Fig.2.7

ACESTEAS pot fi îndepărtați (electrodul explorator este plasat la membre) sau apropiate (electrodul explorator este plasat pe torace). Primele se numesc derivații unipolare augmentate iar ultimele derivații unipolare toracice (se mai numesc și precordiale).

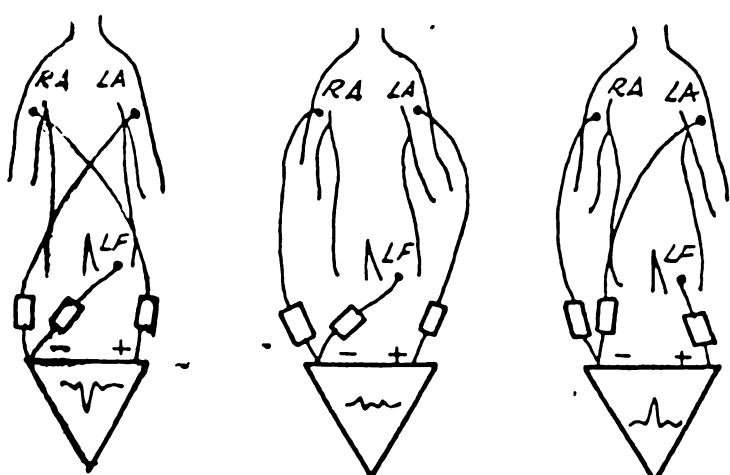


Fig.2.8

Fig.8

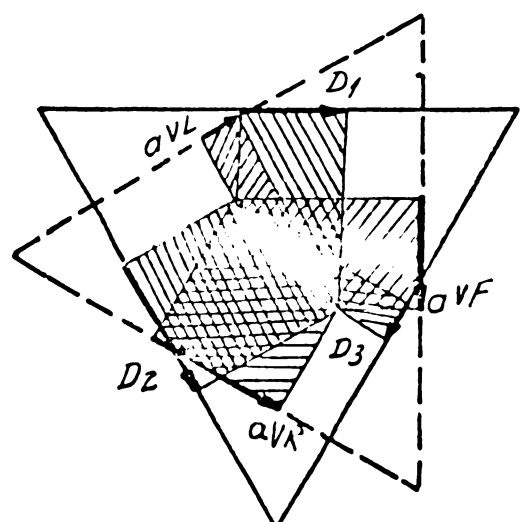


Fig.2.9

Fig.9

Cele 3 derivații augmentate înregistrează proiecția vectorului cardiac pe laturile unui triunghi echilateral care este

rotit cu  $30^\circ$  față de triunghiul lui Einthoven (fig.2.9), [121].

Deoarece atât în derivațiile standard cât și în cele unipolare ale membrelor se înregistrează diferențe de potențial între două puncte dintr-un sistem de trei puncte fixe, ele sunt legate între ele prin relații fizice riguroase care se pot exprima matematic prin relațiile :

$$U_{D1} + U_{D3} = U_{D2} \quad (2.1)$$

$$U_{aVR} = \frac{-U_{D1} + U_{D2}}{2}; \quad U_{aVL} = \frac{U_{D1} - U_{D3}}{2}; \quad U_{aVF} = \frac{U_{D2} + U_{D3}}{2}$$

Proiecțiile unui vector cardiac pe axele derivațiilor standard și a celor unipolare ale membrelor, fiind corelate între ele matematic, orientarea unui vector în planul frontal se poate exprima cu ușurință și exactitate dacă se cunosc aceste proiecții.

Directia orizontală orientată spre stînga este considerată ca poziție de  $0^\circ$  (fig.2.10). Orice orientare care se abate de la această poziție de  $0^\circ$  în sens orar, se notează cu grade pozitive de la  $0^\circ$  la  $+180^\circ$  (orizontala orientată spre dreapta). Orice orientare a unui vector care se abate de la linia  $0^\circ$  în sens anterior, se notează cu grade negative de la  $0^\circ$  la  $-180^\circ$ .

Sensurile pozitive ale celor trei derivații standard și augmentate sunt, [127] :

$$D_1 = 0^\circ; \quad D_2 = +60^\circ; \quad D_3 = +120^\circ; \quad (2.2)$$

$$aVR = -150^\circ; \quad aVL = -30^\circ; \quad aVF = +90^\circ$$

Sensurile negative au o poziție diametral opusă, și anume :

$$D_1 = 180^\circ; \quad D_2 = -120^\circ; \quad D_3 = -60^\circ; \quad (2.3)$$

$$aVR = +30^\circ; \quad aVL = +150^\circ; \quad aVF = -90^\circ;$$

In cele mai multe condiții normale, vectorii cardiaci principali sunt orientați în jos și aprost în jur de  $+45^\circ$ . Aceasta înseamnă că proiecțiile vectorului cardiac sunt pozitive în toate cele 3 derivații standard, cu amplitudine mai mică în  $D_3$  decît în  $D_1$ . Aceasta se numește orientare intermedieră.

Orientările în sens orar (de la  $0^\circ$  la  $+130^\circ$ ) se consideră orientări sau devieri de ax spre dreapta. Caracteristica lor este că

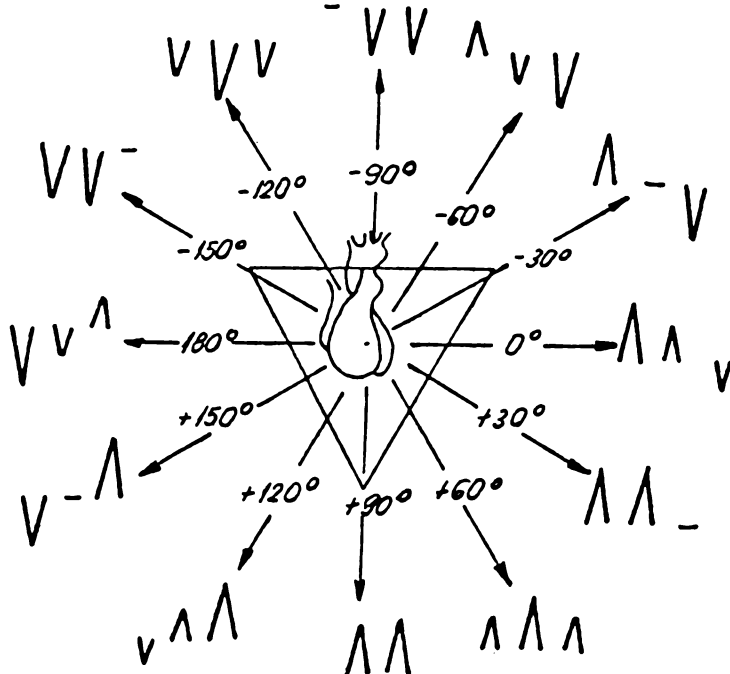


Fig. 2.10.

Fig. 2.10

proiecția vectorului în  $D_1$  este mai mică decât în  $D_3$  sau este negativă, în timp ce în  $D_3$  ea este totdeauna pozitivă.

Orientările în sens anterior (de la  $+45^\circ$  la  $-90^\circ$ ) nu consideră devieri de ax spre stînga. Caracteristica lor este că proiecția vectorului în  $D_3$  este negativă, iar în  $D_1$  este pozitivă.

Pentru orientările vectoriale în jur de  $-150^\circ$  și  $-90^\circ$  se folosește expresia de orientare antiapicălă (opusă orientării vîrfului inimii).

În fig. 2.10 sînt reprezentate raporturile dintre cele 3 proiecții în derivațiile standard ale unor vectori cardiaci considerați din  $30^\circ$  în  $30^\circ$ , [127].

Pentru determinarea orientării unui vector cardiac se poate proceda astfel :

- se evaluază sensul și mărimea proiecției în fiecare derivație ;

- dacă într-o din derivațiile proiecția este nulă vectorul are direcția perpendiculară pe axul derivației respective. Sensul va fi indicat de orientarea celor două proiecții. De exemplu, o proiecție nulă în  $D_3$  indică o orientare a vectorului

la  $+30^\circ$  (proiecțiile în  $D_1$  și  $D_2$  sunt pozitive) sau la  $-150^\circ$  (proiecțiile în  $D_1$  și  $D_2$  sunt negative) ;

- dacă în două derivații standard proiecțiile sunt egale iar în derivația a treia este dublă, vectorul are o direcție paralelă cu axul ultimei derivații. Sensul este indicat de orientarea celor 3 proiecții. De exemplu, o proiecție maximă în  $D_2$  și de mărime egală cu dublul mărimii din  $D_1$  și  $D_3$  corespunde unui vector cu o orientare la  $+60^\circ$  (dacă proiecțiile sunt pozitive în toate 3 derivațiile) sau  $-60^\circ$  (dacă proiecțiile sunt negative în toate 3 derivațiile) ;

- dacă raporturile între proiecții nu corespund exact cu nici una din cele 2 situații de mai sus, se consideră situația cea mai apropiată de una din ele.

Evaluarea exactă se face prin determinarea suprafetei aceliei unde în fiecare derivație.

Orientarea vectorială este un element fundamental de semioologie electrocardiografică atât pentru unda P, QRS cît și T.

.b) Măsurarea vectorului cardiac în plan transversal

Procedeul constă în crearea unei electrode indiferent prin însuflare a potențialelor de la brațul stîng și drept și de la piciorul stîng, iar al doilea electrod se placează pe piept în diferite puncte (fig. 2.11). Măsurările în plan transversal sunt cunoscute și sub numele de măsurări în V, după forma semnalelor obținute, [121]. Electrodul explorator se fixează pe aria precordială.

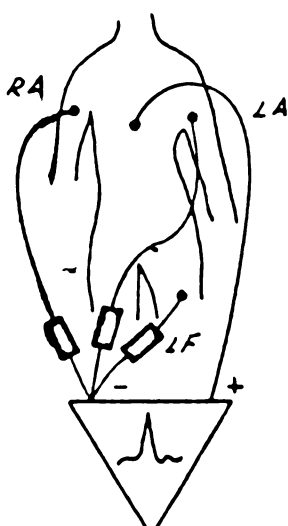


Fig. 2.11

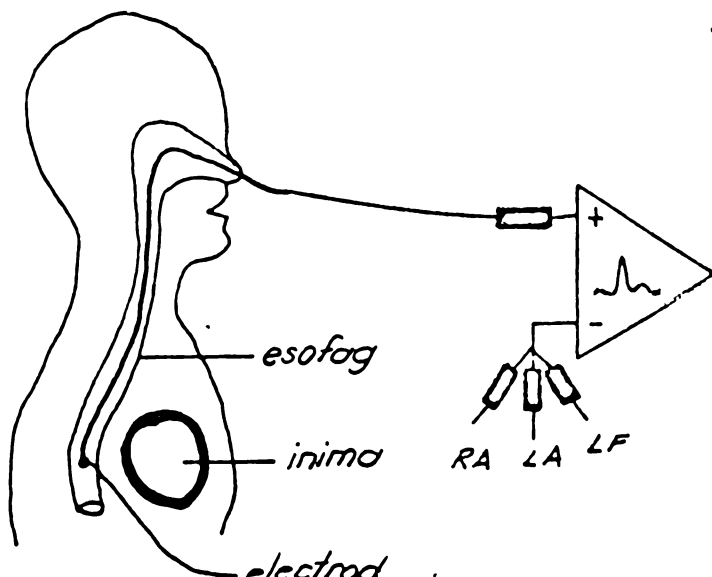


Fig. 2.12

Fig. 2.11

Fig. 2.12

c) Măsurarea vectorului cardiac în plan sagital

Procedeul constă în realizarea unui electrod indiferent, asemănător ca la planul transversal, iar electrodul explorator se introduce în esofag sub forma unei sonde, [121]. Astfel de derivații se numesc esofagiene (fig.2.12).

2.6. Tulburările ritmului cardiac

Tulburările ritmului cardiac sau disritmiile cardiaice pot fi grupate, în linii generale, [113], [127], [133], astfel :

- tulburări ale ritmului sinuzal;
- tulburări de ritm prin creșterea excitabilității în unele focare ectopice ;
- tulburări de ritm prin anomalii de conducere intramio-cardică ;
- alte tipuri de tulburări de ritm.

a) Tulburările ritmului sinuzal

În aceste cazuri, excitația se formează în nodul sinuzal, ca și în mod normal, de unde se transmite la atrii și ventricouli, după care pulsul do formă un acostor impulsuri neregulat. În această categorie sunt incluse : tachicardia și bradicardia sinuzală respiratorie și aritmia sinuzală fazică.

Tachicardia sinuzală se caracterizează prin ritm mare (peste 100 bătăi/minut la adulți), intervalele RR din unda ECG fiind aproximativ constante.

Bradicardia sinuzală se exprimă prin ritm lent (între 50 - 35 bătăi/minut), intervalele RR sunt cvasiconstante.

Aritmia sinuzală respiratorie se manifestă prin accelerări ale ritmului spre sfîrșitul inspirației și răzări spre sfîrșitul expirației. Pe ECG se manifestă prin diferențe între intervalele RR. Diferența dintre cele mai lungi intervale și cele mai scurte depășește 0,12 sec.

Aritmia sinuzală fazică se caracterizează prin variații mici ale ritmului cardiac, care nu sunt dependente de respirație.

b) Tulburări de ritm prin creșterea excitabilității unor focare ectopice

În această categorie sunt incluse extrasistolele, tachicardii paroxiste, flutterul, fibrilația și ritmurile funcționale.

Focarele ectopice sunt situate oriunde în miocard, în afara nodului sinuzal. Ectopică focarului care a generat o anumită sistolă se recunoaște pe ECG prin :

- anomalii de morfologie ale atriogramei (P) sau ventriculogramiei (QRST) ;
- alterări ale ritmului cardiac în raport cu ritmul de bază.

Focarele supraventriculare atriale se recunosc prin prezența undelor P, care au o altă morfologie și orientare vectorială decât în cazul ritmului sinuzal, dar cu intervale PQ normale (peste 0,12 sec) ; undele P sunt urmate de complexe QRS normale.

Focarele supraventriculare nodale se recunosc prin prezența de unde P cu orientare vectorială de jos în sus (undele P sunt negative în D<sub>2</sub> și D<sub>3</sub>), fie înainte de complexul QRS dar cu PQ sub 0,12 sec. (sistolă nodală superioară sau supranodală), fie după QRS (sistolă nodală inferioară sau infranodală), fie suprapusă cu QRS (sistolă nodală medie sau juxtanodală).

Focarele ventriculare se recunosc prin :

- lipsa undelor P proprii ;
- prezența de complexe QRS largite (peste 0,13 sec)

Extrasistolele sunt bătăi cardiace ectopice care "parazită" un ritm de bază. Aceste bătăi se caracterizează prin faptul că sunt totdeauna mai precoce, adică apar mai devreme decât să surveni proxima bătaie a ritmului de bază. Cele mai frecvente extrasistole sunt urmate de pauză compensatoare, prin faptul că anulcază sistola imediat următoare a ritmului de bază și se va valida doar cea de a doua (suma pauzelor pre- și post-extrasistolice este egală cu dublul pauzei de bază). Uneori extrasistolele sunt interpolate, adică se intercalează între două sistole succeseive ale ritmului de bază, fără să se anuleze nici una (suma pauzelor pre- și postextrasistolice este egală cu durata unei singure pauze a ritmului de bază). Extrasistolele pot surveni izolat sau grupate în salve. Când fiecare sistolă normală este urmată de o extrasistolă se spune bigeminism, iar când două sistole normale sunt urmate de o extrasistolă se spune trigeminism.

Tachicardia paroxistică se caracterizează prin atacuri de bătăi cardiace foarte frecvente (peste 160 bătăi/min.) de origine

gine supraventriculară sau ventriculară. Atacul apare brusc și poate dura minute, ore, zile sau săptămâni. În timpul accesului ritmul se menține constant.

Fibrilația atrială se recunoaște prin lipsa undelor P, iar fibrilația ventriculară se manifestă prin unde ventriculare de amplitudine mică, foarte neregulate și frecvente.

Flutterul atrial se exprimă prin unde atriale F frecvențe (300/min) și foarte regulate. Complexele QRS survin tot după a doua, a treia, a patra undă F (transmitere 2:1, 3:1, 4:1).

Disociația atrioventriculară exprimă depolarizarea atrială și ventriculară din centri electrici separați. Inima funcționază cu două ritmuri care nu interferă彼此.

c) Tulburările de ritm prin anomalii de conducere

Tulburările conducerii impulsului se numesc blocuri. Acestea se clasifică în raport cu localizarea, gradul și cauzele lor, [127].

Blocul sinoatrial se recunoaște prin lipsa pe electrocardiogramă din cînd în cînd a unui complex PQST, existînd astfel o pauză dublă față de pauza normală a ritmului de bază.

Blocul atrioventricular este cea mai importantă tulburare de conducere care determină aritmii. Se poate prezenta sub mai multe forme :

- Bloc A-V de gradul I caracterizat prin prelungirea intervalului PQ peste limită normală corespunzătoare ritmului de bază, fără să se piardă nici un complex QRST.

- Blocul A-V de gradul II este caracterizat prin aceea că o parte din excitațiile atriale nu se mai transmit la ventriculi. Pe ECG existînd mai puține complexe QRST decît unde P. Sînt două variante : blocul A-V parțial cu perioade Wenckebach caracterizat prin aceea că intervalul PQ se alungește progresiv din la o sistolă la alta pînă cînd o undă P nu mai este urmată de un complex QRST și blocul A-V parțial 2:1 caracterizat prin aceea că tot a doua undă P nu mai este urmată de un complex QRST.

- Bloc A-V de gradul III (bloc complet, cu disociație atrioventriculară) caracterizat prin faptul că nici un impuls atrial nu se mai poate transmite la ventriculi, a căror activitate este preluată de un centru propriu, astfel încît activitatea atrială și cea ventriculară se desfășoară în mod independent una de alta : undele P se succed cu o frecvență proprie iar

complexele QRS au o altă frecvență, de obicei, mai mică decât a undelor P, în general regulată.

In acest capitol, autorul a prezentat, pe baza consultării unei bibliografii foarte vaste, succint principaliii parametrii care intervin în diagnosticul bolilor de inimă. Pornind de la ideea că analiza electrocardiogramei constituie cea mai importantă metodă în ceea ce privește precizarea existenței, națurii și particularităților tulburărilor ritmului cardiac, autorul a sistematizat în acest capitol elementele esențiale ce caracterizează anomaliiile de ritm în vederea stabilirii unor metode de analiză automată a aritmilor. Algoritmii de analiză automată se vor prezenta în capitolul 5.

## INFLUENȚA RETELEI DE ALIMENTARE ÎN MASURAREA BIOPOTENȚIALELOR. AMPLIFICATOARE DE MASURĂ

### 3.1. Introducere

Majoritatea potențialelor biologice ale ţesuturilor sunt potențiale liniștite variabile, având o bandă de frecvență între 0 Hz (c.c.) și 300 Hz, exceptând electromiograma și electroenzograma, al căror spectru de frecvență se extinde pînă la 10 kHz. Amplitudinea acestor biopotențiale este de ordinul a 10  $\mu$ V - 10 mV.

Interferența zgomotului de 50 Hz cu semnalul util creează dificultăți în înregistrarea și prelucrarea biopotențialelor. Sursa acestei interferențe este tensiunea din rețea de alimentare care este inevitabilă prezentă în orice situație clinică (dacă nu pentru alte scopuri cel puțin pentru iluminat și pentru alimentarea înregistratorului).

În acest capitol, autorul sistematizează, după o concepție originală, problemele specifice ale interferenței tensiunii din rețea de alimentare cu semnalul util ECG, metodele de determinare a diferențelor componente prin care rețea influențează acuratețea măsurării, precum și metodele de minimizare a efectelor nedorite ale acestei interferențe. De asemenea, autorul prezintă caracteristicile specifice unui preamplificator destinat pentru măsurarea activității electrice a inimii și o metodă de proiectare.

Precizez că metoda de proiectare și teste simple pentru identificarea interferenței sunt valabile, nu numai pentru măsurarea biopotențialului inimii ci și pentru alte biosemnale electrice.

### 3.2. Sursele de interferență

Cîmpurile electrice de c.c. care pot cauza interferență cu semnalele utile sunt de natură magnetică și electrică. Modifi-

ficarea cîmpului magnetic poate induce o tensiune electromotoare într-o buclă conductoare. Mărimea acestei tensiuni depinde de poziția buclei față de direcția cîmpului și de mărimea suprafeței buclei. O modificare a cîmpului electric, produs de un potențial alternativ, poate produce o interferență prin curenți care se scurg prin sistem spre pămînt. Acești curenți, circulă prin țesut și prin impiedanțele electrozilor producind căderea tonului alternativ și sunt numiți curenți de deplasare. În fig. 3.1 se arată schematic cîile de scurgere a curentru lui datorat capacităților parazite, curenți care fac ca peste semnalul recoltat de traductoare să se suprapună un semnal parazit, [72].

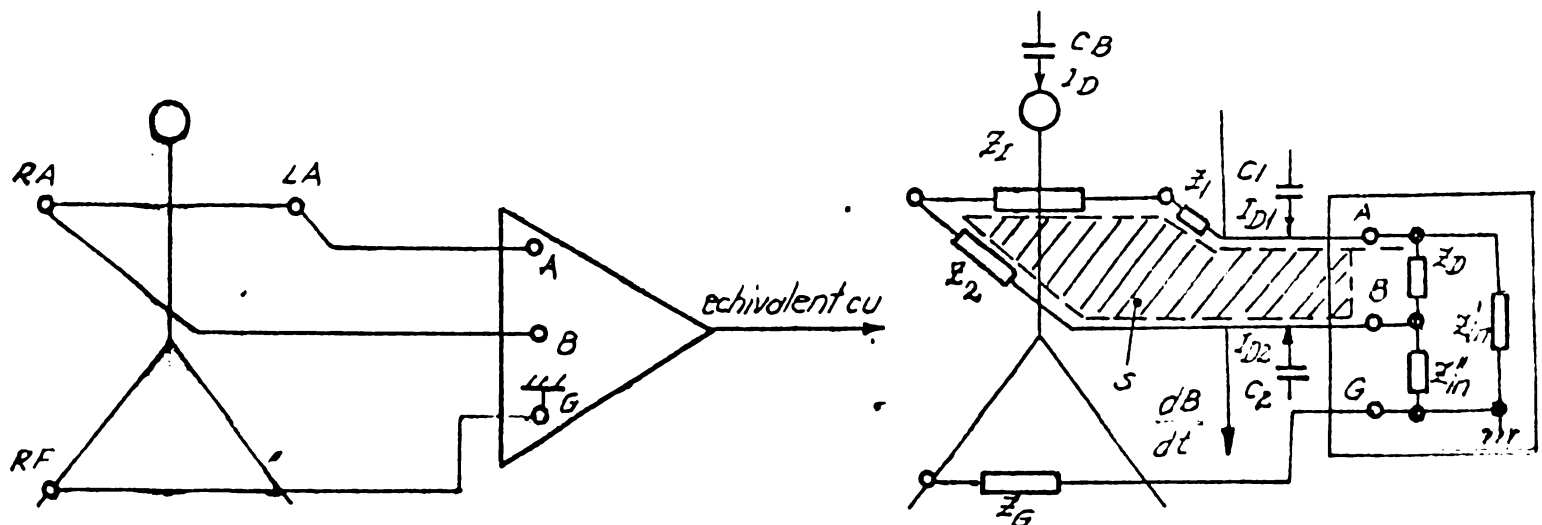


Fig. 3.1.

Fig. 3.1

Mărurile care intervin au următoarea semnificație :

$B$  este inducția magnetică de  $50 \text{ Hz}$  [ $\text{T}$ ];

$S$  este suprafața închisă de conductoarele  $A$  și  $B$  [ $\text{m}^2$ ]

$E$  este intensitatea cîmpului electric de  $50 \text{ Hz}$  [ $\text{V/m}$ ]

$I_d$  sunt curenții de deplasare produsi de cîmpul electric [ $\text{A}$ ]

$Z_1$ ,  $Z_2$  sunt impiedanțele celor 2 electrozi utilizati pentru măsurarea biopotențialelor [ $\Omega$ ].

$Z_G$  este impiedanța electrodului conectat la masa preamplificatorului [ $\Omega$ ]

$Z_L$  este impiedanța internă a corpului [ $\Omega$ ]

$Z_{in}$  este impiedanța de intrare diferențială a amplificatorului [ $\Omega$ ]

$C_1$ ,  $C_2$ ,  $C_B$  sunt capacitățile parazite ale cablurilor și a corpului [ $\text{F}$ ].

Initial se presupune că amplificatorul este ideal și se acceptă o interferență de 1% din semnalul util. În mod obișnuit, potențialul electric al inimii pe suprafața corpului este în jur de 1 mV. Rezultă că semnalul de interferență maxim admisibil este de  $10 \mu\text{V}$ . (cercetările experimentale arată că o interferență de  $10 \mu\text{V}$  nu deranjează în analiza undei ECG). Precizează că această valoare maxim admisibilă este impusă pentru un semnal diferențial (tensiunea la bornele A și B ale amplificatorului). În același mod se poate calcula valoarea maxim admisibilă a semnalului de intrare și pentru alte biopotențiale. De exemplu, în măsurările de EEG în care amplitudinea semnalului util este în jur de  $50 \mu\text{V}$  se admite un semnal de interferență de  $0,5 \mu\text{V}$ .

Acest semnal poate fi introdus în sistem prin următoarele căi :

- inducție electromagnetică ;
- curenți de deplasare în firele de legătură a electrozilor .
- curenți de doplasare prin corp ;
- interconexiuni cu alte apăriții.

### 3.2.1. Inducția electromagnetică

Se știe că în orice buclă se induce o tensiune electromagnetică la variația fluxului magnetic. Valoarea acestei tensiuni este proporțională cu suprafața buclei, cu orientarea acesteia și cu inducția magnetică, adică :

$$u_e = - \frac{d\phi}{dt} = \frac{-d}{dt} \int B \cdot ds = - \frac{dB}{dt} S \quad (3.1)$$

unde :  $\phi$  este fluxul [Wb] ;

Dacă presupunem că frecvența și poziția buclei sunt constante, rezultă :

$$u_{evîrf} = KB_m S \quad (3.2)$$

unde K este o constantă, iar  $B_m$  este amplitudinea inducției magnetice.

Măsurările experimentale realizate de Huhta, [72], într-o buclă de monitorizare a subiecților și prezentate în fig. 3.2,

arată că tensiunea introdusă în sistem datorită inducției electromagnetice (pe ordonată s-a reprezentat tensiunea raportată la intrările amplificatorului) depinde liniar de suprafața determinată de conductoare (panta curbei fiind de circa  $120 \mu\text{V}/\text{m}^2$ ). Această liniaritate arată că, cîmpul magnetic a fost aproximativ constant. Prin calcul a rezultat o valoarea de  $3,2 \cdot 10^{-7} \text{ T}$ . Din aceste măsurări s-a constatat că pentru a avea un semnal de interferență mai mic de  $10 \mu\text{V}$  este necesar ca suprafața să fie mai mică de  $0,1 \text{ m}^2$ .

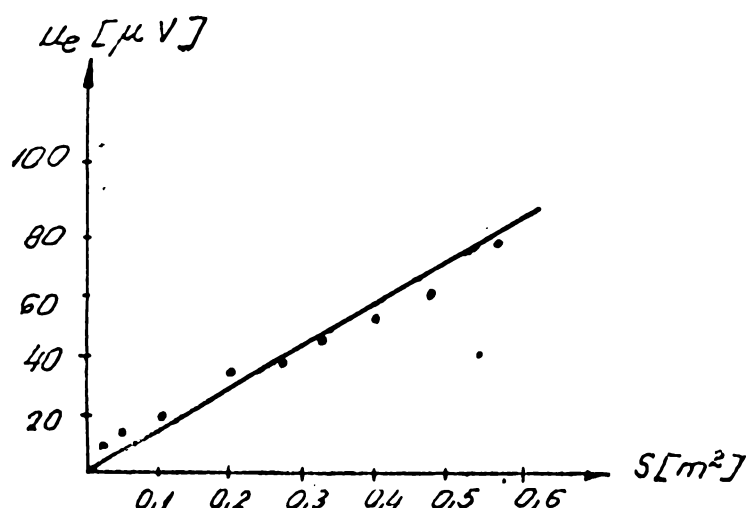


Fig. 3.2.

Fig. 3.2

Pentru a se elimina interferența produsă de cîmpurile magnetice exterioare, conductoarele se vor răsuci și se vor ajuza pe lîngă corp.

### 3.2.2. Curenții de deplasare între conductoare

Modificările intensității cîmpului electric exterior, prin capacitațile de cuplaj  $C_1$  și  $C_2$ , vor produce curenți de deplasare prin firele de legătură ale electrozilor. Pentru început, presupunem că firele de legătură sunt neconectate și investigăm mărimea interferenței cauzată de acești curenți (fig. 3.3). De anumona se presupune că rezistența internă a corpului este nulă și  $Z_{IN}$  și  $Z_D$  sunt foarte mari în comparație cu  $Z_1$  și  $Z_2$ . Prin urmare, curenții de deplasare vor circula prin  $Z_1$ ,  $Z_2$  și  $Z_G$ . În aceste condiții, se pot scrie relațiile :

$$V_A = Z_1 I_{D1} + (I_{D1} + I_{D2}) Z_G \quad (3.3)$$

$$V_B = Z_2 I_{D2} + (I_{D1} + I_{D2}) Z_G$$

$$U_{AB} = V_A - V_B = Z_1 I_{D1} - Z_2 I_{D2}$$

Se observă că în cazul în care  $Z_1 I_{D1} = Z_2 I_{D2}$  interferența datorată curentilor de deplasare este nulă. Pentru ca egalitatea să fie respectată este necesar ca  $Z_1 = Z_2$  și  $I_{D1} = I_{D2}$ . Deoarece cei doi curenți de deplasare ( $I_{D1}$  și  $I_{D2}$ ) pot fi făcuți egali relativ ușor (prin utilizarea unor fire de legătură de aceeași lungime și introduse în același ecran), realizarea egalității impedanțelor  $Z_1$  și  $Z_2$  este mult mai dificilă. Aproape în toate măsurările de biopotențiale există un dezechilibru între cele două impedanțe. Acest dezechilibru se datorează, în mare măsură, impedanței dintre electrod și piele. Admitând un curent de deplasare de 6 nA prin ambele conductoare ( $I_{D1} = I_{D2} = 6$  nA) și un dezechilibru a impedanțelor  $Z_1$  și  $Z_2$  de 5 kΩ rezultă că tensiunea diferențială datorată interferenței este de  $30 \mu\text{V}$ . Aceasta este mai mare decât nivelul maxim admis și ca urmare nu poate fi tolerată.

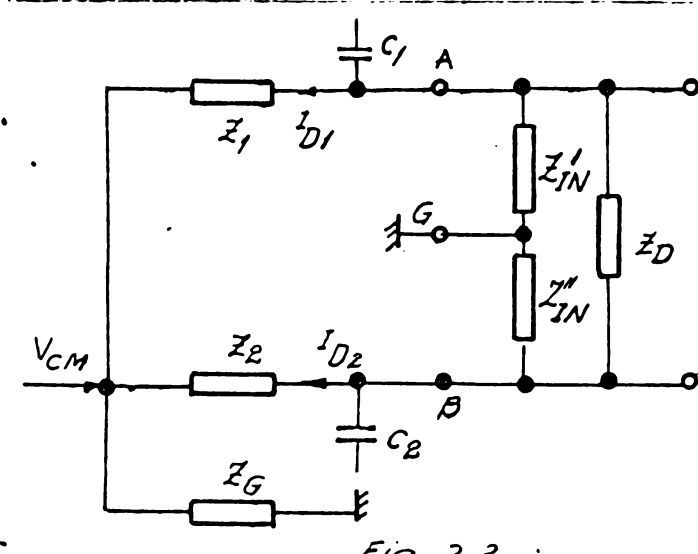


Fig. 3.3.

Fig. 3.3

Pentru a ne convinge că interferența se datorează acceselor curenți de deplasare se procedează astfel: se iau cabluri de ușoare și lungi, nu răsuflare și nu ușoare pe lângă corp pentru a elimina zgomotul datorat inducției magnetice. Electrozii

ușoară se plasează pe corp fără ca pielea să fie curățată. Prin vizualizarea biopotențialului se determină mărimea zgomotului. Apoi, se curăță pielea în locurile de fixare și se udă electrozii. O micșorare a zgomotului în această situație ducă la concluzia că interferența datorată curentilor de deplasare apare din cauza dezechilibrului dintre cele două impudențe.

In scopul eliminării acestei interferențe pielea se curăță în prealabil cu alcool și apoi se udă cu o soluție de apă cu sare sau cu paste speciale. Prin aceasta se reduc impudența electrod-piele. De asemenea, lungimile cablurilor trebuie să fie aceleasi și să fie ecranate.

### 3.2.3. Curenții de deplasare în interiorul corpului

Schimbările intensității cîmpului electric exterior pot produce prin capacitatele parazite dintre corp și obiectele din jur curenți care se închid prin corp spre pămînt (dacă corpul este conectat la pămînt). Acești curenți ( $I_D$ ) produc o cădere de tensiune pe impedanța electrodului de masă care apare ca semnal comun la intrarea amplificatorului (fig.3.4).

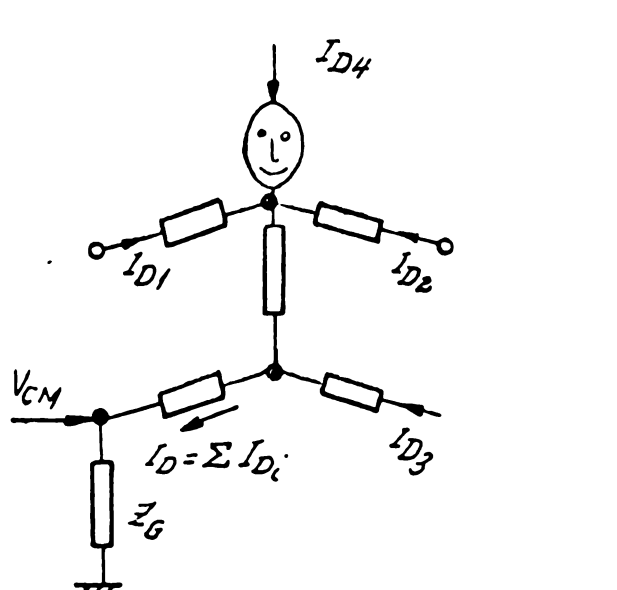


Fig.3.4.

- Fig.3.4

Dacă neglijăm impedanțele interne a diferitelor porțiuni ale corpului în raport cu  $Z_G$ , putem scrie :

$$V_{CN} = I_D \cdot Z_G \quad (3.4)$$

Admitând un curent maxim pentru  $I_D$  de  $1\mu A$  și o valoare de  $100 k\Omega$  pentru  $Z_G$ , valoarea maximă a semnalului de mod comun este de  $0,1 V$ . La prima vedere, se pare că acest potențial nu ridică probleme în măsurarea semnalului electric al inimii. În cele ce urmează se arată în ce condiții acesta nu perturbă măsurarea.

Din cele prezentate mai sus a rezultat că datorită curentului de deplasare apare doar un semnal de mod comun. Acest lucru este valabil cînd impedanța internă a corpului este nulă. În realitate, această situație este parțial adevărată. Cercetările experimentale arată că impedanța torsului este, [121], în jur de  $20 \Omega$  iar a mîinii este în jur de  $400 \Omega$ . Datorită acestui fapt, curentii de deplasare prin corp pot da naștere la potențiale ușor diferite în diverse puncte ale corpului. Ca urmare, prin plasarea electrozilor pentru măsurarea ECG-ului se va aplica la intrările A și B ale amplificatorului o diferență de potențial. Aceasta apare ca un semnal diferențial și va fi amplificată de amplificator (fig.3.5).

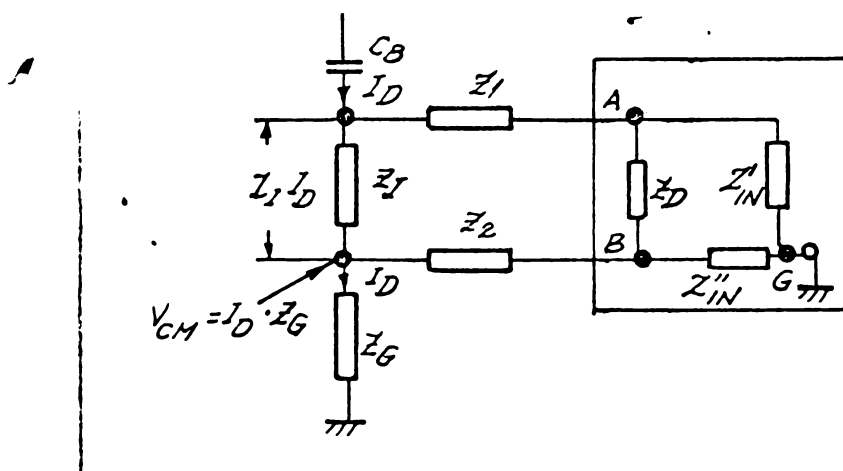


Fig.3.5

Lărimea acestui semnal diferențial este :

$$\tilde{U}_{AB} = Z_I \cdot I_D \quad (3.5)$$

unde  $Z_I$  este impedanța internă a corpului între electrozii de măsură.

Pentru ca  $U_{AB}$  să fie mai mică de 1% din semnalul util ( $10\mu V$ ) și presupunind că  $I_D$  este 10% din valoarea menționată mai sus,  $Z_I$  trebuie să fie de numai  $100\Omega$ . Pentru ca să nu se

dopă cească valoarea maximă admisibilă a lui  $U_{AB}$  de  $10 \mu V$  este necesar ca electrozii să fie cît mai apropiati unul față de celălalt (cazul măsurării EEG-ului). Chiar în cazul în care electrozii se află la o distanță mare, efectul curentilor de polarizare se poate elibera prin fixarea electrodului de masă într-o zonă față de care potențialele zonelor unde sunt plasate electrozii exploratori sunt aceleasi.

Modificarea mărimei zgomerului din unda ECG prin plasarea electrodului de masă în diferite zone este un criteriu că acești curenți de deplasare dau naștere la o interferență nedorită. În cazul în care prin plasarea electrodului de masă în diferite zone ale piciorului drept, nu se obțin rezultate mulțumitoare acesta se plasează pe piept.

### 3.3. Amplificatoare de măsură

În anul 1967 American Heart Association, [121], a precizat caracteristicile amplificatoarelor pentru măsurarea activității electrice a inimii. Cele mai importante sunt : factorul de rejecție pe mod comun (CMR) de cel puțin  $60 dB$  în banda de 45 la 65 Hz și un dezechilibru la intrare de  $5 k\Omega$ ; impedanță de intrare diferențială de cel puțin  $500 k\Omega$ ; banda de frecvență între  $0,05 Hz$  și  $100 Hz$ . Ultima caracteristică reclamă utilizarea amplificatoarelor de curent continuu. Datorită proprietăților superioare pe care le au amplificatoarele de curent continuu diferențiale, față de restul amplificatoarelor de c.c., în măsurarea biopotențialului inimii se preferă utilizarea acestora.

Autorul analizează influența parametrilor amplificatorului asupra precizia măsurării. Pe baza acestei analize, autorul face recomandări privind : valorile minime pentru CMR și impedanța de intrare a amplificatorului ; lungimea cablurilor sistemului de culegere a biopotențialelor ; utilizarea unor circuite electronice suplimentare atunci cînd se doresc măsurări precise.

#### 3.3.1. Factorul de rejecție pe mod comun (CMR)

Definit ca raportul dintre amplificarea semnalului diferențial și amplificarea semnalului de mod comun, CMR-ul indică capacitatea amplificatorului de a rejepta zgomerete.

Orice dezechilibru între impedanțele  $Z_1$  și  $Z_2$  va reduce factorul de rejecție al sistemului electrozi-amplificator comparativ cu factorul de rejecție al amplificatorului. Ca urmare, la intrarea amplificatorului va apărea un semnal diferențial compus din două componente:

- o componentă datorată rojecției incomplete a semnaliului pe mod comun a amplificatorului diferențial;
- o componentă datorată dezechilibrului dintre impedanțele electrozilor

$$U_{AB} = Z_G \cdot I_D \left( \frac{1}{CMR} + \frac{Z_2 - Z_1}{Z_{IN}} \right) \quad (3.6)$$

Cu cât dezechilibrul este mai mare cu atât factorul de rejecție al sistemului se reduce mai mult. Având în vedere că acest dezechilibru poate atinge valori de  $5 k\Omega$  (în unele situații chiar  $10 k\Omega$ ), este posibil ca sistemul de măsură să nu mai rejeceleze suficient zgomotul de  $50 \text{ Hz}$ . În măsurările de precizie ale undei ECG se impune utilizarea unor amplificatoare cu factor de rejecție peste  $100 \text{ dB}$ .

Prin utilizarea tranzistoarelor dublete în montaj diferențial, la o bună echilibrare a montajului, se poate obține un factor de rejecție de  $80 - 90 \text{ dB}$ . fără nici un fel de compensare. Din puncte, însă, o mică dezechilibrare a etajului de cîmp mV în c.c., reduce foarte mult CMR-ul, din cauza variațiilor diferențiale a coeficienților de amplificare ai tranzistoarelor. Pentru menținerea unui factor de rejecție constant este necesară o bună stabilizare a punctului static de funcționare al tranzistoarelor. Acest fapt devine foarte supărător în cazul amplificatoarelor biologice cu cuplaj în c.c. sau de joasă frecvență, datorită prezenței potențialelor de polarizare ale electrozilor. Astfel, în cazul ECG-ului, potențialele de polarizare pot差别 cu  $100 \text{ mV}$ . La un asemenea dezechilibru, factorul de rejecție scade considerabil.

Dacă cuplarea se realizează capacativ, efectul este parțial eliminat. La comutarea intrărilor, în timpul înregistrării, datorită încărcării și descărcării condensatoarelor de cuplaj este posibilă surârarea amplificatorului care determină o dezechilibrare în c.c. a etajului pe o durată de zece de secunde.

Prin urmare, CMRR-ul scade considerabil. Din acest motiv, cuplajul prin condensatoare se recomandă să se facă la etajele următoare (după ce zgomotul a fost rejetat).

### 3.3.2. Impedanța de intrare

La un amplificator diferențial se definesc două impedanțe de intrare, și anume : o impedanță diferențială  $Z_D$  și o impedanță pe mod comun  $Z_{CM}$ . Pentru configurația din fig.3.1 se observă că  $Z_{CM} = Z_{IN}/2$ .

Din cele prezentate mai sus a rezultat că  $Z_{IN}$  trebuie să fie mult mai mare decât  $Z_1$  și  $Z_2$  pentru a se minimiza efectele datorate dezechilibrului dintre  $Z_1$  și  $Z_2$ . În continuare se va calcula valoarea  $Z_{IN}$  necesară pentru ca un dezechilibru de  $5 \text{ k}\Omega$  între  $Z_1$  și  $Z_2$  să nu producă un semnal de interferență mai mare de 1%.

Pentru circuitul din fig.3.3 se pot scrie relațiile :

$$V_A = V_{CM} \left( \frac{Z_{IN}}{Z_{IN} + Z_1} \right) ; \quad V_B = V_{CM} \left( \frac{Z_{IN}}{Z_{IN} + Z_2} \right) ;$$
$$Z_{IN} = Z'_N = Z''_N \quad (3.7)$$

$$U_{AB} = V_A - V_B = V_{CM} Z_{IN} \left( \frac{Z_2 - Z_1}{Z_1 \cdot Z_2 + Z_{IN}(Z_1 + Z_2) + Z_{IN}^2} \right) \quad (3.8)$$

Presupunând că  $Z_1$  și  $Z_2 \ll Z_{IN}$ , rezultă :

$$U_{AB} = V_{CM} \left( \frac{Z_2 - Z_1}{Z_{IN}} \right) \quad (3.9)$$

Sau

$$Z_{IN} = \frac{V_{CM}}{V_A - V_B} (Z_2 - Z_1) = \frac{10 \cdot 10^{-3}}{10 \cdot 10^{-6}} (5 \cdot 10^3) = 5 \text{ M}\Omega \text{ la } 50 \text{ Hz.}$$

$$Z_{CM} = Z_{IN}/2 = 2,5 \text{ M}\Omega \quad (3.10)$$

O valoare de  $50 \text{ M}\Omega$  pentru  $Z_{IN}$  este acceptabilă cînd  $V_{CL} = 100 \text{ mV}$  sau cînd există un dezechilibru de  $50 \text{ k}\Omega$ , valori care se întîlnesc doar în situațiile de electrocauterizare.

In calcul s-a considerat că  $Z_{IN}^! = Z_{IN}^{\prime\prime} = Z_{IN}$ . In cazul în care există un dezechilibru și între impedanțele celor 2 intrări ale amplificatorului, relația (3.8) devine :

$$U_{AB} = V_{CM} \left( \frac{Z_{IN}^!}{Z_{IN}^! + Z_1} - \frac{Z_{IN}^{\prime\prime}}{Z_{IN}^{\prime\prime} + Z_2} \right) \quad (3.11)$$

Din această relație se observă că poate să apară un semnal diferențial neutil ( $U_{AB}$ ) chiar în situația cind  $Z_1 = Z_2$ , dar există un dezechilibru între impedanțele de intrare ale amplificatorului ( $Z_{IN}^! \neq Z_{IN}^{\prime\prime}$ ). Pentru exemplificare, se consideră  $Z_{IN}^! = 5 M\Omega$ ;  $Z_{IN}^{\prime\prime} = \infty$ ,  $Z_1 = Z_2 = 10 k\Omega$ :

$$U_{AB} = V_{CM} \left( \frac{5}{5,01} - 1 \right) = V_{CM} \cdot 0,002 \quad (3.12)$$

In acest caz, pentru  $V_{CM} = 10 mV$ , obținem o interferență de 2%.

Valoarea lui  $Z_{IN}$  a fost specificată la frecvența de 50 Hz. In calcul nu s-au luat în considerare impedanțele capacităților parazite. Prezența unei capacități între o intrare a amplificatorului și masă are ca efect reducerea impedanței de intrare. Din acest motiv, lungimea cablurilor ecranate este limitată de capacitatea distribuită a acestora (uzual 1 pF/cm) la 3 m.

Caracteristicile prezентate mai sus sunt valabile în cazul în care amplificatorul de măsură este utilizat pentru măsurarea activității electrice a inimii corespunzătoare derivățiilor standard ( $D_1$ ,  $D_2$ ,  $D_3$ ). In cazul în care amplificatorul este utilizat și în derivățiile augmentate (aVR, aVL, aVF) sau în V, datorită rezistențelor de egalizare, care necesar ca  $Z_{IN}$  să fie mai mare de  $111 M\Omega$ , [72]. In concluzie, în situația în care amplificatorul este utilizat pentru înregistrarea ECG-ului corespunzător derivățiilor standard este necesar ca  $Z_{IN} \geq 5 M\Omega$ , iar cind se utilizează derivățiile augmentate sau cele precordiale este necesar să fie îndeplinită una din condițiile :

- $Z_{IN}$  a amplificatorului să fie foarte mare ;
- conectarea unor reprotoare înaintea rezistențelor de egalizare ;
- utilizarea unui amplificator suplimentar pentru electrodul de la piciorul drept, în scopul reducerii potențialului  $V_{UL}$ .

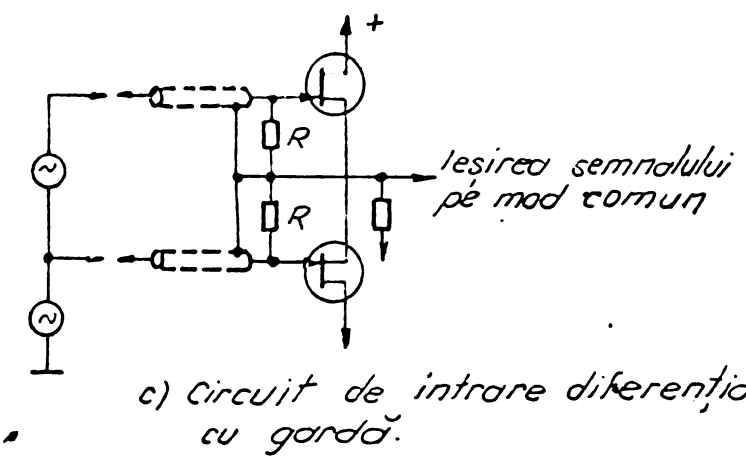
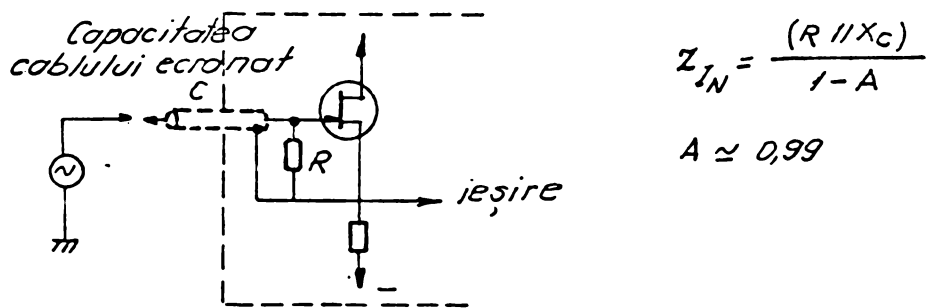
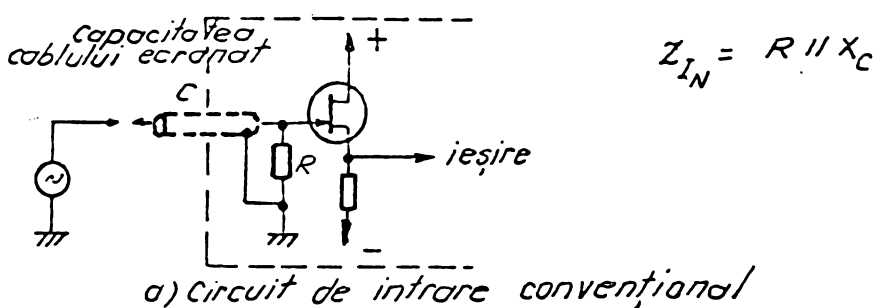
Impedanța de intrare pe mod comun poate fi substanțială și prin conectarea unui conductor de gardă la intrarea amplificatorului. Această are rolul de a intercepta curentii reziduali, înainte ca aceștia să ajungă la intrarea amplificatorului, și de a le oferi o cale de scurgere. Este foarte important cum se conectează acest conductor de gardă. În fig.3.6 sunt arătate diferențele moduri de conectare și efectele acestora, [12]. Garda intrării poate fi înteleasă cel mai bine, privind amplificatorul de la intrare. Autorul face o analiză a comportării în c.c. a acestor circuite. Rezultatele se pot extinde și în c.a.

Circuitul clasic a unui amplificator arătată ca în fig. 3.6.a. Se consideră că rezistența de intrare a acestuia este de  $1 \text{ k}\Omega$  ( $R = 1 \text{ M}\Omega$ ) și la intrare se aplică o tensiune de 1 V. Rezultă că prin  $R$  va trece un curent de  $1 \mu\text{A}$ . În cazul în care avem un circuit gardat (fig.3.6.b) în aceleasi condiții ca mai sus ( $R = 1 \text{ M}\Omega$ , tensiunea de intrare = 1 V) și considerind amplificarea de tensiune a repetorului de 0,9, rezultă că prin  $R$  va trece un curent de  $0,1 \mu\text{A}$ . Prin urmare, rezistența de intrare în c.c. a crescut de la  $1 \text{ M}\Omega$  la  $10 \text{ M}\Omega$ . În practică, amplificarea unui repetor cu FET este în jur de 0,99. Deci, rezistența de intrare crește de 100 de ori. Similar se întâmplă și în c.a., doar că apare în paralel cu  $R$  și reactanța cablului ecranat.

Rezultatele analizei de mai sus pot fi extinse și la circuitul de intrare a unui amplificator diferențial (fig.3.6.c).

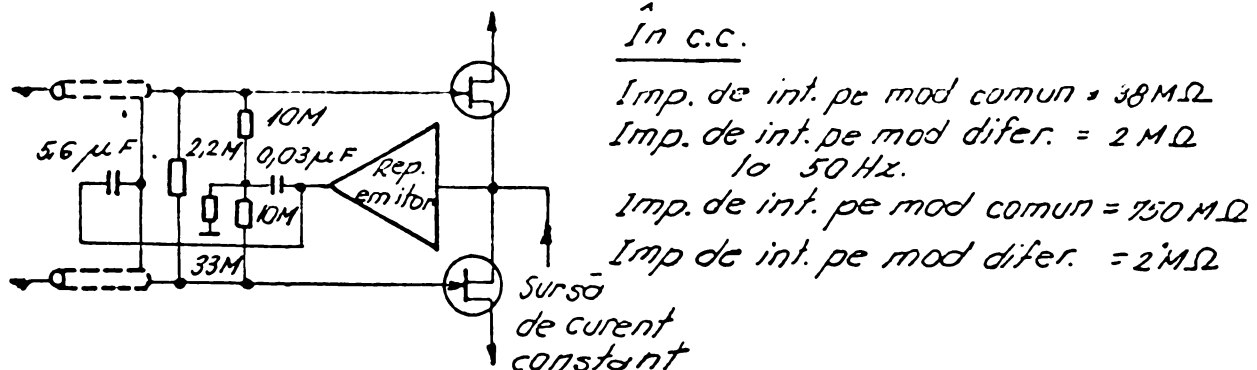
În multe situații se utilizează un circuit de alimentare a firului de gardă, (fig.3.6.d). Dacă este necesar un CMR ridicat doar la 50 Hz, cuplarea firului de gardă se face prin condensatoare, la rezistențe și la ecranele cablurilor.

Pentru ca potențialul de polarizare al electrozilor să devină stabil într-un interval de timp cât mai mic (2 - 3 minute de la aplicarea lor) trebuie ca rezistența de intrare diferențială să fie mică. O valoare prea mică a acesteia face ca semnalele biologice să fie distorsionate de amplificator. Rezultatele experimentale au arătat că o valoare de  $2 \text{ M}\Omega$  pentru  $Z_D$  este optimă în majoritatea înregistrărilor potențialelor biologice ale țesuturilor.



Impedanța de intrare pe mod comun =  $0,5 \frac{(R \parallel X_C)}{1-A}$

Impedanța de intrare pe mod diferențial =  $2R$ .



d) Circuitul de intrare diferențial cu gordă.

Fig. 3.6.

Fig. 3.6

Pe baza celor prezentate mai sus, autorul studiază și proiectează un amplificator de măsură destinat măsurării bio-potențialelor inimii corespunzător derivațiilor standard. Configurația acestuia este prezentată în fig. 3.7. Pentru asigurarea unei impedanțe de intrare corespunzătoare la etajul de in-

trare diferențială s-a prevăzut o reacție negativă creșteată prin grupul de rezistențe  $R_1$ ,  $R_2$  și  $R_3$ ,  $R_4$ . Cu ajutorul potențiometrului  $R_{10}$  se ajustă ca și C.R.H.-ul la valoarea maximă. Diodele  $D_1$  -  $D_4$  au rolul de a reduce efectul de polarizare al condensatoarelor  $C_3$  -  $C_6$  la variațiile mari ale potențialului c.c. (situație care apare cînd amplificatoarele din primul etaj intră în saturare).

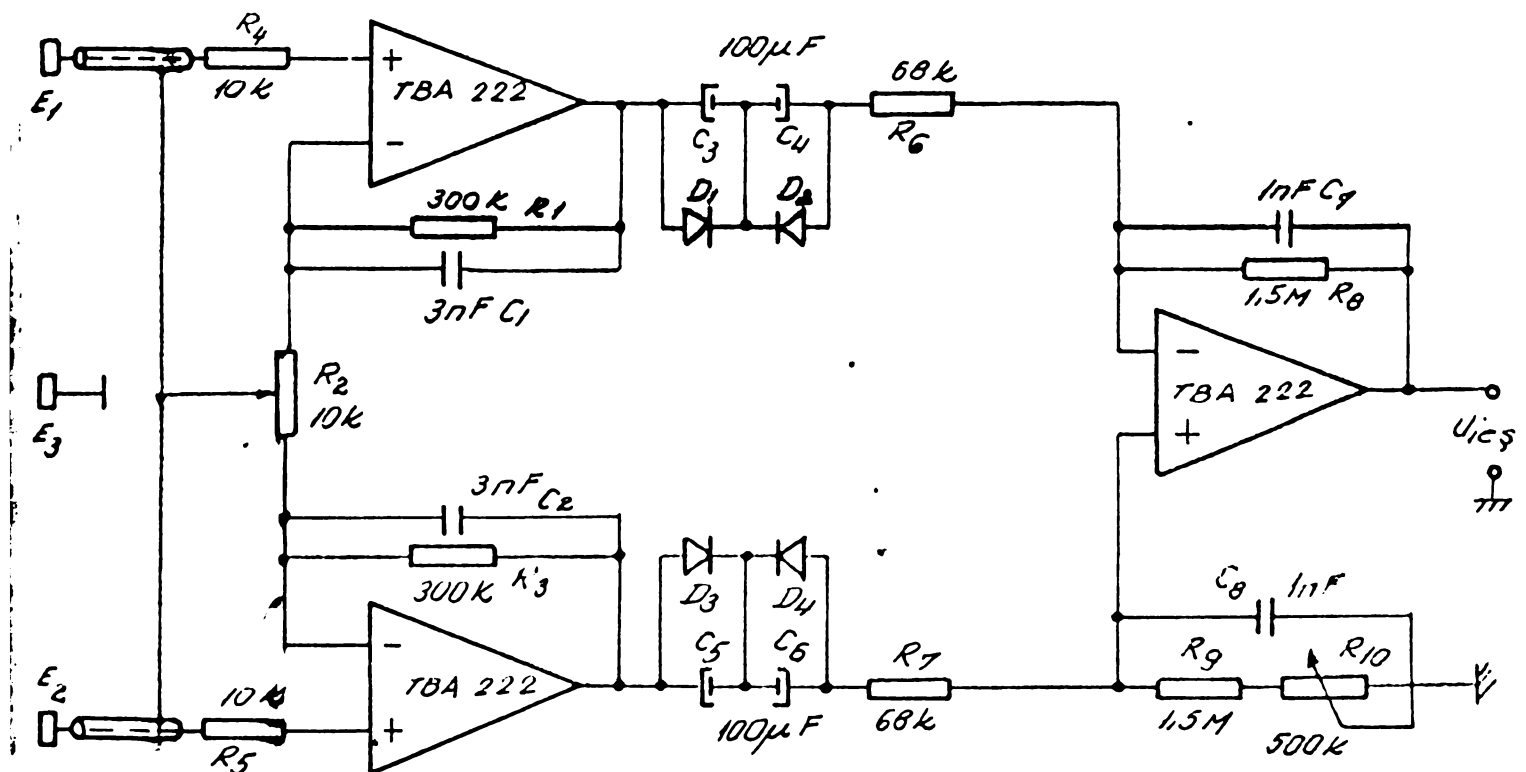


Fig. 3.7.

Fig. 3.7

La proiectarea preamplificatorului s-a impus să se realizeze o amplificare diferențială de 1300 și o bandă de frecvență de 0,05 - 100 Hz.

Limita inferioară a benzii de frecvență este determinată de constanta de timp  $R_6 C_3 = R_7 C_5$ .

$$f_j = \frac{1}{2\pi R_6 C_3} = \frac{1}{2\pi R_7 C_5} = 0,05 \text{ Hz} \quad (3-13)$$

Alegînd pentru  $R_5$  și  $R_7$  valoarea de  $68 \text{ k}\Omega$  rezultă  $C_3 = C_5 = 50 \mu\text{F}$ .

Caracteristica de frecvență a preamplificatorului are la limită superioară a benzii două puncte de frângere determinate de grupurile  $R_1C_1 = R_3C_2$  și  $R_8C_7 = (R_9+R_{10})C_8$ .

$$f_{s1} = \frac{1}{2\pi R_8 C_7} = \frac{1}{2\pi (R_9+R_{10})C_8} = 100 \text{ Hz} \quad (3.14)$$

Alegînd pentru  $R_8$  și  $(R_9+R_{10})$  valoarea de  $1,5 \text{ M}\Omega$ , rezultă  $C_7=C_8=1 \text{ nF}$ .

$$f_{s2} = \frac{1}{2\pi R_1 C_1} = \frac{1}{2\pi R_3 C_2} = 200 \text{ Hz} \quad (3.15)$$

Alegînd pentru  $R_1$  și  $R_3$  valoarea de  $300 \text{ k}\Omega$ , rezultă  $C_1=C_2 \approx 3 \text{ nF}$ .

Amplificarea globală este dată de relația :

$$A_{ud} = - \frac{R_8}{R_6} \left( 1 + \frac{R_1+R_3}{R_2} \right) \quad (3.16)$$

Din această relație rezultă o valoare de aproximativ  $10 \text{ k}\Omega$  pentru  $R_2$ . Cu aceste valori s-a realizat preamplificatorul de măsură, căruia caracteristici au fost măsurate și au valorile :

Impedanța de intrare diferențială =  $400 \text{ k}\Omega$

Impedanța de intrare pe mod comun =  $2,5 \text{ M}\Omega$

CMR-ul la  $50 \text{ Hz}$ , cu o rezistență de dezechilibrare de  $5 \text{ k}\Omega$ , =  $60 \text{ dB}$ .

Amplificarea diferențială, în banda de frecvență de  $0,05 - 100 \text{ Hz}$ , de  $1280$ .

In fig.3.8 se prezintă unda ECG corespunzătoare derivației  $D_2$  obținută prin utilizarea amplificatorului prezentat și cu elektrozi din oțel inoxidabil.

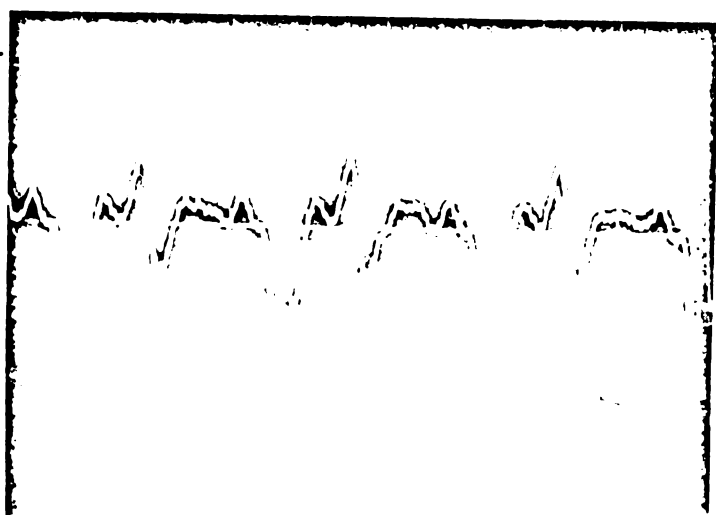


Fig.3.8

• 3.4. Alte metode de eliminare a zgomotelor

a) Utilizarea filtrelor crestate pentru rejecția zgomotului de 50 Hz. Cu filtre active a căror frecvență centrală este de 50 Hz se obțin rejecții bune.

b) Utilizarea unui preamplificator în apropierea electrozilor. Prin acesta se elimină interferența cauzată de curentii de deplasare indugi în legături, se elimină posibilitățile reducerii CMR-ului datorită dezechilibrului dintre impedanța electrozilor de măsură. Însă, prin atașarea preamplificatorului lîngă electrozi se îngreunează sistemul de fixare a acestora.

c) Eliminarea electroodului de la piciorul drept. În locul legăturii directe a electroodului de la piciorul drept la masa montajului se conectează un amplificator (fig.3.9), care

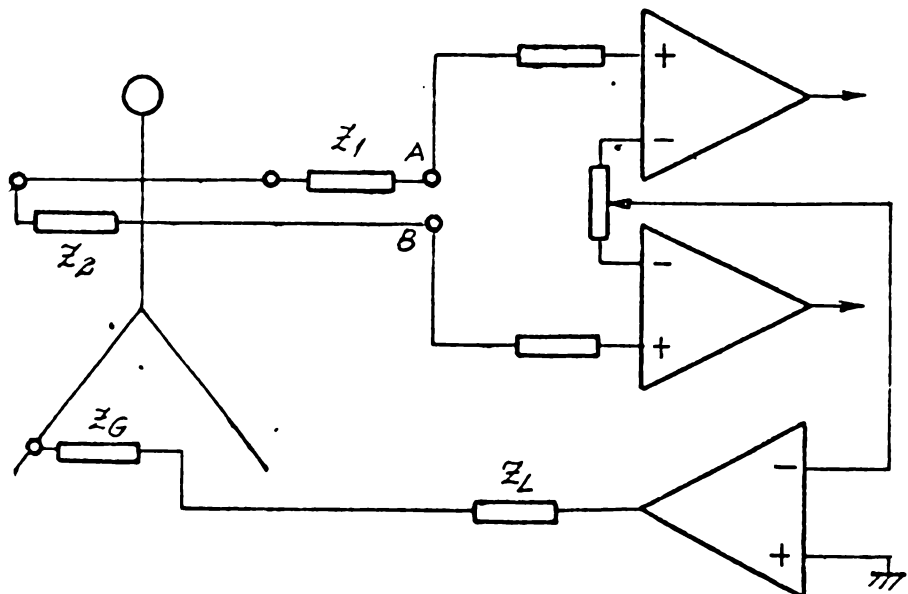


Fig. 3.9

Fig. 3.9

amplifică semnalul de mod comun. Acest amplificator introduce în corp un curent care are scopul de a egaliza curentii de deplasare ce circulă prin corp.

## CAPITOLUL 4

### APLICATIILE FILTRELOR NUMERICE IN MEDICINA

#### 4.1. Introducere

Ca urmare a dezvoltării tehnologiei componentelor și echipamentelor electronice numerice, s-a creat posibilitatea realizării practice a unor funcții numerice echivalente celor obținute anterior cu echipamente analogice. În realizarea acestor funcții : de modelare a sistemelor liniare și a filtrelor analogice ; de filtrare și prelucrare a semnalelor prin metode numerice, un loc important revine filtrelor numerice.

Filtrul numeric este caracterizat printr-un algoritm de calcul cu ajutorul căruia un semnal discret sau o succesiune de numere, reprezentând semnalul de intrare, se transformă într-o succesiune de numere, care exprimă semnalul de ieșire.

În ceea ce privește utilizarea calculatorilor în tehnica filtrării numerice există o mare gamă de posibilități : de la calculatoarele universale destinate să prelucreze o mare cantitate de informații, pînă la calculatoare mici, strict specializate, capabile de a rezolva probleme specifice, eficient și rapid. Tendința este să se utilizeze microprocesoare pentru realizarea filtrelor numerice și în special pentru acelea care lucrează în timp real.

Avantajele utilizării filtrelor numerice din punct de vedere al performanțelor în comparație cu cele analogice (cîștiul și banda de trecere rămîn constante tot timpul, au o pantă de creștere a atenuării, în banda de oprire, foarte mare) sunt completate de superioritatea filtrelor numerice ca urmare a faptului că oferă la ieșire semnale sub formă numerică.

Obținerea informației de ieșire sub formă numerică a valorii egantioanelor succesive creează nu numai posibilitatea creșterii preciziei de calcul ci și a stabilității performanțelor

Manipulara valorilor numerice permite stocarea intermediară a informației cu posibilități de utilizare la momente

diferite în vederea prelucrării acesteia conform diferitilor algoritmi.

Penetrarea filtrării numerice este impusă de faptul că ea constituie în prezent, în multe domenii, unicul procedeu eficient. Acesta este cazul în analiza și sinteza vocii umane, radiolocație, etc.

În ultimul timp, filtrarea numerică și-a găsit aplicații și în medicină.

Pe baza unei bibliografii foarte vaste, [37], [43], [55], [56], [66], [73], [91], [99], [101], [104], [110], [111], autorul face un studiu aprofundat a filtrelor numerice sub aspectul teoretic și mai ales practic. În urma acestui studiu, autorul stabilește un algoritm de analiză spectrală numerică a undei ECG.

#### 4.2. Prelucrarea electrocardiogramelor

Prelucrarea electrocardiogramelor cu ajutorul calculatorului numeric constituie subiectul multor articole de specialitate. Dintre problemele majore analizate atât din punct de vedere al performanțelor cît și al prețului de cost se pot amânta:

– numărul și tipul derivațiilor utilizate. Unii autori, [64], [69], [122], utilizează doar derivația standard  $D_2$ . Alții autori, [86], [120], folosesc unul din grupurile de 3 derivații ortogonale :  $(D_1, aVF, V_1)$  ;  $(aVL, D_2, V_4)$  ;  $(V_3, D_3, V_6)$  ;  $(V_2, aVR, V_5)$ . În unele centre de prelucrare, [76], se utilizează fie derivația Frank, fie 12 derivații (derivațiile bipolare standard, augmentate și cele precordiale) înregistrându-se simultan 3 derivații ortogonale ;

– rata de echantionare : 240 [64], 250 [69], 500 [76], [86], [134], 1000 eșantioane pe secundă și pe derivație [120], [129], printr-un convertorul analog-numerico utilizat ;  
– influența zgromotului asupra interpretării ;  
– metodele de identificare și măsurare a diferențelor componente din unda ECG ;  
– metodele de analiză și interpretare.

Aspectele menționate mai sus au fost intens dezbatute la simpozionul : "Prelucrarea electrocardiogramelor", Helsinki, 1976. În urma acestor dezbateri s-a ajuns la concluzia că este

absolut necesar cooperarea internațională și națională a specialistilor în vederea standardizării, măcar pe plan național, derivațiilor utilizate, ratei de eșantionare, criteriilor de măsură și interpretare.

#### 4.2.1. Eliminarea zgomotului introdus de rețea și de alimentare

După conversia analog-numerică, cu o rată de eșantionare de 1000 eșant./sec. a undei ECG amplificate, semnalele sunt prelucrate în vederea eliminării zgomotului de 50 Hz și a armonicelor superioare ale acestuia.

Weaver Charles, [129] utilizează un filtru crestăt de 60 Hz și un filtru trece jos pentru eliminarea zgomotului de 60 Hz din unda ECG. Filtrele utilizate sunt filtre recursive, adică valoarea curentă a semnalului de ieșire depinde de valoările anterioare ale mărimii de ieșire, precum și de valorile curente și anterioare ale mărimii de intrare. Ecuatiile ce caracterizează filtrele Butterworth cu 6 poli, utilizate de Weaver, sunt:

- pentru filtrul crestăt :

$$\begin{aligned} f_1(nT) &= x(nT) - b_1 f_1[(n-1)T] - b_2 f_1[(n-2)T] \\ f_2(nT) &= f_1(nT) + a_1 f_1[(n-1)T] + f_1[(n-2)T] - b_3 f_2[(n-1)T] \\ &\quad - b_4 f_2[(n-2)T] \\ f_3(nT) &= f_2(nT) + a_1 f_2[(n-1)T] + f_2[(n-2)T] - b_5 f_3[(n-1)T] \\ &\quad - b_6 f_3[(n-2)T] \\ y(nT) &= a_1 f_3[(n-1)T] + f_3[(n-2)T] \end{aligned} \tag{4.1}$$

Când perioada de eșantionare  $T=1$  ms,  $f=60$  Hz și lățimea crește este de 1 Hz coeficienții au următoarele valori :

$$\begin{array}{ll} a_1 = -1,859553 & b_4 = 0,9875122 \\ b_1 = -1,849699 & b_5 = -1,857636 \\ b_2 = 0,9937365 & b_6 = 0,9937365 \\ b_3 = -1,847906 & T = 1 \text{ ms} \end{array} \tag{4.2}$$

- pentru filtrul trece jos :

$$\begin{aligned}
 f_1(nT) &= x(nT) - b_1 f_1[(n-1)T] - b_2 f_1[(n-2)T] \\
 f_2(nT) &= f_1(nT) - b_3 f_2[(n-1)T] - b_4 f_2[(n-2)T] \\
 f_3(nT) &= f_2(nT) - b_5 f_3[(n-1)T] - b_6 f_3[(n-2)T] \\
 y(nT) &= b_0 f_3(nT)
 \end{aligned} \tag{4.3}$$

în care :

$$\begin{aligned}
 b_1 &= -(z_1 + \bar{z}_1) & b_4 &= |z_2|^2 \\
 b_2 &= |z_1|^2 & b_5 &= -(z_3 + \bar{z}_3) \\
 b_3 &= -(z_2 + \bar{z}_2) & b_6 &= |z_3|^2
 \end{aligned} \tag{4.4}$$

$$b_0 = \frac{(1+b_1 e^{-j\beta T} + b_2 e^{-2j\beta T})(1+b_3 e^{-j\beta T} + b_4 e^{-2j\beta T})(1+b_5 e^{-j\beta T} + b_6 e^{-2j\beta T})}{1-2e^{-j2\beta T} + e^{-j4\beta T}}$$

unde  $z_i$  sunt polii filtrului în planul z, iar  $\beta$  este frecvența centrală în rad/s.

Efectele acestor filtre, [129], sunt prezentate în fig. 4.1.

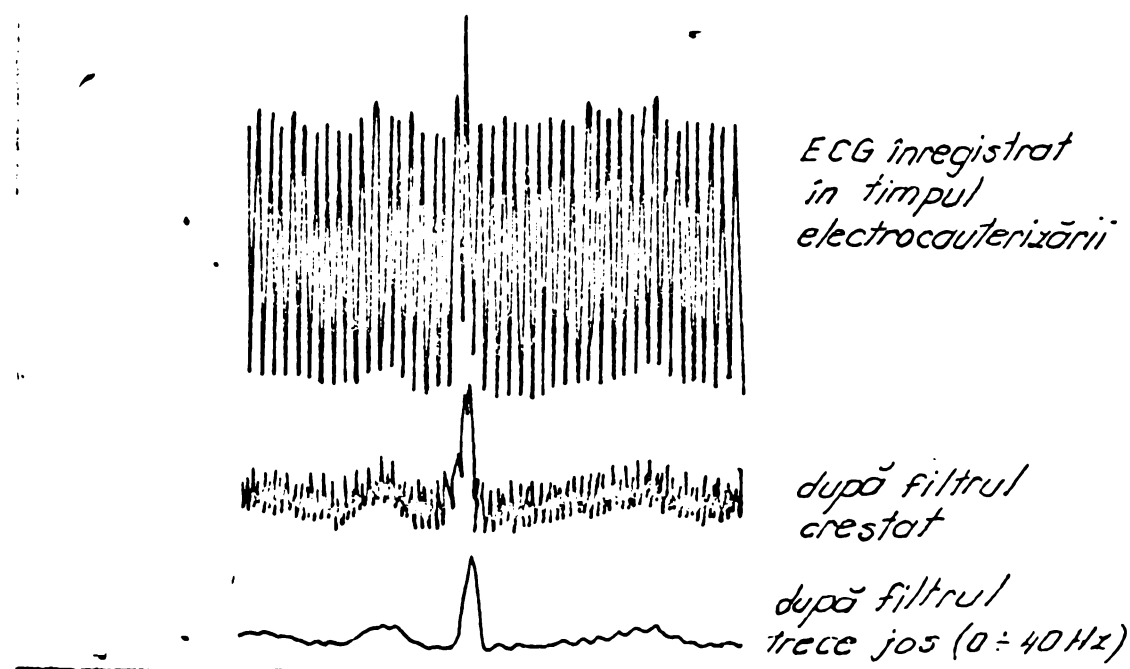


Fig.4.1

În vederea eliminării zgomotului de 50 Hz și a armonicelor sale, autorul a elaborat un program FORTRAN pentru calculul coeficientilor filtrului crestat și a filtrului trece jos. Ecuatiile ce caracterizează filtrul crestat pentru care s-a elaborat programul sunt date de relațiile (4.1). În urma

rulării programului, pentru  $T = 1 \text{ ms}$  și  $f = 50 \text{ Hz}$ , au rezultat următoarele valori :

$$\begin{aligned} a_1 &= -1,90211296 & b_4 &= 0,99373728 \\ b_1 &= -1,89841556 & b_5 &= -1,90210533 \\ b_2 &= 0,99806153 & b_6 &= 0,99806165 \\ b_3 &= -1,89614772 \end{aligned} \quad (4.5)$$

Filtrul numeric trece jos utilizat de autor este un filtru trece jos de tipul Butterworth cu 4 poli, a cărui poli, [129], în planul Z sunt :

$$z_1 = e^{\frac{s_1 T}{2}} = e^{-2\alpha T \cos \frac{3\pi}{8}} \left[ \cos(2\alpha T \sin \frac{3\pi}{8}) + j \sin(2\alpha T \sin \frac{3\pi}{8}) \right] \quad (4.6)$$

$$z_2 = e^{\frac{s_2 T}{2}} = e^{-2\alpha T \cos \frac{\pi}{8}} \left[ \cos(2\alpha T \sin \frac{\pi}{8}) + j \sin(2\alpha T \sin \frac{\pi}{8}) \right]$$

Funcția de transfer a acestui filtru este :

$$H(z) = b_0 \frac{z^2}{(z-z_1)(z-\bar{z}_1)(z-\bar{z}_2)(z-\bar{z}_2)} \quad (4.7)$$

În următorul

$$b_0 = (1+b_1+b_2)(1+b_3+b_4) \quad (4.8)$$

Ecuatiile cu diferențe finite pentru forma paralel, [129], sunt:

$$\begin{aligned} f_1(nT) &= x(nT) - b_1 f_1[(n-1)T] - b_2 f_1[(n-2)T] \\ f_2(nT) &= x(nT) - b_3 f_2[(n-1)T] - b_4 f_2[(n-2)T] \\ y(nT) &= a_1 f_1(nT) + a_2 f_1[(n-1)T] + a_3 f_2(nT) + a_4 f_2[(n-2)T] \end{aligned} \quad (4.9)$$

În ceea ce :

$$\begin{aligned} a_1 &= K_1 + \bar{K}_1 & b_1 &= -(z_1 + \bar{z}_1) \\ a_2 &= -(z_1 \bar{K}_1 + \bar{z}_1 K_1) & b_2 &= |z_1|^2 \\ a_3 &= K_2 + \bar{K}_2 & b_3 &= -(z_2 + \bar{z}_2) \\ a_4 &= -(z_2 \bar{K}_2 + \bar{z}_2 K_2) & b_4 &= |z_2|^2 \end{aligned} \quad (4.10)$$

$$K_1 = (z - z_1) \frac{H(z)}{z^2} \Big|_{z=-z_1} \quad K_2 = (z - z_2) \frac{H(z)}{z^2} \Big|_{z=-z_2}$$

In urma rulării programului, pentru  $T = 1$  ms și frecvență de ieiare de 40 Hz, au rezultat următoarile valori :

$$\begin{array}{ll} a_1 = 0,22641670 & b_1 = -1,57325374 \\ a_2 = -0,12269067 & b_2 = 0,62851721 \\ a_3 = -0,22641670 & b_3 = -1,76785278 \\ a_4 = 0,16561913 & b_4 = 0,82501316 \end{array} \quad (4.11)$$

#### 4.2.2. Analiza spectrală numerică a undei ECG

Pentru eliminarea zgomotului generat de tremurul mușchiului (zgomot care are banda de frecvență peste 50 Hz și este specific subiectului) este necesar utilizarea unui filtru adaptat la tremur (filtru a cărui coeficienți se ajustează după un algoritm ce urmărește maximul raportului semnal-zgomot).

Tinând cont de faptul că spectrul de frecvență atât a undei ECG cât și a zgomotului mușchiului miocardic diferă de la subiect la subiect, realizarea unui filtru adaptat la tremur implică cunoașterea anticipată a spectrului undei ECG și a zgomotului.

Autorul stabilește un program FORTRAN de analiză spectrală numerică a undei ECG. Analizorul numeric simulaț pe calculatorul FELIX C 256 conține 18 filtre Butterworth cu 4 poli. Primele 10 filtre au lățimea benzii de 10 Hz, iar următoarele 8 filtre de 50 Hz. Schema bloc a analizorului numeric este prezentată în fig. 4.2.

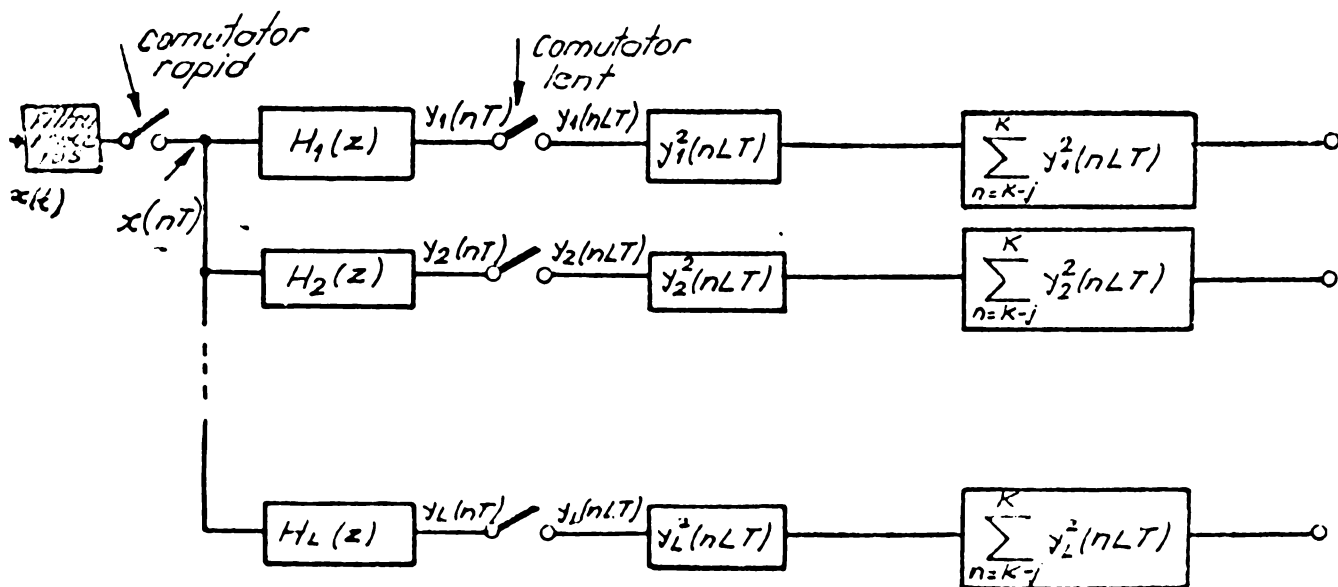


Fig. 4.2.

Filtrul trece jos permite trecerea frecvențelor de la 0 Hz la MHz. Procesul de egantionare rapidă se realizează cu ajutorul unui convertor analog-numeric. Frecvența de eșantionare a semnalului  $x(t)$  este mai mare sau egală de  $2W$ . ( $T \leq \frac{1}{2W}$ )

Filtrul de bandă îngustă îi permite trecerea frecvențelor cuprinse în domeniul  $(i-1)/2TL$  și  $i/2TL$  Hz. Comutatorul lent se închide la fiecare a  $L$ -a închidere a comutatorului rapid și ieșirea filtrului  $i$   $[y_i(nLT)]$  este ridicată la patrat și adunată la suma curentă a precedentelor valori  $(j-1)$  ale lui  $y_i^2(nLT)$ . Parametrul  $j$  poate fi variat la opțiunea programatorului.

Funcția de transfer a filtrului  $i$ ,  $[l_{11}], [l_{12}]$ , este :

$$H_i(z) = b_{oi} \frac{z^2(z-1)(z+1)}{(z-z_{li})(z-\bar{z}_{li})(z-z_{2i})(z-\bar{z}_{2i})} = \\ = b_{oi} \frac{(1-z^{-1})(1+z^{-1})}{(1+b_{1i}z^{-1}+b_{2i}z^{-2})(1+b_{3i}z^{-1}+b_{4i}z^{-2})} \quad (4.12)$$

unde

$$b_{oi} = \frac{(1+b_{1i}e^{-j\beta_i T} + b_{2i}e^{-2j\beta_i T})(1+b_{3i}e^{-j\beta_i T} + b_{4i}e^{-2j\beta_i T})}{(1-e^{-j\beta_i T})(1+e^{-j\beta_i T})}$$

$\beta_i = \frac{2\pi W}{L} (i - \frac{1}{2})$  este frecvența centrală a filtrului. Ecua-

țiile cu diferențe finite pentru combinația în paralel sunt :

$$f_{li}(nT) = x(nT) - b_{1i}f_{li}[(n-1)T] - b_{2i}f_{li}[(n-2)T] \\ f_{2i}(nT) = x(nT) - b_{3i}f_{2i}[(n-1)T] - b_{4i}f_{2i}[(n-2)T] \quad (4.13) \\ y_i(nT) = a_{1i}f_{li}(nT) + a_{2i}f_{li}[(n-1)T] + a_{3i}f_{2i}(nT) + a_{4i}f_{2i}[(n-1)T]$$

în care :

$$\begin{array}{ll} a_{1i} = K_{li} + \bar{K}_{li} & b_{1i} = -(z_{li} + \bar{z}_{li}) \\ a_{2i} = -(z_{li} \bar{K}_{li} + \bar{z}_{li} K_{li}) & b_{2i} = |z_{li}|^2 \\ a_{3i} = K_{2i} + \bar{K}_{2i} & b_{3i} = -(z_{2i} + \bar{z}_{2i}) \\ a_{4i} = -(z_{2i} \bar{K}_{2i} + \bar{z}_{2i} K_{2i}) & b_{4i} = |z_{2i}|^2 \end{array} \quad (4.14)$$

$$K_{1i} = (z - z_{1i}) \frac{H_i(z)}{z^2} \Big|_{z=-z_{1i}} \quad K_{2i} = (z - z_{2i}) \frac{H_i(z)}{z^2} \Big|_{z=-z_{2i}}$$

Pozitia polilor  $z_{ji}$ ,  $j=1,2$ , este data de relatie :

$$z_{ji} = e^{-\alpha_i T} \cos(\beta_{ji} T) + j \sin(\beta_{ji} T) \quad (4.15)$$

unde  $2\alpha_i$  [rad/sec] reprezinta latimea benzii filtrelor utilizate :

$$s_{li} = -\frac{2\pi w}{2L} \cos 45^\circ + j(\beta_i + \frac{2\pi w}{L} \sin 45^\circ) = -\alpha_i + j\beta_{li}$$

$$s_{2i} = -\frac{2\pi w}{2L} \cos 45^\circ + j(\beta_i - \frac{2\pi w}{L} \sin 45^\circ) = -\alpha_i + j\beta_{2i} \quad (4.16)$$

$$\beta_i = \frac{2\pi w}{L}(i - \frac{1}{2})$$

Primele 10 filtre utilizate au latimea benzii de 10 Hz, iar urmatoarele 8 filtre au latimea de 50 Hz (fig. 4.3),

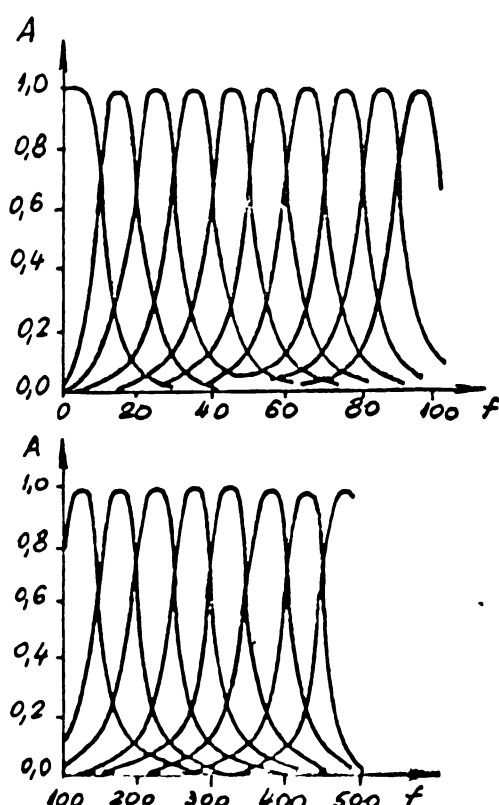


Fig. 4.3

Fig. 4.3

Filtrul nr.1 din analizor este un filtru care trece jos și căruia poli sănt date de relațiile (4.6).

Functia de transfer a acestui filtru este data de relația (4.7).

Ecuatiile cu diferențe finite pentru forma paralelă a acestui filtru sănt date de relațiile (4.9). Coeficienții care intervin în aceste ecuații se determină cu relațiile (4.6) și (4.10).

Filtrul care trece sus (nr.18) este imaginea în oglindă a filtrului care trece jos (nr.1). Deci,

$$\begin{aligned} Z_{118} &= -Z_{11} \\ Z_{213} &= -Z_{21} \end{aligned} \quad (4.17)$$

Ecuatiile ce caracterizează acest filtru sănt date de relațiile 4.9. Calculul coeficienților este identic cu cel pentru filtrul care trece jos.

Programul de analiză spectrală, realizat de autor, constă din două subprograme, și anume : un subprogram pentru calculul coeficienților și un subprogram pentru analiza spectrală propriu-zisă. În figurile 4.4, 4.5 și 4.6 se prezintă organigrammele pentru calculul coeficienților, iar în figurile 4.7 și 4.8 organigrammele pentru analiza spectrală a undei ECG. În aceste organigramme se specifică rolul fiecărei variabile utilizate și scopul fiecărui bloc de calcul.

În anexa A1 se prezintă programul scris în limbajul FORTRAN și rezultatele obținute în urma rulării pe calculatorul FELIX C 256. Datele corespunzătoare unui ciclu cardiac au fost introduse prin puncte. Aceste valori s-au luat la o rază de eșantionare de 1000 eșant./sec.

#### 4.2.3. Măsurarea parametrilor caracteristici undei ECG

Principalul obiectiv în analiza automată a electrocardiogramelor constă în măsurarea parametrilor specifici unui ciclu cardiac. Problema se reduce la identificarea diferențelor componente dintr-un ciclu cardiac și la măsurarea duratălor și amplitudinilor acestora, precum și a intervalelor. La ora actuală există diverse procedee de măsurare a parametrilor undei ECG. În continuare, autorul descrie succint unul din aceste procedee.

In scopul identificării diferitelor componente ale electrocardiogramei trebuie să parcurse mai multe etape, [13], [64], [69], [36], [120].

In prima etapă se stabilește un punct de referință față de care se determină celelalte elemente caracteristice. Acest punct de referință corespunde vîrfului undei R. Identificarea acestui punct se face prin găsirea maximului primei derive. Cercetările experimentale au arătat că valoarea puncte  $3\mu V/msec$  [120], pentru prima derivată au fost găsite doar la undele P, T și complexele QRS.

In a doua etapă se determină începutul și sfîrșitul unei unde. Din punctul unde s-a găsit maximul primei derive se cercetează în față și în spatele acestui punct pînă valoarea pentru prima derivată devine mai mică de  $3\mu V/msec$ . In felul acesta se determină începutul și sfîrșitul complexului QRS. In continuare, de la punctul ce marchează începutul complexului QRS se cercetează în față pînă ce prima derivată depășește valoarea de  $3\mu V/msec$ . Acest punct marchează sfîrșitul undei P. Dacă o astfel de valoare nu există se decide că nu există unde P. In cazul unor înregistrări ce conțin unde P, se cercetează începînd de la începutul înregistrării valorile corespunzătoare primei derive. Se determină punctul în care se obține prima dată o valoare peste  $3\mu V/msec$ . Acest punct se consideră ca fiind începutul undei P. In cazul cînd intervalul de timp dintre punctul de sfîrșit al undei P și cel de început diferă doar cu cîteva milisecunde se consideră că începutul undei P nu este identificat. In acest caz procedeul se repetă considerînd o valoare mai mică de  $3\mu V/msec$  pentru pragul primei derive. Similar se procedează și pentru unda T.

In a patra etapă se determină duratele și amplitudinile undelor identificate. Pentru măsurarea duratelor se utilizează timpi corespunzători începutului și sfîrșitului undelor. Valoarea maximă a eșantioanelor corespunzătoare undei ECG cuprinsă între cele două puncte reprezintă amplitudinea undei respective.

In a cincă etapă se crează fișiere cu mărimele determinate, și anume :

- un fișier prin care se specifică momentul ce marchează începutul și sfîrșitul undelor P și al complexelor QRS față de momentul corespunzător începutului înregistrării.

. . . - un fișier prin care se specifică tipul fiecărei unde. Această figier conține cifre de la 1 la 6. Cifrele 1 la 4 indică tipul undei P și anume :

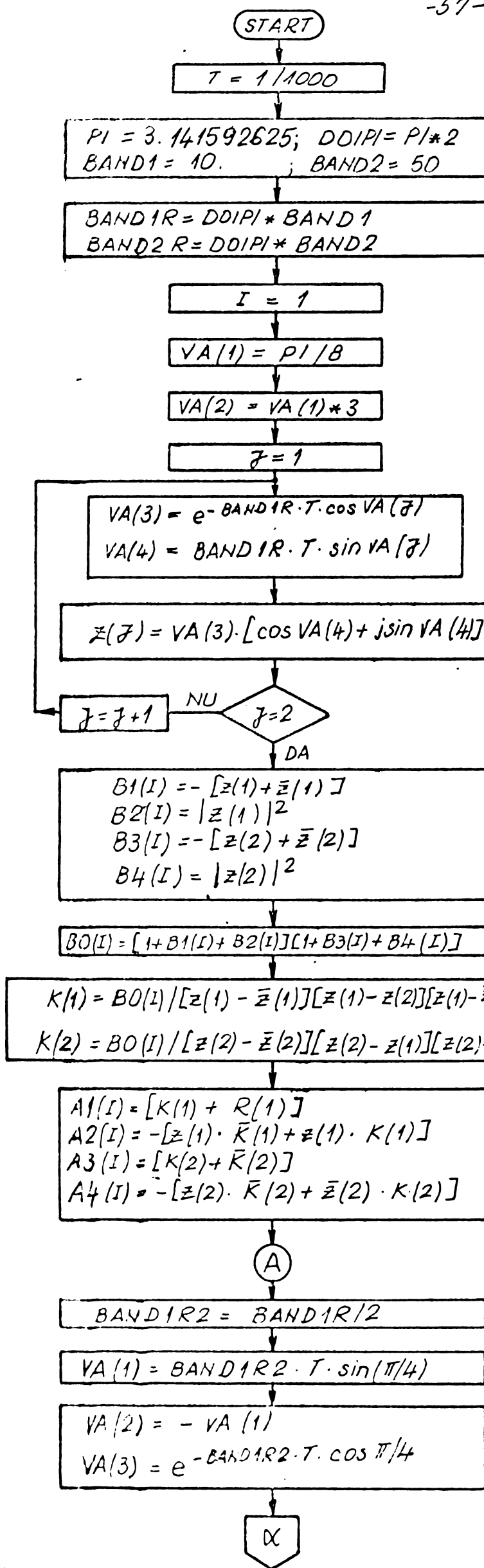
- 1 pentru unda a cărei amplitudine pozitivă este mai mică de 0,25 mV și durată mai mică de 110 msecunde ;
- 2 pentru undă cu amplitudine negativă și durată mai mică de 110 msec ;
- 3 pentru undă cu amplitudine pozitivă mai mică de 0,25 mV și durată mai mare de 110 msec. ;
- 4 pentru undă cu amplitudine negativă și durată mai mare do 110 msec.

Cifrele 5 și 6 indică tipul complexului QRS și anume :

- 5 pentru complexul care are amplitudine pozitivă mai mică de 1,6 mV și durată mai mică de 100 msec. ;
- 6 pentru complexul cu amplitudine pozitivă mai mică de 1,6 mV și durată mai mare de 100 msec.

Limitele de mai sus categorisesc undele în normale și anormale. Aceste limite sunt specifice derivației D<sub>2</sub>, [127]. De asemenea, în această etapă se face media aritmetică a amplitudinelor, respectiv a duratelor corespunzătoare fiecărui tip de undă găsit. Totodată, se calculează numărul total al undelor identificate.

Cu aceste date se intră în programul de analiză și interpretare automată.



$T$  = perioada de esantionare

$I$  = contor pentru filtre

$J$  = contor pentru poli filtreului

$BAND1R, BAND2R$  = lățimea de bandă a filtrelor în radier (corespunzător lui  $2\alpha$ )

$VA(k)$  = variabile auxiliare de calcul

$$z_1 = e^{-2\alpha T \cos \frac{3\pi}{8}} \cdot \left[ \cos(2\alpha T \sin \frac{3\pi}{8}) + j \sin(2\alpha T \sin \frac{3\pi}{8}) \right]$$

$$z_2 = e^{-2\alpha T \cos \frac{3\pi}{8}} \cdot \left[ \cos(2\alpha T \sin \frac{3\pi}{8}) + j \sin(2\alpha T \sin \frac{3\pi}{8}) \right]$$

$$b_{1i} = -(z_{1i} + \bar{z}_{1i})$$

$$b_{2i} = |z_{1i}|^2$$

$$b_{3i} = -(z_{2i} + \bar{z}_{2i})$$

$$b_{4i} = |z_{2i}|^2$$

$$K_{1i} = (z - z_{1i}) \left. \frac{H(z)}{z^2} \right|_{z=z_{1i}}$$

$$K_{2i} = (z - z_{2i}) \left. \frac{H(z)}{z^2} \right|_{z=z_{2i}}$$

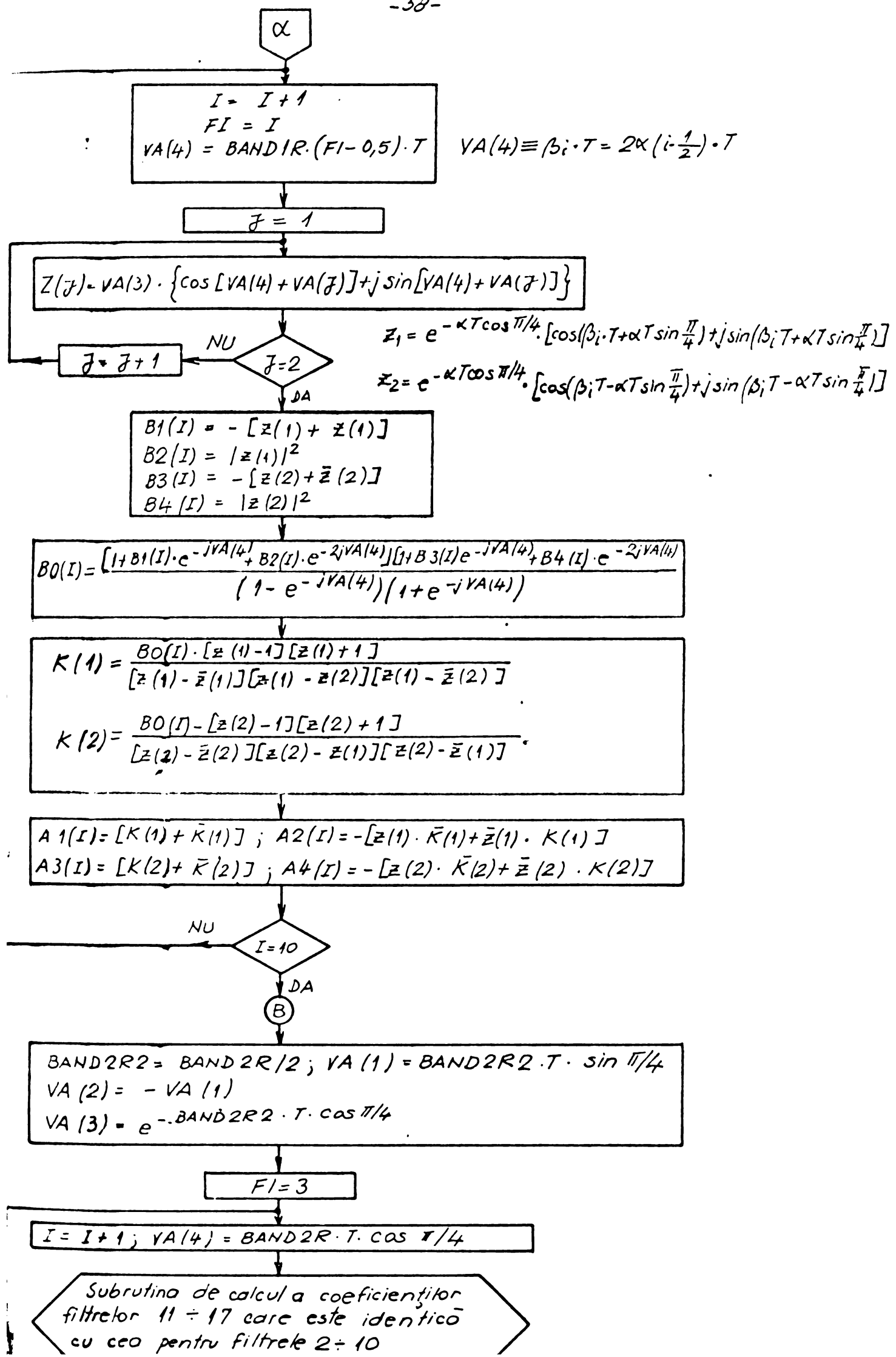
$$a_{1i} = (K_{1i} + \bar{K}_{1i})$$

$$a_{2i} = -(z_{1i} \cdot K_{1i} + \bar{z}_{1i} \cdot \bar{K}_{1i})$$

$$a_{3i} = K_{2i} + \bar{K}_{2i}$$

$$a_{4i} = -(z_{2i} \cdot K_{2i} + \bar{z}_{2i} \cdot \bar{K}_{2i})$$

$BAND1R2$  corespunde lui  $\alpha$



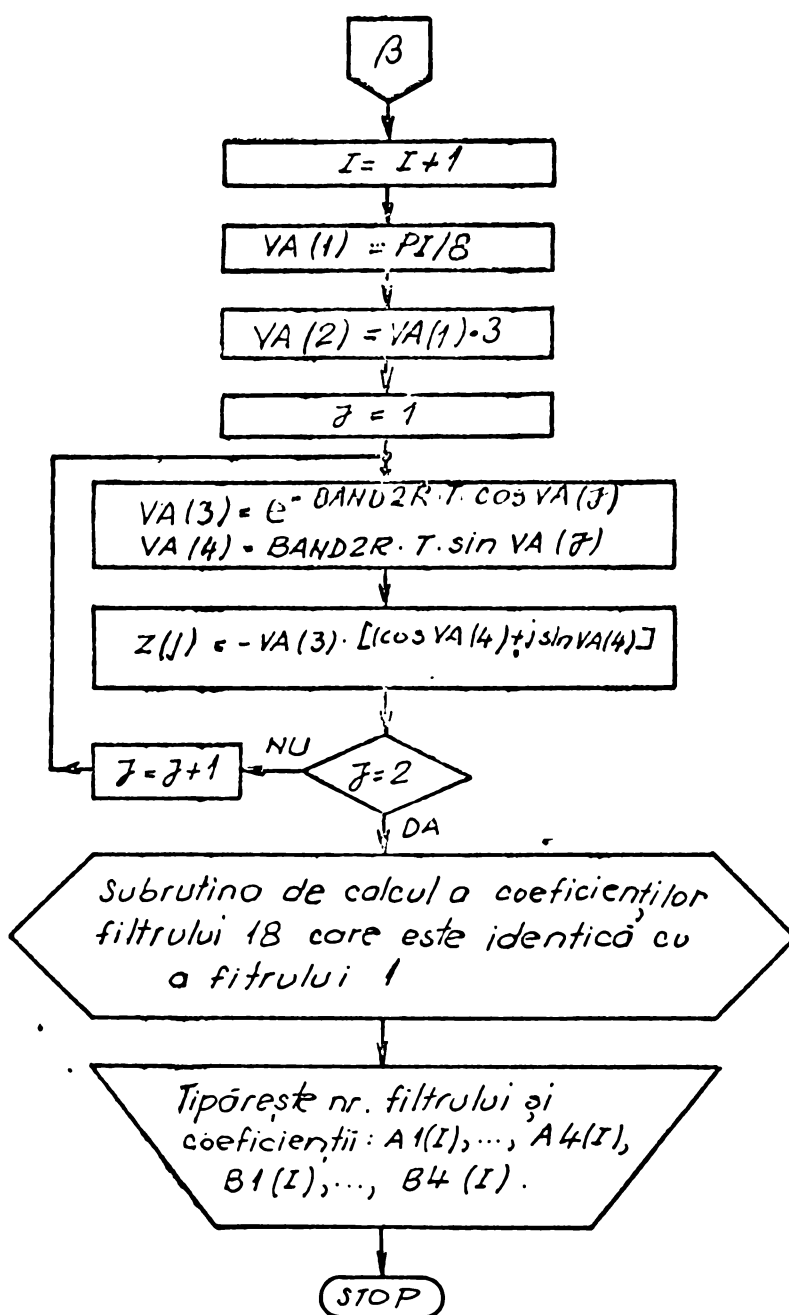
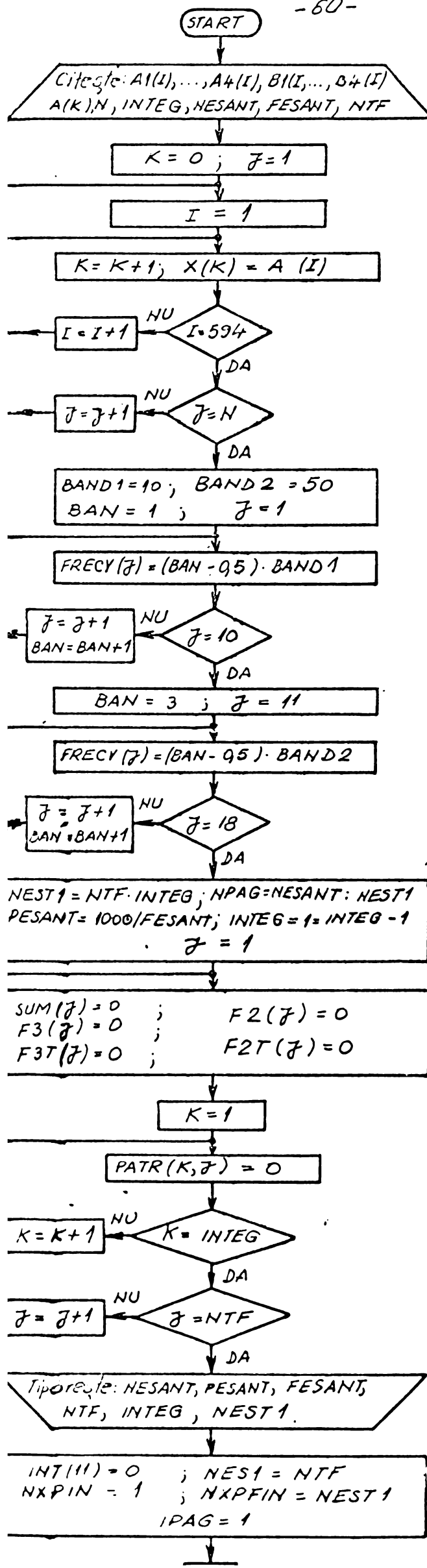


Fig.: 4.6.



INTEG : Domeniul de integrare (nr. de coloane ce se adună)

FESANT = frecvența de esantionare a ECG-ului

NTF = nr. total de filtre

NESANT = nr. total de esantioare

A(K) = esantioane pînă o perioadă ECG

Se stabilesc valorile ECG pentru N perioade

Se determină frecvența centrală a primelor 10 filtre care au lățimea benzii de 10 Hz

Se determină frecvența centrală a următoarelor 8 filtre care au lățimea benzii de 50 Hz.

NEST1 = nr. de puncte ce se tipăresc pe linie

NPAG = nr. de pagini

PESANT = perioada de esantionare a ECG-ului

INTEG1 = variabilă de calcul

Stabilirea condițiilor initiale:

SUM = suma dintre PATR(K,J)

F2 pentru  $f_2(nT)$

F2T pentru  $f_2[(n-1)T]$

F3 pentru  $f_3(nT)$

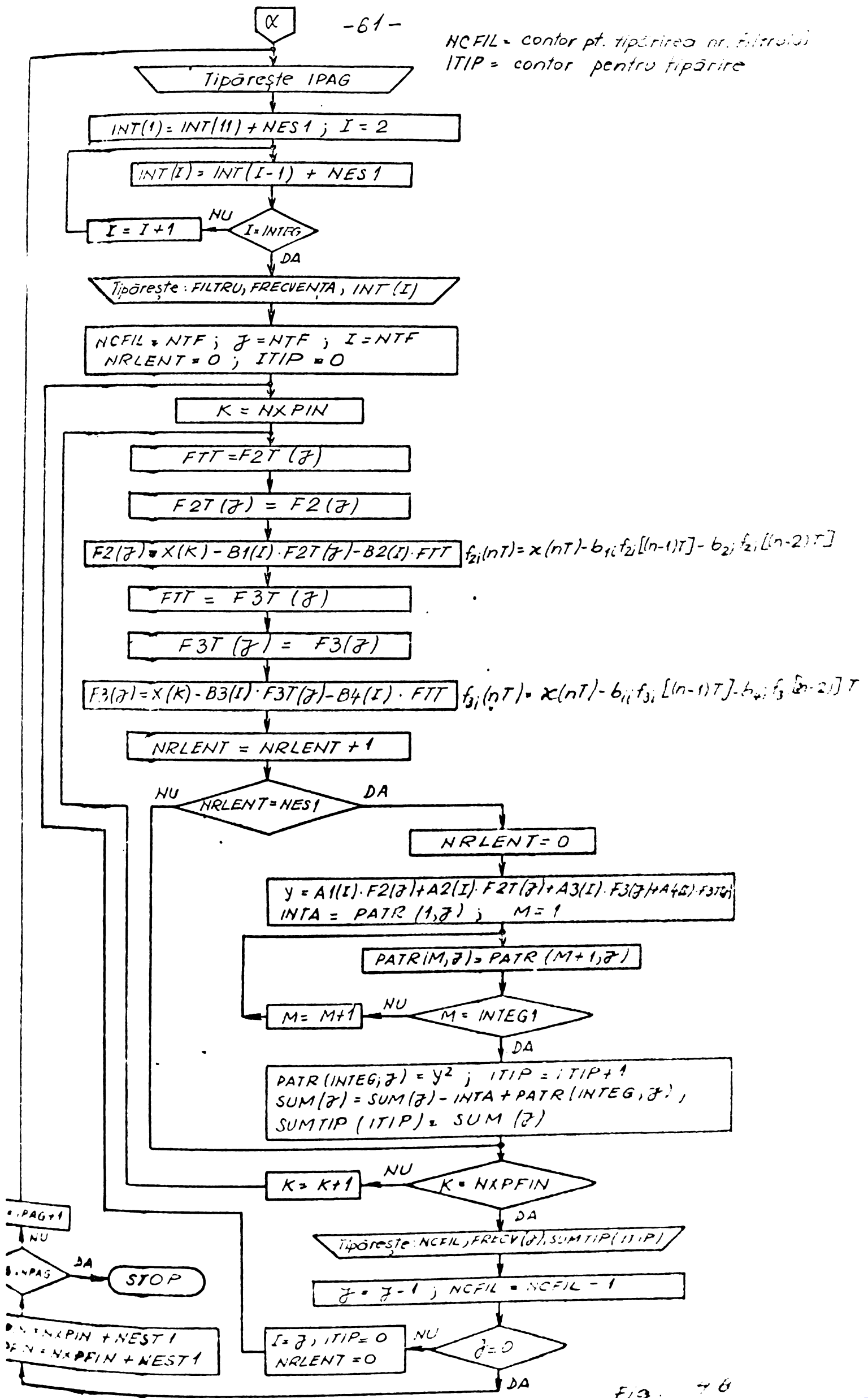
F3T pentru  $f_3[(n-1)T]$

INT = contor pt. tipărirea numărului de esantioane prelucrate

NES1 = contor pt. tipărirea pe coloană

NXPIN = contor pt. extragerea datelor  $x(k)$  pe pagini, valoare inițială

NXPFIN = contor pt. extragerea datelor  $x(k)$  pe pagini, valoare finală



## CAPITOLUL 5

### ALGORITMI PENTRU ANALIZA AUTOMATA A TULBURARILOR DE RITM CARDIAC

#### 5.1. Introducere

Un progres important în interpretarea datelor obținute prin investigațiile paraclinice ale sistemului cardiovascular, îl constituie preluarea, stocarea și interpretarea diversilor parametri cu ajutorul calculatoarelor.

Din multitudinea de fenomene biologice analizate de calculator, un progres important s-a înregistrat în analiza traseelor ECG cu posibilitatea de a semnaliza alterații patologice de mare finețe ce apar pe aceste trasee. Analiza electrocardiografică cu ajutorul calculatorului a început să treacă din fază de cercetare spre o tehnică validată.

Sistemele de analiză automată a electrocardiogramelor conțin un număr mare de periferice destinate achiziționării, memorării și afișării informațiilor și un calculator cu o memorie adecvată. Problema principală a acestor sisteme cu mare putere de calcul o constituie programele de analiză și interpretare. Unele sisteme sunt, la ora actuală, comercializate. Fiecare beneficiar are anumite pretenții pentru analiza ECG-ului [76], ceea ce face necesară modificarea și extensia sistemului de bază proiectat. În plus, intrările de date pentru diferite clase de ECG, nevoie de comparare și de memorare pe termen lung, sunt modificări care trebuie luate în considerare. De asemenea, localizarea geografică a diferitelor centre de prelucrare implică modificări în structura sistemului de bază.

Configurația de bază a unui sistem de prelucrare automată a electrocardiogramelor conține următoarele subsisteme :

- un echipament terminal constituit din unități de achiziții de date ; unități de memorare (de obicei bandă magnetică) ;

- un echipament controlat de un microprocesor, pentru transmiterea prin telefon a informației;

- un echipament central de calcul constituit din : calculator de capacitate mare ; unități de memorare (benzi magnetice, discuri magnetice de capacitate mare), etc.

- Bibliotecă cu programe de măsurare a diferenților parametrui din unda ECG și de analiză automată a electrocardiogramelor. La ora actuală, aceste programe nu sunt prezentate în literatură. Articolele de specialitate prezintă doar rezultatele și performanțele obținute cu aceste programe în comparație cu interpretarea manuală făcută de cardiologi. În general, toate aceste programe conțin subprograme de analiză a ritmului cardiac.

Analiza tulburărilor ritmului cardiac este de o importantă deosebită deoarece aritmii cardiaice reprezintă o cauză de morbiditate și mortalitate majoră în patologie. În această direcție, autorul a elaborat doi algoritmi pentru analiza aritmilor, [23], [24], [34].

### 5.2. Algoritm pentru determinarea activității fizice

Mansourian, [87], arată că între ritmul inimii și consumul de energie [Kcal/min] există o relație liniară :

$$W = 0,1242 f_h - 7,91 \quad (5.1)$$

unde  $f_h$  reprezintă ritmul inimii iar  $W$  este energia consumată.

Calculul acestei energii pe baza unui ritm mediu nu reflectă dacă în activitatea subiectului au existat perioade cu efort intens. Analiza, bătaie cu bătaie, a distribuției în timp a ritmului cardiac, pe intervale de monitorizare de ordinul orelor, necesită înregistrarea pe o bandă magnetică, cu capacitate de memorare suficient de mare, a unei ECG și apoi prelucrarea acestei informații de către o unitate specializată. Această metodă presupune realizarea unui echipament relativ costisitor și o manipulare a acestuia de către personal specializat.

În vederea reducerii complexității unui astfel de sistem Mansourian, [87], recomandă că diferențierea și înregistrarea ritmului să se facă în 8 clase. El presupune că aceste clase reflectă 8 nivele diferite de activitate fizică. Prin aplicarea formulei (5.1) la fiecare clasă se poate pune în evidență activitățile fizice mai mult sau mai puțin intense.

Pornind de la această idee, autorul realizează un monitor portabil de ritm cardiac. Descrierea acestuia precum și o parte din rezultatele obținute se vor prezenta în capitolul 6.

### 5.3. Algoritm bazat pe analiza morfologică a undei ECG

#### 5.3.1. Descrierea metodei

Ideeă de bază, după care autorul a conceput acest algoritm, este aceea de a determina majoritatea complexelor QRS care au aceeași durată, aceeași amplitudine și același interval RR. Deoarece și în cazul unor subiecți cu ECG perfect normal se constată mici abateri de la un ciclu cardiac la altul a parametrilor specifice mai sus, [127], se admite o tolerantă de  $\pm 20\%$ . În funcție de valoarea celor trei parametrii ce caracterizează fiecare complex QRS se face o clasificare a acestora. În cazul în care există o singură clasă (toate complexele QRS se repetă la intervale aproximativ egale și au aceeași amplitudine și durată) se consideră că subiectul are un ritm regulat. Natura acestui ritm de bază se determină în subrutina de ritm dominant. Datele cu care operează această subrutină sunt : media aritmetică a intervalelor RR și PP ; durata și amplitudinea complexelor QRS și a undelor P ; media aritmetică a intervalelor PR ; numărul de unde P și complexe QRS găsite în înregis- trare. De asemenea se verifică prezența undelor P în fața complexului QRS.

În cazul în care sunt mai multe clase se testează dacă există o clasă dominantă (clasa care să conțină mai mult de 70% din numărul total de QRS-uri). În cazul în care există o astfel de clasă se consideră că ritmul este cvasiregulat, [113], [127], [133]. Natura acestui ritm se determină în subrutina de ritm dominant pe baza mărimilor specifice complexelor QRS și a undelor P din clasa respectivă. Restul de unde se analizează în subrutina de decizii suplimentare. În această subrutină se analizează mărimile ce caracterizează fiecare complex QRS ce nu aparține clasei dominante precum și unda T asociată ușor în scopul diferențierii extrasistolelor.

În cazul în care nu există clasă dominantă se trece la altă teste cum ar fi : testul fenomenului Wenckebach, testul

dă băgăminitate sau trigeminitate, testul căilelor de bătăi.

Algoritmul operează asupra următoarelor date de intrare:

- un fișier de date, notat cu ITIP, prin care se specifică amplitudinea și durata undelor P, precum și amplitudinea și durata complexelor QRS dintr-o anumită înregistrare dată ;

- un fișier, notat cu DELTAT, prin care se specifică momentul apariției fiecărei unde din înregistrarea dată ;

- numărul total de unde din înregistrarea dată (N).

Prelucrarea celor două fișiere se face în paralel în scopul determinării intervalelor RR, PR, PP pentru fiecare revoluție cardiacă. Prin urmare, analiza se face bătaie cu bătaie.

Descrierea completă a algoritmului este prezentată în organigramele din figurile 5.1 la 5.7. În cele ce urmează autorul face o prezentare succintă a acestor organigrame.

După citirea datelor corespunzătoare celor două fișiere a duratelor și amplitudinilor undelor P și QRS se explorează simultan cele două fișiere în vederea determinării numărului total de unde P (NP) și complexe QRS (NR) ; a măsurării intervalelor PP și RR corespunzătoare ECG-ului ce urmează a fi analizat (blocurile notate cu 1 în organograma generală din fig.5.1). Cu informațiile referitoare la aceste intervale se creează subfișierele notate cu PP și RR. De asemenea se creează și subfișierele : ITIPR prin care se precizează natura complexelor QRS ca delimitată intervalele RR instantane și ORDR prin care se precizează rangul fiecărui complex QRS, (a căru undă este).

După explorarea fișierelor ITIP și DELTAT se face apel la subrutina MAXMIN. În această subrutină se determină : valoările minime a intervalelor RR și PP (RRMIN respectiv PP<sub>MIN</sub>) și rangul corespunzător minimului (IRMIN respectiv IPMIN) ; valoările maxime a intervalelor RR și PP (RRMAX respectiv PP<sub>MAX</sub>) și rangul corespunzător maximului (IRMAX respectiv IPMAX) ; media aritmetică a intervalelor RR și PP (RRMED respectiv PP<sub>MED</sub>). Datele cu care operează această subrutină sunt : numărul total de unde R și P (NR respectiv NP) și subfișierele RR și PP.

În continuare, se face un test asupra undelor P în subrutina TESTUP din fig.5.2. În această subrutină se face histograma intervalelor PP și se determină maximul acestei histograme. Histograma intervalelor PP se face astfel : primul inter-

vați PP din subfișierul PP se consideră intervalul reprezentativ al primei clase. Prin explorarea intregului subfișier PP se determină numărul de intervale ce aparțin primei clase (s-a admis o toleranță de  $\pm 20\%$  față de intervalul reprezentativ). În mod ascendant se află numărul de intervale ce aparțin clasei a doua a cărui interval reprezentativ este al doilea interval PP din subfișierul PP, și.a.m.d. Prin urmare, numărul de clase din acestă histogramă este egal cu numărul de intervale PP. Primul interval PP inclus în maximul histogramei se consideră și intervalul cel mai reprezentativ (PPR). În raport cu acest interval se calculează valoarea absolută a diferențelor intervalelor PP incluse în maximul histogramei și se face media aritmetică a acestor valori (DVP). Dacă maximul histogramei este  $\geq 70\%$  se consideră că testul undelor P este trecut (TESTP = 1). Datele cu care operează această subrutină sunt numărul de unde P (NP) și subfișierul PP.

În continuare se formează 2 clase pentru intervalele RR, și anume : o clasă de intervale mărginite de complexe QRS de același tip (TABR1) și o clasă mărginită de complexe QRS de tip diferit (TABR2). Prin aplicarea aceluiași procedeu ca și la intervalele PP, se determină intervalele cele mai reprezentative a celor 2 clase (RK1REP respectiv RR2REP) ; media aritmetică a deviațiilor în raport cu aceste intervale (DEVRR1 și DEVRR2). În funcție de valurile maxime a celor 2 histograme, se stabilește clasa dominantă caracterizată prin intervalul dominant RRREP (RK1REP = RK1REP sau RRREP = RR2REP) și deviația DVRR (LVR = DEVRR1 sau LVR = DEVRR2).

Pentru complexele QRS ce aparțin clasei dominante (complexe ce mărginesc intervalele RR caracterizate prin RRREP) se măsoară lungimile intervalelor PR. De asemenea se precizează dacă unda P din fața complexului QRS dominant este pozitivă (LAP=1). Acest lucru se realizează prin explorarea fișierelor ITIP și DELTAT. Aplicând aceeași tehnică ca și în cazul undelor P, se determină intervalul cel mai reprezentativ (PR) și deviația (DVP).

Pe baza mărimilor specificate mai sus, printr-o logică de decizii prezentată în Fig.5.3, se determină natura ritmului dominant. Valorile utilizate în logica de decizii sunt valori pe baza cărora medicii diferențiază ritmurile cardiace, [133].

Pentru analiza fenomenului Wenckebach, a ritmului bigeminat sau trigeminat și a salvelor de bătăi se face o prelucrare bătaie cu bătaie a electrocardiogramei. Acest lucru este permis prin explorarea fișierelor ITIP și DELTAT. Logica de decizii utilizată precum și limitele pentru parametrii utilizati au la bază criteriul de interpretare vizuală a electrocardiogramelor. În organigramele prezентate se specifică rolul fiecărei variabile utilizate și funcția pe care o realizează fiecare bloc.

### 5.3.2. Rezultate experimentale

Pentru algoritmul prezentat mai sus autorul a scris un program în limbaj FORTRAN. Valabilitatea algoritmului a reieșit în urma prelucrării a 10 electrocardiograme corespunzătoare derivațiilor standard D<sub>2</sub>. Aceste electrocardiograme au fost înregistrate la clinica ASCAR din Timișoara. În urma rulării programului pe calculatorul FELIX C 256, algoritmul prezentat a permis identificarea și diferențierea următoarelor tulburări de ritm și conducere : fibrilația atrială, flutterul atrial, tahicardii paroxiste supraventriculare, extrasistolele atriale și ventriculare sistematizate și nesistematizate, disociația izoritmică, tahicardia ventriculară, blocurile atrioventriculare din gradul I, II și III, blocul sinoatrial, tulburări de ritm neclasificabile (ca de exemplu : boala sinusului atrial).

Electrocardiogramele prelucrate (20 de cicluri carciace) au fost înregistrate la următorii bolnavi :

P.A., 46 ani - Dgs.: Stenoză mitrală. Programul de analiză automată identifică un ritm de bază normal cu frecvență ventriculară de 65 b/minut pe fondul căruia decelează o bătaie prematură atrială.

S.C., 63 ani - Dgs.: Cardiopatie ischemică dureroasă, insuficiență cardiacă globală. Programul de analiză decelează fibrilația atrială, o bătaie prematură ventriculară și 2 blocuri sino-atriale.

La bolnavul H.F., 57 ani - Dgs: Miocardopatie cronică congestivă. Calculatorul identifică un ritm sinusul normal cu frecvență atrială = frecvență ventriculară = 71 b/minut.

## ORGANIGRAMA /

۱۹۵۰

**Tipōreste:**  
**NBPA** Bătăi premature atriale.  
**NBPS** Bătăi premature supraventriculare.  
**NBPV** Bătăi premature ventriculare.  
**NBSA** Blocuri sinoatriale.  
**NEVA** Conducere ventriculară aberrante.

salve de baixos este  
frecuente  $\{SALV_{t-1} = 0\}$

## Subroutine SAVE

*Bigemini toto sot  
Inqemini toto este trecut  
TESTBIC = 1 sau DA*

```

graph TD
    A[DA] --> B{RRMAX > RRMIN}
    B --> C[NU]
    C --> D[1100]
    D --> E[Subroutine BIGTRIG]

```

The flowchart starts with DA at the top, leading to a decision diamond labeled "RRMAX > RRMIN". If true, it leads to NU, then 1100, and finally Subroutine BIGTRIG. If false, it bypasses the decision diamond and goes directly to Subroutine BIGTRIG.

losă de intervale RR  
înginile de complexe QR  
tip opus.

*Clasă de intervale RR  
mărginită de complexe QR  
de același tip.*

k

```

graph TD
    A["CMAVR(I) = CMAVR(I) + 1"] --> B{DEVR(IY) > DEVR(I+1)}
    B -- True --> DA[DA]
    DA --> C{A < Y < B}
    C -- True --> NU1[NU]
    C -- False --> NU2[NU]
    NU1 --> D{ITIPR(k) ≠ ITIPR(k-1)}
    D -- True --> E[y = RR(k-1)]
    D -- False --> NU2
    NU2 --> E

```

Se măsoară intervalele RR, PP, si se creează subfisiere pentru acesta. Se determină năstrul de unde PSiR dă înregiștrare.

$k = 1$

```

graph TD
    Start(( )) --> Init[INIT]
    Init --> NR[NR = NR + 1]
    NR --> ITRIP[ITRIP(J) = ITRIP(I)]
    ITRIP --> ORDR[ORDR(J) = I]
    ORDR --> Jplus1[J = J + 1]
    Jplus1 --> Cond{NR < 2}
    Cond -- NO --> Aux1[AUX1 = ΔT(I)]
    Aux1 --> Aux2[AUX2 = ΔT(I-1)]
    Aux2 --> NP[NP = NP + 1]
    NP --> RR[RR(J-2) = ΔT(I)-AUX1]
    RR --> Aux1[AUX1 = ΔT(I)]
    Aux1 --> Cond
    Cond -- YES --> AvgAvg[NU = NR / NP]
    AvgAvg --> End(( ))
  
```

The flowchart details the calculation of vibration parameters. It starts with an initialization step where  $NR$  is set to 1. A main loop begins with  $ITRIP(J)$  set to  $ITRIP(I)$  and  $ORDR(J)$  set to  $I$ . The index  $J$  is then incremented by 1. A decision diamond checks if  $NR < 2$ . If no, it calculates the first difference  $AUX1 = \Delta T(I)$ , the second difference  $AUX2 = \Delta T(I-1)$ , and increments the count  $NP = NP + 1$ . It then updates  $RR(J-2) = \Delta T(I) - AUX1$  and sets  $AUX1 = \Delta T(I)$  for the next iteration. If yes, it calculates the average period  $NU = NR / NP$  and concludes the subroutine.

Subroutine : TESTUP, se testaza prezent si periodicitatea undelor. Se determina intervalul pe care mai reprezinta.

```

graph TD
    Start(( )) --> Cond{I ≤ NR}
    Cond --> TabRR2["TABRR2(M)"]
    TabRR2 --> TTPPL["TTPPL(I)"]
    TTPPL --> Cond
    Cond --> TabR1["TABR1(J) = X"]
    TabR1 --> End(( ))

```

$I = I + 1$

$X = RR / (I-1); A = X - X \cdot TOL; B = X + X \cdot TOL$

$TABR1(J) = X$

$J = J + 1$

$M = M + 1$

$NU$

$A$

$NU$

$I \leq NR$

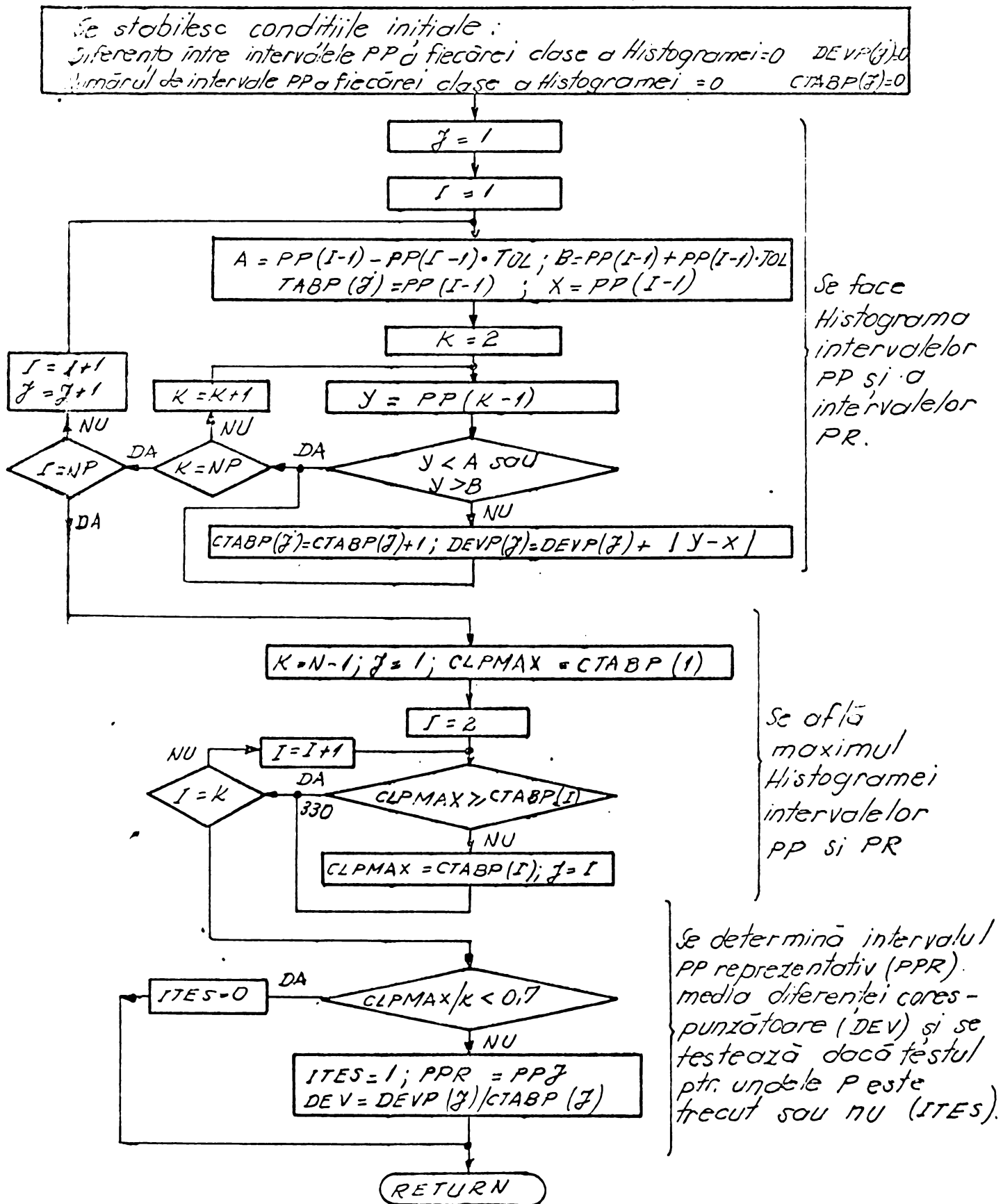
$DA$

$DA$

$CTABR1(J) = 0; CTABR2(J) = 0; DEVR1(J) = 0;$

$DEVR2(J) = 0; I = 2; J = 1; M = 1.$

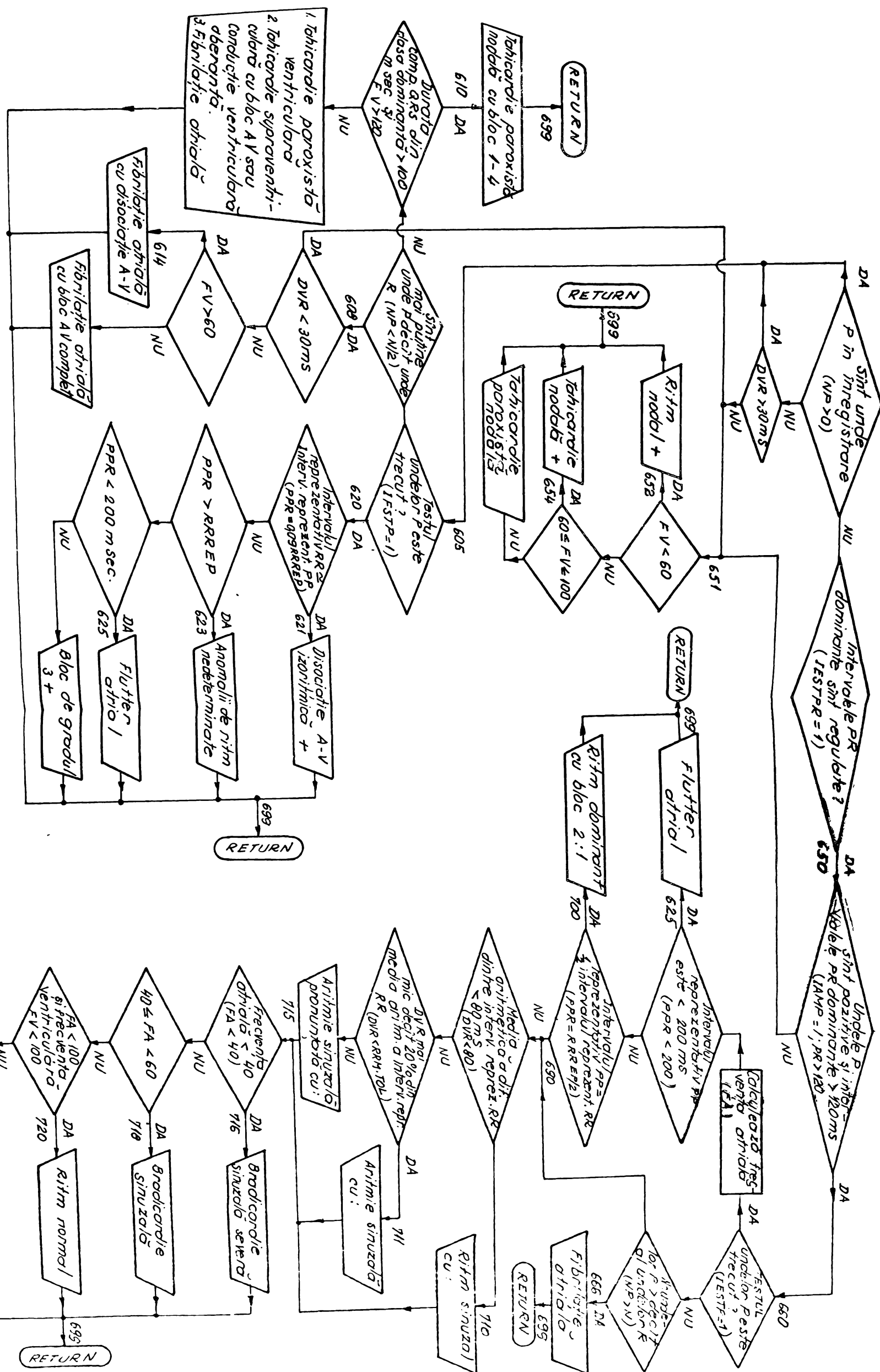
se formează ecloase pentru intervalele RR în funcție de tipul complexelor QRS ce mărginesc intervalele.



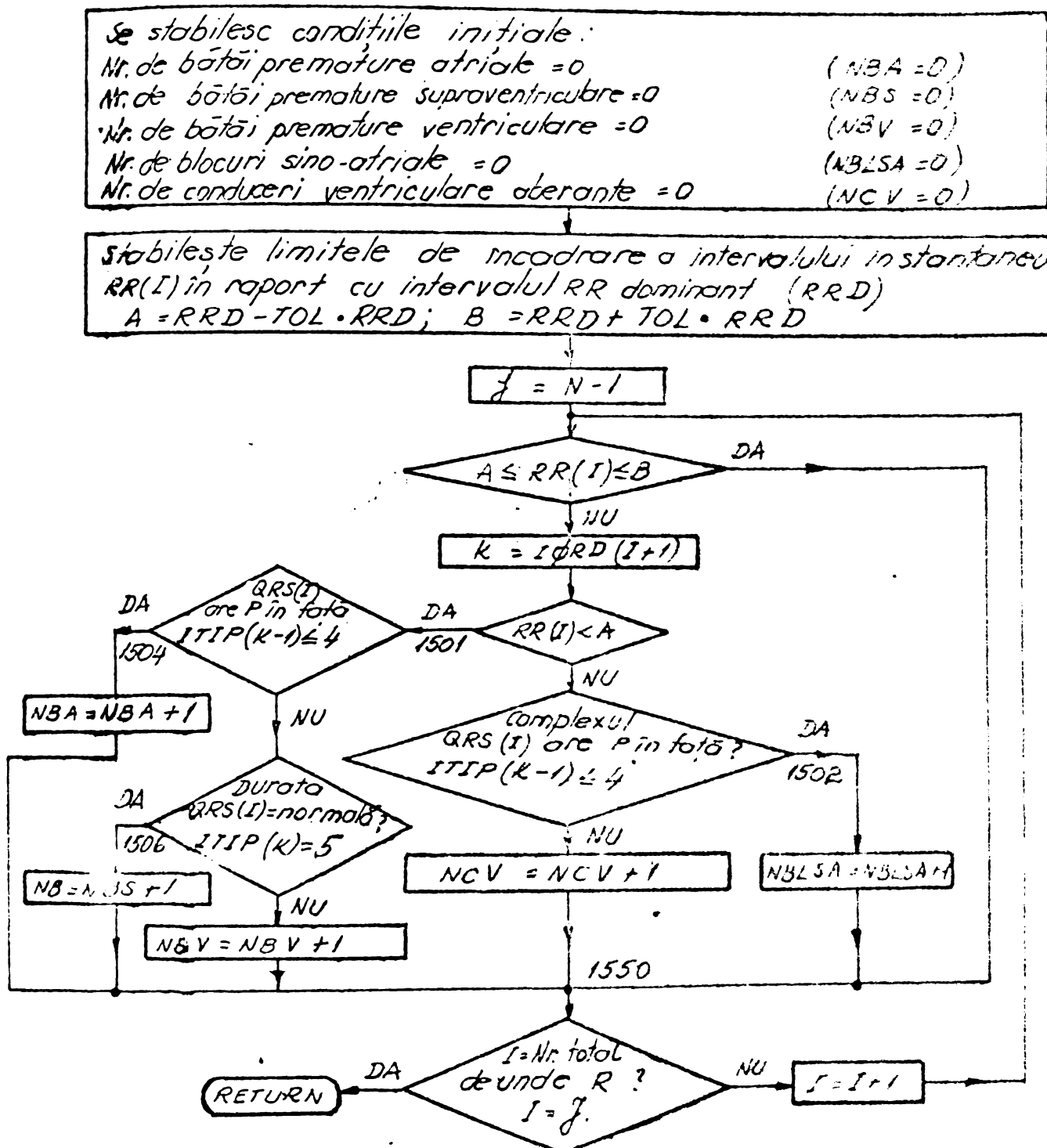
## ORGANIGRAMA 2

Sușrutina (TESTUP) pentru testarea undelor P și a intervalelor PR.

Fig. 5.2.



### **ORGANIGRAMA 3 Subunito (RIMDDM) de determinare o ritmului de baza**



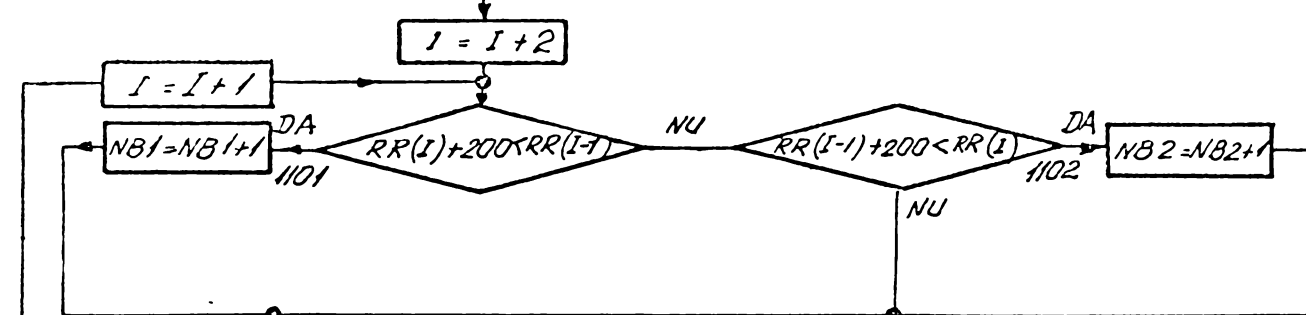
$N$  = nr. total de unde  $R$  din înregistrare.  
 $ITIP(I)$  = fișier ce precizează tipul undelor din înregistrare  
 $IORD(I)$  = fișier ce precizează ordinea de apariție a undelor din înregistrare.

#### ORGANIGRAMA 4

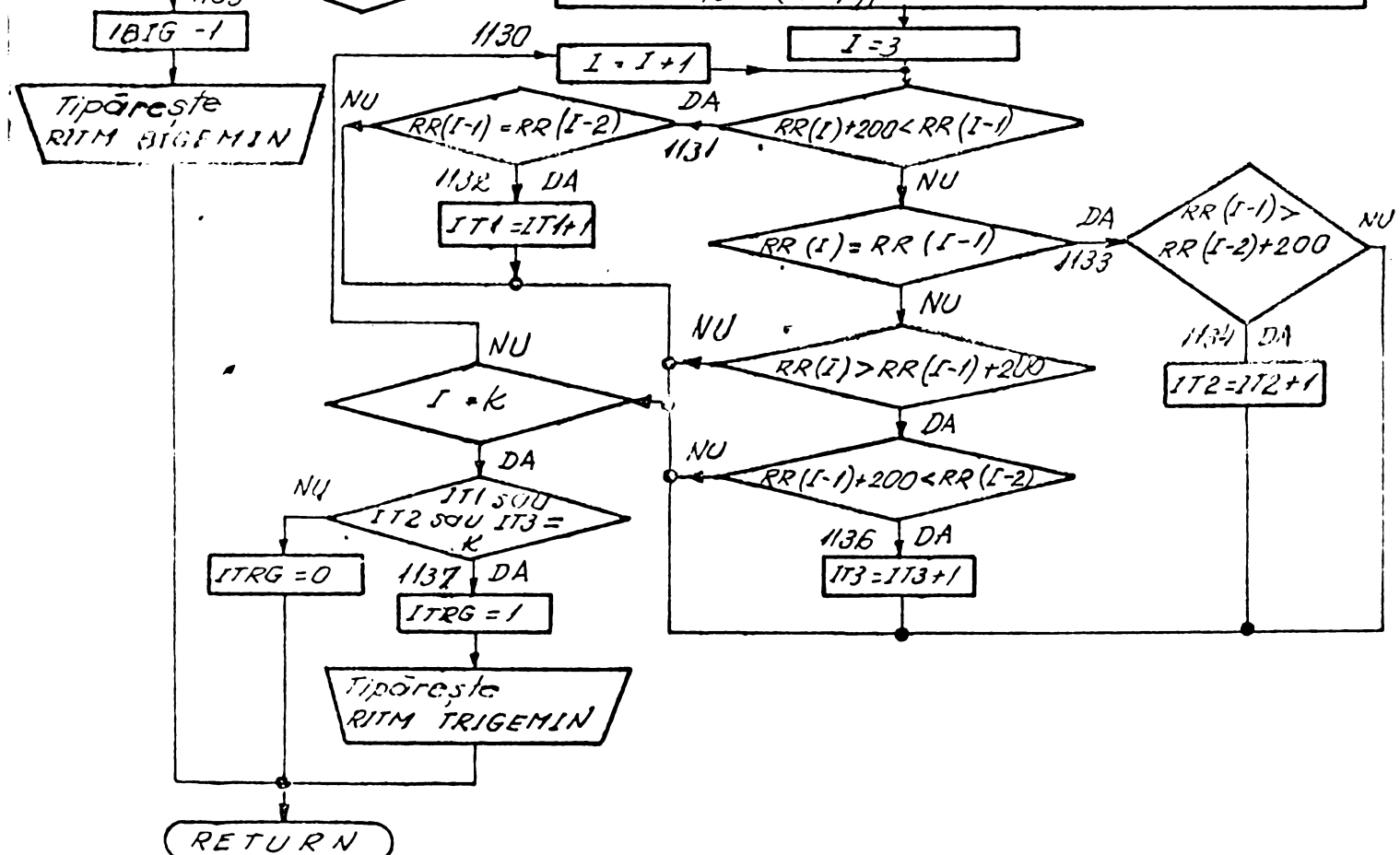
Subrutina (DESUP) de decizii suplimentare

Fig. 5.4.

Se stabilesc condițiile initiale pentru ritmul bigeminin:  
 Numărul de intervale: Lung - Scurt = 0 ( $NB1 = 0$ )  
 Numărul de intervale: Scurt - Lung = 0 ( $NB2 = 0$ )  
 Nr. de intervale ce caracterizează ritmul bigeminin = Nr. total de intervale  
 $RR : 2$   
 $K = (N-1)/2$



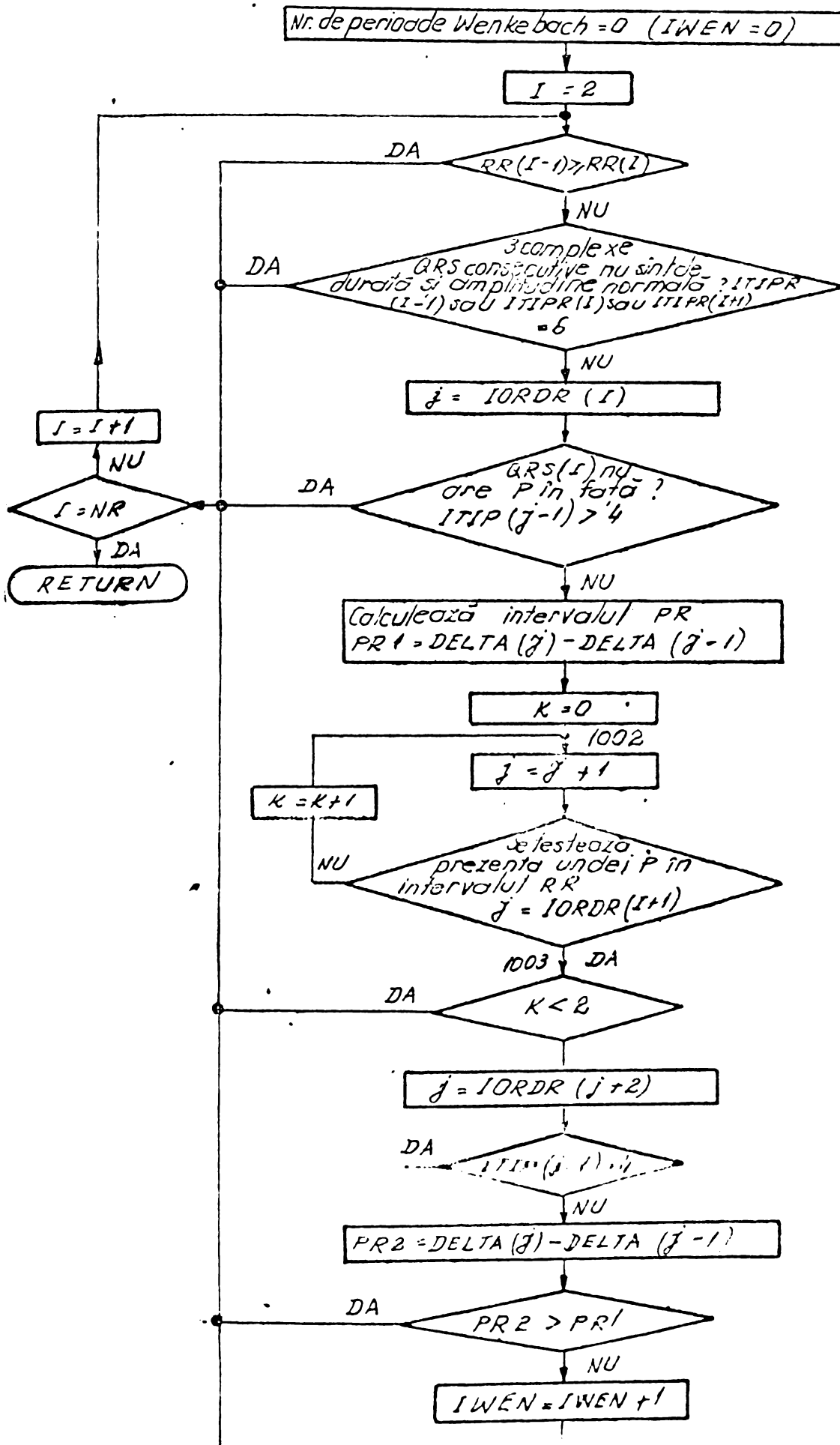
Se stabilesc condițiile initiale pentru ritmul trigeminin:  
 Nr. de intervale: lung - lung - scurt = 0 ( $IT1 = 0$ )  
 Nr. de intervale: scurt - lung - lung = 0 ( $IT2 = 0$ )  
 Nr. de intervale: Lung - scurt - lung = 0 ( $IT3 = 0$ )  
 $k = (N-1)/3$



#### ORGANIGRAMA 5

Subrutina (BIGTRIG) de analiză a ritmului bigeminoat  
 și trigeminoat

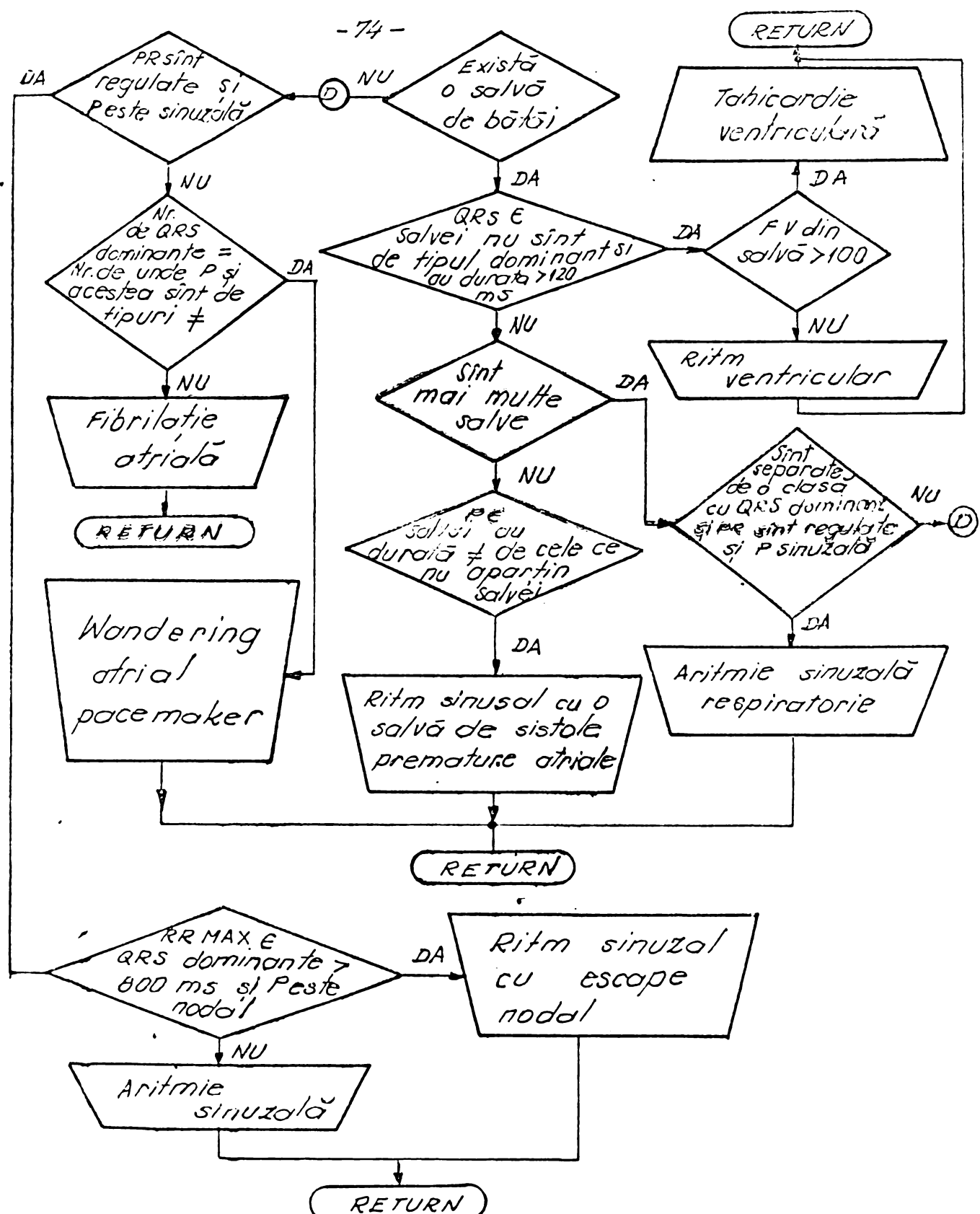
Fig. 5.5.



## ORGANIGRAMA 6

Substrato (WENCK) pentru testul fenomenului Wenckebach.

Fig. 5.6.



ORGANIGRAMA 7  
subrutină (SALVE) pentru testarea salvelor de bătăi

Fig. 5.7.

H.L., 42 ani - Dgs.: Boală mitrală, flutter atrial și insuficiență cardiacă globală. Programul de analiză decelează flutterul atrial.

D.I., 42 ani - Dgs.: Infarct miocardic anterior întins. În urma prelucrării s-a identificat 2 extrasistole ventriculare bigeminate.

C.M., 54 ani - Dgs.: Infarct miocardic antero-septal stadiu cronic. Programul de analiză automată a tulburărilor de ritm identifică 2 salve de extrasistole ventriculare.

rezultatele analizei automate a tulburărilor de ritm cardiac au fost în concordanță cu ale medicilor cardiologi.

Compilarea programului și analiza a 20 de cicluri cardiaice a durat 13 secunde.

În anexa 2 este prezentat programul și o parte din rezultatele obținute în urma rulării acestuia pe calculator.

#### 5.4. Algoritm do identificare a ritmului cardiac de bază prin metode statistice

##### 5.4.1. Introducere

Domeniul statisticii matematice și al aplicațiilor sale s-a dezvoltat continuu și o varietate de abordări ale acestuia și-a făcut loc în reviștelor de specialitate. Interesul pentru acest subiect are, evident, origini foarte diferite :

- dorința inginerilor de exploatare de a dobîndi o mai bună cunoaștere a anumitor instalații cu scopul de a obține un control îmbunătățit și astfel de a micșora cheltuielile de exploatare sau de a mări eficiența ;

- studiul vehiculelor spațiale și de mare performanță aerodinamică, studiul sistemelor de transport terestre ;

- studiul comportării operatorului uman în procesele de urmărire și în alte tipuri de conducere și de procese de instruire.

În ultimii ani teoria estimării parametrilor și a stăriilor sistemelor se aplică și în investigarea sistemelor biologice adică a sistemelor neuromusculare, ca de exemplu : sistemul de reglare a pupilei ochiului ; comanda extremităților (braț, picior) ; sistemul de reglare al bătăilor inimii.

Interesul pentru teoria estimării a izvorât nu numai din nevoieitatea îmbunătățirii performanțelor sistemelor, ci și din reflectarea posibilităților de aplicare a teoriei estimării oferite de apariția calculatoarelor moderne, atât prin hardware-ul cît și prin software-ul său.

În analiza sistemelor, o problemă centrală este construirea modelelor.

În acest paragraf autorul prezintă un algoritm de identificare și clasificare a ritmului cardiac de bază. Algoritmul ce se descrie se bazează pe construirea unor modele matematice dinamice și pe estimarea stării procesului.

Concepția se bazează pe utilizarea datelor referitoare la intervalele RR din unda ECG și dezvoltarea unor modele numărătoare care să descrie comportarea secvențială a intervalelor diferențialelor urmării care persistă pe o durată de col puțin și bătăi.

Modelele ce nu prezintă se adaptează continuu la variațiile ritmului cardiac.

Metoda implică calculul statisticii suficiente pentru datele măsurate. Având o astfel de statistică (probabilitățile) este foarte ușor să se identifice ritmicitatea cordului.

Performanțele algoritmului depind foarte mult de precizia de identificare a complexului QRS și de măsurarea intervalului RR. Metodele utilizate se descriu în paragraful 6.3.

#### 5.4.2. Modelarea ritmurilor de bază

Structura modelelor s-a ales pe baza cunoștințelor apriorice a modificării intervalelor RR.

Modelele care se examinează, [59], [60], sunt de forma :

$$\begin{aligned} x(K) &= A \cdot x(K-1) \\ y(K) &= C \cdot x(K) + v(K) \end{aligned} \quad (5.2)$$

în care :  $v(K)$  este zgometul de observație și reprezintă deviațiile față de intervalul etalon RR. Prin acest termen se ține cont de :

- erorile inevitabile în calculul intervalelor RR
- existența unor abateri între intervale chiar și în cazul unor ritmuri regulate.

Zgometul  $v(K)$  se consideră a fi un zgomet Gaussian alb, caracterizat prin valoare medie nulă și variantă  $\sigma^2$ .

$x(K)$  este vectorul de stare etalon definit astfel încât  $A \cdot x(K)$  să reprezinte al K-lea interval RR ideal

$y(K)$  este vectorul de ieșire actual al sistemului.

Matricea A modelează periodicitatea diferențelor tipuri de ritmuri de bază, iar matricea de selecție C este un vector linie.

Printr-o alegere particulară a celor 3 parametrii A, C și  $\sigma^2$  se modelează următoarele ritmuri de bază.

### Clasa I

În această clasă sunt incluse intervalele RR care diferă puțin între ele, dar deviațiile sunt aleatoare față de valoarea medie. Această clasă include : ritmurile sinuzale normale ( $60 - 100$  b/min), tachicardia sinuzală ( $>100$  b/min) și bradicardia sinuzală ( $<60$  b/min).

Pentru această clasă intervalul etalon este constant.

Ecuatiile modelului sunt :

$$x(K) = x(K-1) \quad (5.3)$$

$$y(K) = x(K) + v(K) \quad (5.4)$$

În estimarea intervalului etalon este necesar să se facă anumite ipoteze referitoare la condițiile initiale ale modelului descris de ecuațiile (5.3) și (5.4). Se presupune că  $x(0)$  este o variabilă alcătoare cu media  $\mu_1(0)$  și varianța  $\sigma_1^2(0)$ . Pentru acest model varianța zgometului este notată cu  $\sigma_1^2$ .

Parametrii  $\mu_1(0)$ ,  $\sigma_1^2(0)$  și  $\sigma_1^2$  au anumite valori pentru modelul specificat. Determinarea acestor valori va fi prezentată la punctul 5.4.5.

### Clasa II

Această clasă este caracterizată de intervalele RR a căror deviație aleatoare, față de valoarea medie, sunt mai mari decât în clasa I, adică : aritmia sinuzală și fibrilația atrială. Modelul matematic pentru această clasă este descris de ecuațiile (5.3) și (5.4). Deosebirea constă în alegerea unei varianțe  $\sigma_2^2$  pentru zgomot mai mare ca  $\sigma_1^2$ .

### Clasa III

Această clasă este caracterizată prin existența a două tipuri de intervale : lung și scurt, care alternează. Cauzele posibile pentru acest model de ritm sunt : generarea unui impuls prematur urmat de un impuls normal (ritmul bigeminat) sau prezența unui bloc AV la fiecare al treilea impuls atrial.

Modelul este descris de ecuațiile :

$$x(K) = \begin{bmatrix} 0 & 1 \\ 1 & 0 \end{bmatrix} x(K-1) \quad . \quad (5.5)$$

$$y(K) = [1 \quad 0] x(K) + v(K) \quad . \quad (5.6)$$

unde  $x(K)$  este un vector coloană bidimensional ( $x(K) = [x_1(K), x_2(K)]$ ). Starea inițială  $x(0)$  este un vector aleator bidimensional caracterizat prin media  $\mu_3(0)$  și covarianta  $P_3(0)$ . Si pentru acest model, ne considerăm că zgomotul  $v(K)$  este un zgomot Gaussian alb cu medie nulă și varianță  $\sigma_3^2$ . Parametrii  $\mu_3(0)$ ,  $P_3(0)$  și  $\sigma_3^2$  au anumite valori ce trebuie precizate.

Dacă se ignorează zgomotul  $v(K)$  se observă că  $y(K)$  alternează între  $x_1(0)$  și  $x_2(0)$ , care reprezintă secvența intervalelor : lung și scurt. Deoarece, în cazul monitorizării, nu se știe dacă primul interval este lung sau scurt nu putem preciza sigur că  $x_1(0)$  sau  $x_2(0)$  reprezintă bătaia lungă. Din acest motiv se alege  $\mu_{31}(0) = \mu_{32}(0)$  și  $P_{31}(0) = P_{32}(0)$ .

### Clasa IV

Această clasă este caracterizată de o secvență de intervale care se repetă pe un ciclu de 3 bătăi. Tulburările de ritm pe care le modelează această clasă sunt : generarea unui impuls prematur care apare regulat după două bătăi normale (ritmul triminut) ; generarea a 2 impulsuri premature consecutive urmate de o bătaie normală ; un bloc AV complet la fiecare al 4-lea impuls.

Ecuatiile care descriu periodicitatea sunt :

$$x(K) = \begin{bmatrix} 0 & 0 & 1 \\ 1 & 0 & 0 \\ 0 & 1 & 0 \end{bmatrix} x(K-1) \quad (5.7)$$

$$y(K) = [1 \ 0 \ 0] x(K) + v(K) \quad (5.8)$$

unde  $x(K)$  este un vector coloană tridimensional. Starea inițială a acestui vector  $x(0)$ , este caracterizată prin media  $\mu_4(0)$  și covarianta  $P_4(0)$ . Deoarece nu se poate ști dacă primul interval este scurt sau lung se alege :

$$\mu_{41}(0) = \mu_{42}(0) = \mu_{43}(0) \text{ și } P_{41}(0) = P_{42}(0) = P_{43}(0)$$

Zgomotul  $v(K)$  se consideră a fi un zgomot Gaussian alb caracterizat prin media nulă și variantă  $\sigma_4^2$ .

#### 5.4.3. Filtrul Kalman

Se observă că modelele descrise mai sus sunt sisteme liniare. Prin urmare, având o secvență de intervale RR observate, se poate utiliza metoda ipotezelor multiple, [59], [74], [96], care constă dintr-un set de filtre Kalman (unul pentru fiecare din modelele prezентate), la calcularea probabilităților corespunzătoare fiecărei clase. Calculul are la bază analiza reziduilor filtrelor Kalman.

Filtrul Kalman poate fi descris ca un sistem dinamic care combină datele de măsurare  $y(K)$ , contaminate cu zgomot, în așa fel încât să se obțină un estimat optim al lui  $x(K)$ . În plus, filtrul Kalman are o formă recursivă. Noul estimat se determină prin actualizarea celui vechi pe baza noilor observații (nu este necesar să se acumuleze întregul sir de date observate).

În consecință, cerințele de memorie și de calcul sunt reduse.

Din punct de vedere statistic, informația crucială este oferită de funcția densității de probabilitate  $p(x/y)$ , în care  $y$  sunt valorile observate ale egantioanelor mărimii de ieșire a procesului. Folosind regula lui Bayes, [47] :

$$p(x/y) = \frac{p(x,y)}{p(y)} = \frac{p(y/x)p(x)}{p(y)} \quad (5.9)$$

se poate utiliza cunoașterea apriorică asupra lui  $x$  și după observarea lui  $y$ , se revine cu o nouă funcție de densitate de probabilitate aposteriorică pentru  $x$ . Aceasta conduce la un procedeu de estimare iterativă, în care rezultatul calculului precedent este cunoașterea apriorică pentru următorul calcul, folosind noile observații. Pentru obținerea estimelor se consideră următoarele cunoștiințe apriorice :

$$\begin{aligned} x(K) &= Ax(K-1) \\ y(K) &= Cx(K) + v(K) \end{aligned} \quad \text{modelul fig.(5.8)} \quad (5.10)$$

Funcția densității de probabilitate a zgombotului  $v(K)$ , [74]

$$p\{v(K)\} = \frac{1}{(2\pi)^{m/2} |V|^{1/2}} \exp\left[-\frac{1}{2} v'(K) V^{-1} v(K)\right] \quad (5.11)$$

(se face ipoteza că zgombotul are o distribuție Gaussiană m-variolă).

$$\mathbb{E}[v(K)] = 0 ; \text{cov}[v(K)] = [v(K)v'(K)] = \sigma^2 I = V \quad (5.12)$$

unde  $I$  este matricea unitate.

Prin aplicarea metodei celor mai mici pătrate și ținând cont de cunoștiințele apriorice se determină ecuația filtrului Kalman [47] :

$$\begin{aligned} \hat{x}(K/K) &= \hat{x}(K-1/K-1) + P(K-1/K-1) A' C' [C P(K-1/K-1) A' C' + V^{-1}] \\ &\cdot [y(K) - C \hat{x}(K-1/K-1)] \end{aligned} \quad (5.13)$$

în care :  $\hat{x}(j/i)$  reprezintă cel mai bun estimat al lui  $x(j)$  bazat pe datele  $y(1), (y(2) \dots y(i))$

$P(j/i)$  este covarianta erorii estimatului  $(x(j) - \hat{x}(j/i))$   
Termenii din relația (5.13) reprezintă :

$$\begin{aligned} \hat{x}(K/K-1) &= \hat{x}(K-1/K-1) : starea extrapolată \\ C \hat{x}(K-1/K-1) &: observarea stării extrapolate \end{aligned} \quad (5.14)$$

$e(K) = y(K) - \hat{C}\hat{x}(K/K-1) = y(K) - CA\hat{x}(K-1/K-1)$ : rezidualii (5.15)  
(eroarea dintre valoarea observată și prezisă)

$P(K/K-1) = AP(K-1/K-1)A' : matricea de covarianță (5.16)$   
apriorică a lui  $x(K)$  bazată pe  $K-1$  observații

$Q(K) = CP(K/K-1)C' + V = CAP(K-1/K-1)A'C' + V : matricea de covari- (5.17)$   
antă a lui  $e(K)$

$\Gamma(K) = P(K/K-1)C'Q^{-1}(K) = AP(K-1/K-1)A'C' [CAP(K-1/K-1)A'C' + V]^{-1}$   
matricea de cîștig a filtrului (5.18)

$P(K/K) = P(K/K-1) - \Gamma(K)CP(K/K-1) = AP(K-1/K-1)A' -$   
 $- AP(K-1/K-1)A'C' [CAP(K-1/K-1)A'C' + V]^{-1} CAP(K-1/K-1)A'$   
matricea de covarianță aposteriorică a lui  $x(K)$   
bazată pe  $K$  observații (5.19)

#### 5.4.4. Algoritmul de calcul

Pentru cele patru modele descrise la punctul 5.4.2 s-au implementat pe calculator 4 filtre Kalman (fig.5.8) în conformitate cu ecuațiile (5.13)-(5.19). Implementarea acestora necesită inițializarea filtrelor. Inițializarea valorii estimatului inițial s-a făcut prin media  $\mu(0)$

$$\hat{x}_i(0/0) = \mu_i(0) = \mathcal{E}[x_i(0)] ; \quad i = 1 - 4 \quad (5.20)$$

Covarianta  $P_i(0/0)$  s-a inițializat prin :

$$P_i(0/0) = P_i(0) = \mathcal{E}[(x_i(0) - \mu_i(0))(x_i(0) - \mu_i(0))'] \quad i = 1 - 4 \quad (5.21)$$

Prin urmare proiectarea acestor filtre este determinată de cunoștiințele apriorice :  $\mu_i(0)$ ,  $P_i(0)$  și  $\sigma_i^2$ .

Pentru a determina care din cele 4 modele reprezintă cel mai bine datele  $y(1), \dots, y(K)$  se calculează pentru fiecare filtru probabilitățile aposteriori  $p_i(K)$ .

Calculul acestor probabilități se face astfel :

De la filtrele implementate se obțin rezidualii  $e_i(K)$  (ecuația (5.15)) și matricea de covarianță a erorii  $Q_i(K)$  (relația (5.17)).

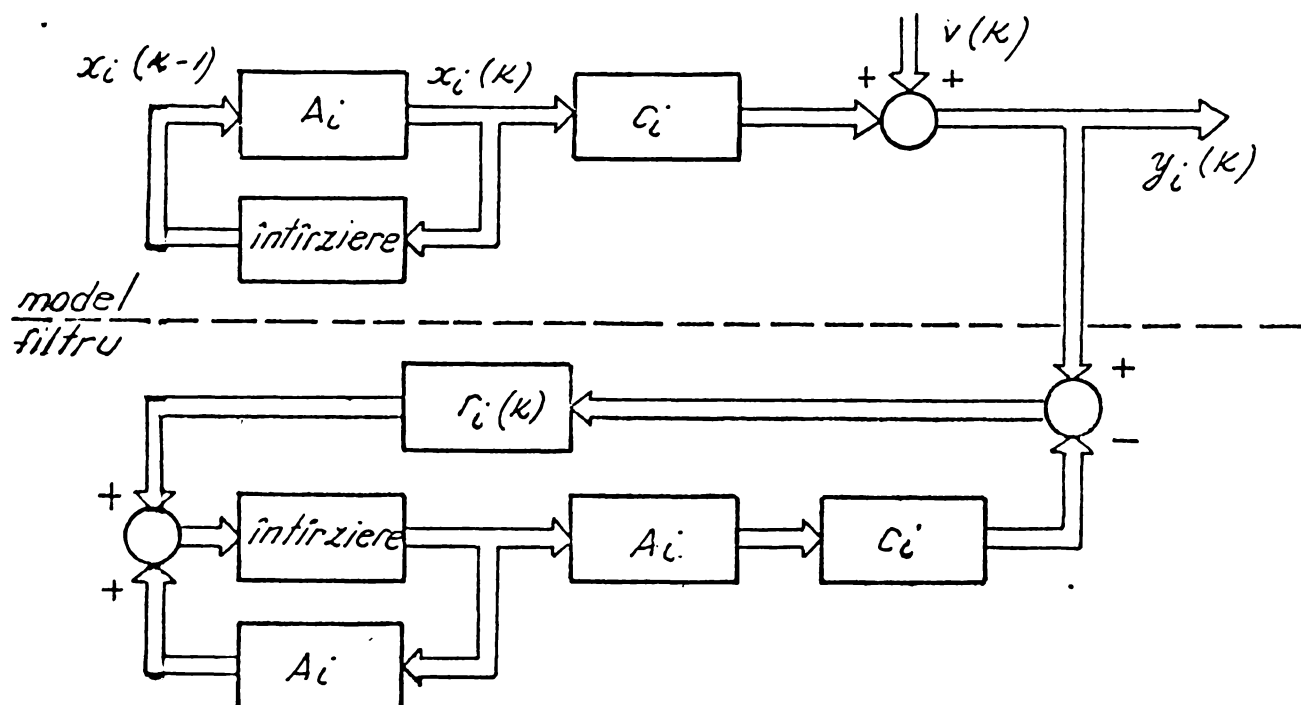


Fig. 5.8.

Fig. 5.8

Cu aceste mărimi se calculează densitatea normală de probabilitate [60], [74] :

$$N(e_i(K), Q_i(K)) = \frac{1}{(2\pi)^{m/2} |Q_i(K)|^{1/2}} \exp \left[ -\frac{1}{2} e_i^T(K) Q_i^{-1}(K) e_i(K) \right] \quad (5.22)$$

Apoi se calculează probabilitățile aposteriori

$$p_i(K) = \frac{N(e_i(K), Q_i(K)) p_i(K-1)}{\sum_{j=1}^4 N(e_j(K), Q_j(K)) p_j(K-1)} \quad (5.23)$$

Procedeul necesită o initializare pentru probabilități. S-a știut :

$$p_i(0) = \frac{1}{4} ; \quad i=1, \dots, 4 \quad (5.24)$$

dacă nu se poate face nici o ipoteză asupra probabilităților.

Organograma algoritmului de identificare a ritmului cardiac de bază utilizând tehnica ipotezelor multiple este prezentată în fig. 5.9.

Pentru algoritmul prezentat în fig.5.9 s-a scris un program în limbajul FORTRAN. În urma rulării acestuia cu diverse date de intrare s-a ajuns la următoarele concluzii :

a) Deoarece cîstigul filtrelor Kalman descrește monoton cu timpul, o trecere bruscă de la o categorie de ritm la alta (treocero specifică unor subiecti) nu se reflootă în mod corespunzător în probabilitățile aposteriori. Pentru eliminarea acestui dezavantaj a fost necesar să se implementeze un test de verificare. Testul constă în calcularea raportului  $e^2(K)/2Q(K)$  pentru filtrul cu probabilitatea cea mai mare. Se remintește că  $e(K)$  reprezintă eroarea dintre valoarea observată și prezisă, iar  $Q(K)$  este covarianta lui  $e(K)$ .

În cazul cînd valoarea acestui raport depășește un prag prestabilit (în urma experimentărilor valoarea acestui prag a fost stabilită la 2)filtrele se reinitializează. Reinitializarea este permisă numai dacă probabilitatea filtrului respectiv depășește valoarea de 0,8, deoarece este necesar un timp pentru identificarea noului ritm. Acest test se face în blocurile 8 și 16 din organograma prezentată în fig.5.9. Cele două restricții (probabilitatea filtrului cu probabilitatea cea mai mare  $>0,8$  și raportul  $e^2(K)/2Q(K) > 2$  a filtrului respectiv) reflectă trecrea de la un ritm la altul. Aceasta permite calcularea mediei aritmetice (MA), abaterii standard (AS) și a ritmului mediu (RM) pentru clasa de ritm identificată.

Calculul acestor mărimi se face în blocurile 9, 17 și 18 din organograma prezentată în fig.5.9.

b) Tehnica ipotezelor multiple descrisă mai sus, nu reușește să distingă ritmurile specifice clasei I în comparație cu cele din clasa III și ritmurile specifice clasei I în comparație cu cele din clasa IV. Aceasta se datorează faptului că variațiile mici sunt periodice cu perioada 1 pentru clasa I, cu perioada 2 pentru clasa III și cu perioada 3 pentru clasa IV. Un procedeu de eliminare a acestui dezavantaj ar fi creșterea varianței zgomotului pentru clasele III și IV. O criză prea mare nu se poate face deoarece apare problema ncdiferențierii ritmilor din clasa II față de clasa III, respectiv ritmurile din clasa II față de cele din clasa IV. S-a ajuns la concluzia că unele mări bine să se urmărească valorile componentelor estimării  $\hat{x}$  pentru clasele III și IV. Dacă ritmul are variații mici

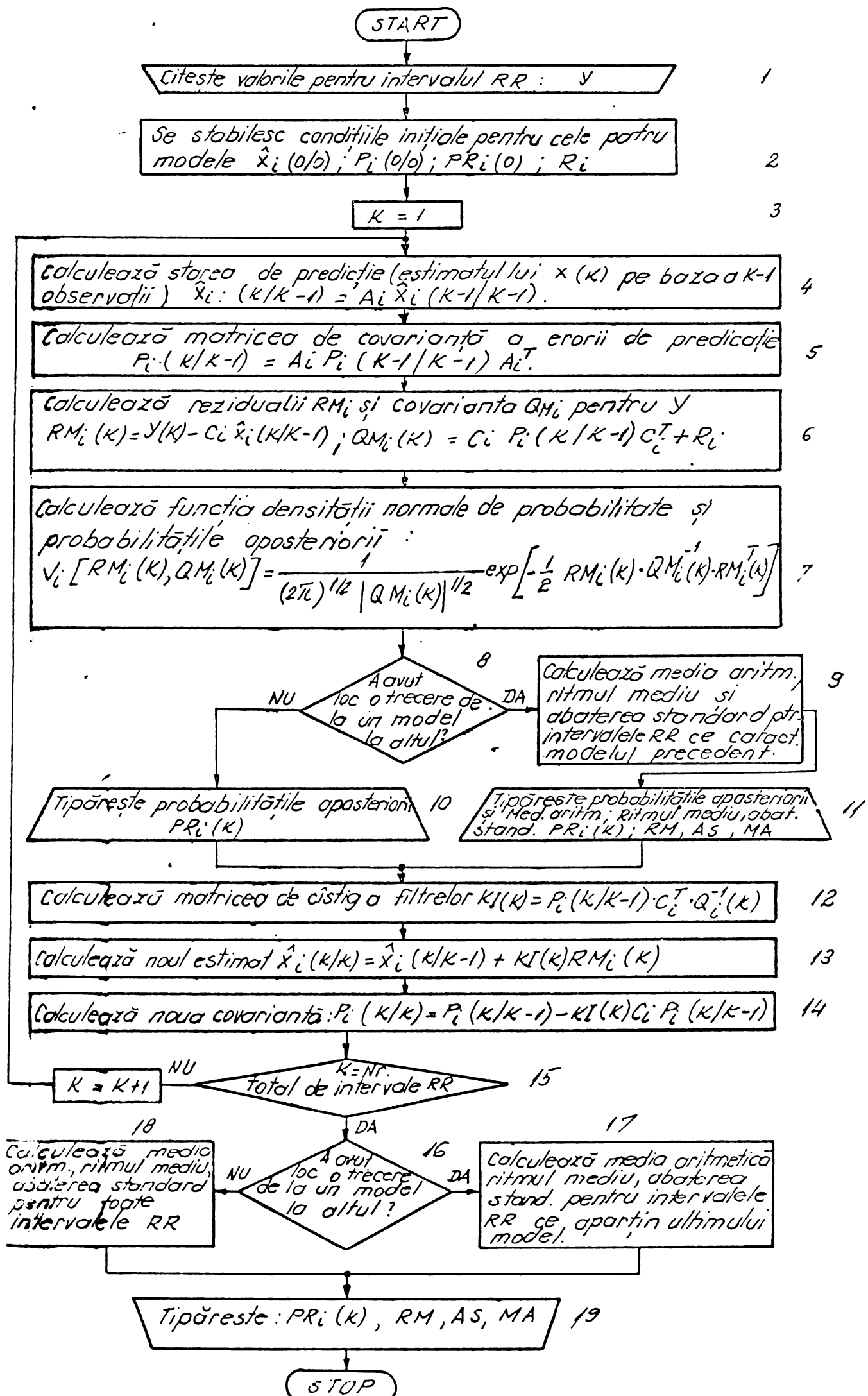


Fig. 5. 9.

(ritmuri specifice clasei I), atunci toate componentele estimărilor pentru clasele III și IV au valori aproximativ egale. În funcție de diferența dintre valorile acestor componente s-a implementat un algoritm de descreștere a probabilităților pentru clasele III și IV. Algoritmul constă în :

### Clasa III

Calcularea expresiilor :

$$D(K) = \frac{|\hat{x}_{31}(K/K) - \hat{x}_{32}(K/K)|}{\max[\hat{x}_{31}(K/K), \hat{x}_{32}(K/K)]} \quad (5.25)$$

$$f(D) = \begin{cases} 0,2 & \text{pentru } D < 0,1 \\ 4D - 0,2 & \text{pentru } 0,1 \leq D < 0,3 \\ 1 & \text{pentru } D \geq 0,3 \end{cases} \quad (5.26)$$

și înlocuirea lui  $p_3(K-1)$  în relația (5.23) cu  $f(D) \cdot p_3(K-1)$ .

### Clasa IV

Calcularea expresiilor :

$$E(K) = \frac{|\hat{x}_{41}(K/K) - \hat{x}_{42}(K/K)| + |\hat{x}_{42}(K/K) - \hat{x}_{43}(K/K)| + |\hat{x}_{43}(K/K) - \hat{x}_{41}(K/K)|}{\max[\hat{x}_{41}(K/K), \hat{x}_{42}(K/K), \hat{x}_{43}(K/K)]} \quad (5.27)$$

$$g(E) = \begin{cases} 0,2 & \text{pentru } E < 0,5 \\ \frac{8}{3}E - \frac{17}{15} & \text{pentru } 0,5 \leq E < 0,8 \\ 1 & \text{pentru } E \geq 0,8 \end{cases} \quad (5.28)$$

și înlocuirea lui  $p_4(K-1)$  în calculul lui  $p_4(K)$  (relația 5.23) cu

$$g(E) \cdot p_4(K-1)$$

Experimentările au confirmat valabilitatea valorilor pentru  $g(E)$  și  $f(D)$ .

### 5.4.5. Rezultate experimentale

In urma unui număr mare de teste s-au stabilit următoarele condiții inițiale :

#### Clasa 1

$$\hat{x}_1(0/0) = 200$$

$$\hat{x}_1(0/0) = 1600$$

$$\bar{G}_1 = 64$$

$$p_1(0) = 0,25$$

#### Clasa 2

$$\hat{x}_2(0/0) = 200$$

$$P(0/0) = 1600$$

$$\bar{G}_2 = 400$$

$$p_2(0) = 0,25$$

$$(5.29)$$

Clasa 3

$$\hat{x}_3(0/0) = \begin{bmatrix} 200 \\ 200 \end{bmatrix}$$

$$P_3(0/0) = \begin{bmatrix} 1600 & 0 \\ 0 & 1600 \end{bmatrix}$$

$$\sigma_3 = 100$$

$$p_3(0) = 0,25$$

Clasa 4

$$x_4(0/0) = \begin{bmatrix} 200 \\ 200 \\ 200 \end{bmatrix}$$

$$P_4(0) = \begin{bmatrix} 1600 & 0 & 0 \\ 0 & 1600 & 0 \\ 0 & 0 & 1600 \end{bmatrix}$$

$$\sigma_4 = 100$$

$$p_4(0) = 0,25$$

Valorile pentru  $x_i(0/0)$ ,  $P_i(0/0)$  și  $\sigma_i$  sunt în unități de eşantionare (4 ms/echipament). Experimentările au confirmat că valoarea medie  $\mu_i(0) = 200$  (ce corespunde unei frecvențe cardiace de 75 bătăi/minut) este un estimat rezonabil.

In conformitate cu algoritmul și precizările prezentate mai sus, în final, s-au făcut teste pentru 5 categorii de ritm. Parametrii acestora sunt prezentati în tabelul 5.1.

Tabelul 5.1

Tipul ritmului	Ritmul mediu [băt/min]	Modia [ms]	Abaterea standard [ms]
variații mici 1	63,98	937,80	27,87
variații mici 2	82,49	727,40	17,45
variații mari	129,25	464,20	66,63
ritm bigeminat	73,84	812,60	283,11
ritm trigeminat	105,93	566,40	186,04

Programul FORTRAN și performanțele identificării sunt prezentate în anexa 3. Se constată că în cazul unui ritm sinuzal normal (variații mici) identificarea s-a făcut după 5 bătăi (probabilitatea aposteriori pentru clasa I a atins valoarea de aproximativ 90%). După 7 bătăi probabilitatea atinge valoarea limită superioară de 97%. Această performanță se consideră a fi foarte bună. În cazul unor variații mari (datele prelucrate corespund fibrilației atriale) probabilitatea aposteriori depășește 90% după prelucrarea a 8 intervale RR. Identificarea s-a făcut mai târziu deoarece în datele prelucrate intervalele 3, 4 și 5 au valorile 396, 372, 352 ms. Acestea indică un ritm cu variații mici (tachicardia). Precizez că în timpul prelucrării

de la acest interval probabilitatea aposteriori pentru clasa I a crescut ușor dar nu a depășit valoarea de 27%. Creșterea probabilității pentru clasa II în urma prelucrării intervalului de 372 ms se datorează descreșterii clasei III.

In cazul ritmurilor bigeminate și trigeminate probabilitățile aposteriori depășesc valoarea de 90% după numai 3 intervale, prelucrate (numărul minim necesar pentru identificarea celor două tipuri de ritm).

Pentru stabilirea performanțelor algoritmului de identificare s-a făcut 6 teste în care au loc treoceri brugte doar un ritm în altul (variații mici → variații mari, variații mari → variații mici, variații mici → ritm bigeminat, ritm bigeminat → variații mici, variații mici → ritm trigeminat, ritm trigeminal → variații mici). Rezultatele obținute arată că sistemul poate capta și să identifice aceste treoceri și să estimeze corect nouă ritm.

### 5.5. Concluzii

Rezultatele obținute, pînă în momentul de față, cu programele de analiză automată a tulburărilor de ritm cardiac, confirmă valabilitatea și utilitatea celor doi algoritmi elaborați de autor.

Din cele prezentate mai sus reiese că primul algoritm (algoritm bazat pe analiza morfologică a undei ECG) permite identificarea și recunoașterea unor anomalii ale ritmului cardiac de mare ființă. Acest algoritm necesită un sistem de prelucrare cu o mare putere de calcul. Identificarea tulburărilor de ritm se face printr-o ierarhizare a structurii algoritmului. Analiza se face off-line.

Analiza tulburărilor de ritm conform celui de al doilea algoritm (algoritm de identificare a ritmului cardiac de bază prin metode statistice) are marele avantaj că permite o analiză în timp real, analiză prin care se evidențiază în timp ritmicitatea cordului. De asemenea, datorită deciziilor statistice utilizate, precizia analizei nu este influențată aşa de mult de zgomot ca la primul algoritm. Simplitatea acestui algoritm se datorează faptului că se prelucrează doar informațiile referitoare

la intervalele RR din unda ECG. Se consideră că aceste informații sunt suficiente pentru decelarea celor mai importante aritmii.

Interesul manifestat de specialiști la diverse simpozioane și sesiuni științifice (sesiunile științifice de la Timișoara din 1977 și 1979 ; Simpozionul de electronică medicală organizat de I.P.T.V.Timișoara în 1978 și 1980 ; Simpoziumul de informatică medicală Cluj-Napoca din 1980 și 1981) față de metodelă de analiză elaborate de autor reflectă actualitatea problematicii rezolvate de autor.

## CAPITOLUL 6

### SISTEME DE SUPRAVEGHERE SI CONTROL

#### 6.1.. Introducere

Scopul sistemelor de supraveghere și control este de a monitoriza continuu principaliii parametri ce caracterizează sistemele biologice, în vederea detectării imediate a unor anomalii care ar putea afecta starea subiectului, precum și în furnizarea unor informații, ușor de interpretat, asupra stării sistemului biologic în momentul respectiv. Acest lucru a devenit posibil odată cu dezvoltarea electroniciei. Prin realizarea unor aparate electronice de monitorizare continuă s-au obținut progrese însemnante în domeniul cercetării, diagnosticului și terapiei medicale. De asemenea, se măresc șansele de supraviețuire a pacienților cu afecțiuni grave și se diminuează considerabil solicitarea medicilor și a personalului medical. Prin sistemele de alarmă sunore sau optice, cu care sunt prevăzute astfel de monitoare se atrage atenția personalului sanitar imediat la orice schimbare a stării bolnavului. Totodată, echipamentele de monitorizare au o mare importanță în alegerea și dozarea medicamentelor și mai ales în urmărirea efectelor în timp ale acestora.

În ora actuală, astfel de monitoare se utilizează frecvent în laboratoare, clinici, unități de supraveghere intensivă, săli de operații și reanimare, etc. În țara noastră sunt solicitate un număr tot mai mare de astfel de aparate (Simpozionul de electronică medicală organizat de IPTV Timișoara în 1978 și 1980).

Asigurarea unor caracteristici superioare pentru sistemele de supraveghere și control impune, [6], [7], [8], [92], următoarele obiective :

- culegerea și amplificarea semnalelor biologice să se facă cu maximum de precizie ;
- măsurarea precisă a parametrilor ce caracterizează semnalul biologic ;

- furnizarea informațiilor necesare rapid și într-o formă ușor de interpretat ;
- interpretarea într-un timp cât mai scurt posibil a parametrilor urmăriți ;
- asigurarea securității pacientului și a personalului sanitar ;
- echipamentul să fie ușor de manipulat și să aibă o fiabilitate ridicată.

Modernizarea și automatizarea procesului de fabricație al componentelor electronice a permis introducerea pe scară largă, în spitale a unor echipamente de supraveghere în a doua jumătate a secolului XX. Din punct de vedere al complexității acestora se poate face, [105], o clasificare a lor în : echipamente simple și complexe.

Echipamentele de monitorizare simple sunt destinate doar urmăririi continue a principaliilor parametri fiziologici și alarmarea personalului sanitar cînd aceștia depășesc anumite limite prescrise. Aceste monitoare sunt amplasate, de obicei, lîngă patul pacientului. În sălile moderne de reanimare, acestea sunt cuplate cu o unitate centrală de supraveghere și control. Prin intermediul unității centrale se poate urmări unul sau mai mulți parametri fiziologici ai pacientului. În general, cu aceste echipamente se pot urmări continuu următorii parametri : ritmul cardiac; ritmul respiratoriu; presiunea sanguină; temperatură pacientului.

Echipamentele de monitorizare complexe, pe lîngă urmărirea principaliilor parametri biologici, efectueză și o prelucrare automată a acestora.

Prin introducerea tehnicii numerice de măsurare și de calcul se pot realiza echipamente specializate care execută operațiile de prelevare, preparare și de calcul într-un timp foarte scurt. Analiza concomitentă a mai multor parametri fiziologici și furnizarea unor informații complete despre acești parametri implică utilizarea calculatoarelor electronice numerice cu mare putere de calcul.

În funcție de natura semnalelor biologice ce se prelucră, echipamentele complexe de monitorizare pot avea, [65], [82], [92], [98], [123], diferite configurații. În general, configurația de bază a unui echipament de monitorizare continuă a

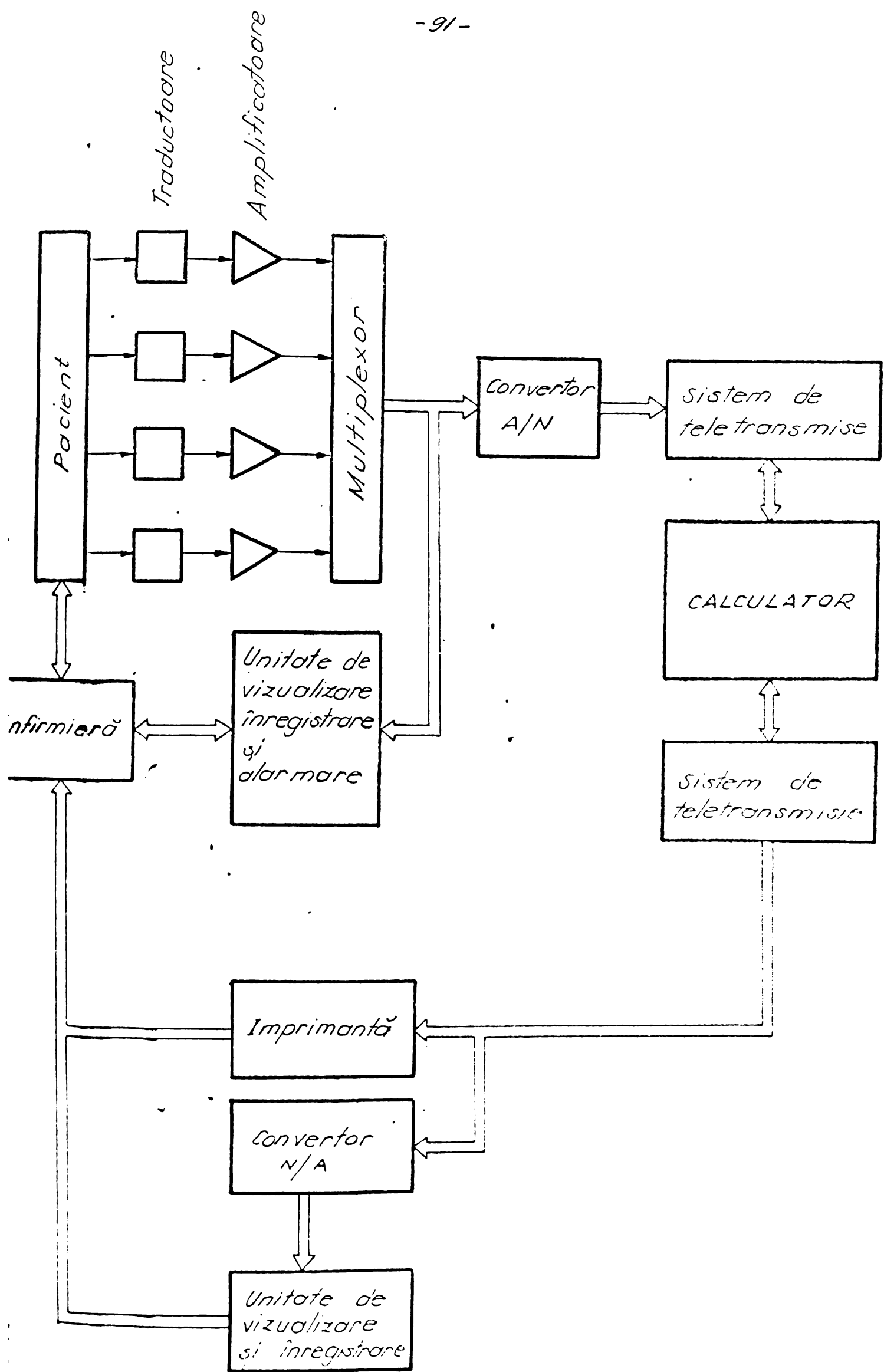


Fig. 6.1 Configuratioia unui sistem complex de monitorizare.

sistemului cardiovascular conține : traductoare pentru mărimile fiziologice ; amplificatoare de măsură ; convertoare analog-numerice și numeric-analogice ; echipamente de teletransmitere de la spital către centrul de calcul și invers ; calculatorul și echipamentele periferice. În figura 6.1 se prezintă schematic configurația de bază a unor astfel de echipamente.

Având în vedere că scopul acestor echipamente complexe este acela de a studia evoluția în timp a unor mărimi fiziologice și de a depista și alarmă apariția unor anomalii, fie ele și singulare, calculatorul trebuie să lucreze în timp real. Această problemă, din punct de vedere tehnic, se rezolvă prin mărirea capacitatei calculatorului și prin utilizarea unor convertoare analog-numerice rapide. Prin urmare echipamentul este costisitor. Din ceea ce expuse mai sus, rezultă că este necesar ca numărul de date ce trebuie prelucrate să fie cât mai mic, dacă în același timp, suficiente pentru descrierea stării su-bjectului. În vederea reducerii datelor de prelucrat, este necesar ca monitorizarea să se facă în domeniul cel mai critic.

Bolile cardiovasculare prezintă astăzi un interes deosebit, datorită ponderii pe care o au în prezent în cadrul morbidității și mortalității generale, precum și datorită cauzei de invaliditate cronică. Datele statistice recente arată, [105], că circa 50% din decesele înregistrate la pacienții atinși de afecțiuni ale sistemului cardiovascular sunt datorate aritmilor. Aritmiile sunt de natură variată și reprezintă de cele mai multe ori o complicație care grevează asupra prognosticului ; fondul problemei fiind morțile subite "electrice". În situațiile în care aritmia urmărește prin ea însăși, independent de leziunile anatomiche, la infarcte miocardice necomplicate, înseamnă că există morți "evitabile", aflate sub riscul tulburărilor de ritm. În experiența ultimului deceniu a îngrijirii coronarienilor în unități special concepute rezultă că riscul prognostic al aritmiei în infarctul miocardic este mare. Chiar dacă aritmia este efemeră, ea reprezintă un element de gravitate particulară și trece, [133], infarctul miocardic din categoria "risc obignuit" în categoria "risc major".

Depistarea precoce a tulburărilor de ritm, este de un mare interes clinic deoarece acestea pot fi tratate în mod corespunzător.

Aparatura de monitorizare a sistemului cardiovascular să dezvoltat continuu. Si la ora actuală, studiul și proiectarea unor astfel de aparate constituie o problemă de bază a multor firme renumite din străinătate. Pe plan mondial există două tendințe, și anume :

- realizarea unor monitoare portabile destinate urmăririi unor parametri critici;

- realizarea unor monitoare staționare destinate analizei de funcție a parametrilor ce caracterizează sistemul cardiovascular.

Din categoria monitoarelor portabile se pot cita sistemele de înregistrare pe bandă magnetică a undei ECG (Sisteme MELIOPORT al firmei Hellige) și sistemul de teletransmisie al ECG-ului prin unde radio (Meditel N al firmei Hellige).

Din categoria monitoarelor staționare fac parte atât echipamentele de monitorizare simple cât și complexe. Monitoarele simple sunt echipate, în general, cu : module de vizualizare a undei ECG și cu elemente programabile de alarmare. Sistemul de alarmă intră în funcție cînd se depășește fie limita inferioară, fie cea superioară a ritmului cardiac. Aceste limite sunt fixate de utilizator. Astfel de monitoare sunt comercializate de firmele : Tektronix (400, 408, 412); Hellige (SM 181-M), etc. La unele monitoare simple este incorporat și un modul de măsurare și afișare numerică a ritmului cardiac (Monitor 414 - Tektronix). Posibilitățile limitate ale monitoarelor simple de a acoperi, în mod corespunzător, gama largă a afectiunilor cardiaice au determinat crearea operațiunii specializate în studiul aritmiei. La început, aceste aparatе au fost concepute să determine afectiunile simple de ritm, cum ar fi : extrasistolele, salva de extrasistole, etc. La acestea, limitele de normal și anormal erau fixate de utilizator prin intermediul unor comutatoare de pe panoul aparatului. Aceste limite se mențineau constante pe întreaga perioadă de monitorizare. Din această categorie se pot exemplifica : monitoarele de tipul 7322A (Hewlett-Packard) ; cele cuprinse în sistemul Cardalarm S (Siemens); Gällo (Schwarzer), etc. Acestea nu sunt prevăzute cu dispozitive aritmetice și nu au posibilitatea de memorare a rezultatelor obținute în urma interpretării.

Echipamentele de monitorizare complexe, cum ar fi cele de tipul : Sirecust 358 (Siemens); 7822oC (Hewlett-Packard) realizat în 1978; Argus/Sentinel (Mennen-Greatbach) conțin unități de calcul și dispozitive periferice. Acestea fac o analiză de finețe al ritmului cardiac combinată cu elemente de analiză morfologică a undei ECG. Programele de analiză sunt foarte sofisticate.

Rezultatele obținute, pînă în momentul de față, cu astfel de echipamente este greu de apreciat, deoarece fiecare firmă evaluează performanțele bazîndu-se pe înregistrări proprii. Pe de altă parte, cazurile studiate sunt în general foarte limitate și obiectivele cercetării nu sunt întotdeauna aceleasi.

La noi în țară s-au făcut cercetări în domeniul realizării unor monitoare complexe de ritm cardiac. Rezultatul acestei cercetări s-a finalizat printr-o teză de doctorat a inginerului Papadopol Șerban condusă de prof.dr.ing.Edmond Nicolau în realizarea unui model experimental, [lo5], în cadrul laboratorului de aparatură medicală ICSITE București.

Functiile acestui echipament de analiză automată a ritmului sunt :

✓ calculează și afișează ritmul cardiac instantaneu, mediu și de bază ;

✓ calculează și afișează duratele complexelor QRS, bătăie cu bătăie ;

✓ calculează și afișează abaterile relative între ritmul instantaneu și cel de bază, ritmul mediu și ritmul instantaneu al bătăii precedente ;

✓ analizează și normalizează direct următoarele aritmii:

a) extrasistole izolate de origine ventriculară sau supraventriculară ;

✓ b) tren de extrasistole de origine ventriculară sau supraventriculară ;

✓ c) ritm bigeminat, indiferent de originea extrasistolilor care intră în compozitia sa ;

✓ d) bradicardie ;

✓ separă extrasistolele ventriculare de cele supraventriculare, le contabilizează și le afișează separat ;

✓ alarmază apariția uneia sau mai multora - în funcție de programare - din aritmiiile enumerate mai sus ; de asemenea

este alarmată depășirea valorii numerice maxim admisibile de extrasistole;

- furnizează date care permit studiul altor ritmuri decât cele alarmate direct, cum ar fi : tachicardia, extrasistolele blocate, etc.

Având în vedere importanța decelării tulburărilor de ritm, autorul studiază unele aspecte ale concepției și proiectării structurale și ale construcției monitoarelor de ritm cardiac. În urma acestui studiu, autorul realizează două tipuri de monitoare de ritm cardiac. În acest capitol se va prezenta succint atât aspectele implementării hardware cît și performanțele atinse cu aceste monitoare.

#### 6.2. Monitor portabil pentru analiza automată a ritmului cardiac

##### 6.2.1. Obiectivele impuse.

Determinarea tulburărilor ritmului cardiac prin analiza vizuală a electrocardiogramei sau a undei de puls este dificilă întrucât cînd este necesară o urmărire pe un interval de timp mai lung. Practic acest lucru este imposibil în situațiile cînd monitorizarea face pe o perioadă de ordinul orelor.

Utilizarea monitoarelor simple care măsoară și afișează frecvența cardiacă, fie analogic fie numeric, ușurează substanțial această muncă. Totuși, având în vedere perioade lungi de supraveghere continuă, utilizarea acestora necesită eforturi foarte mari din partea personalului medical (o soră medicală ar trebui să stea tot timpul lîngă aceste echipamente pentru a urmări și nota ritmurile instantanee). Atașarea unei imprimante acestor monitoare ar ușura considerabil această muncă. Chiar și în această situație, analiza de către personalul medical a ritmului pe baza informațiilor obținute necesită timp, este obosită și este afectată de erori datorită volumului mare de informații ce se analizează. Trebuie luat în considerare și faptul că în foarte multe situații este necesară o supraveghere continuă și a subiecților nespitalizați. De asemenea trebuie amintit și faptul că anumiți subiecți trebuie monitorizați la locul de muncă în condiții reale de existență.

Având în vedere importanța unei monitorizări continue și de lungă durată, autorul studiază metodele și posibilitățile de realizare a unor monitoare portabile. În urma unui studiu minuțios a metodelor utilizate în construcția monitoarelor portabile, autorul ajunge la următoarele concluzii :

- Înregistrarea undei ECG pe bandă magnetică pe intervale de timp foarte lungi, necesită o bandă magnetică cu capacitate de memorare suficient de mare și în consecință înregistratorul devine voluminos și greu. În plus, necesitatea unei unități de prelucrare rapidă a informației înregistrate face ca sistemul să devină costisitor, greu de manipulat (manipularea să face doar de personal specializat) și în consecință să nu fie accesibile unui număr mare de oameni ;

- Teletransmisia ECG-ului prin unde radio la o unitate de prelucrare are dezavantajul unei distanțe mici de teletransmisie (de obicei în interiorul spitalului sau al unui teren de sport) ;

- Aparatele construite pe principiul măsurării și integrării cumulative au dezavantajul că la acestea se adaugă un factor fiziologic esențial, și anume : fluctuațiile intervalului de timp între bătăile inimii.

În urma unei dezbateri cu tema : "Evaluarea activității fizice curente" (Praga, 1-6 august 1971), Organizația Mondială a Sănătății, a considerat că pentru eliminarea deficiențelor prezente mai sus este absolut necesar să se realizeze noi tipuri de aparute. O.M.S. (CVD/71.4 WHO Genova) a recomandat că aparate să aibă următoarele caracteristici :

- să fie ieftine și accesibile unui grup mai larg de oameni ;  
- să fie portabile (consum de energie, greutate și volumnic) ;

- să fie ușor de manipulat, astfel ca subiectul sub control să poată opera mai multe zile fără să fie necesară trimiterea datelor la clinică pentru interpretare.

- să dea informații suficiente și precise despre parametri fiziologici care reflectă cel mai bine nivelele activității.

Studiind atent limitările echipamentului curent utilizat în studiul activității fizice și ținând cont de recomandările O.M.S., în cadrul catedrei de Electronică și măsuri a IPTV Ti-

înălțimea, autorul a realizat în anul 1977 un monitor portabil pe baza algoritmului prezentat în capitolul 5.2. Beneficiarul acestui sistem (fig.6.2) este secția pilot OMS de cardiologie, condusă de dr.Orha Ioan, din cadrul spitalului Fundeni din București.

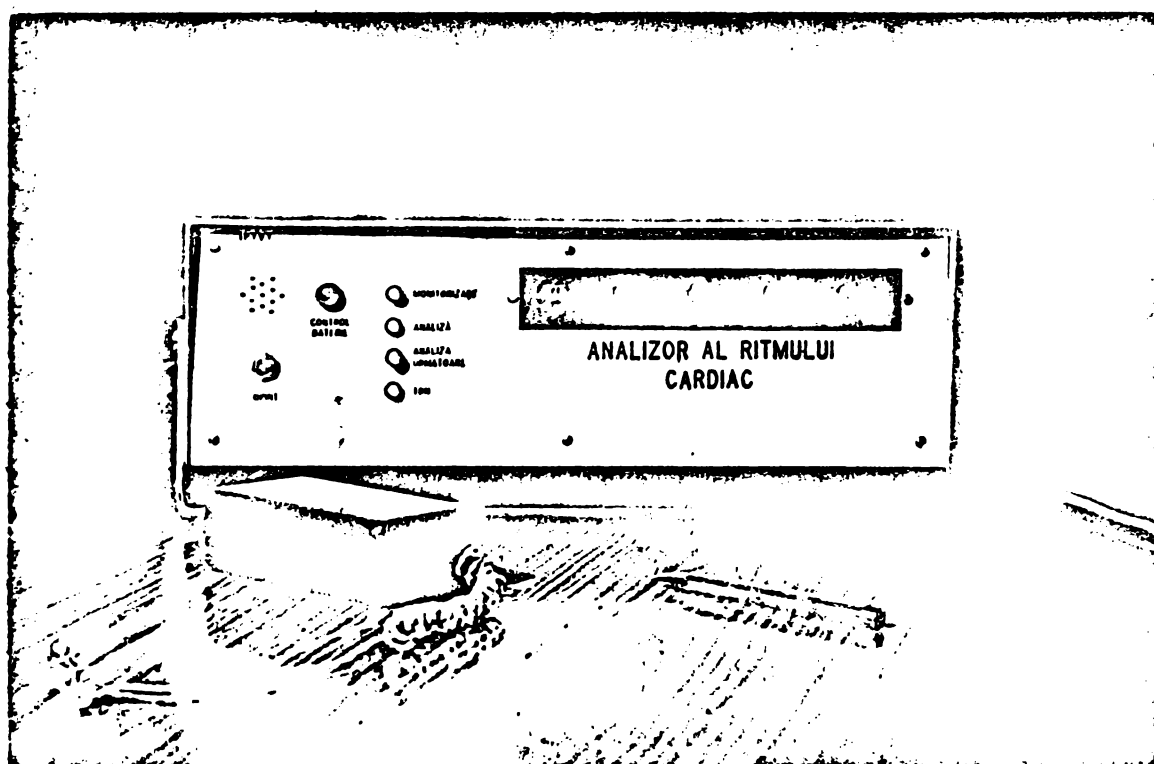


Fig.6.2

În cele ce urmează se va face o prezentare succintă a acestui echipament și o parte din rezultatele obținute în urma exploatarii acestuia timp de 4 ani.

#### **6.2.2. Dosarearea metodei**

Parametrul fiziologic care reflectă cel mai bine activitatea fizică a subiectului este ritmul cardiac (CVD/71.4 Genova). Analiza acestei activități are la bază principiul distribuției în frecvență a ritmului cardiac și constă, [87], în următoarele :

- se măsoară valoarea intervalului de timp RR din unda ECG ;
- se face o clasificare a ritmului cardiac în 8 clase și anume :  $\geq 170$  ; 169 - 140 ; 139 - 110 ; 109 - 90 ; 89 - 80 ; 79 - 70 ; 69 - 60 ;  $\leq 59$  bătăi/minut ;
- se contabilizează și se memorează de câte ori se raportează fiecare clasă în timpul perioadei de supraveghere a subiec-

tului. Accasta se face cu scopul de a se construi histograme ritmului cardiac, în vederea calculului consumului de energie și a depistării unor anomalii de ritm.

#### 6.2.3. Descrierea monitorului

Echipamentul de analiză a ritmului cardiac, conform metodei descrise mai sus, constă din două unități : o unitate portabilă și o unitate staționară (fig.6.3).

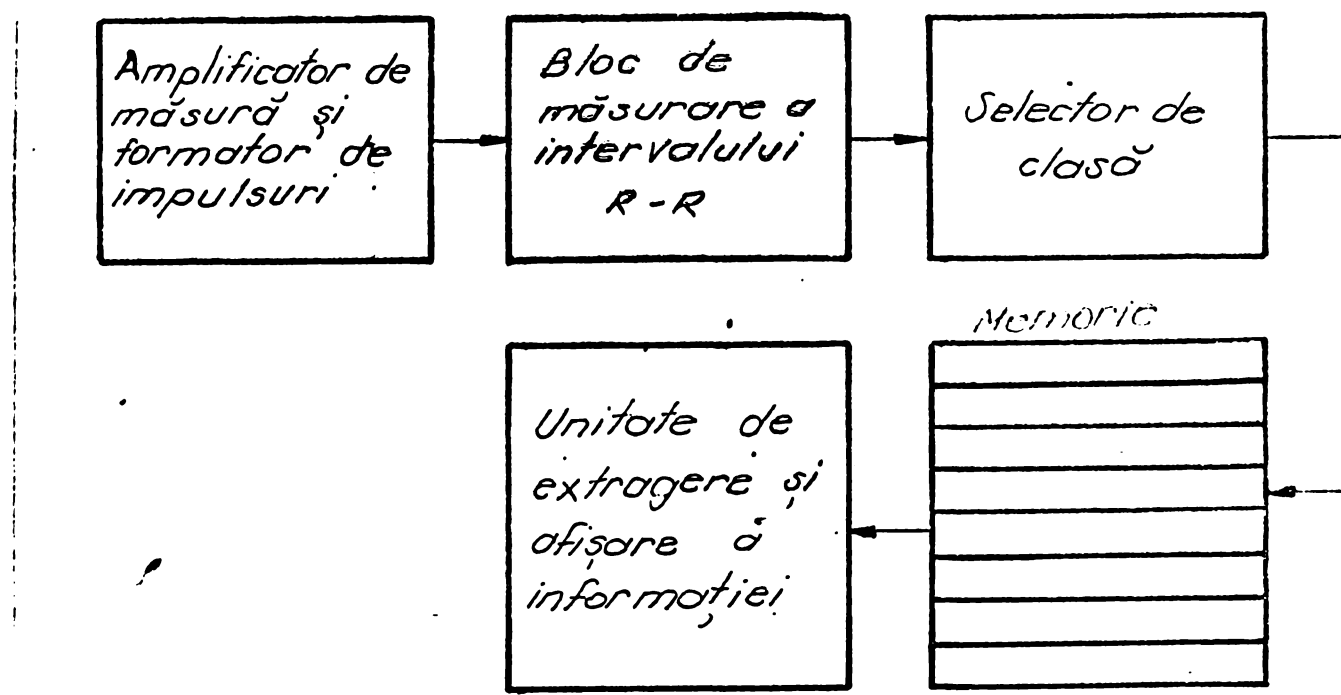


Fig.6.3

Unitatea portabilă conține : amplificatorul de măsură și formatorul de impulsuri, blocul de măsurare a intervalului RR, selectorul de clasă și memoria. Scopul acestei unități este de a amplifica semnalul electric generat de inimă, de a măsura intervalul RR în vederea clasificării ritmului cardiac în cele 3 clase și de a contabiliza și memora de câte ori se repetă fiecare clasă. Schema de principiu a acestei unități este prezentată în fig.6.4. Blocul analogic din figură are scopul de a amplifica semnalul electric generat de inima celui investigață și de a furniza impulsuri sincrone cu complexul QRS. Amplificatorul de măsură și detectorul de QRS, din blocul analogic, sunt realizate cu amplificatorul operațional de consum redus, LH 24250.

In vederea reducerii zgomotelor datorate artefactelor se utilizează derivațiile precordiale. In cazul în care subiectul nu face mișcări se pot utiliza și derivațiile bipolare standard.

Din dorința de a putea face o supraveghere continuă, pe o durată de cel puțin 24 de ore, și din considerente de ordin economic analiza nu se face bătaie cu bătaie, ci din 5 în 5 sau din 10 în 10 bătăi (după preferința utilizatorului). Din acest punct de vedere, monitorul ce se descrie nu concurează cu sistemele computerizate a căror aplicație, de obicei, este restrinsă în domeniul clinic. In urma divizării cu 5 sau cu 10 și a diferențierii impulsurilor sincrone cu complexul QRS acestea se aplică la blocul de măsurare a intervalului RR. Acest bloc este de fapt un numărător a cărui conținut este dat de relația:

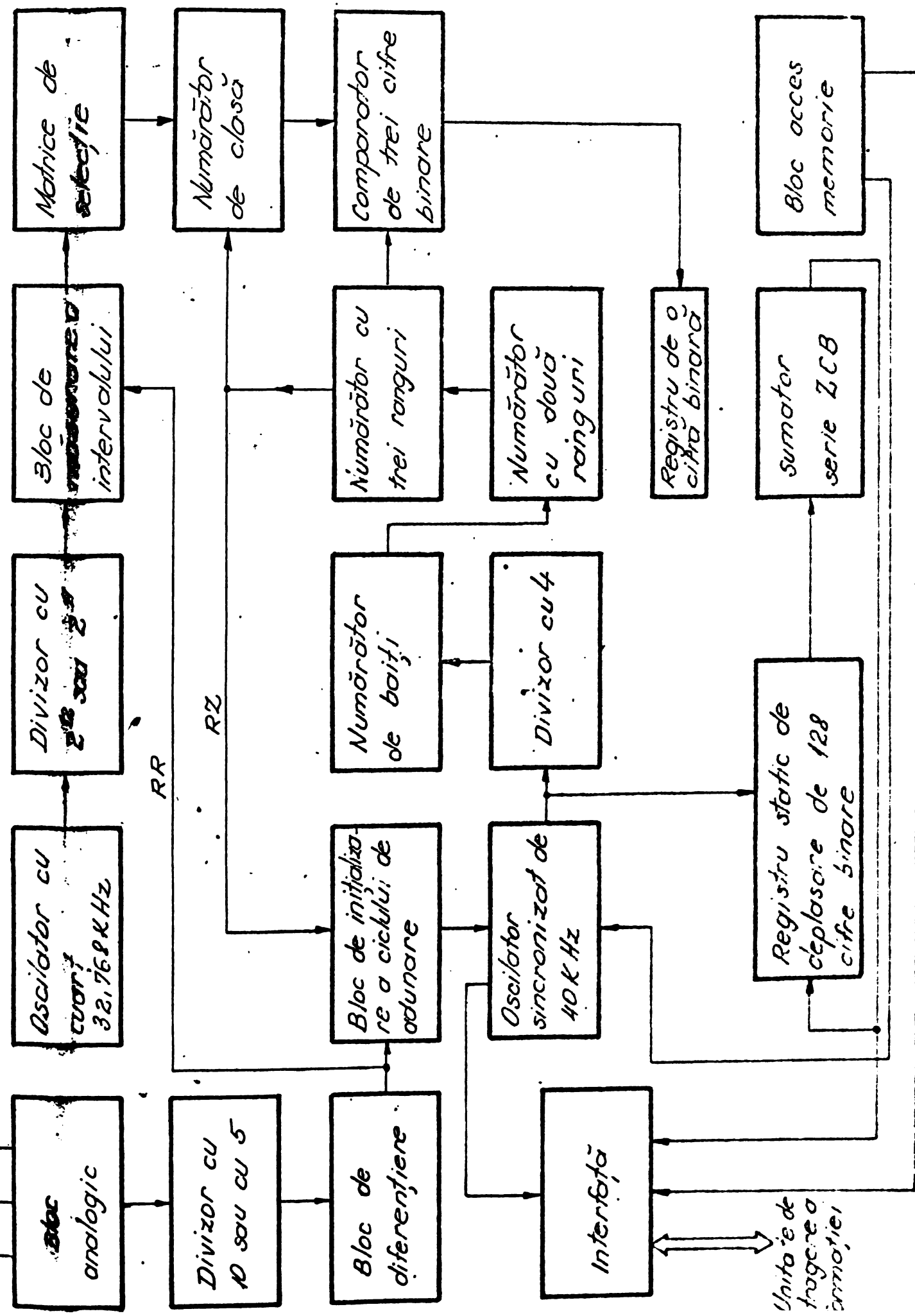
$$K = f \cdot T \quad (6.1)$$

unde  $f$  este frecvența de 8 sau 16 Hz, după cum  $T$  este intervalul de timp dintre 10 respectiv 5 bătăi consecutive ale inimii. Impulsurile de frecvență  $f$  sunt obținute prin divizarea cu  $2^{12}$  sau  $2^{11}$  a impulsurilor cu frecvență de 32,768 kHz generate de oscilatorul cu quart. Prin urmare frecvența  $f$  este foarte stabilă.

Matricea de selecție, realizată cu diode, clasifică intervalul măsurat într-o din cele 8 clase. Această clasificare se face în conformitate cu tabelul de selecție (tab.6.1). La ieșirea acestei matrici, în intervalul de timp  $T$ , se generează impulsuri dreptunghiulare care sunt numărate de numărătorul de alătură cu 3 ranguri. Generarea fiecărui impuls se face în momente bine precizate (în funcție de informația din numărătorul destinat măsurării duratei  $T$ ). La sfîrșitul duratei  $T$  în numărătorul de clasă este conținut numărul ce reprezintă clasa corespunzătoare intervalui  $T$ . In acest moment numărătorul de interval este pus pe zero și pregătit pentru o nouă măsurare. Concomitent intră în funcțiune dispozitivul de comandă, unitatea aritmetică și cel de al doilea generator de impulsuri de frecvență 40 kHz cu scopul de a detecta în ceclasă a fost categorisit intervalul precedent  $T$ , în vederea adunării unui 1 la vechea informație a clasei respective și de a memora noua informație. Această operație este inițiată prin punerea pe 1 a unui circuit



Fig. 6.4.



Tab.6.1.

Conținutul numărătoru- lui de in- terval R-R	Frecvența ini- mii exprimată în bătăi/min	Conținutul numărătoru- lui de in- terval R-R	Frecvența ini- mii exprimată în bătăi/min
20	240	21	223,571
22	218,182	23	203,696
24	200	25	192
26	184,615	27	177,778
28	171,429	29	165,517
30	169	31	154,839
32	150	33	145,455
34	141,176	35	137,143
36	133,333	37	129,73
38	126,316	38	123,077
40	120	41	117,073
42	114,286	43	111,623
44	109,091	45	106,667
46	104,348	47	102,128
48	100	49	97,9592
50	96	51	94,1176
52	92,3077	53	90,566
54	88,8889	55	87,2727
56	85,7143	57	84,2105
58	82,5786	59	81,3559
60	80	61	78,6835
62	77,4193	63	76,1905
64	75	65	73,3461
66	72,7273	67	71,6418
68	70,5082	69	69,5652
70	68,5714	71	67,6056
72	66,6667	73	65,7534
74	64,8649	75	64
76	63,1579	77	62,3377
78	61,5385	79	60,7595
80	60	81	59,2593
82	58,5366	83	57,8313
84	57,1429	85	56,4706
86	55,8139	87	55,1724
88	54,5454	89	53,9326
90	53,3333	91	52,7472
92	52,1739	93	51,6129
94	51,0638	95	50,5205
96	50	97	49,4345
98	48,9796	99	48,4843

basculant bistabil de către impulsul care marchează sfîrșitul intervalului T. Datorită valorii mari a frecvenței impulsurilor (40 kHz) cu care se operează, prelucrarea durează foarte puțin.

La sfîrșitul prelucrării se repune pe zero circuitul basculant bistabil, care a inițiat ciclul de adunare și numărătorul de clasă de către semnalul RZ. Din acest moment dispozitivul de comandă și unitatea aritmetică intră în regim de aşteptare pînă la terminarea ciclului de măsură, după care se reia din nou ciclul de adunare.

Unitatea aritmetică este formată din registrul de deplasare static de 128 cifre binare în care se află unul din operanzi, din registrul de o cifră binară în care se introduce cel de al doilea operand și dintr-un sumator serie ZCB (zecimal codificat binar).

Registrul de deplasare de 128 biți are două funcții : de acumulator pentru sumator și de memorie. În acesta se memorează numărul de intervale T ce aparțin unei anumite clase. Pentru fiecare clasă sunt alocate 16 cifre binare (4 biți). Prin urmare, numărul maxim de evenimente ce se pot memora într-o clasă este de 9999.

În timpul ciclului de adunare vechea informație, memorată în registrul de deplasare, este deplasată cîfră cu cîfră și aplicată la intrarea sumatorului. Simultan, divizorul cu 4, numărătorul de biți și numărătorul cu două și trei ranguri numără impulsurile furnizate de oscilatorul de 40 kHz, astfel încît introducerea unui unu în registrul alocat celui de al doilea operand să se facă doar în momentul cînd vechea informație a clasei selectate este prezentă la intrarea sumatorului. Este necesar acest lucru pentru a se mări cu 1 conținutul clasei selectate. La celelalte clase informația rămîne neîschimbătă deoarece se adună un zero. Semnalul de introducere a unui 1 în registrul de o cifră binară este furnizat de comparatorul cu 3 ranguri în momentul cînd conținutul numărătorului de clasă este egal cu cel al numărătorului cu 3 etaje. Impulsurile aplicate numărătorului cu 3 etaje provin din divizorul cu 16 și impulsurilor generatorului de tact. În felul acesta se înscrie un 1 în registrul celui de al doilea operand în momentul cînd cifra binară cea mai puțin semnificativă a clasei selectate este prezentă la intrarea sumatorului. La apariția următorului impuls de

tact se face adunarea și noua informație este reținută în registrul acumulator. Pe frontul negativ al acestui impuls se reponde pe zero registrul operandului și la celelalte clase se adună un zero. Trebuie remarcat faptul că la sfîrșitul ciclului de adunare divizorul cu 4, numărătorul de băti, numărătoarele cu 2 și 3 etaje se află în starea 0 logic și astfel sunt pregătite pentru o nouă secvență de adunare.

Extragerea informației din unitatea portabilă în unitatea de afișaj se face în serie, clasă cu clasă. La intervenția operatorului unitatea staționară emite un semnal de extragere a informației către unitatea portabilă. Prin intermediul blocului de acces la memorie, unitatea portabilă ia la cunoștință faptul că s-a cerut acces la memorie. Din acest moment, se inhibă operația de adunare și se validează operația de extragere. În acest regim intră în funcțiune generatorul de impulsuri cu frecvență de 40 kHz care, de această dată, furnizează doar 16 impulsuri. Aceste impulsuri deplasează cifră cu cifră informația din acumulator și prin intermediul interfeței este transmisă unității staționare și afișată de aceasta. Astfel s-a extras informația corespunzătoare primei clase. În mod similar se extrage informația și pentru celelalte clase.

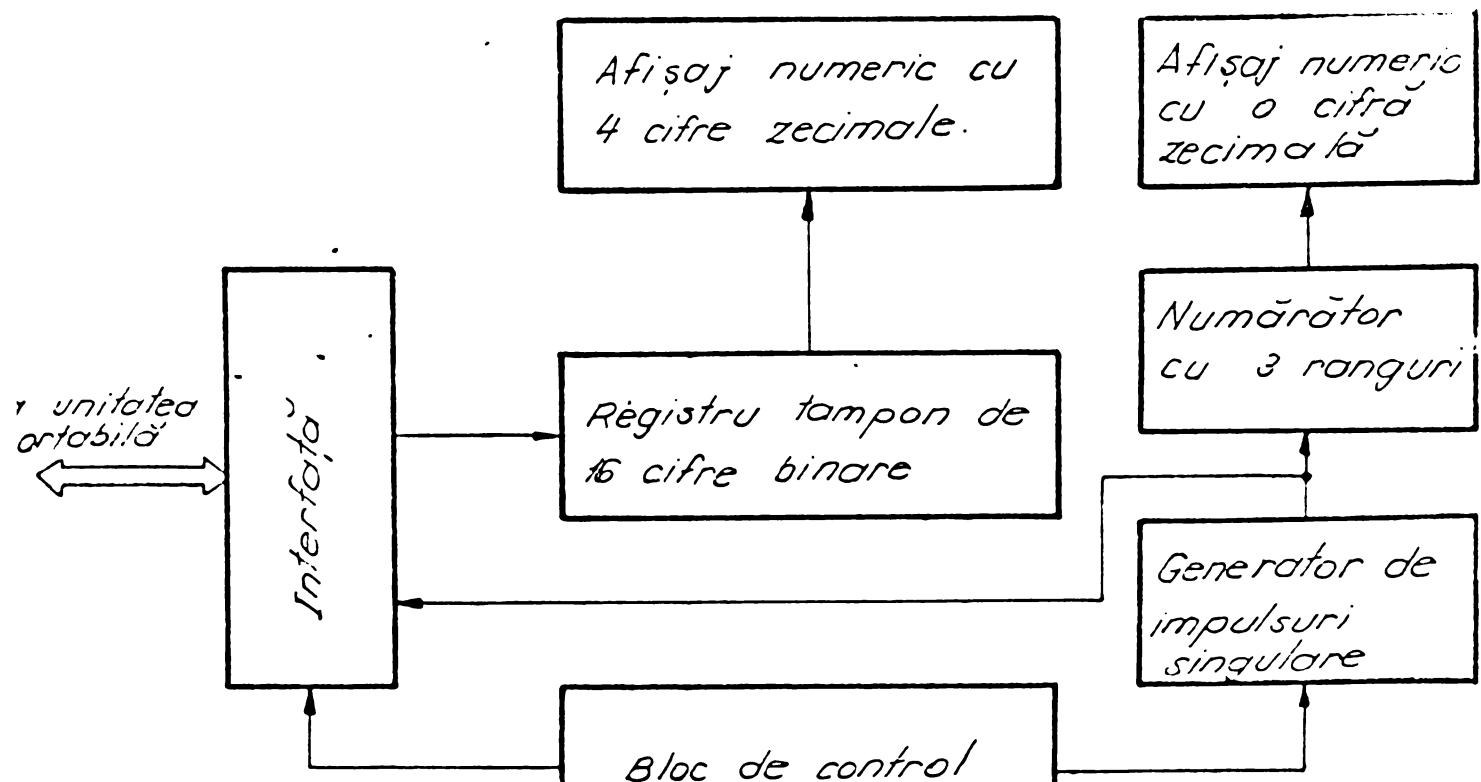
Unitatea portabilă conține 21 de circuite integrate de tipul COS/MOS. Alimentarea circuitelor electronice este realizată cu 4 baterii de 1,5 V. Consumul este de  $30 \mu A$ . Întregul ansamblu este introdus într-o cutie paralelipipedică cu dimensiunile de 115 x 70 x 38 mm. Greutatea este de 250 grame.

### B. Unitatea staționară

Aceasta are rolul de a afișa informația conținută în memoria unității portabile. Este evident faptul că cele două unități trebuie să fie conectate împreună. Acest lucru se realizează printr-un cablu prevăzut cu două mufe la extremități. La intervenția utilizatorului generatorul de impulsuri singulare furnizează un singur impuls, care prin intermediul interfeței este trimis pe cablu la unitatea portabilă. Acest impuls are scopul de a cere acces la memorie. După cum am spus mai înainte, din memoria unității portabile se emite în serie informația corespunzătoare primei clase (16 cifre binare). Concomitent se emit și impulsurile de tact de 40 kHz pe cablu. Prin intermediul

interfeței acestea se aplică registrului tampon de 16 cifre binare în scopul afișării informației pe afișajul numeric de 4 cifre zecimale. Impulsul furnizat de generatorul de impulsuri singulare se aplică și numărătorului cu 3 ranguri. Conținutul acestui numărător este indicat pe afișajul numeric cu o cifră zecimală și reprezintă clasa a cărei informație a fost extrasă și este indicată în afișajul cu 4 cifre zecimale. Prin acest mod de operare utilizatorul poate să-și noteze clasa și conținutul acesteia. La o nouă intervenție a sa se extrage informația corespunzătoare clasei 2, în mod asemănător. În cele două blocuri de afișaj se află indicată clasa și informația corespunzătoare. Aceste operații continuă de 8 ori. În final utilizatorul are la dispoziție informația corespunzătoare celor 8 clase, informație ce servește la construirea unor histograme cu ajutorul cărora se pot trage concluzii rapide despre activitatea inițiilor.

Prin intermediul blocului de control, unitatea fixă sesizează starea bateriilor de alimentare a unității portabile și faptul dacă electrozii nu s-au desprins în timpul perioadei de supraveghere a subiectului. De asemenea, prin intermediul acestui bloc se poate șterge informația din memoria unității portabile și să dea startul pentru un nou test. Schema de principiu este prezentată în fig.6.5.



#### 6.2.4. Prelucrarea informațiilor. Rezultate experimentale

Intrucit, în intervalul de timp în care subiectul este sub control pot interveni variații ale frecvenței cardinice, informațiile obținute se utilizează comparativ. Aceste informații (numere) pot fi transformate în procente prin împărțirea numărului corespunzător fiecărei clase la numărul total al bătăilor inimii. Numărul total al bătăilor inimii este egal cu suma tuturor numerelor corespunzătoare celor 8 clase. Atâtă timp cît durata perioadei de supraveghere este cunoscută, aceste procente săn echivalente cu timpul cît a durat fiecare clasă. Deci putem să ne dăm scama de cît timp inima celui investigat a avut o activitate mai intensă sau mai puțin intensă. Un exemplu tipic de date numerice obținute în timpul unui test este următorul :

Tipul activității : activitate obișnuită

Timpul cît a durat testul : 190 minute

Clasa	Frecvența clasei	Nr. de bătăi ce aparțin fiecărei clase	% corespunzătoare fiecărei clase
1	1'70 >	0	0
2	140-169	0	0
3	110-139	50	0,3
4	90-109	2590	16,4
5	80-89	10210	64,6
6	70-79	2830	18,2
7	60-69	70	0,4
8	≤ 59	0	0
Total		15860	99,9
Frecvența medie		83	

Cu valorile corespunzătoare celor 8 clase se pot construi histograme prin căre se arată distribuția frecvenței inimii, fig.6.6.

Prin alura acestor histograme se pot aprecia dereglațiile de ritm cardiac. Existența mai multor maxime în histogramă arată că subiectul are un ritm foarte dereglat. De asemenea, prin poziția maximului se poate aprecia dacă este vorba do bradicardie sau tachicardie. În afară de faptul că aceste histograme ajută la aprecierea dereglațiilor de ritm cardiac, ele servesc și la calculul consumului de energie. În fig.6.7 se arată histogramele pentru diferite tipuri de activități. Se observă din aceste

histograme că cel mai mare procent de numere cade în clasa care corespunde perioadei medii a inimii. Acest maxim, ca de altfel

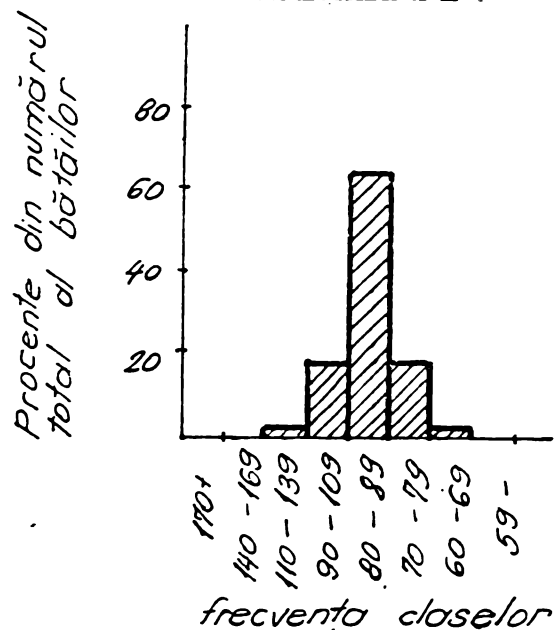


Fig.6.6.

și întreaga histogramă se deplasează spre clasele a căror frecvență a inimii este mai mare (în stînga), ca urmare a creșterii intencității activității. Înseamnă că la o singură privire a unei histograme (forma ei și poziția în funcție de clasă) ne putem da seama ușor dacă subiectul a fost mai mult sau mai puțin activ.

Cercetările experimentale au arătat că între frecvența cardiacă și consumul de energie există o relație liniară. Această relație, prezentată și în paragraful 5.2., este de forma :

$$W = 0,1242 \cdot f_h - 7,91$$

Această formulă a fost aplicată pentru fiecare clasă în histograma respectivă, a fost înmulțită cu procentele corespunzătoare fiecărei clase. În felul acesta se obține consumul de oxigen pe clasă. Suma valorilor obținute pentru fiecare clasă dă consumul total de energie în histograma respectivă.

Se poate observa că, consumul de energie crește în histogramele deplasate spre activitatea intensă. Se pune întrebarea dacă nu este suficient doar să determinăm frecvența medie a bătăilor inimii și această frecvență să o utilizăm în calcul. Răspunsul este negativ (fig.6.8). Din această figură se observă că pentru diferitele tipuri de activități frecvența medie a fost

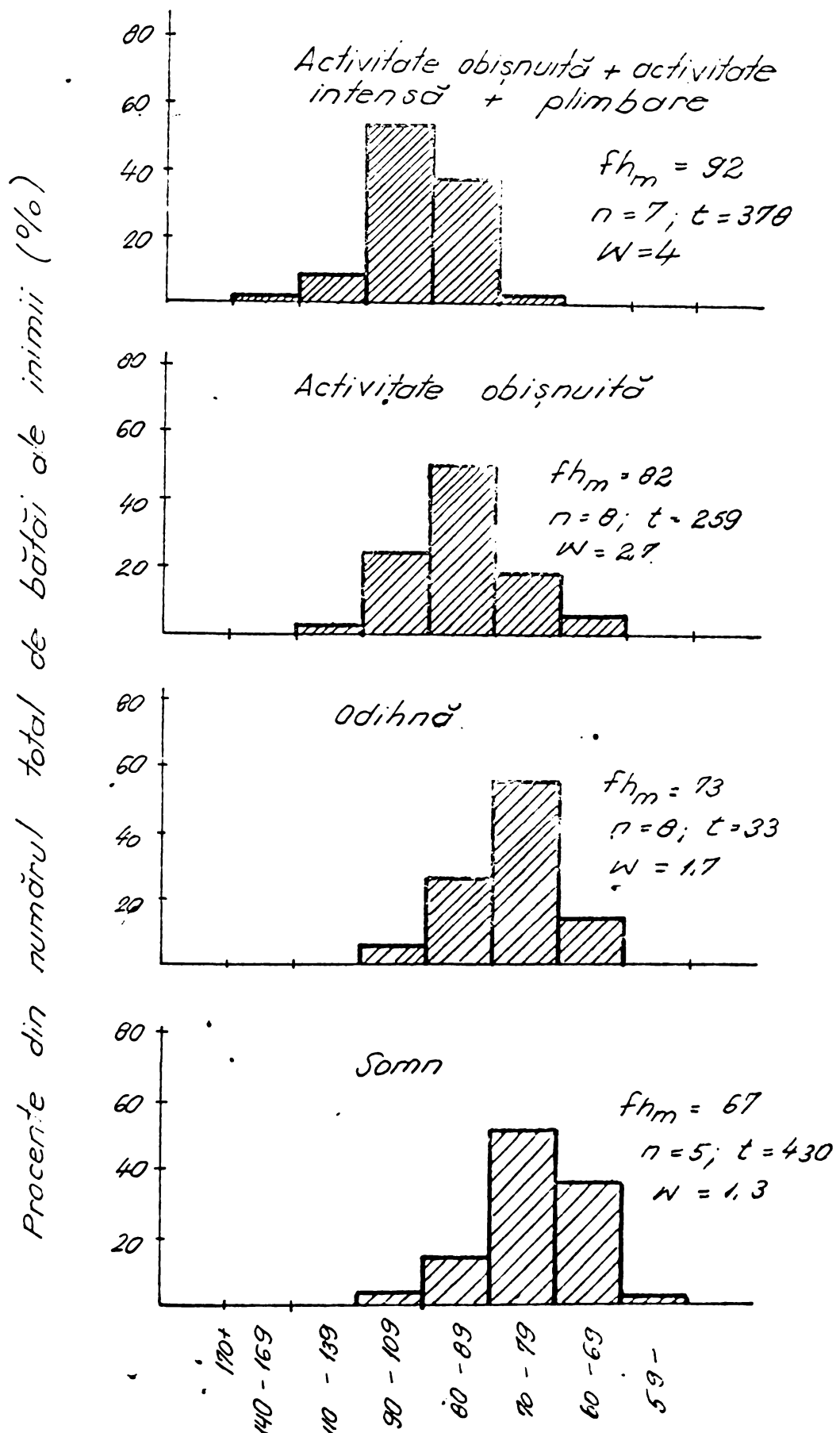


Fig. 6.1. Distribuția frecvenței cardioace pentru diferite activități

$f_{h_m}$  = frecvența medie

$n$  = numărul de teste

$t$  = durata testului în minute

$W$  = consumul de energie aproximativ [Kcal/m.n]

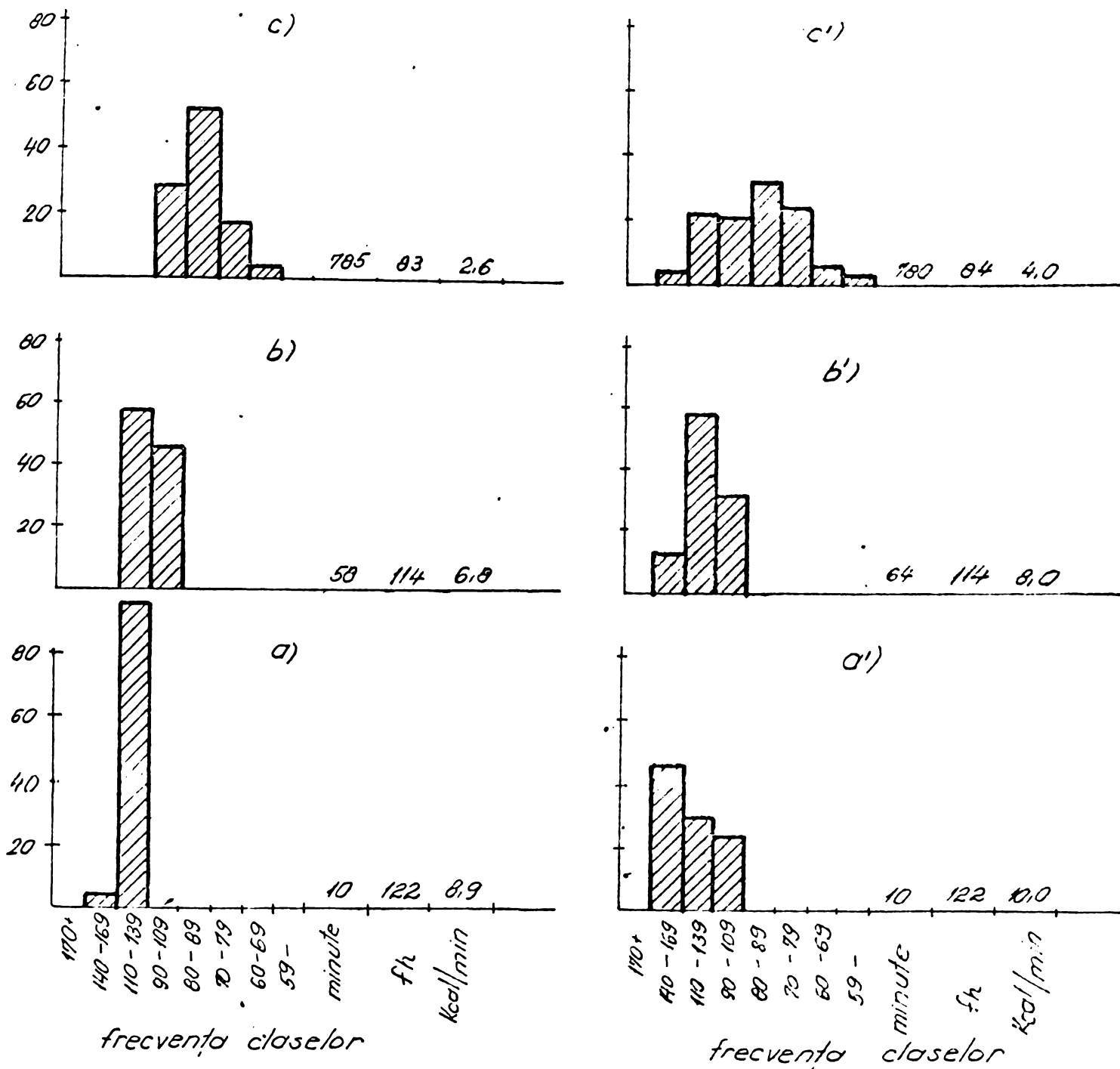


Fig. 6.8 Histogrammele pentru diferite tipuri de activități.

- a) activitate pe bicicleta ergometrică ( $t = 10 \text{ min}$ , la  $150 \text{ W}$ );  $f_h = 122$
- a') activitate pe bicicleta ergometrică ( $t = 5 \text{ min}$ , la  $150 \text{ W}$ ;  $f_h = 150$ )  
(restul de 5 minute la  $f_h = 96$ );  $f_{h\text{med}} = 122$ .
- b) plimbare la  $4.6 \text{ Km/h}$ ;  $f_h = 114$
- b') plimbare de la  $4.2$  la  $6.3 \text{ Km/h}$  ( $f_h = 108$  la  $120$ );  $f_{h\text{med}} = 114$ .
- c) activitate obișnuită + activitate redusă + odihna;  $f_h = 83$
- c') activitate obișnuită + activitate intensă + activitate pe bicicleta ergometrică + activitate casnică + odihna;  $f_h = 84$ .

acceași. Utilizînd doar această frecvență medie nu obținem nici o informație asupra diferențelor ce există în activitatea subiectului. Analiza histogramelor ne arată că aceste diferențe există chiar dacă timpul perioadei de supraveghere este mic ( $a \approx a'$ ) sau cîte mare ( $c \approx c'$ ). Se observă că s-a detectat consumul ridicat de energie în activitatea cu eforturi intense, deși acestea nu au fost reflectate în creșterea ritmului cardiac mediu.

### 6.3. Monitor pentru analiza automată a aritmilor

#### 6.3.1. Metoda de identificare și clasificare a extrasistolelor. Parametrii caracteristici monitorului.

Avînd în vedere importanța identificării apariției unor aritmii tolerate de către pacient dar care preced declanșarea aritmilor grave, autorul studiază și proiectează un sistem de analiză automată a ritmului cardiac.

In urma unui studiu aprofundat în care s-a ținut seama de : necesitatea unei analize în timp real, parametri fiziológici care reflectă cel mai bine tulburările de ritm cardiac și de aspectul economic, autorul ajunge la concluzia că pentru depistarea celor mai frecvente anomalii de ritm este suficient să se prelucreze intervalele RR din unda ECG.

Estimarea ritmicității cordului se face prin măsurarea și corelarea următorilor parametri :

- durata instantanea RR<sub>i</sub>, definită ca intervalul de timp, exprimat în milisecunde, între două bătăi succeseive ale inimii. Cu ajutorul acestei mărimi se calculează ritmul instantaneu (bătaie cu bătaie) ;

- media aritmetică a duratelor pe ultimele lo bătăi, definită ca valoarea medie a ultimelor lo intervale RR care preced intervalul ce se analizează. Această valoare se recalculă la fiecare bătaie. Prin urmare, ea este adaptabilă și reflectă variațiile duratelor instantanee. Cu această valoare se calculează ritmul mediu.

- durata de bază, definită ca media aritmetică a duratelor instantanee pe ultimele 5 complexe QRS normale ca

repartiție în timp. Prin urmare, în calcul sînt excluse intervalele corespunzătoare bătăilor ectopice. Cu această valoare se calculează ritmul de bază. Durata de bază reprezintă un etalon adaptabil pentru ritm și în raport cu aceasta se determină bătăile ectopice.

Pornind de la acești parametri, autorul concepe o metodă de identificare și clasificare a următoarelor tipuri de extrasistole: extrasistole cu pauză compensatorie; extrasistole bigeminate; extrasistole trigeminate; salvele de extrasistole. Dacă se notează : cu  $RR_b$  durata intervalului RR corespunzătoare ritmului de bază; cu  $RR_i$  durata intervalului RR instantaneu și cu  $\Delta RR_b$  toleranță față de intervalul de bază (toleranță programată de utilizator), pentru identificarea și clasificarea celor 4 tipuri de extrasistole autorul stabilește următoarele relații :

- pentru extrasistolele cu pauză compensatorie (EPC) :

$$\begin{aligned} RR_{i-3} &= RR_b \pm \Delta RR_b \\ RR_{i-2} &< RR_b - \Delta RR_b \\ RR_{i-1} &> RR_b + \Delta RR_b \\ RR_{i-2} + RR_{i-1} &= 2 RR_b \pm \Delta RR_b \\ RR_i &\leq RR_b \pm \Delta RR_b \end{aligned} \quad (6.2)$$

- pentru extrasistolele bigeminate (EB) :

$$\begin{aligned} RR_{i-3} &< RR_b - \Delta RR_b \\ RR_{i-2} &= RR_b \pm \Delta RR_b \\ RR_{i-1} &< RR_b - \Delta RR_b \\ RR_i &= RR_b \pm \Delta RR_b \end{aligned} \quad (6.3)$$

- pentru extrasistolele trigeminate (ET) :

$$\begin{aligned} RR_{i-3} &< RR_b - \Delta RR_b \\ RR_{i-2} &= RR_b \pm \Delta RR_b \\ RR_{i-1} &= RR_b \pm \Delta RR_b \\ RR_i &< RR_b - \Delta RR_b \end{aligned} \quad (6.4)$$

- pentru salvele de extrasistole (SE) :

$$\begin{aligned} RR_{i-3} &< RR_b - \Delta RR_b \\ RR_{i-2} &< RR_b - \Delta RR_b \\ RR_{i-1} &\geq RR_b \pm \Delta RR_b \\ RR_i &\geq RR_b \pm \Delta RR_b \end{aligned} \quad (6.5)$$

Pe baza acestor relații, autorul a realizat după o concepție originală un monitor de ritm cardiac (fig.6.9). Aparatul este destinat monitorizării la pat a pacienților.

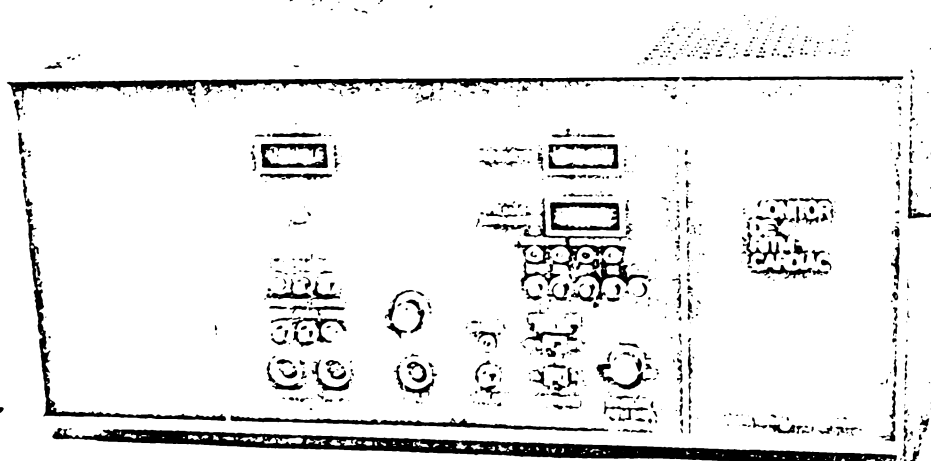


Fig.6.9.

Beneficiarul acestei instalații este Clinica Medicală II a Spitalului Clinic Nr.2 din Timișoara, condusă de prof.dr.Luca Stanciu.

Sistemul permite măsurarea ritmului central sau periferic : instantaneu (bătaie cu bătaie), mediat (media aritmetică a ultimelor 10 bătăi consecutive), de bază (etalon). Deasemenea identifică și clasifică tulburările de ritm cele mai importante, cum ar fi : extrasistolele cu pauză compensatorie (extrasistole ventriculare), extrasistolele bigeminante și trigeminate și salvele de bătăi. Identificarea acestor tulburări se face pe baza unui ritm etalon care se determină în faza de autoinstruire a aparatului. Această fază durează

pînă cînd 4 intervale RR succesive au aceeași durată. Se admite o toleranță între intervale de  $\pm 20\%$  sau  $\pm 40\%$  cu scopul de a nu se confunda aritmia respiratorie cu bătăile ectopice. Prin urmare, ritmul etalon este specific subiectului care se monitorizează. În cazul unor ritmuri de bază neidentificabile, acesta se poate programa de către utilizator. Odată stabilit acest ritm etalon, aparatul trece în faza de analiză. În această fază se face analiza ritmicității intervalelor RR în scopul de a urmări dacă complexele QRS instantane sunt corect sau incorrect poziționate în timp. Odată cu începerea fazei de analiză se validează și cronometrul pentru a determina numărul de extrasistole pe minut.

Complexele QRS instantane se consideră corect poziționate în timp dacă se situează în interiorul intervalului de toleranță admis. Însă la unul și același subiect variațiile lente normale ale frecvenței bătăilor inimii pot duce în final la intervale mult diferite față de intervalul etalon. Astfel complexele QRS instantane corespunzătoare unui ritm cardiac normal vor cădea în afara intervalului stabilit inițial și vor fi interpretate ca și anomalii de ritm. Prin urmare rezultă că intervalul etalon stabilit inițial nu poate fi considerat constant pe toată durata de monitorizare. Se impune necesitatea corectării intervalului etalon și în faza de analiză în sensul adaptării acestuia la variațiile lente ale frecvenței bătăilor inimii. Soluția utilizată constă în actualizarea continuă a intervalului etalon prin media aritmetică a ultimelor 4 intervale RR succesive care se încadrează în intervalul prestabilit.

#### 6.3.2. Descrierea sistemului de analiză

Echipamentul de analiză a ritmului cardiac realizat de autor conține următoarele module (fig.6.10).

MPA ECG - modul de prelucrare analogică a undei ECG  
MPAP - modul de prelucrare analogică a pulsului

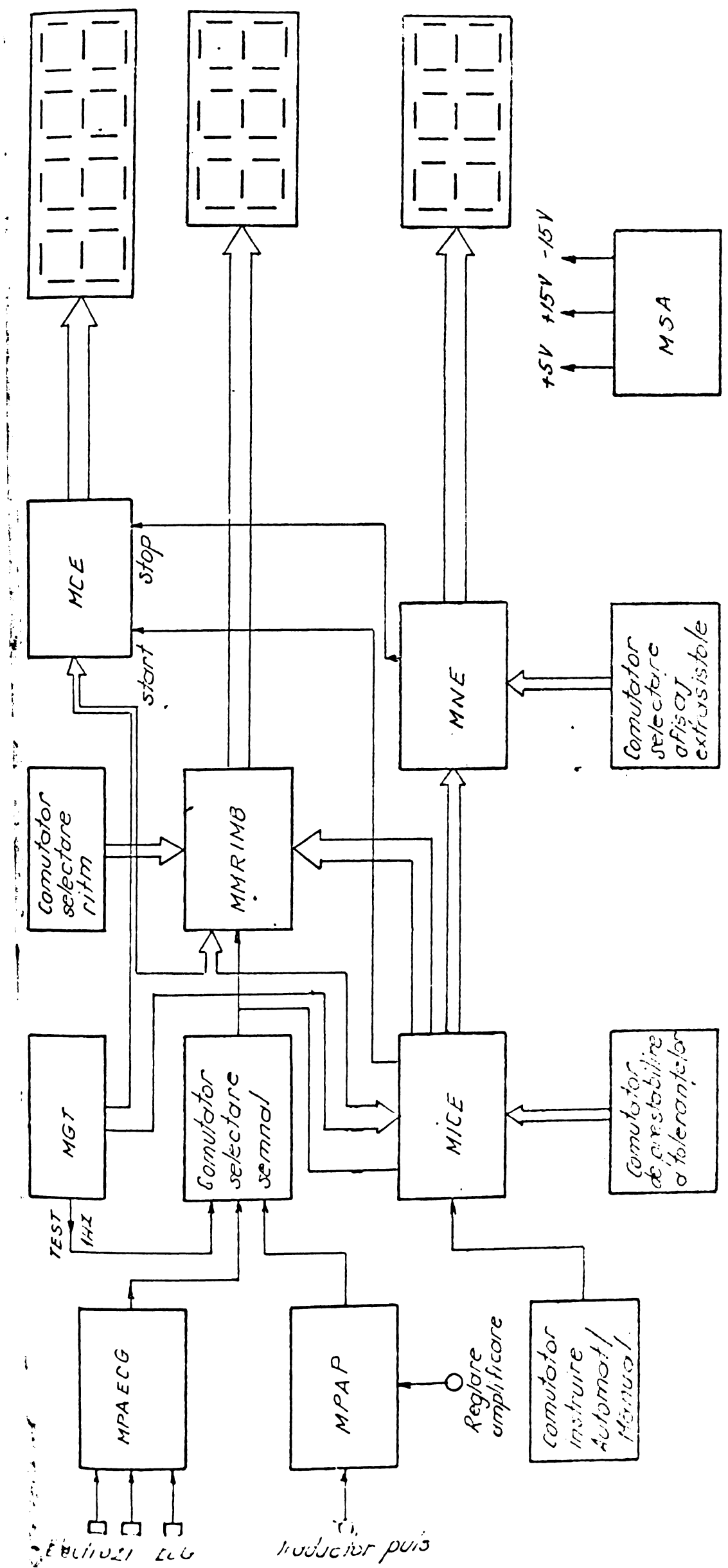


Fig. 6.10.

- MNRIM - modul de măsurare numerică a ritmului instantaneu, mediat și de bază.
- MICE - modul de identificare și clasificare a extrasistolelor
- MGT - modulul generatorului de tacte
- MNE - modul de numărare și acumulare a extrasistolelor.
- MCE - cronometru electronic
- MSA - sursele de alimentare

Modulul de prelucrare analogică a undei ECG  
(MPAECG)

In procesul de înregistrare a electrocardiogramelor, pe lîngă biopotențialele ce reflectă activitatea electrică a miocardului, apar în general și zgomote. Conținutul excesiv, de zgomot îngreunează tehniciile de analiză automată a diagnosticului. In vederea eliminării zgomotului, autorul studiază și proiectează un modul analogic de identificare a complexului QRS. Sincron cu acest complex, blocul analogic furnizează un impuls standard TTL cu durată de 1ms în vederea măsurării, prelucrării și interpretării intervalelor RR din unda ECG. Schema de principiu de concepție proprie este prezentată în fig.6.11. In continuare se prezintă rolul fiecărui bloc.

Prèamplificatorul (PA) amplifică semnalul electric al inimii în vederea prelucrării ulterioare a acestuia. Din considerente privind protecția pacientului se recomandă folosirea unui amplificator izolator. Avînd în vedere posibilitățile existente a fost aleasă soluția unui amplificator de măsură cu amplificatoare operaționale indigene (PA 741), luîndu-se precauții deosebite privind izolarea dintre înfășurările transformatorului. Metoda de proiectare a fost prezentată în capitolul 3.

In vederea eliminării zgomotului autorul studiază și proiectează un filtru activ. Aceasta este format din 2 filtre : unul trece jos cu frecvența de tăiere de 1,5 Hz și celălalt trece sus cu frecvența de tăiere de 45 Hz. Cu acest filtru zgomotul mioelectric a fost rejectat și toate

celelalte componente ale zgomotului au fost puternic atenuate.

Pentru ca sistemul să fie adaptabil la diferiți subiecți s-a introdus un circuit de reglare automată a amplificării (CAA).

Amplificatorul neliniar (AN) din figură are rolul de a atenua undele P și T pentru ca în cazul unor subiecți cu unde P și T mari să nu se genereze impulsul standard de 1 ms.

Identificarea undei R se face utilizînd un criteriu de separare în frecvență (unda R conține un spectru de frecvență mult mai mare decât undele P și T). Această separare se face cu ajutorul a 2 circuite de derivare realizate cu amplificatoare operaționale. Derivarea, în același timp, conferă undei ECG o mai mare stabilitate morfologică și elimină zgomotele de joasă frecvență datorate în general deplasării lente a liniei izoelectrice.

Pentru a elimina influența zgomotului de 50 Hz asupra generării impulsului standard, autorul introduce un dector de 50 Hz care influențează bascularea triggerului Schmitt numai dacă amplitudinea acestuia este mai mare de jumătate din amplitudinea undei R.

Pentru ca generarea impulsului standard să nu aibă loc datorită spike-urilor sau artefactelor autorul introduce un circuit de coincidență. Prin aceasta se emite un impuls numai dacă R are o durată cuprinsă între anumite limite. Din considerente de natură medicală, [127], aceste limite au fost impuse între 15(minimum) și 80 ms (maximum).

#### Modulul de prelucrare analogică a pulsului (MPAP).

În scopul măsurării ritmului periferic și al comparării acestuia cu ritmul central, autorul a studiat și proiectat un sistem de măsurare și prelucrare analogică a pulsului.

Acest modul conține un traductor de puls, un detector de puls, un amplificator și un trigger Schmitt.

Traductorul de puls utilizează o sursă de lumină (bec cu incandescentă) și o fotorezistență care sesizează schimbarea opacității țesuturilor în momentul trecerii unei unde de puls. Funcționarea se bazează pe lumina reflectată de oase și recepționarea acesteia pe o fotorezistență. Pentru o funcționare adecvată este necesar ca traductorul să fie plasat deasupra unei zone puternic vascularizate (deget sau lobul urechii). Injectarea unui curent constant în traductor face ca variația de tensiune să crească la borne-

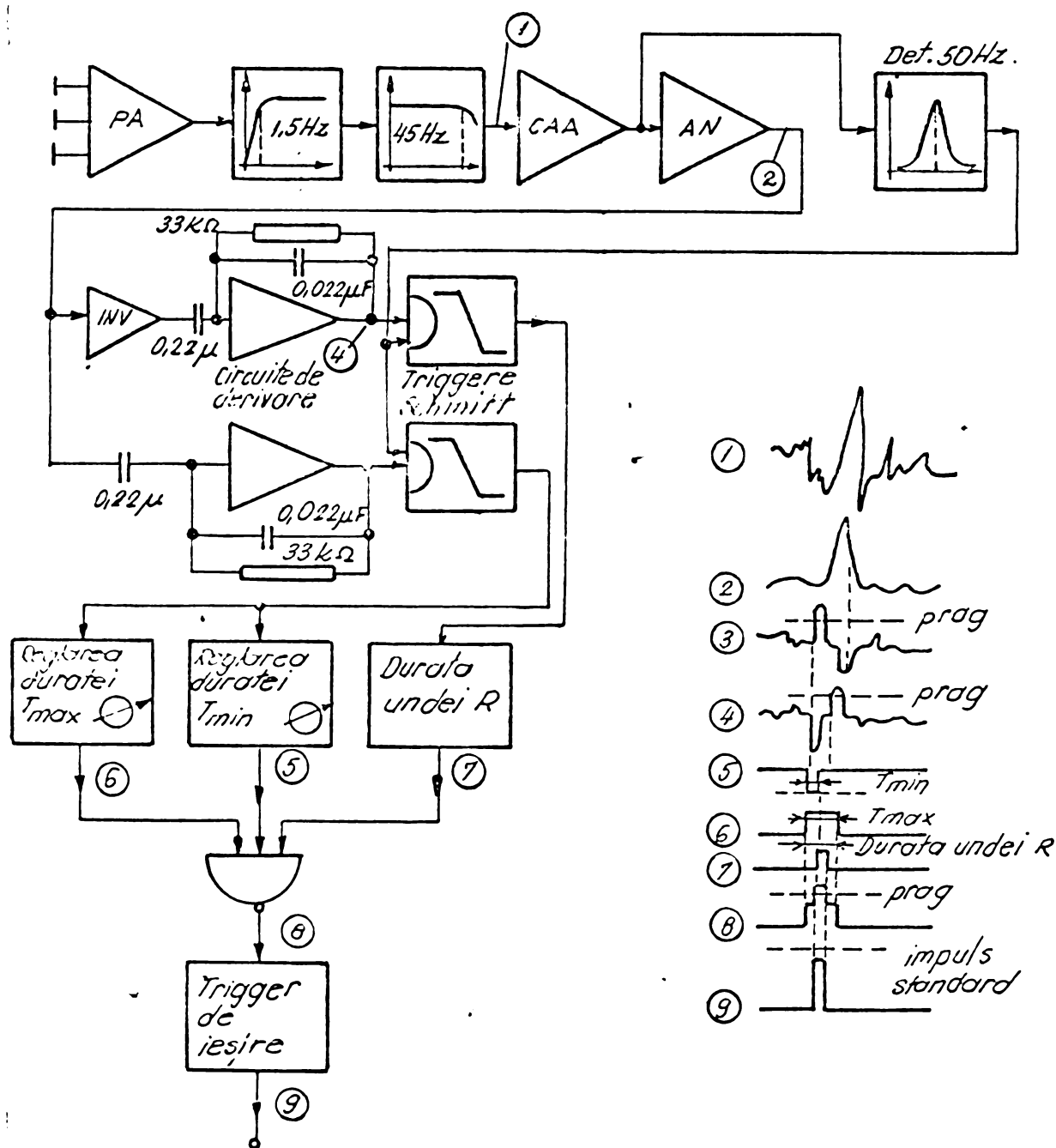


Fig. 6.11.  
Fig. 6.11

le fotorezistenței să fie proporțională cu variația sa de rezistență, deci cu variația de lumină produsă de presiunea arterială.

Amplificatorul este realizat cu două amplificatoare operaționale și are rolul de a amplifica semnalul detectat pînă la o astfel de valoare încît să asigure bascularea triggerului Schmitt de la a cărui ieșire se obține un impuls TTL sincron cu pulsul.

Modulul de măsurare numerică a ritmului instantaneu, mediat și de bază (MMRIMB)

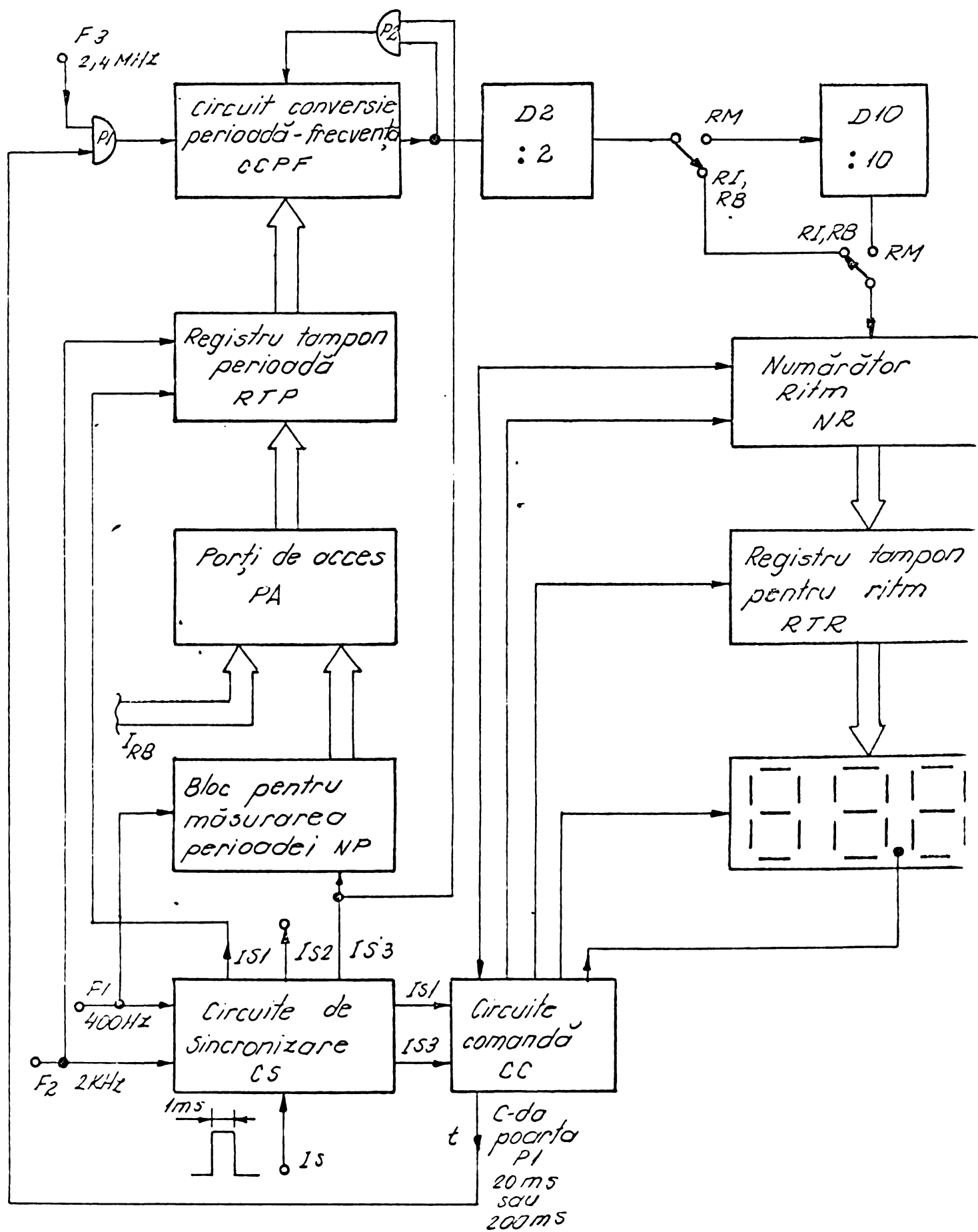
In urmă unui studiu aprofundat al metodelor de măsurare numerică a frecvențelor joase, [45][77],[92][105][107], autorul proiectează un modul de măsurare numerică a ritmului cardiac. In cele ce urmează se va prezenta pe scurt tehnica utilizată de autor.

La apariția impulsului standard IS de 1 msec., sincron cu unda R sau cu pulsul, circuitul de sincronizare CS (fig.6.12) furnizează trei impulsuri întîrziate, și anume :

- IS<sub>1</sub> are durata de 0,5 msec. și o întîrziere față de IS de minimum 0,5 msec. și de maximum 2,5 msec. (această întîrziere depinde de momentul apariției impulsului standard IS în raport cu impulsurile F1) ;
- IS<sub>2</sub> are durata de 0,5 msec. și o întîrziere față de IS<sub>1</sub> de 0,5 msec. ;
- IS<sub>3</sub> are durata de 0,5 msec și o întîrziere față de IS<sub>2</sub> de 0,5 msec.

Acstea impulsuri au scopul de a synchroniza funcționarea tuturor circuitelor acestui modul.

La apariția impulsului IS<sub>1</sub> se validează transferul informației din numărătorul de perioadă NP (acesta conține informația referitoare la intervalul RR precedent) în registrul tampon pentru perioadă RTP. Transferul are loc sincron cu impulsurile F2. Deasemenea, se anulează numără-



torul NR în care se măsoară ritmul exprimat în bătăi/min. Prin această operație se pregătește numărătorul pentru măsurarea următorului ritm.

La apariția impulsului IS3 se anulează informația din numărătorul de perioadă NP, pregătindu-l pentru măsurarea intervalului RR curent. Totodată, sincron cu IS3 se realizează transferul informației din registrul tampon RTP în circuitul de conversie perioadă - frecvență CCPF. Din acest moment se măsoară numeric intervalul curent RR (prin eșantionarea acestuia cu impulsurile Fl de frecvență, foarte stabilă) și se convertește durata intervalului precedent în bătăi/min. Durata de conversie este de 20 msec. sau 200 msec. după cum ritmul este mai mare, respectiv mai mic decât 100 bătăi/min. Această durată este stabilită de un circuit combinațional în funcție de informația din rangul cel mai semnificativ al numărătorului de ritm NR. Pentru ca pe durata conversiei afișajul să nu pălpieze să fie introdus un registru RTR. Transferul informației din numărătorul de ritm în registrul tampon RTR are loc la sfîrșitul duratei de conversie.

In cazul cînd se măsoară ritmul instantaneu sau ritmul de bază afișarea se face cu virgulă zecimală pentru valori sub 100 bătăi/min (durata de conversie este de 200 msec.). Pentru ritmul mediat afișarea se face fără virgulă zecimală.

Măsurarea intervalului RR se face în numărătorul binar NP cu 12 ranguri. Aceasta numără impulsurile Fl de frecvență 400 Hz dintre două impulsuri IS3. Astfel în acest numărător se acumulează numărul :

$$N = F_l \cdot RR_i \quad (6.6)$$

unde  $RR_i$  este intervalul ce se măsoară.

La apariția celui de al doilea impuls ce delimită intervalul RR, circuitul de sincronizare, prin impulsurile IS1 și IS3, comandă trecerea informației în registrul tampon RTP și din acesta în circuitul de conversie. Deasemene-

nea se pregătește numărătorul NP pentru măsurarea noului interval.

Circuitul de conversie este un numărător binar de 12 cifre binare sincron reversibil care numără invers. La ieșirea acestuia la fiecare descărcare completă se furnizează cîte un impuls care se numără în numărătorul NR. Aceste impulsuri comandă și reîncărcarea circuitului de conversie cu informația memorată în registrul tampon RTP. Dacă poarta Pl este deschisă pe durata t, atunci în numărătorul de ritm NR(cînd se măsoară ritmul instantaneu) se acumulează numărul:

$$N_1 = \frac{F_3}{N} \cdot t \cdot \frac{1}{2} = \frac{1}{2} \frac{F_3 \cdot t}{F_1} \cdot \frac{1}{RR_i} = K \cdot FV_i \quad (6.7)$$

unde  $K = \frac{F_3 \cdot t}{2F_1}$  și este ales astfel încît afișarea să fie exprimată în bătăi/min. ( $K = 600$  sau  $60$  în funcție de cum ritmul este sub sau peste 100 bătăi/min).

Durata t se autoreglează la 200 sau 20 msec. în funcție de informația din NR. Această durată se generează din frecvența foarte stabilă de 400 Hz.

Divizorul Dlo intervine doar în cazul cînd se măsoară ritmul mediat.

#### Modulul de identificare și clasificare a extrasistolelor (MICE)

In vederea decelării celor mai importante tulburări de ritm cardiac (tulburări care, în general, sînt tolerate de subiect dar pot duce la declanșarea unor aritmii grave), autorul studiază unele aspecte ale proiectării unui sistem de identificare și clasificare a extrasistolelor. In urma acestui studiu, autorul elaborează o metodă originală de analiză a ritmicității cordului și proiectează un modul adecvat.

Funcționarea acestui modul (fig.6.13) se caracterizează prin două faze distincte, și anume : o fază de inițializare (fază în care sistemul se autoinstruiește) și o fază de analiză propriuzisă.

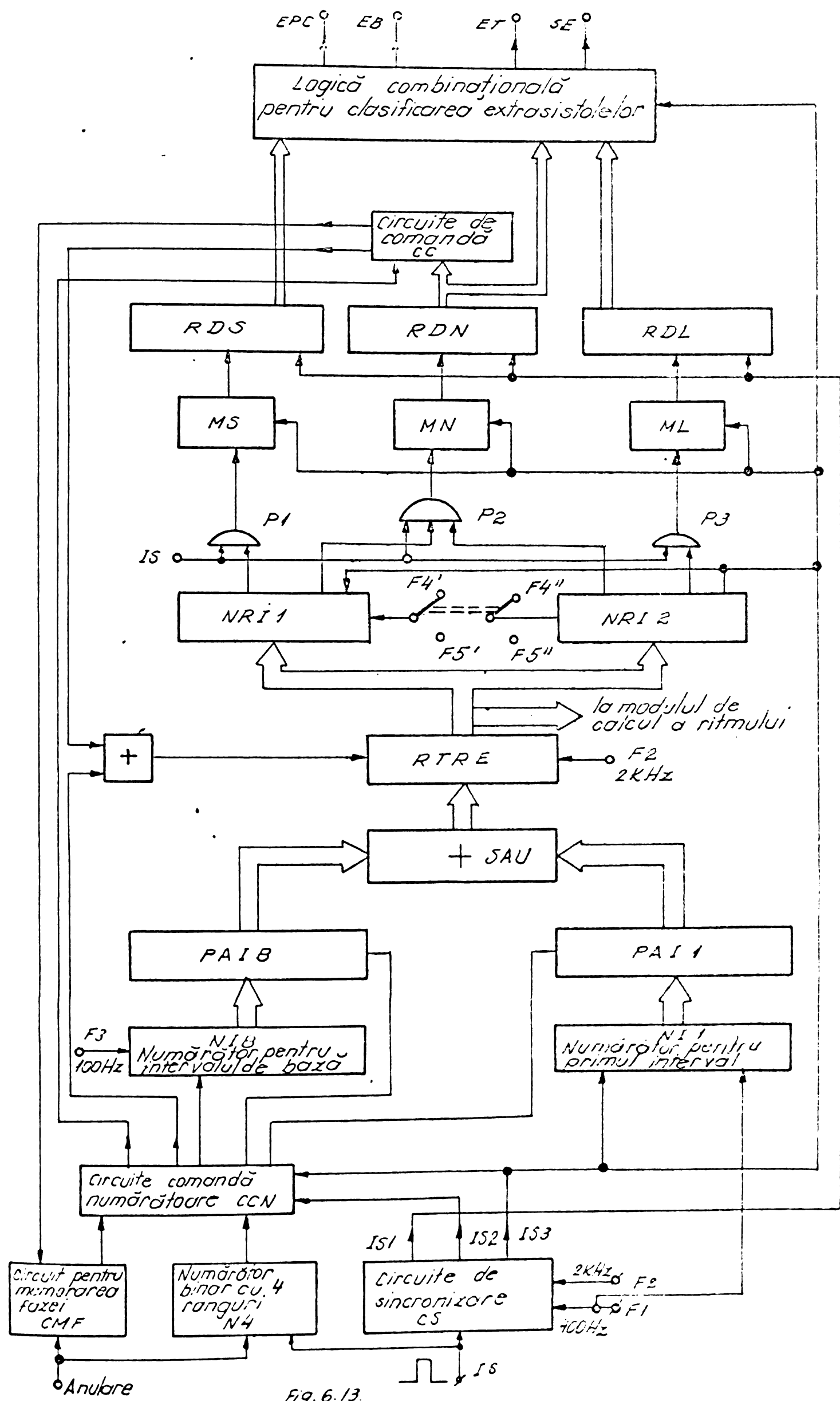
In faza de inițializare se obține o primă informație asupra intervalului RR de bază. Pentru ca sistemul să aibă posibilitatea de a se autoinstrui este necesar ca ritmicitatea cordului să fie normală, adică să sosească cel puțin 4 intervale succesive aproximativ egale. În cazul unor subiecți cu ritmuri de bază neclasificabile medical are posibilitatea să fixeze acest prim interval de bază în funcție de informațiile apriorice furnizate de modulul de măsurare a ritmului cardiac.

In cele ce urmează se va prezenta pe scurt funcționarea acestui modul.

#### Faza de inițializare

Prin acționarea butonului ANULARE de pe panoul frontal modulul trece în faza de inițializare (se pune pe 0 logic bistabilul de memorare a fazei și numărătorul cu 4 ranguri). La apariția primului impuls standard, sincron cu complexul QRS, se pregătesc numărătoarele cu 12 ranguri NRB și NIL pentru măsurare. Măsurarea primului interval se face numărind în numărătorul NIL impulsurile de frecvență fixă F1. Numărul astfel obținut este direct proporțional cu durata dintre 2 complexe QRS. La apariția celui de al doilea complex QRS informația din NIL este transferată prin portile de acces PAII și circuitul SAU în registrul tampon PTRE. Această informație se memorează în acest registru timp de 3 intervale RR successive și constituie intervalul etalon de comparație pentru aceste 3 intervale successive. După terminarea primului interval, la apariția fiecărui complex QRS informația din PTRE este transferată în numărătoarele binare cu 12 ranguri sincrone reversibile NR1 și NR12.

Prin decarcarea acentora cu frecvențele  $F4' = 30\% F_1$ ,  $F4'' = 120\% F_1$  sau  $F5' = 60\% F_1$ ,  $F5'' = 140\% F_1$  se generează 2 intervale de timp, și anume : unul scurt ( $30\%$  respectiv  $60\%$  față de primul interval) și unul lung ( $120\%$  respectiv  $140\%$  față de primul interval). În funcție de momentul apariției complexului QRS următor se decide prin portile P1, P2, P3 dacă intervalul instantaneu este scurt



normal sau lung. Aceste decizii sunt memorate pentru scurt timp (întârzierea dintre IS3 față de IS) în circuitele basculante bistabile MS, MN, ML. Pe durata acestui interval de timp informația din aceste bistabile este transferată și deplasată la dreapta în registrele de deplasare de 4 biți RDS, RDN, RDL de către impulsul IS1. Această deplasare este necesară pentru a recunoaște dacă intervalele RR succeseive sunt normale sau anormale.

Simultan cu măsurarea primului interval se începe măsurarea și în numărătorul pentru intervalul de bază (NIB). În acesta se acumulează informația corespunzătoare celor 4 intervale RR prin numărarea impulsurilor de frecvență fixă  $F_3 = F_1/4$ . Prin urmare, numărul obținut este proporțional cu media aritmetică a celor 4 intervale succeseive.

Măsurarea primului interval în NIB cu frecvența  $F_1$ , memorarea și utilizarea acestuia ca element de comparare în faza de inițializare, precum și măsurarea a 4 intervale RR în numărătorul NIB cu frecvența  $F_3$  este asigurată de numărătorul cu 4 ranguri ( $N_4$ ) și de circuitele de comandă a numărătoarelor (CCM).

Dacă cele 4 intervale sunt aproximativ egale (sesizare făcută de circuitele CC) se trece în faza de analiză propriu-zisă (se introduce 1 logic în CMF). Deasemenea, informația din NIB este transferată prin portile de acces PAIB și circuitul SAU în registrul tampon PTRE. Deci, primul interval etalon față de care se face analiza tulburărilor de ritm reprezintă media aritmetică a celor 4 intervale succeseive aproximativ egale. În momentul declanșării fazei de analiză se dă startul la cronometrul electronic și în același timp se validează numărătoarele pentru extrasistole (în faza de inițializare numărătoarele de extrasistole și cronometrul sunt puse pe zero).

În cazul în care cele 4 intervale succeseive nu sunt aproximativ egale aparatul rămîne în continuare în faza de inițializare și se reia ciclul de la început. Prin urmare, faza de inițializare durează pînă cînd apar cel pu-

țin 4 intervale successive aproximativ egale.

#### Faza de analiză propriuzisă

In momentul începerii acestei faze se generează, prin descărcarea numărătoarelor NRI1 și NRI2, cele 2 intervale : scurt și lung. Durata acestor intervale depinde de informația memorată în registrul tampon (media aritmetică a celor 4 intervale successive și aproximativ egale găsite în faza de initializare). După cum primul impuls IS, sincron cu complexul QRS, apare în interiorul intervalului scurt, sau în afara acestuia dar în interiorul intervalului lung, sau în afara intervalului lung acest prim interval este etichetat ca scurt, normal sau lung (se pune pe 1 logic unul din cele 3 bistabile: MS, MN, ML). Sincron cu impulsul IS3 (impuls întârziat față de IS) are loc deplasarea la dreapta a vechii informații din registrele de deplasare RDS, RDN, RDL și introducerea informației referitoare la acest prim interval în registre pe poziția cea mai puțin semnificativă. Totodată, sincron cu apariția fiecărui impuls IS se generează cele 2 intervale : scurt și lung. În felul acesta se pregătește operația pentru a se lua decizii asupra următorului interval. În continuare operațiile se execută că mai sus pînă în momentul apariției a 4 complexe QRS (acest lucru este sesizat de către numărătorul binar cu 4 ranguri N4). Rezultă, că pe durata unui ciclu de 4 intervale RR timpul cât durcază intervalele lungi și scurte este același (intervalul etalon memorat în RTRE a rămas același). Conform principiului de funcționare descris mai sus rezultă că informația referitoare la primul interval apărut în faza de analiză este conținută în rangul cel mai semnificativ a registrelor de deplasare RDS, RDN, RDL, respectiv pentru al patrulea interval în rangul cel mai puțin semnificativ . Trebuie precizat faptul că pe durata acestui ciclu de 4 intervale în numărătorii NIB se acumulează o nouă informație (media aritmetică a ultimelor 4 intervale RR).

La sfîrșitul acestui ciclu prin circuitele de comandă CC se cercetează dacă cele patru intervale sunt normale sau nu. În caz că sunt normale circuitele CC permit transferul și memorarea informației din NIB în RTRE. În felul acesta noul interval etalon pentru următorul ciclu de 4 intervale este reactualizat. În cazul în care cele 4 intervale nu sunt normale informația din registrul tampon RTRE nu se modifică. Aceasta constituie elementul etalon pentru următoarele 4 intervale din ciclul următor. Deci în intervalul etalon nu intervin intervalele corespunzătoare bătăilor anomale.

Din cele prezentate mai sus rezultă că intervalul etalon se corectează tot timpul în faza de analiză propriu-zisă urmărind variațiile lente și normale ale frecvenței inimii.

În faza de analiză propriuzisă, după fiecare ciclu de 4 intervale se examinează informația din registrele de deplasare RDS, RDN și RDL în vederea identificării și clasificării apariției unor eventuale aritmii. Declarea și diferențierea extrasistolelor se face conform relațiilor 6.2 Ya 6.5 printr-o logică combinațională.

Apariția uneia din cele 4 tipuri de extrasistole este numărată și acumulată în numărătorul corespunzător. Sunt realizate 4 numărătoare zecimale corespunzător celor 4 tipuri de extrasistole. Fiecare numărător are 3 ranguri zecimale. Conținutul acestor numărătoare este afișat pe panoul frontal al aparatului. După dorințe, se poate urmări un singur tip de extrasistole sau toate. Pentru ultimul caz s-a utilizat tehnica afișării multiplexate (conținutul fiecărui numărător este afișat timp de 15 secunde).

Prin urmărirea simultană a cronometrului și a afișajului pentru extrasistole medicul poate să vadă câte extrasistole apar pe minut.

În cazul cînd oricare din numărătoare este plin (au apărut 999 de extrasistole de același tip) se inhibă avansul cronometrului și a celor 4 numărătoare. Această facilitate s-a prevăzut pentru subiecții, cu foarte multe extrasistole, subiecții care nu pot fi supravegheați tot timpul de personalul medical. Prin acest procedeu nu se distrug informația din timpul monitorizării.

In vederea creșterii preciziei monitorului, generatorul de tacte s-a realizat cu un oscilator pilot cu cristal de quart de 2,4 MHz. Pentru obținerea impulsurilor de diferite frecvențe s-au realizat diverse divizări utilizând circuite integrate TTL.

#### 6.3.3. Rezultate experimentale

Monitorul conceput și realizat de autor a fost testat în Laboratorul de Explorări Funcționale Cardio-vasculare și în Clinica Medicală II a Spitalului Clinic Nr.2, condusă de prof.dr.Luca Stanciu și de dr.Ioan Branea. Testările s-au făcut pe următorii bolnavi :

A.I., 55 ani - Dgs.: Infarct miocardic acut anterior cu extrasistole ventriculare izolate . S-a monitorizat bolnava timp de 12 ore. La sfîrșitul monitorizării s-au decelat 12 extrasistole cu pauză compensatorie, 14 extrasistole bigeminate și trigeminate, și 6 salve de extrasistole.

Bolnava I.M., 38 ani - Dgs.: Reumatism cardio-articular cu bloc A-V de gradul I, monitorizată timp de 6 ore în clincă cu monitorul de ritm a înregistrat 7 extrasistole bigeminate și o salvă de extrasistole.

Bolnava B.A., 41 ani - Dgs.: Miocardopatie cronică congestivă cu extrasistole ventriculare izolate, bloc major de ramură stîngă. S-a monitorizat bolnava timp de 4 ore. În urma monitorizării, aparatul a decelat 9 salve de extrasistole și 18 extrasistole cu pauză compensatorie.

Din testările făcute, rezultă că aparatul permite identificarea și numărarea extrasistolelor atriale și ventriculare, și a salvelor de extrasistole pe o perioadă lungă de timp. Aparatul permite o monitorizare de lungă durată a bolnavilor cardiaci cu tulburări de ritm care nu se pot evidenția la un examen de scurtă durată și în consecință o atitudine terapeutică corectă pentru eliminarea tulburărilor de ritm care constituie una din cauzele importante a morții subite la acești bolnavi.

In concluzie, aparatul este foarte util pentru ur-

mărire a tulburărilor de ritm cardiac și reprezintă un ajutor util și necesar în monitorizarea de lungă durată a bolnavilor cardiaci.

#### 6.4. Concluzii

Rezultatele obținute, pînă în momentul de față, cu cele două monitoare concepute și realizate de autor confirmă utilitatea și eficiența majoră a acestora în analiza tulburărilor de ritm cardiac.

Din cele prezentate mai sus reiese că :

- Monitorul portabil, primul și unicul construit în țara noastră este foarte util în monitorizarea de lungă durată a subiecților în condiții reale de existență. Informațiile furnizate de acest aparat reflectă foarte bine nivelele activității fizice depuse de subiect și dereglările de ritm cardiac. Interpretarea rezultatelor precum și manipularea aparatului este foarte ușoară, încît însuși subiecțul monitorizat poate să execute operațiile necesare ;
- Monitorul pentru analiza automată a aritmilor, destinat monitorizării la pat a bolnavilor, deținează cele mai importante aritmii tolerate de subiect, aritmii care nu se pot evidenția la un examen de scurtă durată. Prin evidențierea numărului de extrasistole pe minut, medicul poate interveni la timp printr-un tratament adecvat.

Interesul manifestat de medicii cardiologi de la Spitalul Fundeni din București și de la Spitalul Nr.2 din Timișoara față de cele 2 aparate reflectă actualitatea problematicii rezolvate de autor.

## CAPITOLUL 7

### C O N C L U Z I I

In lucrarea de față a fost abordată o problemă de maximă importanță pentru sistemele de măsurare și prelucrare numerică a electrocardiogramelor, aceea a analizei tulburărilor de ritm cardiac. S-a urmărit, în principal, elaborarea unor metode pentru decelerarea și clasificarea aritmiiilor cardiaice, precum și realizarea unor monitoare de ritm cardiac.

In tratare s-a insistat în mod deosebit asupra următoarelor probleme: erorile introduse de electrozi și de rețeaua de alimentare în sistemele de măsură a potențialului electric generat de inimă; filtrarea analogică și numerică a electrocardiogramelor; algoritmi pentru analiza automată a tulburărilor de ritm cardiac, echipamente de analiză automată a ritmului cardiac.

Analiza minuțioasă a problemelor menționate mai sus, plecîndu-se de la stadiul actual cunoscut în literatură, a permis stabilirea unor concluzii și rezultate originale. Principalele contribuții aduse de autor, în această lucrare constau în următoarele :

1. In urma cercetărilor experimentale în măsurarea biopotențialului inimii, cu 3 tipuri de electrozi, autorul ajunge la concluzia că sistemele de culegere a biopotențialelor afectează foarte mult precizia măsurării. Fornind de la această constatare, autorul face un studiu aprofundat al comportării electrice a electrozilor. În urma acestui studiu, autorul stabilește un circuit electric echivalent (fig.1.1.a) care modeliază comportarea electrică a electrodului. Circuitul conține două elemente (un condensator și un rezistor) independente de frecvență. La stabilirea acestui circuit echivalent s-a considerat că supratensiunea datorită transferului de sarcină prin stratul dublu electric (strat format la interfață electrod-electrolit)

are ponderea cea mai mare în supratensiunea totală. Această presupunere este valabilă cind densitatea curentului de schimb prin strat este mică. Tinând cont că valoarea redusă a curentului de polarizare a amplificatoarelor operaționale utilizate în preamplificatorul de măsură se justifică presupunerea făcută.

Se arată modul cum influențează supratensiunea datorată procesului de difuzie și polarizarea ohmică asupra comportării electrice a electrodului.

2. Stabilește și tratează erorile introduse de electrozi în sistemul de măsurare. Se arată că aceste erori depind atât de impedanța electrozilor, cât și de curînd și zgomotul acestora. În tratare, s-a insistat în mod deosebit asupra erorilor datorate dezechilibrului inevitabil între impedanțele electrozilor. Înălțătura acestui dezechilibru se arată că, factorul de rejecție al sistemului de măsurare se reduce considerabil față de factorul de rejecție al amplificatorului (relația 1.1);

3. Sistematizează problemele specifice ale interfe- renței tensiunii din rețea de alimentare cu semnalul util ECG. Se arată că semnalul de interferență poate fi introdus în sistem prin : inducție electromagnetică; curenți de deplasare în firele de legătură a electrozilor; curenți de deplasare prin corp; interconectări cu alte apărate. Pentru fiecare caz se precizează metodele de minimizare a efectelor nedori- te ale acestei interfeренțe.

4. Se analizează influența parametrilor amplifica- torului asupra preciziei măsurării. Pe baza acestei analize se fac recomandări privind : valurile minime pentru factorul de rejecție și impedanța de intrare a amplificatorului; lungimea cablurilor sistemului de culegere a biopotențialelor; utilizarea unor circuite electronice suplimentare atunci cînd se doresc măsurări precise.

Se prezintă o metodă de proiectare a unui amplifi- cator de măsură destinat măsurării biopotențialelor inimii. Amplificatorul realizat (fig.3.7) are următoarele caracteris- tici : impedanța de intrare diferențială =  $200 \text{ k}\Omega$ ; impedan-

ță de intrare pe mod comun =  $2,5 \text{ M}\Omega$ ; factorul de rejecție pe mod comun, la 50 Hz cu o rezistență de dezechilibrare de  $5 \text{ k}\Omega \approx 60 \text{ dB}$ ; amplificarea diferențială, în banda de frecvență de 0,05 - 100 Hz, de 1280.

5. Studiază tehnica de filtrare numerică atât sub aspect teoretic cât mai ales practic în scopul preprocesării undei ECG. Pentru eliminarea zgomotului generat de tremurul mușchiului este necesar utilizarea unui filtru adaptat la tremur (filtru a cărui coeficienți se ajustează după un algoritm ce urmărește maximul raportului semnal-zgomot). Datorită faptului că spectrul de frecvență, atâtă undei ECG cât și a zgomotului mușchiului miocardic diferă de la subiect la subiect, realizarea unui filtru adaptat la tremur implică cunoașterea anticipată a spectrului undei ECG și a zgomotului.

Autorul elaborează un algoritm și un program FORTRAN de analiză spectrală numerică a undei ECG. Analizorul numeric simulat pe calculatorul FELIX C 256 conține 18 filtre numerice de tipul Butterworth cu 4 poli. Primele 10 filtre au lățimea benzii de 10 Hz, iar următoarele 3 filtre de 50 Hz. Rezultatele analizei spectrale (Anexa 1) arată că cea mai mare cantitate din energia biopotențialului inimii este sub 50 Hz.

6. În vederea prelucrării automate a electrocardiogramelor, autorul studiază metodele de identificare și măsurare a parametrilor caracteristici unui ciclu cardiac. În lucrare se tratează metoda bazată pe găsirea maximului primei derive de numerice. Punctul corespunzător acestui maxim se consideră punct de referință și în raport cu acesta se identifică celelalte componente dintr-un ciclu cardiac. Acest punct corespondență vîrstului undei R (spectrul de frecvență al undei R este mult mai mare decât spectrul celorlalte componente din unda ECG).

În scopul urmăririi în timp a evoluției tulburărilor de ritm cardiac (prin compararea informațiilor corespunzătoare unei înregistrări cu informațiile corespunzătoare unor înregistrări ulterioare) și a unei analize off-line a

aritmilor, autorul stabilește după o concepție originală, o metodă de stocare a informațiilor. Pentru reducerea capacitatei memoriei și a timpului necesar analizei automate a aritmilor, informația este memorată în 2 fișiere. În primul fișier se specifică momentul ce marchează începutul și sfîrșitul undelor P și al complexelor QRS față de momentul corespondent începutului înregistrării. În al doilea fișier se specifică tipul fiecărei unde.

7. Elaborează un algoritm pentru analiza automată a tulburărilor de ritm cardiac, algoritm bazat pe analiza morfologică a undei ECG. Identificarea aritmilor se face printr-o ierarhizare a structurii algoritmului. Analiza se face off-line.

Ideeua de bază, după care s-a conceput acest algoritm, este aceea de a determina majoritatea complexelor QRS care au aceeași durată, aceeași amplitudine și același interval RR în vederea stabilitării unui ritm de bază. În raport cu acest ritm se deosebesc aritmile izolate sau sistematizate. Datele cu care operează acest algoritm sunt furnizate de cele două fișiere prezentate mai sus.

Algoritmul tratat în lucrare, permite identificarea și diferențierea următoarelor tulburări de ritm și conducere: fibrilația atrială; flutterul atrial; tahicardiile paroxistice supraventriculare; extrasistolele atriale și ventriculare sistematizate și nesistematizate; disociația izoritmică; tahicardia ventriculară; blocurile atrioventriculare de gradul I, II și III; blocul sinoatrial; tulburări de ritm neclasificabile (ca de exemplu: boala sinucului atrial).

Valabilitatea algoritmului a reieșit în urma prelucrării a 10 electrocardiogramme corespunzătoare derivației standard D<sub>2</sub> cu un program FORTRAN, scris de autor în conformitate cu algoritmul elaborat. Aceste electrocardiogramme au fost înregistrate la Clinica ASCAR din Timișoara. Rezultatele analizei automate sunt în concordanță cu ale medicilor cardiologi de la clinica de mai sus.

8. Elaborează un algoritm de identificare a ritmului cardiac de bază prin metode statistice. Algoritmul se

bazează pe utilizarea datelor referitoare la intervalele RR din unda ECG și pe construirea unor modele matematice dinamice care să descrie comportarea secvențială a intervalelor diferitelor aritmii care persistă pe o durată de cel puțin 4 bătăi. Analiza se face în timp real.

Deoarece modelele descrise (relațiile: 5.3-5.8) sunt sisteme liniare și având o secvență de intervale RR observate se utilizează metoda ipotezelor multiple. Această metodă constă dintr-un set de filtre Kalman (un filtru pentru fiecare model) în calculul probabilităților a priori corespunzătoare fiecărui model. Calculul are la bază analiza rezidualilor filtrelor Kalman.

În urmă unor teste cu diferite date de intrare s-a ajuns la concluzia că pentru recunoașterea trecerilor brusă de la un ritm la alt ritm și pentru diferențierea ritmurilor modelate de clasa I față de cele din clasa III și IV este necesar să se implementeze anumite teste de verificare a ipotezelor făcute. Aceste precizări sunt tratate în paragraful 5.4.4.

În conformitate cu algoritmul elaborat s-a scris un program FORTRAN (Anexa 3) și s-au făcut 11 teste pentru 5 categorii de ritm (Tabelul 5.1). Rezultatele experimentale obținute (Anexa 3) arată că algoritmul este capabil să identifice trecerile brusă de la un ritm la altul și să estimeze corect ritmurile cardiace.

9. Studiază, proiectează și realizează un monitor portabil pentru analiza automată a ritmului cardiac. Acest monitor, primul și unicul construit în țara noastră în anul 1977, este foarte util în monitorizarea de lungă durată a subiecților în condiții reale de existență. Informațiile furnizate de acest aparat (secția pilot OMS de cardiologie din cadrul spitalului Fundeni din București este beneficiarul acestui sistem) reflectă foarte bine nivelele activității fizice depuse de subiect și deregularile de ritm cardiac (paragraful 6.2.3). Sistemul de concepție originală, permite ca interpretarea rezultatelor precum și manipularea

acestuia să se facă ușor încât însuși subiectul monitorizat poate să execute operațiile necesare.

Sistemul este format din două unități: o unitate portabilă și una staționară. În unitatea portabilă se face o clasificare a ritmului cardiac în 8 clase și se contabilizează de câte ori se repetă fiecare clasă. Alimentarea circuitelor electronice ale acestei unități este realizată cu 4 baterii de 1,5 V. Consumul este de 30  $\mu$ A. Intregul ansamblu este introdus într-o cutie paralelipipedică cu dimensiunile de 115 x 70 x 38 mm. Greutatea este de 250 grame. Caracteristicile menționate mai sus justifică caracterul portabil al acestei unități. Unitatea staționară are scopul de a extrage informațiile memorate în unitatea portabilă și de a le afișa. Cu aceste informații se pot construi histograme prin care se arată distribuția frecvenței cardiace.

10. Studiază, proiectează și realizează un monitor pentru analiza automată a aritmilor. Aceasta este destinat monitorizării la pat a bolnavilor. Monitorul, tratat în lucrare, decelază cele mai importante aritmii tolerate de subiect, aritmii care nu se pot evidenția la un examen de scurtă durată. Prin evidențierea numărului de extrasistole pe minut (extrasistolele cu pauză compensatorie, extrasistolele bigeminate, extrasistolele trigeminate, salvele de bătăi) medicul poate interveni la timp printr-un tratament adecvat.

Principalele contribuții originale rezultate în urma cercetării efectuate de autor în direcția realizării acestui monitor sunt:

- stabilirea unei metode de identificare și clasificare a extrasistolelor cu pauză compensatorie, bigeminate, trigeminate și a salvelor de bătăi (relațiile 1.2-0.5);
- conceperea, proiectarea și realizarea configurației monitorului;
- elaborarea, proiectarea și realizarea modulului de prelucrare analogică a unei ECG și a modului de vedere furnizării unui impuls standard T în cîrcon cu complexul QRS sau cu pulsul;

- elaborarea, proiectarea și realizarea modului de identificare și clasificare a extrasistolelor specifice mai sus .

Din tezăriile făcute în cadrul Laboratorului de Explorări Funcționale Cardio-vasculare și în Clinica Medicală II a Spitalului Clinic Nr.2 din Timișoara, rezultă că aparatul realizat de autor este foarte util pentru urmărirea tulburărilor de ritm cardiac și reprezintă un ajutor util și necesar în monitorizarea de lungă durată a bolnavilor cardiaci.

x

x

x

Drept încheiere la prezenta lucrare vom sublinia faptul că rezultatele originale menționate, vor servi la aprofundarea și largirea cercetărilor privind elaborarea, în cadrul catedrei de Electronică și măsuri, de la Institutul politehnic Timișoara, de aparatură de măsurat și prelucrat biopotențiale.

In teză s-a insistat în mod deosebit asupra eroilor introduse de sistemul de culegere a biopotențialelor și a rețelei de alimentare, a algoritmilor pentru analiza automată a tulburărilor de ritm cardiac și a monitoarelor de ritm cardiac. Motivația unui asemenea punct de vedere o constituie faptul că scopul final al cercetării , al cărui punct de plecare îl constituie lucrarea de față, este de a elabora sisteme de prelucrare automată a electrocardiogramelor.

A N E X A      I

PROGRAM FORTRAN PENTRU ANALIZA SPECTRALA NUMERICA A  
UNDEI ECG

$$\begin{aligned}
& \text{COMPLEXITY} = \frac{1}{2} \cdot K^2 \cdot C_1^2 + \frac{1}{2} \cdot K^2 \cdot C_2^2 + \frac{1}{2} \cdot K^2 \cdot C_3^2 + \dots + \frac{1}{2} \cdot K^2 \cdot C_{18}^2 \\
& \text{COMPLEXITY} = \frac{1}{2} \cdot K^2 \cdot (C_1^2 + C_2^2 + C_3^2 + \dots + C_{18}^2) \\
& \text{COMPLEXITY} = \frac{1}{2} \cdot K^2 \cdot \sum_{i=1}^{18} C_i^2 \\
& \text{COMPLEXITY} = \frac{1}{2} \cdot K^2 \cdot \left( \sum_{i=1}^{18} (A_i^2 + B_i^2) \right) \\
& \text{COMPLEXITY} = \frac{1}{2} \cdot K^2 \cdot \left( \sum_{i=1}^{18} A_i^2 + \sum_{i=1}^{18} B_i^2 \right) \\
& \text{COMPLEXITY} = \frac{1}{2} \cdot K^2 \cdot \left( \sum_{i=1}^{18} A_i^2 + \sum_{i=1}^{18} (B_1^2 + B_2^2 + \dots + B_{18}^2) \right) \\
& \text{COMPLEXITY} = \frac{1}{2} \cdot K^2 \cdot \left( \sum_{i=1}^{18} A_i^2 + 18 \cdot B_1^2 + 18 \cdot B_2^2 + \dots + 18 \cdot B_{18}^2 \right) \\
& \text{COMPLEXITY} = \frac{1}{2} \cdot K^2 \cdot \left( \sum_{i=1}^{18} A_i^2 + 18 \cdot (B_1^2 + B_2^2 + \dots + B_{18}^2) \right) \\
& \text{COMPLEXITY} = \frac{1}{2} \cdot K^2 \cdot \left( \sum_{i=1}^{18} A_i^2 + 18 \cdot \left( \sum_{j=1}^{18} B_j^2 \right) \right) \\
& \text{COMPLEXITY} = \frac{1}{2} \cdot K^2 \cdot \left( \sum_{i=1}^{18} A_i^2 + 18 \cdot \left( \sum_{j=1}^{18} \left( \cos^2(\theta_j) + \sin^2(\theta_j) \right) \right) \right) \\
& \text{COMPLEXITY} = \frac{1}{2} \cdot K^2 \cdot \left( \sum_{i=1}^{18} A_i^2 + 18 \cdot 18 \right) \\
& \text{COMPLEXITY} = \frac{1}{2} \cdot K^2 \cdot (18^2 + 18) \\
& \text{COMPLEXITY} = \frac{1}{2} \cdot K^2 \cdot 18 \cdot 19 \\
& \text{COMPLEXITY} = \frac{1}{2} \cdot K^2 \cdot 342
\end{aligned}$$

40  
 67  
 51  
 54  
 56  
 58  
 60  
 62  
 64  
 66  
 68  
 70  
 72  
 74  
 76  
 78  
 80  
 82  
 84  
 86  
 88  
 90  
 92  
 94  
 96  
 98  
 100  
 102  
 104  
 106  
 108  
 110  
 112  
 114  
 116  
 118  
 120  
 122  
 124  
 126  
 128  
 130  
 132  
 134  
 136  
 138  
 140  
 142  
 144  
 146  
 148  
 150  
 152  
 154  
 156  
 158  
 160  
 162  
 164  
 166  
 168  
 170  
 172  
 174  
 176  
 178  
 180  
 182  
 184  
 186  
 188  
 190  
 192  
 194  
 196  
 198  
 200  
 202  
 204  
 206  
 208  
 210  
 212  
 214  
 216  
 218  
 220  
 222  
 224  
 226  
 228  
 230  
 232  
 234  
 236  
 238  
 240  
 242  
 244  
 246  
 248  
 250  
 252  
 254  
 256  
 258  
 260  
 262  
 264  
 266  
 268  
 270  
 272  
 274  
 276  
 278  
 280  
 282  
 284  
 286  
 288  
 290  
 292  
 294  
 296  
 298  
 300  
 302  
 304  
 306  
 308  
 310  
 312  
 314  
 316  
 318  
 320  
 322  
 324  
 326  
 328  
 330  
 332  
 334  
 336  
 338  
 340  
 342  
 344  
 346  
 348  
 350  
 352  
 354  
 356  
 358  
 360  
 362  
 364  
 366  
 368  
 370  
 372  
 374  
 376  
 378  
 380  
 382  
 384  
 386  
 388  
 390  
 392  
 394  
 396  
 398  
 400  
 402  
 404  
 406  
 408  
 410  
 412  
 414  
 416  
 418  
 420  
 422  
 424  
 426  
 428  
 430  
 432  
 434  
 436  
 438  
 440  
 442  
 444  
 446  
 448  
 450  
 452  
 454  
 456  
 458  
 460  
 462  
 464  
 466  
 468  
 470  
 472  
 474  
 476  
 478  
 480  
 482  
 484  
 486  
 488  
 490  
 492  
 494  
 496  
 498  
 500  
 502  
 504  
 506  
 508  
 510  
 512  
 514  
 516  
 518  
 520  
 522  
 524  
 526  
 528  
 530  
 532  
 534  
 536  
 538  
 540  
 542  
 544  
 546  
 548  
 550  
 552  
 554  
 556  
 558  
 560  
 562  
 564  
 566  
 568  
 570  
 572  
 574  
 576  
 578  
 580  
 582  
 584  
 586  
 588  
 590  
 592  
 594  
 596  
 598  
 600  
 602  
 604  
 606  
 608  
 610  
 612  
 614  
 616  
 618  
 620  
 622  
 624  
 626  
 628  
 630  
 632  
 634  
 636  
 638  
 640  
 642  
 644  
 646  
 648  
 650  
 652  
 654  
 656  
 658  
 660  
 662  
 664  
 666  
 668  
 670  
 672  
 674  
 676  
 678  
 680  
 682  
 684  
 686  
 688  
 690  
 692  
 694  
 696  
 698  
 700  
 702  
 704  
 706  
 708  
 710  
 712  
 714  
 716  
 718  
 720  
 722  
 724  
 726  
 728  
 730  
 732  
 734  
 736  
 738  
 740  
 742  
 744  
 746  
 748  
 750  
 752  
 754  
 756  
 758  
 760  
 762  
 764  
 766  
 768  
 770  
 772  
 774  
 776  
 778  
 780  
 782  
 784  
 786  
 788  
 790  
 792  
 794  
 796  
 798  
 800  
 802  
 804  
 806  
 808  
 810  
 812  
 814  
 816  
 818  
 820  
 822  
 824  
 826  
 828  
 830  
 832  
 834  
 836  
 838  
 840  
 842  
 844  
 846  
 848  
 850  
 852  
 854  
 856  
 858  
 860  
 862  
 864  
 866  
 868  
 870  
 872  
 874  
 876  
 878  
 880  
 882  
 884  
 886  
 888  
 890  
 892  
 894  
 896  
 898  
 900  
 902  
 904  
 906  
 908  
 910  
 912  
 914  
 916  
 918  
 920  
 922  
 924  
 926  
 928  
 930  
 932  
 934  
 936  
 938  
 940  
 942  
 944  
 946  
 948  
 950  
 952  
 954  
 956  
 958  
 960  
 962  
 964  
 966  
 968  
 970  
 972  
 974  
 976  
 978  
 980  
 982  
 984  
 986  
 988  
 990  
 992  
 994  
 996  
 998  
 1000



## **CUERCIENCIAS UTILIZADAS EN ANALIZACIONES SPECTRALES**

0004 00060101  
HODEB = 134 15m 40s 11.0 FIN = 134 15m 20s TIR = 07000170  
LGP = 00036 MEM = 00014 LN = 000903 2N = 000901 01T = 00048  
PR = V1 CP = V1

WOB CHU YAN D·AN: RMVO, NY: LUTYANSK  
LUMR - FUR-KAH

דסניאו וריאנטה 18/07/2016

## DETERMINAÇÕES PREVIMENTE CENTRAIS A FAUTORES UTILIZAD

1



NK DE SANTELEME PRELUCRATE (NESTANTI)	1788	ESAN-
PERIODADA DE SANTUMARE (PESANT) . . . . .	1600	MALISES
FRECVENTATA DE SFANTUMARE (PESANT) . . . . .	1600	ESANSES
NUNARUNTA TUTAI DE FLOCHTRE UTILIZATORI	1783	FILTRE
DOMENIUL INTERGRAL (INTREG) . . . . .	1714	COLAONE
NUMERICAL BUREAU (BUREAU) . . . . .	192	PINC/LI
LATIMEA BUREANCI (BUREACI) . . . . .		
RENCANT (PRELINIE) . . . . .		

REZULTATELE ANALIZEI SPECTRALE

CENTRUL DE CALCULURI ALAPTRI SYSTEM RELIA C-550  
0088 CD19A VSP AN = PMOU DATE = 08/02/87-022  
H0DEB = 14H 14M 07S TIME = 00001712 = CONVE = 000  
LGP = U0065 MEM = UU025 IN = 00076011T = U000A  
PR = U1 LO = 000144

A N E X A 2

PROGRAM FORTRAN PENTRU ANALIZA AUTOMATA A SUZINARILOR  
DE RITM CARDIAC PRIN ANALIZA MORFOLOGICA A UNDEI

## ECG

1 ALFA<sup>2</sup><sub>3</sub>  
 2 BETA<sup>2</sup><sub>3</sub>  
 3 GAMMA<sup>2</sup><sub>3</sub>  
 4 DELTA<sup>2</sup><sub>3</sub>  
 5 Epsilon<sup>2</sup><sub>3</sub>  
 6 Zeta<sup>2</sup><sub>3</sub>  
 7 Eta<sup>2</sup><sub>3</sub>  
 8 Theta<sup>2</sup><sub>3</sub>  
 9 Iota<sup>2</sup><sub>3</sub>  
 10 Kappa<sup>2</sup><sub>3</sub>  
 11 Lambda<sup>2</sup><sub>3</sub>  
 12 Mu<sup>2</sup><sub>3</sub>  
 13 Nu<sup>2</sup><sub>3</sub>  
 14 Xi<sup>2</sup><sub>3</sub>  
 15 Omicron<sup>2</sup><sub>3</sub>  
 16 Pi<sup>2</sup><sub>3</sub>  
 17 Rho<sup>2</sup><sub>3</sub>  
 18 Sigma<sup>2</sup><sub>3</sub>  
 19 Upsilon<sup>2</sup><sub>3</sub>  
 20 Phi<sup>2</sup><sub>3</sub>  
 21 Chi<sup>2</sup><sub>3</sub>  
 22 Psi<sup>2</sup><sub>3</sub>  
 23 Omega<sup>2</sup><sub>3</sub>  
 24 Gamma<sup>2</sup><sub>3</sub>  
 25 Delta<sup>2</sup><sub>3</sub>  
 26 Epsilon<sup>2</sup><sub>3</sub>  
 27 Zeta<sup>2</sup><sub>3</sub>  
 28 Eta<sup>2</sup><sub>3</sub>  
 29 Theta<sup>2</sup><sub>3</sub>  
 30 Iota<sup>2</sup><sub>3</sub>  
 31 Kappa<sup>2</sup><sub>3</sub>  
 32 Mu<sup>2</sup><sub>3</sub>  
 33 Nu<sup>2</sup><sub>3</sub>  
 34 Xi<sup>2</sup><sub>3</sub>  
 35 Omicron<sup>2</sup><sub>3</sub>  
 36 Pi<sup>2</sup><sub>3</sub>  
 37 Rho<sup>2</sup><sub>3</sub>  
 38 Sigma<sup>2</sup><sub>3</sub>  
 39 Upsilon<sup>2</sup><sub>3</sub>  
 40 Phi<sup>2</sup><sub>3</sub>  
 41 Chi<sup>2</sup><sub>3</sub>  
 42 Psi<sup>2</sup><sub>3</sub>  
 43 Omega<sup>2</sup><sub>3</sub>  
 44 Gamma<sup>2</sup><sub>3</sub>  
 45 Delta<sup>2</sup><sub>3</sub>  
 46 Epsilon<sup>2</sup><sub>3</sub>  
 47 Zeta<sup>2</sup><sub>3</sub>  
 48 Eta<sup>2</sup><sub>3</sub>  
 49 Theta<sup>2</sup><sub>3</sub>  
 50 Iota<sup>2</sup><sub>3</sub>  
 51 Kappa<sup>2</sup><sub>3</sub>  
 52 Mu<sup>2</sup><sub>3</sub>  
 53 Nu<sup>2</sup><sub>3</sub>  
 54 Xi<sup>2</sup><sub>3</sub>  
 55 Omicron<sup>2</sup><sub>3</sub>  
 56 Pi<sup>2</sup><sub>3</sub>  
 57 Rho<sup>2</sup><sub>3</sub>  
 58 Sigma<sup>2</sup><sub>3</sub>  
 59 Upsilon<sup>2</sup><sub>3</sub>  
 60 Phi<sup>2</sup><sub>3</sub>  
 61 Chi<sup>2</sup><sub>3</sub>  
 62 Psi<sup>2</sup><sub>3</sub>  
 63 Omega<sup>2</sup><sub>3</sub>  
 64 Gamma<sup>2</sup><sub>3</sub>  
 65 Delta<sup>2</sup><sub>3</sub>  
 66 Epsilon<sup>2</sup><sub>3</sub>  
 67 Zeta<sup>2</sup><sub>3</sub>  
 68 Eta<sup>2</sup><sub>3</sub>  
 69 Theta<sup>2</sup><sub>3</sub>  
 70 Iota<sup>2</sup><sub>3</sub>  
 71 Kappa<sup>2</sup><sub>3</sub>  
 72 Mu<sup>2</sup><sub>3</sub>  
 73 Nu<sup>2</sup><sub>3</sub>  
 74 Xi<sup>2</sup><sub>3</sub>  
 75 Omicron<sup>2</sup><sub>3</sub>  
 76 Pi<sup>2</sup><sub>3</sub>  
 77 Rho<sup>2</sup><sub>3</sub>  
 78 Sigma<sup>2</sup><sub>3</sub>  
 79 Upsilon<sup>2</sup><sub>3</sub>  
 80 Phi<sup>2</sup><sub>3</sub>  
 81 Chi<sup>2</sup><sub>3</sub>  
 82 Psi<sup>2</sup><sub>3</sub>  
 83 Omega<sup>2</sup><sub>3</sub>  
 84 Gamma<sup>2</sup><sub>3</sub>  
 85 Delta<sup>2</sup><sub>3</sub>  
 86 Epsilon<sup>2</sup><sub>3</sub>  
 87 Zeta<sup>2</sup><sub>3</sub>  
 88 Eta<sup>2</sup><sub>3</sub>  
 89 Theta<sup>2</sup><sub>3</sub>  
 90 Iota<sup>2</sup><sub>3</sub>  
 91 Kappa<sup>2</sup><sub>3</sub>  
 92 Mu<sup>2</sup><sub>3</sub>  
 93 Nu<sup>2</sup><sub>3</sub>  
 94 Xi<sup>2</sup><sub>3</sub>  
 95 Omicron<sup>2</sup><sub>3</sub>  
 96 Pi<sup>2</sup><sub>3</sub>  
 97 Rho<sup>2</sup><sub>3</sub>  
 98 Sigma<sup>2</sup><sub>3</sub>  
 99 Upsilon<sup>2</sup><sub>3</sub>  
 100 Phi<sup>2</sup><sub>3</sub>  
 101 Chi<sup>2</sup><sub>3</sub>  
 102 Psi<sup>2</sup><sub>3</sub>  
 103 Omega<sup>2</sup><sub>3</sub>  
 104 Gamma<sup>2</sup><sub>3</sub>  
 105 Delta<sup>2</sup><sub>3</sub>  
 106 Epsilon<sup>2</sup><sub>3</sub>  
 107 Zeta<sup>2</sup><sub>3</sub>  
 108 Eta<sup>2</sup><sub>3</sub>  
 109 Theta<sup>2</sup><sub>3</sub>  
 110 Iota<sup>2</sup><sub>3</sub>  
 111 Kappa<sup>2</sup><sub>3</sub>  
 112 Mu<sup>2</sup><sub>3</sub>  
 113 Nu<sup>2</sup><sub>3</sub>  
 114 Xi<sup>2</sup><sub>3</sub>  
 115 Omicron<sup>2</sup><sub>3</sub>  
 116 Pi<sup>2</sup><sub>3</sub>  
 117 Rho<sup>2</sup><sub>3</sub>  
 118 Sigma<sup>2</sup><sub>3</sub>  
 119 Upsilon<sup>2</sup><sub>3</sub>  
 120 Phi<sup>2</sup><sub>3</sub>  
 121 Chi<sup>2</sup><sub>3</sub>  
 122 Psi<sup>2</sup><sub>3</sub>  
 123 Omega<sup>2</sup><sub>3</sub>  
 124 Gamma<sup>2</sup><sub>3</sub>  
 125 Delta<sup>2</sup><sub>3</sub>  
 126 Epsilon<sup>2</sup><sub>3</sub>  
 127 Zeta<sup>2</sup><sub>3</sub>  
 128 Eta<sup>2</sup><sub>3</sub>  
 129 Theta<sup>2</sup><sub>3</sub>  
 130 Iota<sup>2</sup><sub>3</sub>  
 131 Kappa<sup>2</sup><sub>3</sub>  
 132 Mu<sup>2</sup><sub>3</sub>  
 133 Nu<sup>2</sup><sub>3</sub>  
 134 Xi<sup>2</sup><sub>3</sub>  
 135 Omicron<sup>2</sup><sub>3</sub>  
 136 Pi<sup>2</sup><sub>3</sub>  
 137 Rho<sup>2</sup><sub>3</sub>  
 138 Sigma<sup>2</sup><sub>3</sub>  
 139 Upsilon<sup>2</sup><sub>3</sub>  
 140 Phi<sup>2</sup><sub>3</sub>  
 141 Chi<sup>2</sup><sub>3</sub>  
 142 Psi<sup>2</sup><sub>3</sub>  
 143 Omega<sup>2</sup><sub>3</sub>  
 144 Gamma<sup>2</sup><sub>3</sub>  
 145 Delta<sup>2</sup><sub>3</sub>  
 146 Epsilon<sup>2</sup><sub>3</sub>  
 147 Zeta<sup>2</sup><sub>3</sub>  
 148 Eta<sup>2</sup><sub>3</sub>  
 149 Theta<sup>2</sup><sub>3</sub>  
 150 Iota<sup>2</sup><sub>3</sub>  
 151 Kappa<sup>2</sup><sub>3</sub>  
 152 Mu<sup>2</sup><sub>3</sub>  
 153 Nu<sup>2</sup><sub>3</sub>  
 154 Xi<sup>2</sup><sub>3</sub>  
 155 Omicron<sup>2</sup><sub>3</sub>  
 156 Pi<sup>2</sup><sub>3</sub>  
 157 Rho<sup>2</sup><sub>3</sub>  
 158 Sigma<sup>2</sup><sub>3</sub>  
 159 Upsilon<sup>2</sup><sub>3</sub>  
 160 Phi<sup>2</sup><sub>3</sub>  
 161 Chi<sup>2</sup><sub>3</sub>  
 162 Psi<sup>2</sup><sub>3</sub>  
 163 Omega<sup>2</sup><sub>3</sub>  
 164 Gamma<sup>2</sup><sub>3</sub>  
 165 Delta<sup>2</sup><sub>3</sub>  
 166 Epsilon<sup>2</sup><sub>3</sub>  
 167 Zeta<sup>2</sup><sub>3</sub>  
 168 Eta<sup>2</sup><sub>3</sub>  
 169 Theta<sup>2</sup><sub>3</sub>  
 170 Iota<sup>2</sup><sub>3</sub>  
 171 Kappa<sup>2</sup><sub>3</sub>  
 172 Mu<sup>2</sup><sub>3</sub>  
 173 Nu<sup>2</sup><sub>3</sub>  
 174 Xi<sup>2</sup><sub>3</sub>  
 175 Omicron<sup>2</sup><sub>3</sub>  
 176 Pi<sup>2</sup><sub>3</sub>  
 177 Rho<sup>2</sup><sub>3</sub>  
 178 Sigma<sup>2</sup><sub>3</sub>  
 179 Upsilon<sup>2</sup><sub>3</sub>  
 180 Phi<sup>2</sup><sub>3</sub>  
 181 Chi<sup>2</sup><sub>3</sub>  
 182 Psi<sup>2</sup><sub>3</sub>  
 183 Omega<sup>2</sup><sub>3</sub>  
 184 Gamma<sup>2</sup><sub>3</sub>  
 185 Delta<sup>2</sup><sub>3</sub>  
 186 Epsilon<sup>2</sup><sub>3</sub>  
 187 Zeta<sup>2</sup><sub>3</sub>  
 188 Eta<sup>2</sup><sub>3</sub>  
 189 Theta<sup>2</sup><sub>3</sub>  
 190 Iota<sup>2</sup><sub>3</sub>  
 191 Kappa<sup>2</sup><sub>3</sub>  
 192 Mu<sup>2</sup><sub>3</sub>  
 193 Nu<sup>2</sup><sub>3</sub>  
 194 Xi<sup>2</sup><sub>3</sub>  
 195 Omicron<sup>2</sup><sub>3</sub>  
 196 Pi<sup>2</sup><sub>3</sub>  
 197 Rho<sup>2</sup><sub>3</sub>  
 198 Sigma<sup>2</sup><sub>3</sub>  
 199 Upsilon<sup>2</sup><sub>3</sub>  
 200 Phi<sup>2</sup><sub>3</sub>  
 201 Chi<sup>2</sup><sub>3</sub>  
 202 Psi<sup>2</sup><sub>3</sub>  
 203 Omega<sup>2</sup><sub>3</sub>  
 204 Gamma<sup>2</sup><sub>3</sub>  
 205 Delta<sup>2</sup><sub>3</sub>  
 206 Epsilon<sup>2</sup><sub>3</sub>  
 207 Zeta<sup>2</sup><sub>3</sub>  
 208 Eta<sup>2</sup><sub>3</sub>  
 209 Theta<sup>2</sup><sub>3</sub>  
 210 Iota<sup>2</sup><sub>3</sub>  
 211 Kappa<sup>2</sup><sub>3</sub>  
 212 Mu<sup>2</sup><sub>3</sub>  
 213 Nu<sup>2</sup><sub>3</sub>  
 214 Xi<sup>2</sup><sub>3</sub>  
 215 Omicron<sup>2</sup><sub>3</sub>  
 216 Pi<sup>2</sup><sub>3</sub>  
 217 Rho<sup>2</sup><sub>3</sub>  
 218 Sigma<sup>2</sup><sub>3</sub>  
 219 Upsilon<sup>2</sup><sub>3</sub>  
 220 Phi<sup>2</sup><sub>3</sub>  
 221 Chi<sup>2</sup><sub>3</sub>  
 222 Psi<sup>2</sup><sub>3</sub>  
 223 Omega<sup>2</sup><sub>3</sub>  
 224 Gamma<sup>2</sup><sub>3</sub>  
 225 Delta<sup>2</sup><sub>3</sub>  
 226 Epsilon<sup>2</sup><sub>3</sub>  
 227 Zeta<sup>2</sup><sub>3</sub>  
 228 Eta<sup>2</sup><sub>3</sub>  
 229 Theta<sup>2</sup><sub>3</sub>  
 230 Iota<sup>2</sup><sub>3</sub>  
 231 Kappa<sup>2</sup><sub>3</sub>  
 232 Mu<sup>2</sup><sub>3</sub>  
 233 Nu<sup>2</sup><sub>3</sub>  
 234 Xi<sup>2</sup><sub>3</sub>  
 235 Omicron<sup>2</sup><sub>3</sub>  
 236 Pi<sup>2</sup><sub>3</sub>  
 237 Rho<sup>2</sup><sub>3</sub>  
 238 Sigma<sup>2</sup><sub>3</sub>  
 239 Upsilon<sup>2</sup><sub>3</sub>  
 240 Phi<sup>2</sup><sub>3</sub>  
 241 Chi<sup>2</sup><sub>3</sub>  
 242 Psi<sup>2</sup><sub>3</sub>  
 243 Omega<sup>2</sup><sub>3</sub>  
 244 Gamma<sup>2</sup><sub>3</sub>  
 245 Delta<sup>2</sup><sub>3</sub>  
 246 Epsilon<sup>2</sup><sub>3</sub>  
 247 Zeta<sup>2</sup><sub>3</sub>  
 248 Eta<sup>2</sup><sub>3</sub>  
 249 Theta<sup>2</sup><sub>3</sub>  
 250 Iota<sup>2</sup><sub>3</sub>  
 251 Kappa<sup>2</sup><sub>3</sub>  
 252 Mu<sup>2</sup><sub>3</sub>  
 253 Nu<sup>2</sup><sub>3</sub>  
 254 Xi<sup>2</sup><sub>3</sub>  
 255 Omicron<sup>2</sup><sub>3</sub>  
 256 Pi<sup>2</sup><sub>3</sub>  
 257 Rho<sup>2</sup><sub>3</sub>  
 258 Sigma<sup>2</sup><sub>3</sub>  
 259 Upsilon<sup>2</sup><sub>3</sub>  
 260 Phi<sup>2</sup><sub>3</sub>  
 261 Chi<sup>2</sup><sub>3</sub>  
 262 Psi<sup>2</sup><sub>3</sub>  
 263 Omega<sup>2</sup><sub>3</sub>  
 264 Gamma<sup>2</sup><sub>3</sub>  
 265 Delta<sup>2</sup><sub>3</sub>  
 266 Epsilon<sup>2</sup><sub>3</sub>  
 267 Zeta<sup>2</sup><sub>3</sub>  
 268 Eta<sup>2</sup><sub>3</sub>  
 269 Theta<sup>2</sup><sub>3</sub>  
 270 Iota<sup>2</sup><sub>3</sub>  
 271 Kappa<sup>2</sup><sub>3</sub>  
 272 Mu<sup>2</sup><sub>3</sub>  
 273 Nu<sup>2</sup><sub>3</sub>  
 274 Xi<sup>2</sup><sub>3</sub>  
 275 Omicron<sup>2</sup><sub>3</sub>  
 276 Pi<sup>2</sup><sub>3</sub>  
 277 Rho<sup>2</sup><sub>3</sub>  
 278 Sigma<sup>2</sup><sub>3</sub>  
 279 Upsilon<sup>2</sup><sub>3</sub>  
 280 Phi<sup>2</sup><sub>3</sub>  
 281 Chi<sup>2</sup><sub>3</sub>  
 282 Psi<sup>2</sup><sub>3</sub>  
 283 Omega<sup>2</sup><sub>3</sub>  
 284 Gamma<sup>2</sup><sub>3</sub>  
 285 Delta<sup>2</sup><sub>3</sub>  
 286 Epsilon<sup>2</sup><sub>3</sub>  
 287 Zeta<sup>2</sup><sub>3</sub>  
 288 Eta<sup>2</sup><sub>3</sub>  
 289 Theta<sup>2</sup><sub>3</sub>  
 290 Iota<sup>2</sup><sub>3</sub>  
 291 Kappa<sup>2</sup><sub>3</sub>  
 292 Mu<sup>2</sup><sub>3</sub>  
 293 Nu<sup>2</sup><sub>3</sub>  
 294 Xi<sup>2</sup><sub>3</sub>  
 295 Omicron<sup>2</sup><sub>3</sub>  
 296 Pi<sup>2</sup><sub>3</sub>  
 297 Rho<sup>2</sup><sub>3</sub>  
 298 Sigma<sup>2</sup><sub>3</sub>  
 299 Upsilon<sup>2</sup><sub>3</sub>  
 300 Phi<sup>2</sup><sub>3</sub>  
 301 Chi<sup>2</sup><sub>3</sub>  
 302 Psi<sup>2</sup><sub>3</sub>  
 303 Omega<sup>2</sup><sub>3</sub>  
 304 Gamma<sup>2</sup><sub>3</sub>  
 305 Delta<sup>2</sup><sub>3</sub>  
 306 Epsilon<sup>2</sup><sub>3</sub>  
 307 Zeta<sup>2</sup><sub>3</sub>  
 308 Eta<sup>2</sup><sub>3</sub>  
 309 Theta<sup>2</sup><sub>3</sub>  
 310 Iota<sup>2</sup><sub>3</sub>  
 311 Kappa<sup>2</sup><sub>3</sub>  
 312 Mu<sup>2</sup><sub>3</sub>  
 313 Nu<sup>2</sup><sub>3</sub>  
 314 Xi<sup>2</sup><sub>3</sub>  
 315 Omicron<sup>2</sup><sub>3</sub>  
 316 Pi<sup>2</sup><sub>3</sub>  
 317 Rho<sup>2</sup><sub>3</sub>  
 318 Sigma<sup>2</sup><sub>3</sub>  
 319 Upsilon<sup>2</sup><sub>3</sub>  
 320 Phi<sup>2</sup><sub>3</sub>  
 321 Chi<sup>2</sup><sub>3</sub>  
 322 Psi<sup>2</sup><sub>3</sub>  
 323 Omega<sup>2</sup><sub>3</sub>  
 324 Gamma<sup>2</sup><sub>3</sub>  
 325 Delta<sup>2</sup><sub>3</sub>  
 326 Epsilon<sup>2</sup><sub>3</sub>  
 327 Zeta<sup>2</sup><sub>3</sub>  
 328 Eta<sup>2</sup><sub>3</sub>  
 329 Theta<sup>2</sup><sub>3</sub>  
 330 Iota<sup>2</sup><sub>3</sub>  
 331 Kappa<sup>2</sup><sub>3</sub>  
 332 Mu<sup>2</sup><sub>3</sub>  
 333 Nu<sup>2</sup><sub>3</sub>  
 334 Xi<sup>2</sup><sub>3</sub>  
 335 Omicron<sup>2</sup><sub>3</sub>  
 336 Pi<sup>2</sup><sub>3</sub>  
 337 Rho<sup>2</sup><sub>3</sub>  
 338 Sigma<sup>2</sup><sub>3</sub>  
 339 Upsilon<sup>2</sup><sub>3</sub>  
 340 Phi<sup>2</sup><sub>3</sub>  
 341 Chi<sup>2</sup><sub>3</sub>  
 342 Psi<sup>2</sup><sub>3</sub>  
 343 Omega<sup>2</sup><sub>3</sub>  
 344 Gamma<sup>2</sup><sub>3</sub>  
 345 Delta<sup>2</sup><sub>3</sub>  
 346 Epsilon<sup>2</sup><sub>3</sub>  
 347 Zeta<sup>2</sup><sub>3</sub>  
 348 Eta<sup>2</sup><sub>3</sub>  
 349 Theta<sup>2</sup><sub>3</sub>  
 350 Iota<sup>2</sup><sub>3</sub>  
 351 Kappa<sup>2</sup><sub>3</sub>  
 352 Mu<sup>2</sup><sub>3</sub>  
 353 Nu<sup>2</sup><sub>3</sub>  
 354 Xi<sup>2</sup><sub>3</sub>  
 355 Omicron<sup>2</sup><sub>3</sub>  
 356 Pi<sup>2</sup><sub>3</sub>  
 357 Rho<sup>2</sup><sub>3</sub>  
 358 Sigma<sup>2</sup><sub>3</sub>  
 359 Upsilon<sup>2</sup><sub>3</sub>  
 360 Phi<sup>2</sup><sub>3</sub>  
 361 Chi<sup>2</sup><sub>3</sub>  
 362 Psi<sup>2</sup><sub>3</sub>  
 363 Omega<sup>2</sup><sub>3</sub>  
 364 Gamma<sup>2</sup><sub>3</sub>  
 365 Delta<sup>2</sup><sub>3</sub>  
 366 Epsilon<sup>2</sup><sub>3</sub>  
 367 Zeta<sup>2</sup><sub>3</sub>  
 368 Eta<sup>2</sup><sub>3</sub>  
 369 Theta<sup>2</sup><sub>3</sub>  
 370 Iota<sup>2</sup><sub>3</sub>  
 371 Kappa<sup>2</sup><sub>3</sub>  
 372 Mu<sup>2</sup><sub>3</sub>  
 373 Nu<sup>2</sup><sub>3</sub>  
 374 Xi<sup>2</sup><sub>3</sub>  
 375 Omicron<sup>2</sup><sub>3</sub>  
 376 Pi<sup>2</sup><sub>3</sub>  
 377 Rho<sup>2</sup><sub>3</sub>  
 378 Sigma<sup>2</sup><sub>3</sub>  
 379 Upsilon<sup>2</sup><sub>3</sub>  
 380 Phi<sup>2</sup><sub>3</sub>  
 381 Chi<sup>2</sup><sub>3</sub>  
 382 Psi<sup>2</sup><sub>3</sub>  
 383 Omega<sup>2</sup><sub>3</sub>  
 384 Gamma<sup>2</sup><sub>3</sub>  
 385 Delta<sup>2</sup><sub>3</sub>  
 386 Epsilon<sup>2</sup><sub>3</sub>  
 387 Zeta<sup>2</sup><sub>3</sub>  
 388 Eta<sup>2</sup><sub>3</sub>  
 389 Theta<sup>2</sup><sub>3</sub>  
 390 Iota<sup>2</sup><sub>3</sub>  
 391 Kappa<sup>2</sup><sub>3</sub>  
 392 Mu<sup>2</sup><sub>3</sub>  
 393 Nu<sup>2</sup><sub>3</sub>  
 394 Xi<sup>2</sup><sub>3</sub>  
 395 Omicron<sup>2</sup><sub>3</sub>  
 396 Pi<sup>2</sup><sub>3</sub>  
 397 Rho<sup>2</sup><sub>3</sub>  
 398 Sigma<sup>2</sup><sub>3</sub>  
 399 Upsilon<sup>2</sup><sub>3</sub>  
 400 Phi<sup>2</sup><sub>3</sub>  
 401 Chi<sup>2</sup><sub>3</sub>  
 402 Psi<sup>2</sup><sub>3</sub>  
 403 Omega<sup>2</sup><sub>3</sub>  
 404 Gamma<sup>2</sup><sub>3</sub>  
 405 Delta<sup>2</sup><sub>3</sub>  
 406 Epsilon<sup>2</sup><sub>3</sub>  
 407 Zeta<sup>2</sup><sub>3</sub>  
 408 Eta<sup>2</sup><sub>3</sub>  
 409 Theta<sup>2</sup><sub>3</sub>  
 410 Iota<sup>2</sup><sub>3</sub>  
 411 Kappa<sup>2</sup><sub>3</sub>  
 412 Mu<sup>2</sup><sub>3</sub>  
 413 Nu<sup>2</sup><sub>3</sub>  
 414 Xi<sup>2</sup><sub>3</sub>  
 415 Omicron<sup>2</sup><sub>3</sub>  
 416 Pi<sup>2</sup><sub>3</sub>  
 417 Rho<sup>2</sup><sub>3</sub>  
 418 Sigma<sup>2</sup><sub>3</sub>  
 419 Upsilon<sup>2</sup><sub>3</sub>  
 420 Phi<sup>2</sup><sub>3</sub>  
 421 Chi<sup>2</sup><sub>3</sub>  
 422 Psi<sup>2</sup><sub>3</sub>  
 423 Omega<sup>2</sup><sub>3</sub>  
 424 Gamma<sup>2</sup><sub>3</sub>  
 425 Delta<sup>2</sup><sub>3</sub>  
 426 Epsilon<sup>2</sup><sub>3</sub>  
 427 Zeta<sup>2</sup><sub>3</sub>  
 428 Eta<sup>2</sup><sub>3</sub>  
 429 Theta<sup>2</sup><sub>3</sub>  
 430 Iota<sup>2</sup><sub>3</sub>  
 431 Kappa<sup>2</sup><sub>3</sub>  
 432 Mu<sup>2</sup><sub>3</sub>  
 433 Nu<sup>2</sup><sub>3</sub>  
 434 Xi<sup>2</sup><sub>3</sub>  
 435 Omicron<sup>2</sup><sub>3</sub>  
 436 Pi<sup>2</sup><sub>3</sub>  
 437 Rho<sup>2</sup><sub>3</sub>  
 438 Sigma<sup>2</sup><sub>3</sub>  
 439 Upsilon<sup>2</sup><sub>3</sub>  
 440 Phi<sup>2</sup><sub>3</sub>  
 441 Chi<sup>2</sup><sub>3</sub>  
 442 Psi<sup>2</sup><sub>3</sub>  
 443 Omega<sup>2</sup><sub>3</sub>  
 444 Gamma<sup>2</sup><sub>3</sub>  
 445 Delta<sup>2</sup><sub>3</sub>  
 446 Epsilon<sup>2</sup><sub>3</sub>  
 447 Zeta<sup>2</sup><sub>3</sub>  
 448 Eta<sup>2</sup><sub>3</sub>  
 449 Theta<sup>2</sup><sub>3</sub>  
 450 Iota<sup>2</sup><sub>3</sub>  
 451 Kappa<sup>2</sup><sub>3</sub>  
 452 Mu<sup>2</sup><sub>3</sub>  
 453 Nu<sup>2</sup><sub>3</sub>  
 454 Xi<sup>2</sup><sub>3</sub>  
 455 Omicron<sup>2</sup><sub>3</sub>  
 456 Pi<sup>2</sup><sub>3</sub>  
 457 Rho<sup>2</sup><sub>3</sub>  
 458 Sigma<sup>2</sup><sub>3</sub>  
 459 Upsilon<sup>2</sup><sub>3</sub>  
 460 Phi<sup>2</sup><sub>3</sub>  
 461 Chi<sup>2</sup><sub>3</sub>  
 462 Psi<sup>2</sup><sub>3</sub>  
 463 Omega<sup>2</sup><sub>3</sub>  
 464 Gamma<sup>2</sup><sub>3</sub>  
 465 Delta<sup>2</sup><sub>3</sub>  
 466 Epsilon<sup>2</sup><sub>3</sub>  
 467 Zeta<sup>2</sup><sub>3</sub>  
 468 Eta<sup>2</sup><sub>3</sub>  
 469 Theta<sup>2</sup><sub>3</sub>  
 470 Iota<sup>2</sup><sub>3</sub>  
 471 Kappa<sup>2</sup><sub>3</sub>  
 472 Mu<sup>2</sup><sub>3</sub>  
 473 Nu<sup>2</sup><sub>3</sub>  
 474 Xi<sup>2</sup><sub>3</sub>  
 475 Omicron<sup>2</sup><sub>3</sub>  
 476 Pi<sup>2</sup><sub>3</sub>  
 477 Rho<sup>2</sup><sub>3</sub>  
 478 Sigma<sup>2</sup><sub>3</sub>  
 479 Upsilon<sup>2</sup><sub>3</sub>  
 480 Phi<sup>2</sup><sub>3</sub>  
 481 Chi<sup>2</sup><sub>3</sub>  
 482 Psi<sup>2</sup><sub>3</sub>  
 483 Omega<sup>2</sup><sub>3</sub>  
 484 Gamma<sup>2</sup><sub>3</sub>  
 485 Delta<sup>2</sup><sub>3</sub>  
 486 Epsilon<sup>2</sup><sub>3</sub>  
 487 Zeta<sup>2</sup><sub>3</sub>  
 488 Eta<sup>2</sup><sub>3</sub>  
 489 Theta<sup>2</sup><sub>3</sub>  
 490 Iota<sup>2</sup><sub>3</sub>  
 491 Kappa<sup>2</sup><sub>3</sub>  
 492 Mu<sup>2</sup><sub>3</sub>  
 493 Nu<sup>2</sup><sub>3</sub>  
 494 Xi<sup>2</sup><sub>3</sub>  
 495 Omicron<sup>2</sup><sub>3</sub>  
 496 Pi<sup>2</sup><sub>3</sub>  
 497 Rho<sup>2</sup><sub>3</sub>  
 498 Sigma<sup>2</sup><sub>3</sub>  
 499 Upsilon<sup>2</sup><sub>3</sub>  
 500 Phi<sup>2</sup><sub>3</sub>  
 501 Chi<sup>2</sup><sub>3</sub>  
 502 Psi<sup>2</sup><sub>3</sub>  
 503 Omega<sup>2</sup><sub>3</sub>  
 504 Gamma<sup>2</sup><sub>3</sub>  
 505 Delta<sup>2</sup><sub>3</sub>  
 506 Epsilon<sup>2</sup><sub>3</sub>  
 507 Zeta<sup>2</sup><sub>3</sub>  
 508 Eta<sup>2</sup><sub>3</sub>  
 509 Theta<sup>2</sup><sub>3</sub>  
 510 Iota<sup>2</sup><sub>3</sub>  
 511 Kappa<sup>2</sup><sub>3</sub>  
 512 Mu<sup>2</sup><sub>3</sub>  
 513 Nu<sup>2</sup><sub>3</sub>  
 514 Xi<sup>2</sup><sub>3</sub>  
 515 Omicron<sup>2</sup><sub>3</sub>  
 516 Pi<sup>2</sup><sub>3</sub>  
 517 Rho<sup>2</sup><sub>3</sub>  
 518 Sigma<sup>2</sup><sub>3</sub>  
 519 Upsilon<sup>2</sup><sub>3</sub>  
 520 Phi<sup>2</sup><sub>3</sub>  
 521 Chi<sup>2</sup><sub>3</sub>  
 522 Psi<sup>2</sup><sub>3</sub>  
 523 Omega<sup>2</sup><sub>3</sub>  
 524 Gamma<sup>2</sup><sub>3</sub>  
 525 Delta<sup>2</sup><sub>3</sub>  
 526 Epsilon<sup>2</sup><sub>3</sub>  
 527 Zeta<sup>2</sup><sub>3</sub>  
 528 Eta<sup>2</sup><sub>3</sub>  
 529 Theta<sup>2</sup><sub>3</sub>  
 530 Iota<sup>2</sup><sub>3</sub>  
 531 Kappa<sup>2</sup><sub>3</sub>  
 532 Mu<sup>2</sup><sub>3</sub>  
 533 Nu<sup>2</sup><sub>3</sub>  
 534 Xi<sup>2</sup><sub>3</sub>  
 535 Omicron<sup>2</sup><sub>3</sub>  
 536 Pi<sup>2</sup><sub>3</sub>  
 537 Rho<sup>2</sup><sub>3</sub>  
 538 Sigma<sup>2</sup><sub>3</sub>  
 539 Upsilon<sup>2</sup><sub>3</sub>  
 540 Phi<sup>2</sup><sub>3</sub>  
 541 Chi<sup>2</sup><sub>3</sub>  
 542 Psi<sup>2</sup><sub>3</sub>  
 543 Omega<sup>2</sup><sub>3</sub>  
 544 Gamma<sup>2</sup><sub>3</sub>  
 545 Delta<sup>2</sup><sub>3</sub>  
 546 Epsilon<sup>2</sup><sub>3</sub>  
 547 Zeta<sup>2</sup><sub>3</sub>  
 548 Eta<sup>2</sup><sub>3</sub>  
 549 Theta<sup>2</sup><sub>3</sub>  
 550 Iota<sup>2</sup><sub>3</sub>  
 551 Kappa<sup>2</sup><sub>3</sub>  
 552 Mu<sup>2</sup><sub>3</sub>  
 553 Nu<sup>2</sup><sub>3</sub>  
 554 Xi<sup>2</sup><sub>3</sub>  
 555 Omicron<sup>2</sup><sub>3</sub>  
 556 Pi<sup>2</sup><sub>3</sub>  
 557 Rho<sup>2</sup><sub>3</sub>  
 558 Sigma<sup>2</sup><sub>3</sub>  
 559 Upsilon<sup>2</sup><sub>3</sub>  
 560 Phi<sup>2</sup><sub>3</sub>  
 561 Chi<sup>2</sup><sub>3</sub>  
 562 Psi<sup>2</sup><sub>3</sub>  
 563 Omega<sup>2</sup><sub>3</sub>  
 564 Gamma<sup>2</sup><sub>3</sub>  
 565 Delta<sup>2</sup><sub>3</sub>  
 566 Epsilon<sup>2</sup><sub>3</sub>  
 567 Zeta<sup>2</sup><sub>3</sub>  
 568 Eta<sup>2</sup><sub>3</sub>  
 569 Theta<sup>2</sup><sub>3</sub>  
 570 Iota<sup>2</sup><sub>3</sub>  
 571 Kappa<sup>2</sup><sub>3</sub>  
 572 Mu<sup>2</sup><sub>3</sub>  
 573 Nu<sup>2</sup><sub>3</sub>  
 574 Xi<sup>2</sup><sub>3</sub>  
 575 Omicron<sup>2</sup><sub>3</sub>  
 576 Pi<sup>2</sup><sub>3</sub>  
 577 Rho<sup>2</sup><sub>3</sub>  
 578 Sigma<sup>2</sup><sub>3</sub>  
 579 Upsilon<sup>2</sup><sub>3</sub>  
 580 Phi<sup>2</sup><sub>3</sub>  
 581 Chi<sup>2</sup><sub>3</sub>





SUBSTITUTIONSMAINTENANCE WORKERS UNION OF AMERICA, INC., v. IMAZ, ZURICH INSURANCE CO. (1920)

# የኢትዮጵያ ተስፋዎች አገልግሎት ማረጋገጫ መመሪያ

1	2	3	4	5	6	7	8	9	10	11	12	13	14	15	16	17	18	19	20	21	22	23	24	25	26	27	28	29	30	31
480	481	482	483	484	485	486	487	488	489	490	491	492	493	494	495	496	497	498	499	500	501	502	503	504	505	506	507	508	509	510
480	481	482	483	484	485	486	487	488	489	490	491	492	493	494	495	496	497	498	499	500	501	502	503	504	505	506	507	508	509	510
480	481	482	483	484	485	486	487	488	489	490	491	492	493	494	495	496	497	498	499	500	501	502	503	504	505	506	507	508	509	510
480	481	482	483	484	485	486	487	488	489	490	491	492	493	494	495	496	497	498	499	500	501	502	503	504	505	506	507	508	509	510

SUBPROGRAM PENTRU TESTAREA UNELOR PSET A INTERVALUR PR  
SUBPROGRAME -ESTUP (N,T,PY,IES,PK,UEV)  
DIMFCTUN PP(100).TARP(100).CTARP(100).DEVPC10U  
UJ3GJYI,N  
UEVPC1)=U  
CTARP( )=U  
000

በመተዳደሪያዎች ተጨማሪ የሚከተሉት ስምዎች አልተፈጸምም፡፡





95 725 RUKHA - (בָּהָרְךָ) AMICARDIE SINUSALA PRONUNTATA CU FV=0, F6, 100 + 0 )  
96 722 RUKATE (בָּהָרְךָתָה) FV  
97 723 FORMAT (בָּהָרְכָתָה) TAHICARDIE SINUSALA TU FV=0, F6, 200 + 0 )  
98 724 RUKATE (בָּהָרְךָתָה) RUM NORMAL CU FV=0, F6, 200 + 0 )  
99 725 FORMAT (בָּהָרְכָתָה) RUM NORMAL CU FV=0, F6, 200 + 0 )  
100 718 RUKATE (בָּהָרְךָתָה) RADICARIE SINUSALA CU FV=0, F6, 200 + 0 )  
101 719 FORMAT (בָּהָרְכָתָה) RADICARIE SINUSALA CU FV=0, F6, 200 + 0 )  
102 710 RUKATE (בָּהָרְךָתָה) RADICARIE SINUSALA CU FV=0, F6, 200 + 0 )  
103 717 ROKHA - (בָּהָרְךָה) RADICARIE SINUSALA SEVERA CU FV=0, F6, 200 + 0 )  
104 718 ROKHA - (בָּהָרְךָה) RADICARIE SINUSALA SEVERA CU FV=0, F6, 200 + 0 )  
105 709 ROKHA - (בָּהָרְךָה) RADICARIE SINUSALA SEVERA CU FV=0, F6, 200 + 0 )  
106 699 RETURI ENU  
107 700 SUBROHTINE UESUPSHN RR, YIP, IUKU, KKV, NBA, NBS, NV, NFLSA, NCV )  
108 701 UIMENI ROKHA (700), YIP (700), IORD (700)  
109 702 ROKHA - (בָּהָרְךָה) DOMINANT CU BLUC 2:1 FA=0, F6, 200 FV=0, F6, 200 + 0 )  
110 703 ROKHA - (בָּהָרְךָה) DOMINANT CU BLUC 2:1 FA=0, F6, 200 FV=0, F6, 200 + 0 )  
111 704 ROKHA - (בָּהָרְךָה) DOMINANT CU BLUC 2:1 FA=0, F6, 200 FV=0, F6, 200 + 0 )  
112 705 ROKHA - (בָּהָרְךָה) DOMINANT CU BLUC 2:1 FA=0, F6, 200 FV=0, F6, 200 + 0 )  
113 706 ROKHA - (בָּהָרְךָה) DOMINANT CU BLUC 2:1 FA=0, F6, 200 FV=0, F6, 200 + 0 )  
114 707 ROKHA - (בָּהָרְךָה) DOMINANT CU BLUC 2:1 FA=0, F6, 200 FV=0, F6, 200 + 0 )  
115 708 ROKHA - (בָּהָרְךָה) DOMINANT CU BLUC 2:1 FA=0, F6, 200 FV=0, F6, 200 + 0 )  
116 709 ROKHA - (בָּהָרְךָה) DOMINANT CU BLUC 2:1 FA=0, F6, 200 FV=0, F6, 200 + 0 )  
117 710 ROKHA - (בָּהָרְךָה) DOMINANT CU BLUC 2:1 FA=0, F6, 200 FV=0, F6, 200 + 0 )  
118 711 ROKHA - (בָּהָרְךָה) DOMINANT CU BLUC 2:1 FA=0, F6, 200 FV=0, F6, 200 + 0 )  
119 712 ROKHA - (בָּהָרְךָה) DOMINANT CU BLUC 2:1 FA=0, F6, 200 FV=0, F6, 200 + 0 )  
120 713 ROKHA - (בָּהָרְךָה) DOMINANT CU BLUC 2:1 FA=0, F6, 200 FV=0, F6, 200 + 0 )  
121 714 ROKHA - (בָּהָרְךָה) DOMINANT CU BLUC 2:1 FA=0, F6, 200 FV=0, F6, 200 + 0 )  
122 715 ROKHA - (בָּהָרְךָה) DOMINANT CU BLUC 2:1 FA=0, F6, 200 FV=0, F6, 200 + 0 )  
123 716 ROKHA - (בָּהָרְךָה) DOMINANT CU BLUC 2:1 FA=0, F6, 200 FV=0, F6, 200 + 0 )  
124 717 ROKHA - (בָּהָרְךָה) DOMINANT CU BLUC 2:1 FA=0, F6, 200 FV=0, F6, 200 + 0 )  
125 718 ROKHA - (בָּהָרְךָה) DOMINANT CU BLUC 2:1 FA=0, F6, 200 FV=0, F6, 200 + 0 )  
126 719 ROKHA - (בָּהָרְךָה) DOMINANT CU BLUC 2:1 FA=0, F6, 200 FV=0, F6, 200 + 0 )  
127 720 ROKHA - (בָּהָרְךָה) DOMINANT CU BLUC 2:1 FA=0, F6, 200 FV=0, F6, 200 + 0 )  
128 721 ROKHA - (בָּהָרְךָה) DOMINANT CU BLUC 2:1 FA=0, F6, 200 FV=0, F6, 200 + 0 )  
129 722 ROKHA - (בָּהָרְךָה) DOMINANT CU BLUC 2:1 FA=0, F6, 200 FV=0, F6, 200 + 0 )  
130 723 ROKHA - (בָּהָרְךָה) DOMINANT CU BLUC 2:1 FA=0, F6, 200 FV=0, F6, 200 + 0 )  
131 724 ROKHA - (בָּהָרְךָה) DOMINANT CU BLUC 2:1 FA=0, F6, 200 FV=0, F6, 200 + 0 )  
132 725 ROKHA - (בָּהָרְךָה) DOMINANT CU BLUC 2:1 FA=0, F6, 200 FV=0, F6, 200 + 0 )

1601 SUBROUTINE SALVE( N, RR, LS )  
1602 DIMENSION RK(100)  
1603 LS=0  
1604 NS=0  
1605 DO 1606 J=1,2\*N  
1606 K=RR(J)-U\*2\*PK(I)  
1607 B=K\*RK(J+1); ?=RK(I+1);  
1608 F=PP(T+1); UR(A\*AM+RR(I+1)\*L); U TO 1609  
1609 NS=CU TU 1609  
1610 NS=RY+1  
1611 F(NS,I,E,S) GU TU 1600  
1612 S=1  
1613 CUNTINIE  
1614 RETURN  
1615 END  
1616  
1617 SUBROUTINE WENCK SN,RR,LUKUDK; ITAPK,UELT,A,ITIPR1WEN)  
1618 DIMENSION RK(100),JNDR(100),ITIPR(100),DELTA,ITIPR(100),ITIPR(100)  
1619 LEN=2  
1620 DO 1621 I=1,2\*N  
1621 F(RR(I-1,J-1)+2\*RK(I))GO TU 1620  
1622 P=ITPR(I-1,J-1); E=UR(I-1,J-1); EQ,0,UR,ITIPR(I-1),EQ,6,GO TU 1620  
1623 ORDR(I-1,J-1)+UT\*4; GO TU 1620  
1624 PR1=DFLT(A(I-1,J-1)); DELTA(I-1,J-1)  
1625 K=0  
1626 J=J+4  
1627 F(I,J,F0,4,URUR(I+1,J)) GO TU 1625  
1628 KK+3  
1629 GU TU 1629  
1630 IF(LK+LT+2,60 TU 1630  
1631 JE=LK+2  
1632 F(LK+2,J-1,UT,4) GO TU 1630  
1633 PR2=DFLT(A(J-1,J-1); UT(J-1)  
1634 AFDR2,UR,PK1,J-1,60 TU 1630  
1635 MENTINIE  
1636 RETURN  
1637 END  
1638  
1639 SUBROUTINE SALVE( N, RR, LS )  
1640 DIMENSION RK(100)  
1641 LS=0  
1642 NS=0  
1643 DO 1644 J=1,2\*N  
1644 K=RR(J)-U\*2\*PK(I)  
1645 B=K\*RK(J+1); ?=RK(I+1);  
1646 F=PP(T+1); UR(A\*AM+RR(I+1)\*L); U TO 1647  
1647 NS=CU TU 1647  
1648 NS=RY+1  
1649 F(NS,I,E,S) GU TU 1640  
1650 S=1  
1651 CUNTINIE  
1652 RETURN  
1653 END  
1654  
1655 SUBROUTINE SALVE( N, RR, LS )  
1656 DIMENSION RK(100)  
1657 LS=0  
1658 NS=0  
1659 DO 1660 J=1,2\*N  
1660 K=RR(J)-U\*2\*PK(I)  
1661 B=K\*RK(J+1); ?=RK(I+1);  
1662 F=PP(T+1); UR(A\*AM+RR(I+1)\*L); U TO 1663  
1663 NS=CU TU 1663  
1664 NS=RY+1  
1665 F(NS,I,E,S) GU TU 1660  
1666 S=1  
1667 CUNTINIE  
1668 RETURN  
1669 END  
1670  
1671 SUBROUTINE SALVE( N, RR, LS )  
1672 DIMENSION RK(100)  
1673 LS=0  
1674 NS=0  
1675 DO 1676 J=1,2\*N  
1676 K=RR(J)-U\*2\*PK(I)  
1677 B=K\*RK(J+1); ?=RK(I+1);  
1678 F=PP(T+1); UR(A\*AM+RR(I+1)\*L); U TO 1679  
1679 NS=CU TU 1679  
1680 NS=RY+1  
1681 F(NS,I,E,S) GU TU 1670  
1682 S=1  
1683 CUNTINIE  
1684 RETURN  
1685 END  
1686  
1687 SUBROUTINE SALVE( N, RR, LS )  
1688 DIMENSION RK(100)  
1689 LS=0  
1690 NS=0  
1691 DO 1692 J=1,2\*N  
1692 K=RR(J)-U\*2\*PK(I)  
1693 B=K\*RK(J+1); ?=RK(I+1);  
1694 F=PP(T+1); UR(A\*AM+RR(I+1)\*L); U TO 1695  
1695 NS=CU TU 1695  
1696 NS=RY+1  
1697 F(NS,I,E,S) GU TU 1688  
1698 S=1  
1699 CUNTINIE  
1700 RETURN  
1701 END  
1702  
1703 SUBROUTINE SALVE( N, RR, LS )  
1704 DIMENSION RK(100)  
1705 LS=0  
1706 NS=0  
1707 DO 1708 J=1,2\*N  
1708 K=RR(J)-U\*2\*PK(I)  
1709 B=K\*RK(J+1); ?=RK(I+1);  
1710 F=PP(T+1); UR(A\*AM+RR(I+1)\*L); U TO 1711  
1711 NS=CU TU 1711  
1712 NS=RY+1  
1713 F(NS,I,E,S) GU TU 1707  
1714 S=1  
1715 CUNTINIE  
1716 RETURN  
1717 END  
1718  
1719 SUBROUTINE SALVE( N, RR, LS )  
1720 DIMENSION RK(100)  
1721 LS=0  
1722 NS=0  
1723 DO 1724 J=1,2\*N  
1724 K=RR(J)-U\*2\*PK(I)  
1725 B=K\*RK(J+1); ?=RK(I+1);  
1726 F=PP(T+1); UR(A\*AM+RR(I+1)\*L); U TO 1727  
1727 NS=CU TU 1727  
1728 NS=RY+1  
1729 F(NS,I,E,S) GU TU 1720  
1730 S=1  
1731 CUNTINIE  
1732 RETURN  
1733 END  
1734  
1735 SUBROUTINE SALVE( N, RR, LS )  
1736 DIMENSION RK(100)  
1737 LS=0  
1738 NS=0  
1739 DO 1740 J=1,2\*N  
1740 K=RR(J)-U\*2\*PK(I)  
1741 B=K\*RK(J+1); ?=RK(I+1);  
1742 F=PP(T+1); UR(A\*AM+RR(I+1)\*L); U TO 1743  
1743 NS=CU TU 1743  
1744 NS=RY+1  
1745 F(NS,I,E,S) GU TU 1736  
1746 S=1  
1747 CUNTINIE  
1748 RETURN  
1749 END  
1750  
1751 SUBROUTINE SALVE( N, RR, LS )  
1752 DIMENSION RK(100)  
1753 LS=0  
1754 NS=0  
1755 DO 1756 J=1,2\*N  
1756 K=RR(J)-U\*2\*PK(I)  
1757 B=K\*RK(J+1); ?=RK(I+1);  
1758 F=PP(T+1); UR(A\*AM+RR(I+1)\*L); U TO 1759  
1759 NS=CU TU 1759  
1760 NS=RY+1  
1761 F(NS,I,E,S) GU TU 1752  
1762 S=1  
1763 CUNTINIE  
1764 RETURN  
1765 END  
1766  
1767 SUBROUTINE SALVE( N, RR, LS )  
1768 DIMENSION RK(100)  
1769 LS=0  
1770 NS=0  
1771 DO 1772 J=1,2\*N  
1772 K=RR(J)-U\*2\*PK(I)  
1773 B=K\*RK(J+1); ?=RK(I+1);  
1774 F=PP(T+1); UR(A\*AM+RR(I+1)\*L); U TO 1775  
1775 NS=CU TU 1775  
1776 NS=RY+1  
1777 F(NS,I,E,S) GU TU 1768  
1778 S=1  
1779 CUNTINIE  
1780 RETURN  
1781 END  
1782  
1783 SUBROUTINE SALVE( N, RR, LS )  
1784 DIMENSION RK(100)  
1785 LS=0  
1786 NS=0  
1787 DO 1788 J=1,2\*N  
1788 K=RR(J)-U\*2\*PK(I)  
1789 B=K\*RK(J+1); ?=RK(I+1);  
1790 F=PP(T+1); UR(A\*AM+RR(I+1)\*L); U TO 1791  
1791 NS=CU TU 1791  
1792 NS=RY+1  
1793 F(NS,I,E,S) GU TU 1784  
1794 S=1  
1795 CUNTINIE  
1796 RETURN  
1797 END  
1798  
1799 SUBROUTINE SALVE( N, RR, LS )  
1800 DIMENSION RK(100)  
1801 LS=0  
1802 NS=0  
1803 DO 1804 J=1,2\*N  
1804 K=RR(J)-U\*2\*PK(I)  
1805 B=K\*RK(J+1); ?=RK(I+1);  
1806 F=PP(T+1); UR(A\*AM+RR(I+1)\*L); U TO 1807  
1807 NS=CU TU 1807  
1808 NS=RY+1  
1809 F(NS,I,E,S) GU TU 1800  
1810 S=1  
1811 CUNTINIE  
1812 RETURN  
1813 END  
1814  
1815 SUBROUTINE SALVE( N, RR, LS )  
1816 DIMENSION RK(100)  
1817 LS=0  
1818 NS=0  
1819 DO 1820 J=1,2\*N  
1820 K=RR(J)-U\*2\*PK(I)  
1821 B=K\*RK(J+1); ?=RK(I+1);  
1822 F=PP(T+1); UR(A\*AM+RR(I+1)\*L); U TO 1823  
1823 NS=CU TU 1823  
1824 NS=RY+1  
1825 F(NS,I,E,S) GU TU 1816  
1826 S=1  
1827 CUNTINIE  
1828 RETURN  
1829 END  
1830  
1831 SUBROUTINE SALVE( N, RR, LS )  
1832 DIMENSION RK(100)  
1833 LS=0  
1834 NS=0  
1835 DO 1836 J=1,2\*N  
1836 K=RR(J)-U\*2\*PK(I)  
1837 B=K\*RK(J+1); ?=RK(I+1);  
1838 F=PP(T+1); UR(A\*AM+RR(I+1)\*L); U TO 1839  
1839 NS=CU TU 1839  
1840 NS=RY+1  
1841 F(NS,I,E,S) GU TU 1832  
1842 S=1  
1843 CUNTINIE  
1844 RETURN  
1845 END  
1846  
1847 SUBROUTINE SALVE( N, RR, LS )  
1848 DIMENSION RK(100)  
1849 LS=0  
1850 NS=0  
1851 DO 1852 J=1,2\*N  
1852 K=RR(J)-U\*2\*PK(I)  
1853 B=K\*RK(J+1); ?=RK(I+1);  
1854 F=PP(T+1); UR(A\*AM+RR(I+1)\*L); U TO 1855  
1855 NS=CU TU 1855  
1856 NS=RY+1  
1857 F(NS,I,E,S) GU TU 1848  
1858 S=1  
1859 CUNTINIE  
1860 RETURN  
1861 END  
1862  
1863 SUBROUTINE SALVE( N, RR, LS )  
1864 DIMENSION RK(100)  
1865 LS=0  
1866 NS=0  
1867 DO 1868 J=1,2\*N  
1868 K=RR(J)-U\*2\*PK(I)  
1869 B=K\*RK(J+1); ?=RK(I+1);  
1870 F=PP(T+1); UR(A\*AM+RR(I+1)\*L); U TO 1871  
1871 NS=CU TU 1871  
1872 NS=RY+1  
1873 F(NS,I,E,S) GU TU 1864  
1874 S=1  
1875 CUNTINIE  
1876 RETURN  
1877 END  
1878  
1879 SUBROUTINE SALVE( N, RR, LS )  
1880 DIMENSION RK(100)  
1881 LS=0  
1882 NS=0  
1883 DO 1884 J=1,2\*N  
1884 K=RR(J)-U\*2\*PK(I)  
1885 B=K\*RK(J+1); ?=RK(I+1);  
1886 F=PP(T+1); UR(A\*AM+RR(I+1)\*L); U TO 1887  
1887 NS=CU TU 1887  
1888 NS=RY+1  
1889 F(NS,I,E,S) GU TU 1880  
1890 S=1  
1891 CUNTINIE  
1892 RETURN  
1893 END  
1894  
1895 SUBROUTINE SALVE( N, RR, LS )  
1896 DIMENSION RK(100)  
1897 LS=0  
1898 NS=0  
1899 DO 1900 J=1,2\*N  
1900 K=RR(J)-U\*2\*PK(I)  
1901 B=K\*RK(J+1); ?=RK(I+1);  
1902 F=PP(T+1); UR(A\*AM+RR(I+1)\*L); U TO 1903  
1903 NS=CU TU 1903  
1904 NS=RY+1  
1905 F(NS,I,E,S) GU TU 1896  
1906 S=1  
1907 CUNTINIE  
1908 RETURN  
1909 END  
1910  
1911 SUBROUTINE SALVE( N, RR, LS )  
1912 DIMENSION RK(100)  
1913 LS=0  
1914 NS=0  
1915 DO 1916 J=1,2\*N  
1916 K=RR(J)-U\*2\*PK(I)  
1917 B=K\*RK(J+1); ?=RK(I+1);  
1918 F=PP(T+1); UR(A\*AM+RR(I+1)\*L); U TO 1919  
1919 NS=CU TU 1919  
1920 NS=RY+1  
1921 F(NS,I,E,S) GU TU 1912  
1922 S=1  
1923 CUNTINIE  
1924 RETURN  
1925 END  
1926  
1927 SUBROUTINE SALVE( N, RR, LS )  
1928 DIMENSION RK(100)  
1929 LS=0  
1930 NS=0  
1931 DO 1932 J=1,2\*N  
1932 K=RR(J)-U\*2\*PK(I)  
1933 B=K\*RK(J+1); ?=RK(I+1);  
1934 F=PP(T+1); UR(A\*AM+RR(I+1)\*L); U TO 1935  
1935 NS=CU TU 1935  
1936 NS=RY+1  
1937 F(NS,I,E,S) GU TU 1928  
1938 S=1  
1939 CUNTINIE  
1940 RETURN  
1941 END  
1942  
1943 SUBROUTINE SALVE( N, RR, LS )  
1944 DIMENSION RK(100)  
1945 LS=0  
1946 NS=0  
1947 DO 1948 J=1,2\*N  
1948 K=RR(J)-U\*2\*PK(I)  
1949 B=K\*RK(J+1); ?=RK(I+1);  
1950 F=PP(T+1); UR(A\*AM+RR(I+1)\*L); U TO 1951  
1951 NS=CU TU 1951  
1952 NS=RY+1  
1953 F(NS,I,E,S) GU TU 1944  
1954 S=1  
1955 CUNTINIE  
1956 RETURN  
1957 END  
1958  
1959 SUBROUTINE SALVE( N, RR, LS )  
1960 DIMENSION RK(100)  
1961 LS=0  
1962 NS=0  
1963 DO 1964 J=1,2\*N  
1964 K=RR(J)-U\*2\*PK(I)  
1965 B=K\*RK(J+1); ?=RK(I+1);  
1966 F=PP(T+1); UR(A\*AM+RR(I+1)\*L); U TO 1967  
1967 NS=CU TU 1967  
1968 NS=RY+1  
1969 F(NS,I,E,S) GU TU 1960  
1970 S=1  
1971 CUNTINIE  
1972 RETURN  
1973 END  
1974  
1975 SUBROUTINE SALVE( N, RR, LS )  
1976 DIMENSION RK(100)  
1977 LS=0  
1978 NS=0  
1979 DO 1980 J=1,2\*N  
1980 K=RR(J)-U\*2\*PK(I)  
1981 B=K\*RK(J+1); ?=RK(I+1);  
1982 F=PP(T+1); UR(A\*AM+RR(I+1)\*L); U TO 1983  
1983 NS=CU TU 1983  
1984 NS=RY+1  
1985 F(NS,I,E,S) GU TU 1976  
1986 S=1  
1987 CUNTINIE  
1988 RETURN  
1989 END  
1990  
1991 SUBROUTINE SALVE( N, RR, LS )  
1992 DIMENSION RK(100)  
1993 LS=0  
1994 NS=0  
1995 DO 1996 J=1,2\*N  
1996 K=RR(J)-U\*2\*PK(I)  
1997 B=K\*RK(J+1); ?=RK(I+1);  
1998 F=PP(T+1); UR(A\*AM+RR(I+1)\*L); U TO 1999  
1999 NS=CU TU 1999  
2000 NS=RY+1  
2001 F(NS,I,E,S) GU TU 1992  
2002 S=1  
2003 CUNTINIE  
2004 RETURN  
2005 END  
2006  
2007 SUBROUTINE SALVE( N, RR, LS )  
2008 DIMENSION RK(100)  
2009 LS=0  
2010 NS=0  
2011 DO 2012 J=1,2\*N  
2012 K=RR(J)-U\*2\*PK(I)  
2013 B=K\*RK(J+1); ?=RK(I+1);  
2014 F=PP(T+1); UR(A\*AM+RR(I+1)\*L); U TO 2015  
2015 NS=CU TU 2015  
2016 NS=RY+1  
2017 F(NS,I,E,S) GU TU 2008  
2018 S=1  
2019 CUNTINIE  
2020 RETURN  
2021 END  
2022  
2023 SUBROUTINE SALVE( N, RR, LS )  
2024 DIMENSION RK(100)  
2025 LS=0  
2026 NS=0  
2027 DO 2028 J=1,2\*N  
2028 K=RR(J)-U\*2\*PK(I)  
2029 B=K\*RK(J+1); ?=RK(I+1);  
2030 F=PP(T+1); UR(A\*AM+RR(I+1)\*L); U TO 2031  
2031 NS=CU TU 2031  
2032 NS=RY+1  
2033 F(NS,I,E,S) GU TU 2024  
2034 S=1  
2035 CUNTINIE  
2036 RETURN  
2037 END  
2038  
2039 SUBROUTINE SALVE( N, RR, LS )  
2040 DIMENSION RK(100)  
2041 LS=0  
2042 NS=0  
2043 DO 2044 J=1,2\*N  
2044 K=RR(J)-U\*2\*PK(I)  
2045 B=K\*RK(J+1); ?=RK(I+1);  
2046 F=PP(T+1); UR(A\*AM+RR(I+1)\*L); U TO 2047  
2047 NS=CU TU 2047  
2048 NS=RY+1  
2049 F(NS,I,E,S) GU TU 2040  
2050 S=1  
2051 CUNTINIE  
2052 RETURN  
2053 END  
2054  
2055 SUBROUTINE SALVE( N, RR, LS )  
2056 DIMENSION RK(100)  
2057 LS=0  
2058 NS=0  
2059 DO 2060 J=1,2\*N  
2060 K=RR(J)-U\*2\*PK(I)  
2061 B=K\*RK(J+1); ?=RK(I+1);  
2062 F=PP(T+1); UR(A\*AM+RR(I+1)\*L); U TO 2063  
2063 NS=CU TU 2063  
2064 NS=RY+1  
2065 F(NS,I,E,S) GU TU 2056  
2066 S=1  
2067 CUNTINIE  
2068 RETURN  
2069 END  
2070  
2071 SUBROUTINE SALVE( N, RR, LS )  
2072 DIMENSION RK(100)  
2073 LS=0  
2074 NS=0  
2075 DO 2076 J=1,2\*N  
2076 K=RR(J)-U\*2\*PK(I)  
2077 B=K\*RK(J+1); ?=RK(I+1);  
2078 F=PP(T+1); UR(A\*AM+RR(I+1)\*L); U TO 2079  
2079 NS=CU TU 2079  
2080 NS=RY+1  
2081 F(NS,I,E,S) GU TU 2072  
2082 S=1  
2083 CUNTINIE  
2084 RETURN  
2085 END  
2086  
2087 SUBROUTINE SALVE( N, RR, LS )  
2088 DIMENSION RK(100)  
2089 LS=0  
2090 NS=0  
2091 DO 2092 J=1,2\*N  
2092 K=RR(J)-U\*2\*PK(I)  
2093 B=K\*RK(J+1); ?=RK(I+1);  
2094 F=PP(T+1); UR(A\*AM+RR(I+1)\*L); U TO 2095  
2095 NS=CU TU 2095  
2096 NS=RY+1  
2097 F(NS,I,E,S) GU TU 2088  
2098 S=1  
2099 CUNTINIE  
2100 RETURN  
2101 END  
2102  
2103 SUBROUTINE SALVE( N, RR, LS )  
2104 DIMENSION RK(100)  
2105 LS=0  
2106 NS=0  
2107 DO 2108 J=1,2\*N  
2108 K=RR(J)-U\*2\*PK(I)  
2109 B=K\*RK(J+1); ?=RK(I+1);  
2110 F=PP(T+1); UR(A\*AM+RR(I+1)\*L); U TO 2111  
2111 NS=CU TU 2111  
2112 NS=RY+1  
2113 F(NS,I,E,S) GU TU 2104  
2114 S=1  
2115 CUNTINIE  
2116 RETURN  
2117 END  
2118  
2119 SUBROUTINE SALVE( N, RR, LS )  
2120 DIMENSION RK(100)  
2121 LS=0  
2122 NS=0  
2123 DO 2124 J=1,2\*N  
2124 K=RR(J)-U\*2\*PK(I)  
2125 B=K\*RK(J+1); ?=RK(I+1);  
2126 F=PP(T+1); UR(A\*AM+RR(I+1)\*L); U TO 2127  
2127 NS=CU TU 2127  
2128 NS=RY+1  
2129 F(NS,I,E,S) GU TU 2120  
2130 S=1  
2131 CUNTINIE  
2132 RETURN  
2133 END  
2134  
2135 SUBROUTINE SALVE( N, RR, LS )  
2136 DIMENSION RK(100)  
2137 LS=0  
2138 NS=0  
2139 DO 2140 J=1,2\*N  
2140 K=RR(J)-U\*2\*PK(I)  
2141 B=K\*RK(J+1); ?=RK(I+1);  
2142 F=PP(T+1); UR(A\*AM+RR(I+1)\*L); U TO 2143  
2143 NS=CU TU 2143  
2144 NS=RY+1  
2145 F(NS,I,E,S) GU TU 2136  
2146 S=1  
2147 CUNTINIE  
2148 RETURN  
2149 END  
2150  
2151 SUBROUTINE SALVE( N, RR, LS )  
2152 DIMENSION RK(100)  
2153 LS=0  
2154 NS=0  
2155 DO 2156 J=1,2\*N  
2156 K=RR(J)-U\*2\*PK(I)  
2157 B=K\*RK(J+1); ?=RK(I+1);  
2158 F=PP(T+1); UR(A\*AM+RR(I+1)\*L); U TO 2159  
2159 NS=CU TU 2159  
2160 NS=RY+1  
2161 F(NS,I,E,S) GU TU 2152  
2162 S=1  
2163 CUNTINIE  
2164 RETURN  
2165 END  
2166  
2167 SUBROUTINE SALVE( N, RR, LS )  
2168 DIMENSION RK(100)  
2169 LS=0  
2170 NS=0  
2171 DO 2172 J=1,2\*N  
2172 K=RR(J)-U\*2\*PK(I)  
2173 B=K\*RK(J+1); ?=RK(I+1);  
2174 F=PP(T+1); UR(A\*AM+RR(I+1)\*L); U TO 2175  
2175 NS=CU TU 2175  
2176 NS=RY+1  
2177 F(NS,I,E,S) GU TU 2168  
2178 S=1  
2179 CUNTINIE  
2180 RETURN  
2181 END  
2182  
2183 SUBROUTINE SALVE( N, RR, LS )  
2184 DIMENSION RK(100)  
2185 LS=0  
2186 NS=0  
2187 DO 2188 J=1,2\*N  
2188 K=RR(J)-U\*2\*PK(I)  
2189 B=K\*RK(J+1); ?=RK(I+1);  
2190 F=PP(T+1); UR(A\*AM+RR(I+1)\*L); U TO 2191  
2191 NS=CU TU 2191  
2192 NS=RY+1  
2193 F(NS,I,E,S) GU TU 2184  
2194 S=1  
2195 CUNTINIE  
2196 RETURN  
2197 END  
2198  
2199 SUBROUTINE SALVE( N, RR, LS )  
2200 DIMENSION RK(100)  
2201 LS=0  
2202 NS=0  
2203 DO 2204 J=1,2\*N  
2204 K=RR(J)-U\*2\*PK(I)  
2205 B=K\*RK(J+1); ?=RK(I+1);  
2206 F=PP(T+1); UR(A\*AM+RR(I+1)\*L); U TO 2207  
2207 NS=CU TU 2207  
2208 NS=RY+1  
2209 F(NS,I,E,S) GU TU 2200  
2210 S=1  
2211 CUNTINIE  
2212 RETURN  
2213 END  
2214  
2215 SUBROUTINE SALVE( N, RR, LS )  
2216 DIMENSION RK(100)  
2217 LS=0  
2218 NS=0  
2219 DO 2220 J=1,2\*N  
2220 K=RR(J)-U\*2\*PK(I)  
2221 B=K\*RK(J+1); ?=RK(I+1);  
2222 F=PP(T+1); UR(A\*AM+RR(I+1)\*L); U TO 2223  
2223 NS=CU TU 2223  
2224 NS=RY+1  
2225 F(NS,I,E,S) GU TU 2216  
2226 S=1  
2227 CUNTINIE  
2228 RETURN  
2229 END  
2230  
2231 SUBROUTINE SALVE( N, RR, LS )  
2232 DIMENSION RK(100)  
2233 LS=0  
2234 NS=0  
2235 DO 2236 J=1,2\*N  
2236 K=RR(J)-U\*2\*PK(I)  
2237 B=K\*RK(J+1); ?=RK(I+1);  
2238 F=PP(T+1); UR(A\*AM+RR(I+1)\*L); U TO 2239  
2239 NS=CU TU 2239  
2240 NS=RY+1  
2241 F(NS,I,E,S) GU TU 2232  
2242 S=1  
2243 CUNTINIE  
2244 RETURN  
2245 END  
2246  
2247 SUBROUTINE SALVE( N, RR, LS )  
2248 DIMENSION RK(100)  
2249 LS=0  
2250 NS=0  
2251 DO 2252 J=1,2\*N  
2252 K=RR(J)-U\*2\*PK(I)  
2253 B=K\*RK(J+1); ?=RK(I+1);  
2254 F=PP(T+1); UR(A\*AM+RR(I+1)\*L); U TO 2255  
2255 NS=CU TU 2255  
2256 NS=RY+1  
2257 F(NS,I,E,S) GU TU 2248  
2258 S=1  
2259 CUNTINIE  
2260 RETURN  
2261 END  
2262  
2263 SUBROUTINE SALVE( N, RR, LS )  
2264 DIMENSION RK(100)  
2265 LS=0  
2266 NS=0  
2267 DO 2268 J=1,2\*N  
2268 K=RR(J)-U\*2\*PK(I)  
2269 B=K\*RK(J+1); ?=RK(I+1);  
2270 F=PP(T+1); UR(A\*AM+RR(I+1)\*L); U TO 2271  
2271 NS=CU TU 2271  
2272 NS=RY+1  
2273 F(NS,I,E,S) GU TU 2264  
2274 S=1  
2275 CUNTINIE  
2276 RETURN  
2277 END  
2278  
2279 SUBROUTINE SALVE( N, RR, LS )  
2280 DIMENSION RK(100)  
2281 LS=0  
2282 NS=0  
2283 DO 2284 J=1,2\*N  
2284 K=RR(J)-U\*2\*PK(I)  
2285 B=K\*RK(J+1); ?=RK(I+1);  
2286 F=PP(T+1); UR(A\*AM+RR(I+1)\*L); U TO 2287  
2287 NS=CU TU 2287  
22

СУДРЮТНЕ ВІУТКІЕ (Н.КК. АБДОЛІРГУ)  
СУМЕНСҮН РК(100) № 112  
NB 220  
NB 220  
 $\lambda = (\lambda_{m-1}) / c$

JUB CULYPIKC. AN: 1974  
PELICH LN: 74  
KUN  
STAKIEU

0 \*PATIENT: HADEU PLUMAN<sup>0</sup> VIKSTA: 5<sup>1</sup> ANI DATA: 22 OCTOMBRIE 1974  
FRECVENTIA ATRIALA FAZ: 74:42  
RITM SIMUSAL NORMAL CU  
RITM NORMAL CU FY=71+ +  
OBATAI PREMATURE ARTERIALE  
OBATAI PREMATUKE SURKAVENICULAKE  
OBATAI PREMATUKE VENTRICULAKE

OBLIGURI SA  
OCNUUCERE VENTRICULARA ABECANTA  
\*S1UP\*

JUB CULYPIKC. AN: 1974  
PELICH LN: 74  
KUN  
STAKIEU

6 \*PATIENT: BANNA VLACK VIKSTA: 68 ANI DATA: 12 NOIEMBRIE 1974  
FIBRILATIE ATRIALA  
CRATAI PREMATURE ARTERIALE  
URATAI PREMATUKE SURKAVENICULAKE  
IBATAI PREMATUKE VENTRICULAKE  
ZBLIGURI SA  
OCNUUCERE VENTRICULARA ABECANTA  
\*S1UP\*

THE JOURNAL OF CLIMATE

6. \*PRAE-  
PARETUS  
PRAE-  
PARETUS

卷之三十一

A N E X A 3

PROGRAM FORTRAN DE IDENTIFICARE A RITMUSULUI CARDIAC DE BAZA  
PRIM METODE STATISTICE

This image is a high-contrast, black-and-white scan of a surface. It features a regular, grid-like arrangement of small, dark, irregular shapes. These shapes are likely individual pixels or small clusters of pixels from a digital image. The overall texture is grainy and noisy, resembling a close-up of a television screen or a heavily processed photograph.

41  
42  
43  
44  
45  
46  
47  
48  
49  
50  
51  
52  
53  
54  
55  
56  
57  
58  
59  
60  
61  
62  
63  
64  
65  
66  
67  
68  
69  
70  
71  
72  
73  
74  
75  
76  
77  
78  
79  
80

CALL PASL R1,A2,P2)  
CALL PASL R2,A3,P3)  
CALL PASL R3,A4,P4)  
CALL PASL R4,Y(K),F1,X1,C1,R1,RM1,S1)  
CALL PASL R5,Y(K),F2,X2,C2,R2,RM2,S2)  
CALL PASL R6,Y(K),F3,X3,C3,R3,RM3,S3)  
CALL PASL R7,Y(K),F4,X4,C4,R4,RM4,S4)

41#N1+1  
CALL CORR1(K1,P,PR3,X3)  
CALL CORR1(K2,P2,P4,X4)  
CALL SIGMA(RM1,G1,PR1,R12,G2,PR2,RM3,G3,PR3,RM4,G4,PR4,SUMA)  
CALL PRMAX(J,PR0B,I)  
CALL CDF2(J,PR0A)

TFCL\*EG\*G1,68,T8,25  
CALL MARS(K,K2,K,A,FUM,ARM,DST)  
CALL INITIALE FILTRE .

CALL PRIK7(K,PR1,PR2,PR3,PR4,VIK);FVN,AFVN,DST)

CALL PASL7(I,P1,C1,G1,K1)  
CALL PASL7(I,P2,C2,G2,K2)  
CALL PASL7(I,P3,C3,G3,K3)  
CALL PASL7(I,P4,C4,G4,K4),  
CALL PASL8(I,X1,K1,RM1)  
CALL PASL8(I,X2,K2,RM2)  
CALL PASL8(I,X3,K3,RM3)  
CALL PASL8(I,X4,K4,RM4)  
CALL PASL8(I,P1,K1,C1)  
CALL PASL8(I,P2,K2,C2)  
CALL PASL8(I,P3,K3,C3)  
CALL PASL8(I,P4,K4,C4),  
#K4  
7E(K4L2\*23)66102  
7F#EXACT•5)667545  
7G#CTE(1C2,3E1,FV,N,CS  
35#PAT(45,23CE,02,141147X,211111)  
7H#T#SE  
46#PAT(45,23CE,02,141147X,211111)  
7I#T#SE  
47#PAT(45,23CE,02,141147X,211111)

TURBOPMS 11/05/81 17.034019

## SUPERUTLICE INITIAZARE CUMEN/CSF/R1

11/05/81 17.34.28

SUPERAUTOMAT PARALLEL 3 (M, X, A)  
 DIMENSION X(N), A(M, N), Z(3)  
 D9 1 I=1,M  
 $Z(I)=C_0$   
 $\sum_{j=1}^N Z(I,j) = Z(I,I)$   
 $Z(I,I) = A(I,I) - \sum_{j \neq I} Z(I,j)$   
 D9 2 I=1,M  
 $X(I)=Z(I,I)$   
 D9 3 I=1,M  
 $Z(I,I) = A(I,I) - \sum_{j \neq I} Z(I,j)$   
 D9 4 I=1,M  
 $X(I)=Z(I,I)$

```
SUBROUTINE PARUL (M,N,P)
DIMENSION A(M,M),C(M,M),X(M,M)
      1 I=1,M
      2 J=1,M
      3 C=0.
      4 Z(I,J)=Z(I,J)+A(I,K)*F(K,J)
      5 I=1,M
      6 J=1,M
      7 F(I,J)=C
      8 K=1,M
      9 Z(I,J)=F(I,J)+7(I,K)*A(J,K)
     10 RETURN
     11 END
     12 M=4567891011121314
     13
     14
```

IRCRIPS 11/05/81 17.34.49

```
SUBROUTINE PARUL (M,N,P,X,C,ARM,CM)
DIMENSION P(M,M),C(M,M),X(M,M),Z(M,M)
      1 R=0.
      2 I=1,M
      3 R=C*I*X(I,I)
      4 Z(I,I)=R
      5 K=1,M
      6 Z(I,I)=Z(I,I)+C(K)*P(I,K)
      7 C=R
      8 I=1,M
      9 R=C+Z(I,I)*C(I,I)
     10 CM=A3S(Z,I,I)
     11 RETURN
     12 END
     13
     14
```

123456789101112131415

IRCRIPS 11/05/81 17.34.55

```

SUBROUTINE C07 1 (NR,FR,X)
DIMENSION X(11)
IF (N>5) G2 T3 P
RETURN
2 IF (N>EG*3) G6 T8 3
3 D=ABS(X(2)-X(1))/MAX(X(1),X(2))
IF (D>L*0.1) F=0.2
IF (D>0.1 AND D<0.3) F=4*D-0.2
IF (D>0.3) F=1.
PR=FR*F
RETURN
5 E=(ABS(X(1)-X(2))+ABS(X(2)-X(3))+ABS(X(3)-X(1)))/
E/AMAX(X(1),X(2),X(3))
IF (E>LE*0.5) F=0.2
IF (E>0.5 AND E<1.0) F=8.0/7.0+F-17.0/15.0
IF (E>1.0) F=1.
FR=FR*F
RETURN
END

```

1 2 3 4 5 6 7 8 9 10 11 12 13  
14 15 16 17 18 19

- 160 -

1 IRCDAPMS 11/05/81 17.35.02

```

SUBROUTINE SIGMA (RM1,E1,PR1,RM2,E2,PR2,RM3,E3,PR3,RM4,E4,PR4,SUMA)
DATA PI,E1,E2,F3,E4/3.14159,2*PI,5,1.015/
Y1=1.0/((2*PI)*E1+SGRT(A3S(G1))) *EXP(-G1*RM1)
Y2=1.0/((2*PI)*E2+SGRT(A3S(G2))) *EXP(-G2*RM2)
Y3=1.0/((2*PI)*E1+SGRT(A3S(G3))) *EXP(-G3*RM3)
Y4=1.0/((2*PI)*E1+SGRT(A3S(G4))) *EXP(-G4*RM4)
SUMA=Y1*PR1+Y2*PR2+Y3*PR3+Y4*PR4
PR1=Y1*PR1/SUMA
PR2=Y2*PR2/SUMA
PR3=Y3*PR3/SUMA
PR4=Y4*PR4/SUMA
RETURN
END

```

1 2 3 4 5 6 7 8 9 10 11 12 13

1 IRCDAPMS 11/05/81 17.35.08

SUBROUTINE PRIMAX(I,J,PRAB,L)  
COMMON /PRIM/PR(4),CK(4)  
IF((PR02=PR(I,J)).LT.0.90)\>G0 TA 12  
L=1  
PR02=-1.  
12 D9 1 I=1,4  
IF(PR02.GE.PR(I)) G9 T9 1  
PR02=PR(I)  
13  
14 C9,TINLE  
15 IF(PR02.LT.0.8) RETURN  
16 IF(RK(J)\*\*2/(2\*CK(J)).LE.0.20) RETURN  
17 RETRN.  
END.  
18  
19  
20  
21  
22  
23  
24  
25  
26  
27

IRCDAPMS 11/5/81 17:35:13

SUBROUTINE CORP(I,PR02)  
COMMON /PRIM/PR(4)  
IF(PR02.LT.0.97) RETURN  
D9 1 I=1,4  
PR(1)=0.01  
PR(2)=0.57  
RETRN  
END  
1  
2  
3  
4  
5  
6  
7  
8

IRCDAPMS 11/5/81 17:35:13

SUBROUTINE PASUL7(M,FA,C,B)  
DIMENSION P(X,M),C(M),B(M)  
I1=1,6  
D9 1 I=1,6  
C(I)=C  
D9 1 M=1,6  
C(I)=C(I)+P(I,J)\*C(J)\*01  
END  
1  
2  
3  
4  
5  
6  
7  
8

SUBROUTINE PASUL 3 (M,X,3,RW)  
DIMENSION X(M),3(3)  
1 X(I)=X(I)+2\*(I)\*RW  
RETURN  
END

SUBROUTINE PASUL 3 (M,P,3,C)  
DIMENSION P(M,M),C(M),V(2,2),7(3,3)  
1 Y(I,J)=C\*  
1 Y(I,J)=Y(I,J)+P(I)\*C(J)  
1 P 2 I=1,M  
1 P 2 J=1,P  
1 P 2 K=1,M  
2 Z(I,J)=Z(I,J)+Y(I,K)\*P(K,J)  
2 P 2 I=1,M  
2 P 2 J=1,P  
3 P(I,J)=P(I,J)-Z(I,J)  
END

SUBROUTINE MADS(K,KB,KA,FV,AR,DS)  
COMMON /TIPAR/Y(20),  
KB=KB+1  
KA=KA+1  
AR=0.  
DS=0.  
KC=K-KD  
KD=KD+1  
25 AR=AR+Y(I)\*u  
AR=AR/KC  
FV=60000/AR  
25 I=KD+1  
35 DS=DS+(Y(I)\*u-AR)\*2  
DS=DS/(CS/KC)  
KB=K-KD  
RETURN  
END

1 2 3 4 5 6 1 2 3 4 5 6 7 8 9  
1 1 2 1 3 1 4 1 5 1 6

1 2 3 4 5 6 7 8 9 1 0  
1 1 2 1 3 1 4 1 5 1 6  
1 7 1 8

PROBABILITATE APOSTERIORI PENTRU VARIANȚI MICII

TABLE

卷之三

**"PROBABILITÀ" \* RITM \* MEDIABEST \* LEGENDA**

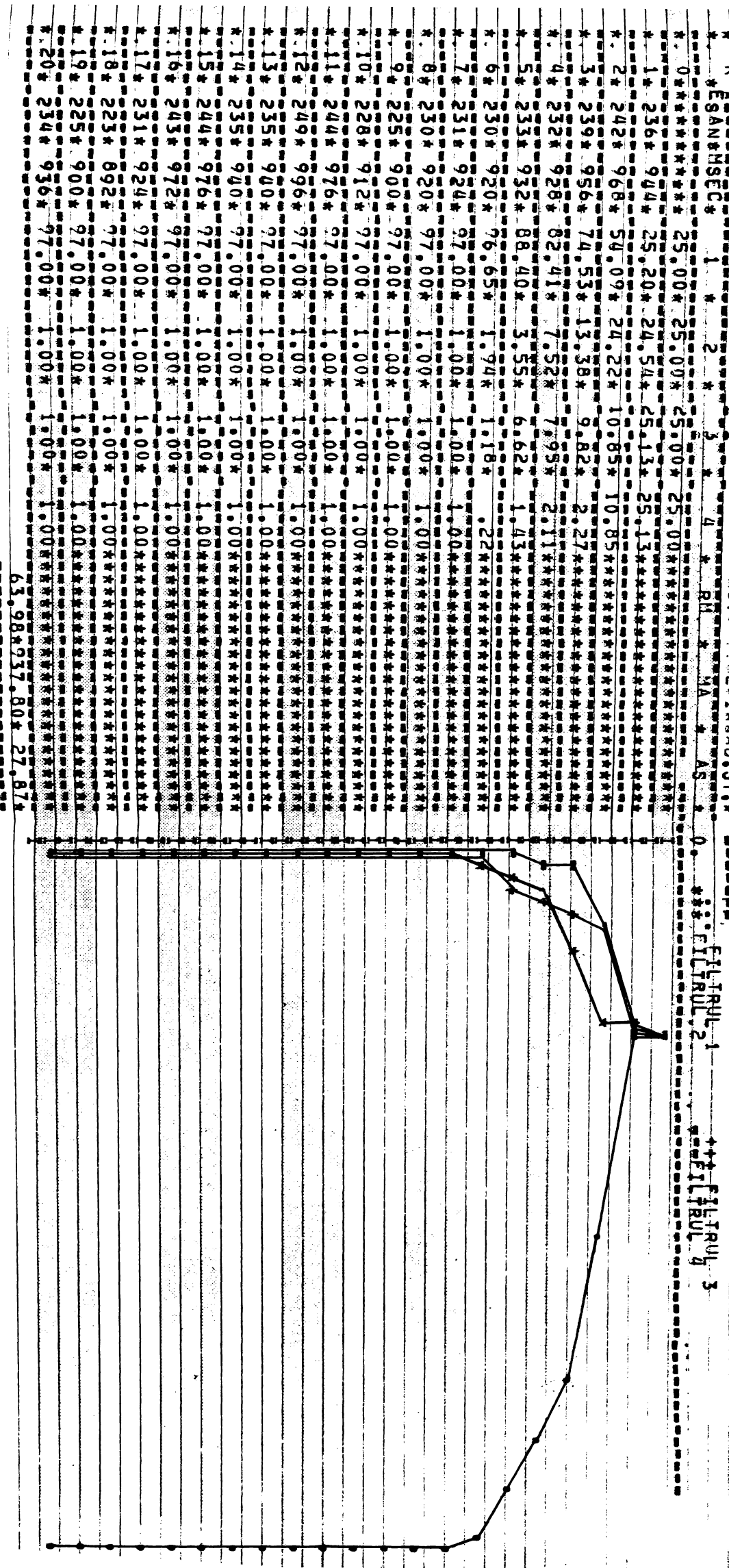
1

卷之三

4 \* RUMA \* AS 10 \* FILTER 2

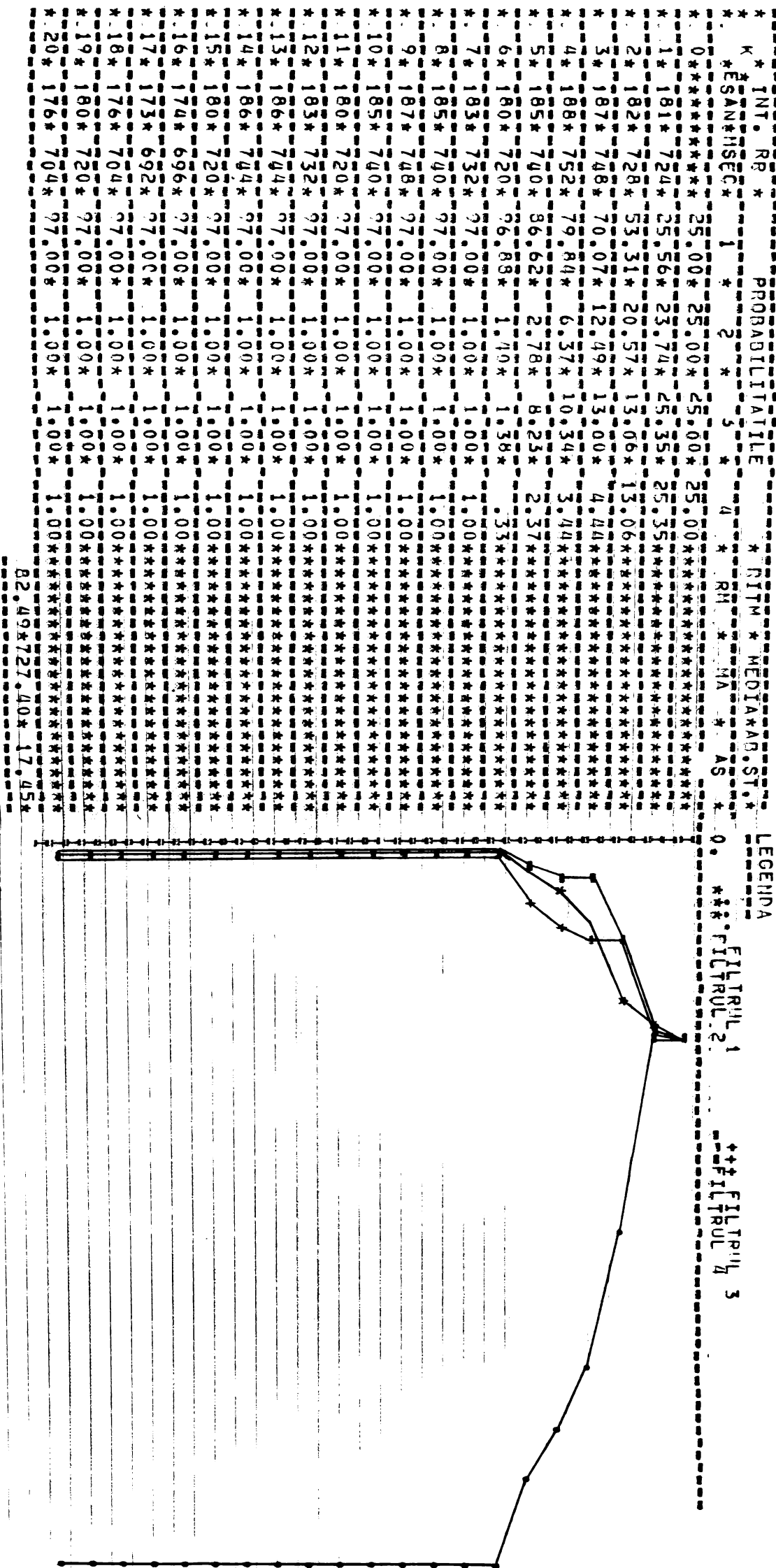
1

1



T A B E L  
I.I. PROBABILITATELE APOSTERIORII PENTRU VARIATII MICI

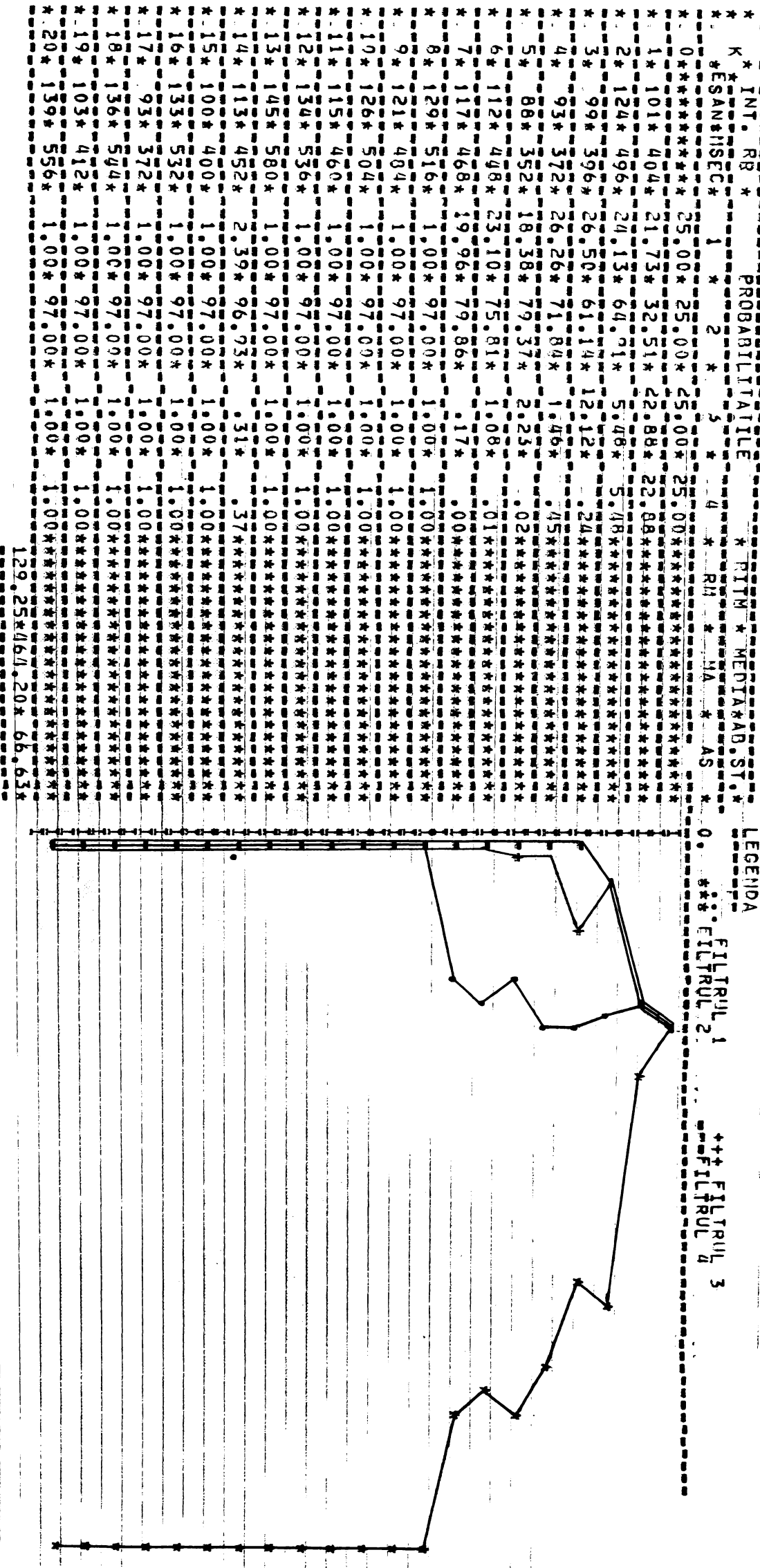
GRAPHIC



SII. PROBABILITATELE APOSTERIORII PENIRU VARIATII MARII

TAREL

GERALD



— 166 —

IV. PROBABILITATILE APOSTERIORII PENTRU RITM BIGEMIN

T A B L

G R A F I C

L E G E N D A

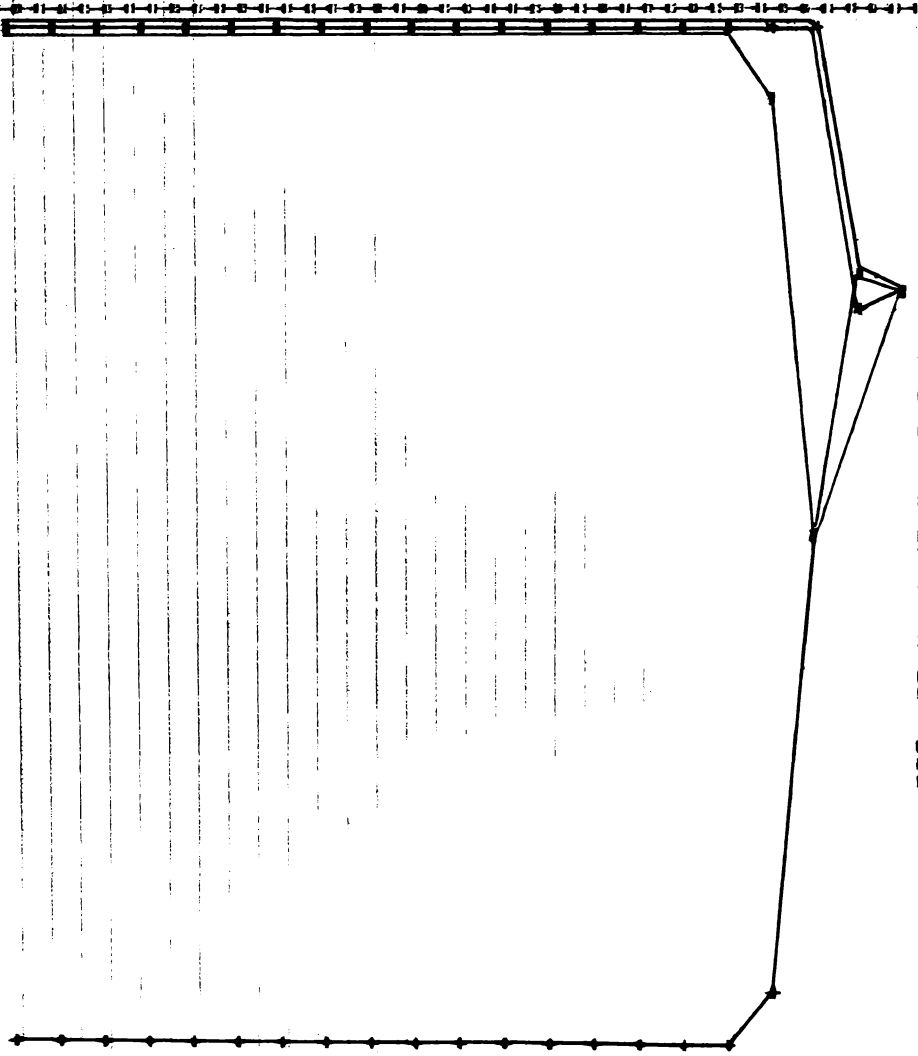
F I L T R U L 1

F I L T R U L 2

F I L T R U L 3

F I L T R U L 4

K * INT. RR *	PROBABILITATELE	RITM	MEDIA	AB. STD.	LEGENDA
* RESAN+MSEC *	1 * 2 * 3 * 4 *	R.M.	M.A.	A.S.	0. *** FILTRUL 1
* 0 * * * * * * * * 25.00 *	25.00 *	25.00 *	25.00 *	25.00 *	*** FILTRUL 2
* 1 * 133 * 532 * 23.92 *	27.37 *	24.35 *	24.35 *	24.35 *	*** FILTRUL 3
* 2 * 261 * 1044 *	0.00 *	0.03 *	49.99 *	49.99 *	*** FILTRUL 4
* 3 * 128 * 512 *	0.00 *	0.00 *	41.71 *	8.29 *	
* 4 * 275 * 1100 *	1.00 *	1.00 *	97.00 *	1.00 *	
* 5 * 132 * 528 *	1.00 *	1.00 *	97.00 *	1.00 *	
* 6 * 274 * 1096 *	1.00 *	1.00 *	97.00 *	1.00 *	
* 7 * 133 * 532 *	1.00 *	1.00 *	97.00 *	1.00 *	
* 8 * 266 * 1064 *	1.00 *	1.00 *	97.00 *	1.00 *	
* 9 * 132 * 528 *	1.00 *	1.00 *	97.00 *	1.00 *	
* 10 * 263 * 1052 *	1.00 *	1.00 *	97.00 *	1.00 *	
* 11 * 127 * 508 *	1.00 *	1.00 *	97.00 *	1.00 *	
* 12 * 281 * 1124 *	1.00 *	1.00 *	97.00 *	1.00 *	
* 13 * 133 * 532 *	1.00 *	1.00 *	97.00 *	1.00 *	
* 14 * 277 * 1108 *	1.00 *	1.00 *	97.00 *	1.00 *	
* 15 * 136 * 504 *	1.00 *	1.00 *	97.00 *	1.00 *	
* 16 * 281 * 1124 *	1.00 *	1.00 *	97.00 *	1.00 *	
* 17 * 139 * 556 *	1.00 *	1.00 *	97.00 *	1.00 *	
* 18 * 277 * 1108 *	1.00 *	1.00 *	97.00 *	1.00 *	
* 19 * 133 * 532 *	1.00 *	1.00 *	97.00 *	1.00 *	
* 20 * 282 * 1128 *	1.00 *	1.00 *	97.00 *	1.00 *	
					73.64 * 812.60 * 283.11 *



V. PROBABILITATE APPOSTERIORII PENTRU RITM TRIGEMIN

T A B E L

—

G R A F I C

L E G E N D A

F I L T R U L 1

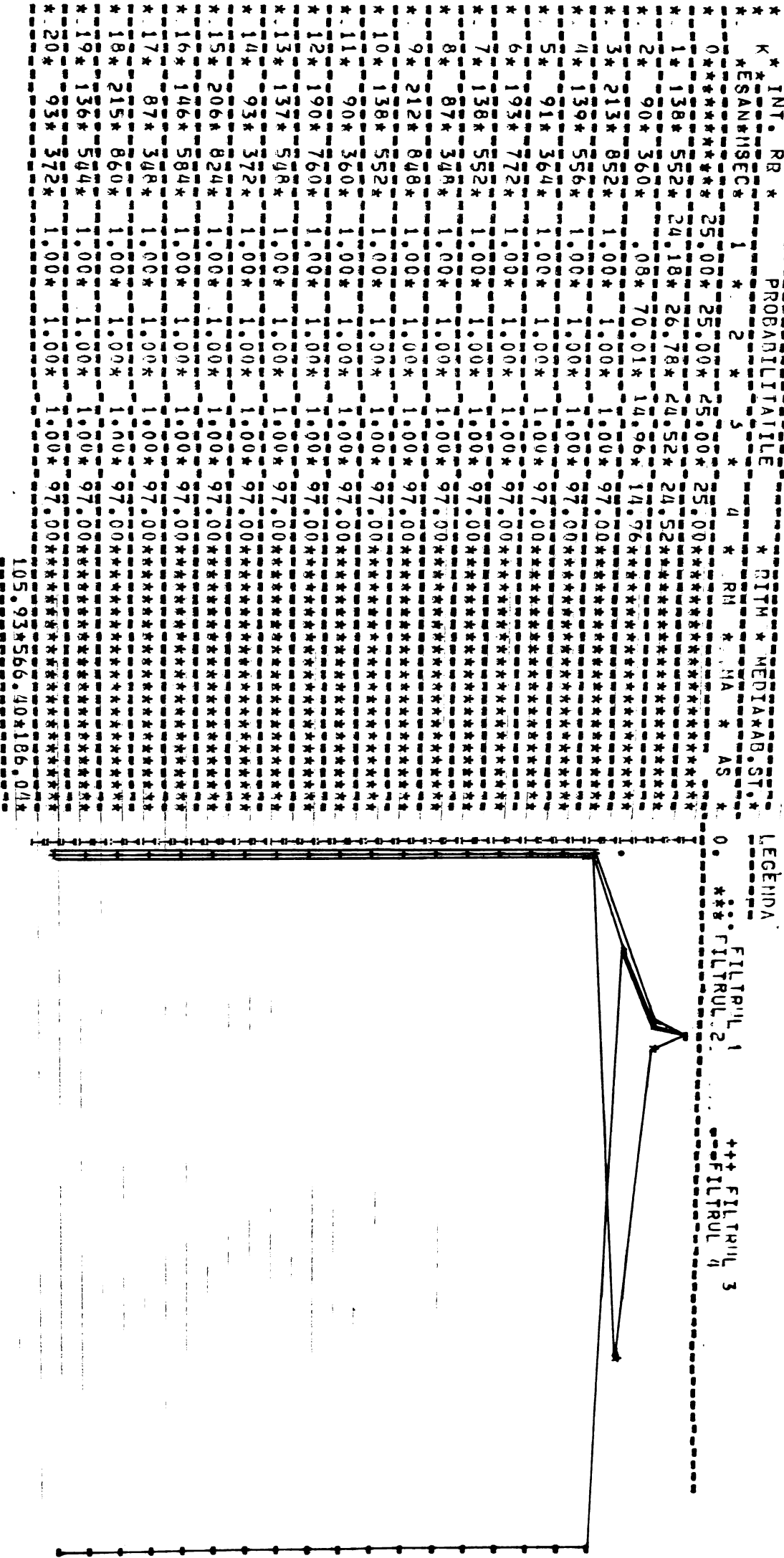
F I L T R U L 3

F I L T R U L 2

—

—

—



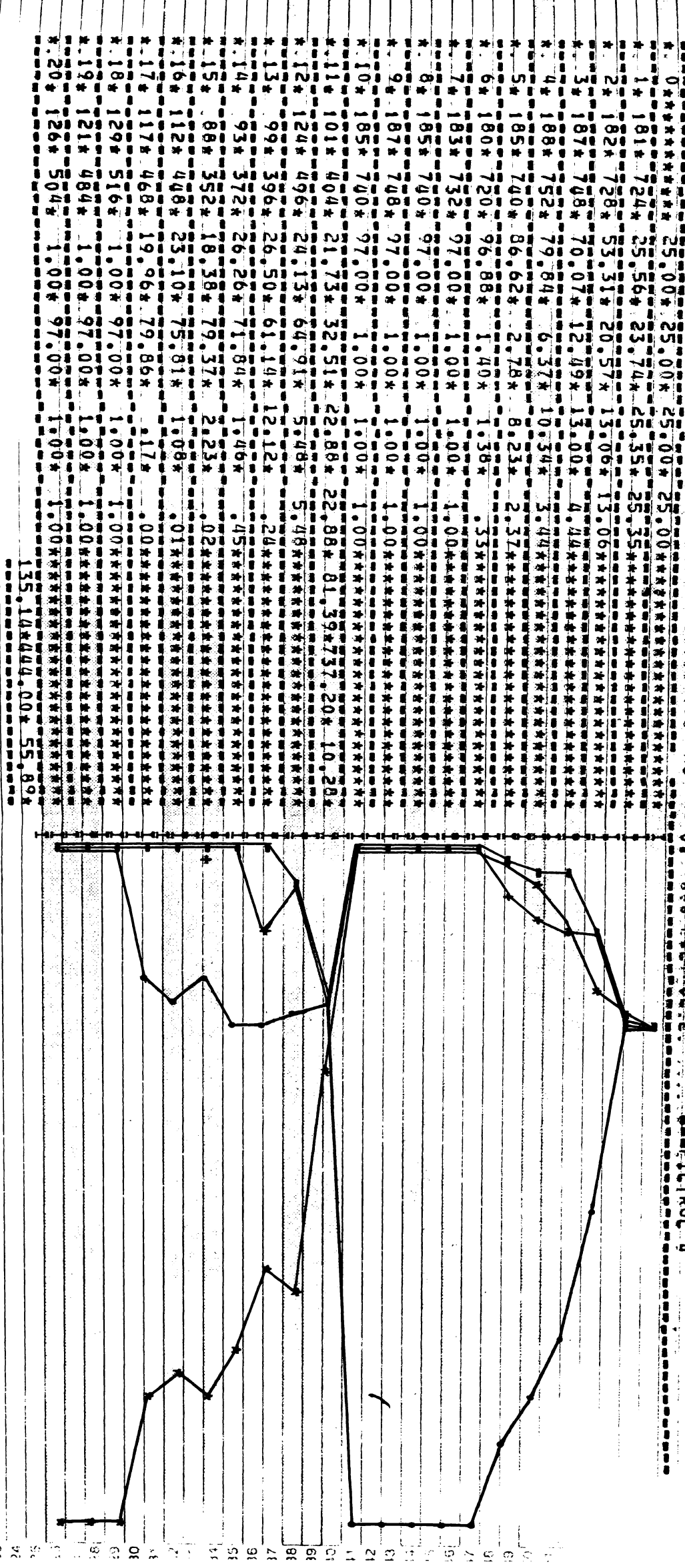
VI. PROBABILITATE APOSTERIORI PENIBU VARIATII MICI SI VARIATII MARII

TABEL

GRAFIC

INT. RR \* PROBABILITATE RITM \* MEDIA \* ABS. ST. LEGENDA

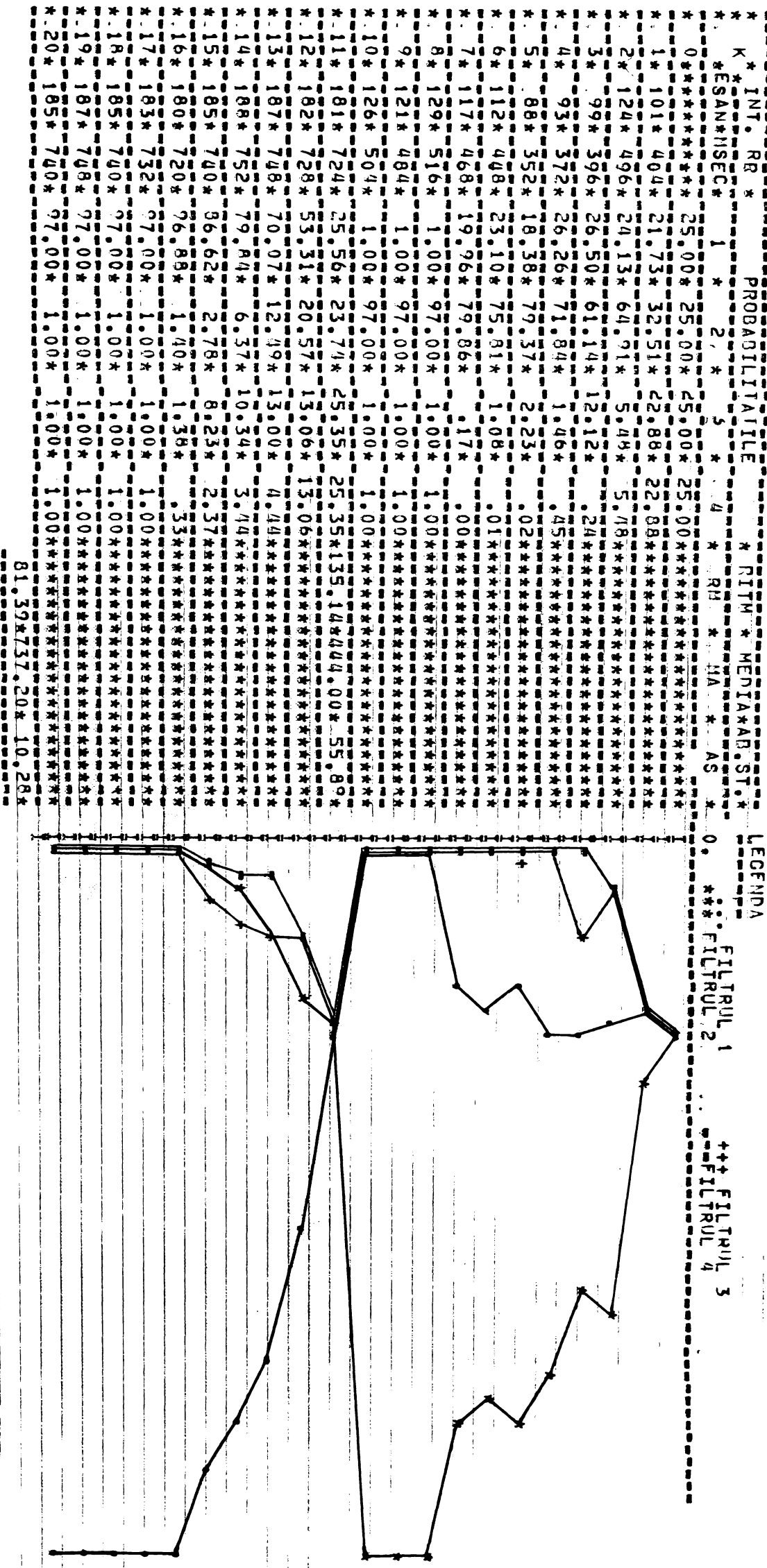
K \* SEC 1 \* 2 \* 3 \* 4 \* RM \* MA \* AS \* 0 \* 60 \* ELETRUL 2 \* 44 \* ELETRUL 3



VII. PROBABILITATE & APOST&RIORII PENIRU VARIATI MARI SI VARIATII MICI

TABEL

GRAPHIC



VIII. PROBABILITATILE APOSTERIORII PENTRU VARIATII MICI SI RITM BIGEMIN

T A B E L

C R A F I C

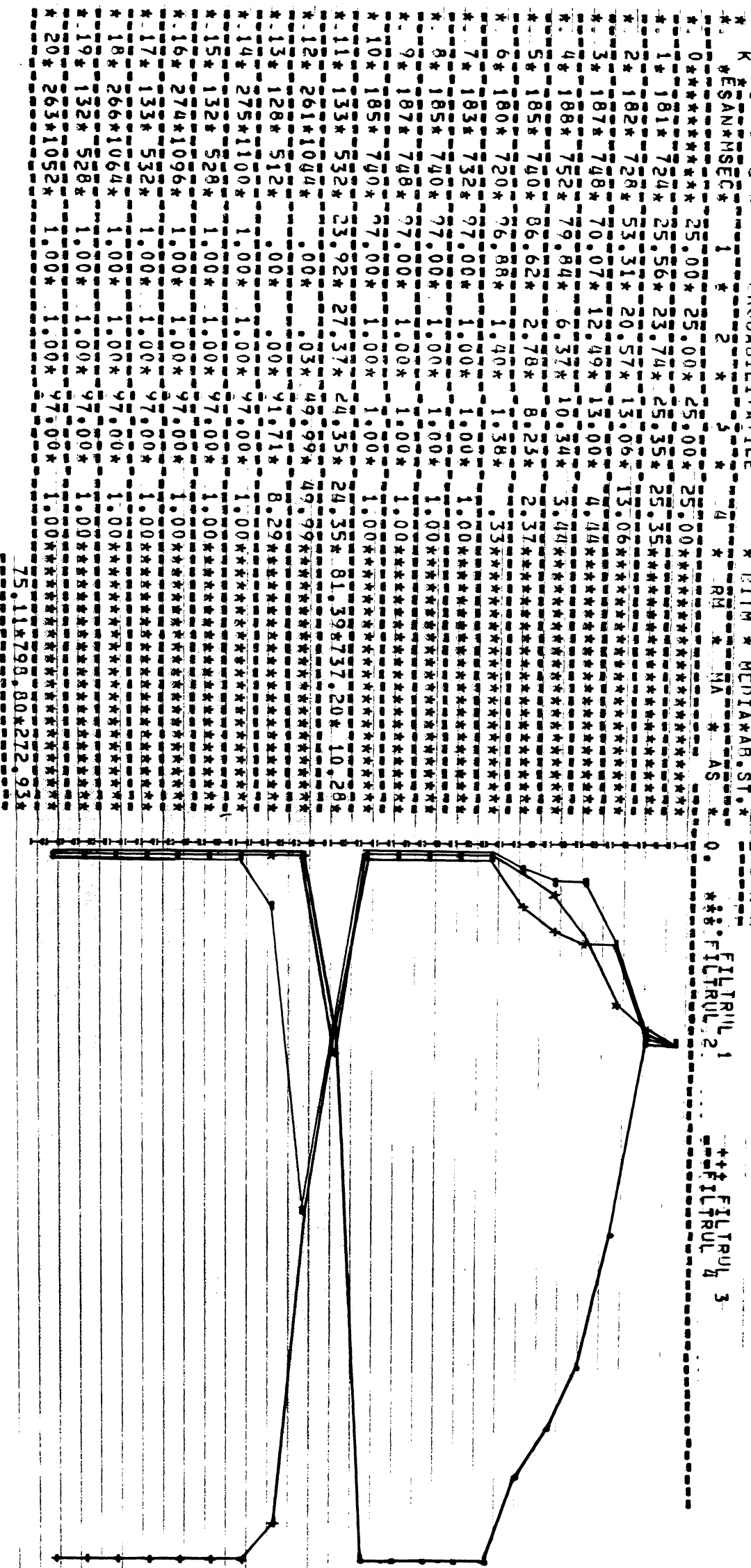
## LEGENDA

FILTRUL 1

FILTRUL 2

FILTRUL 3

FILTRUL 4



**IX. PROBABILITATELE APOSTERIORII PENTRU RITM-BIGEMIN SI VARIATII MICI.**

K \* INT. RB \* PROBABILITATE RITH. MEDIA ABST. ST. FILTRUL 1 FILTRUL 2 FILTRUL 3 FILTRUL 4

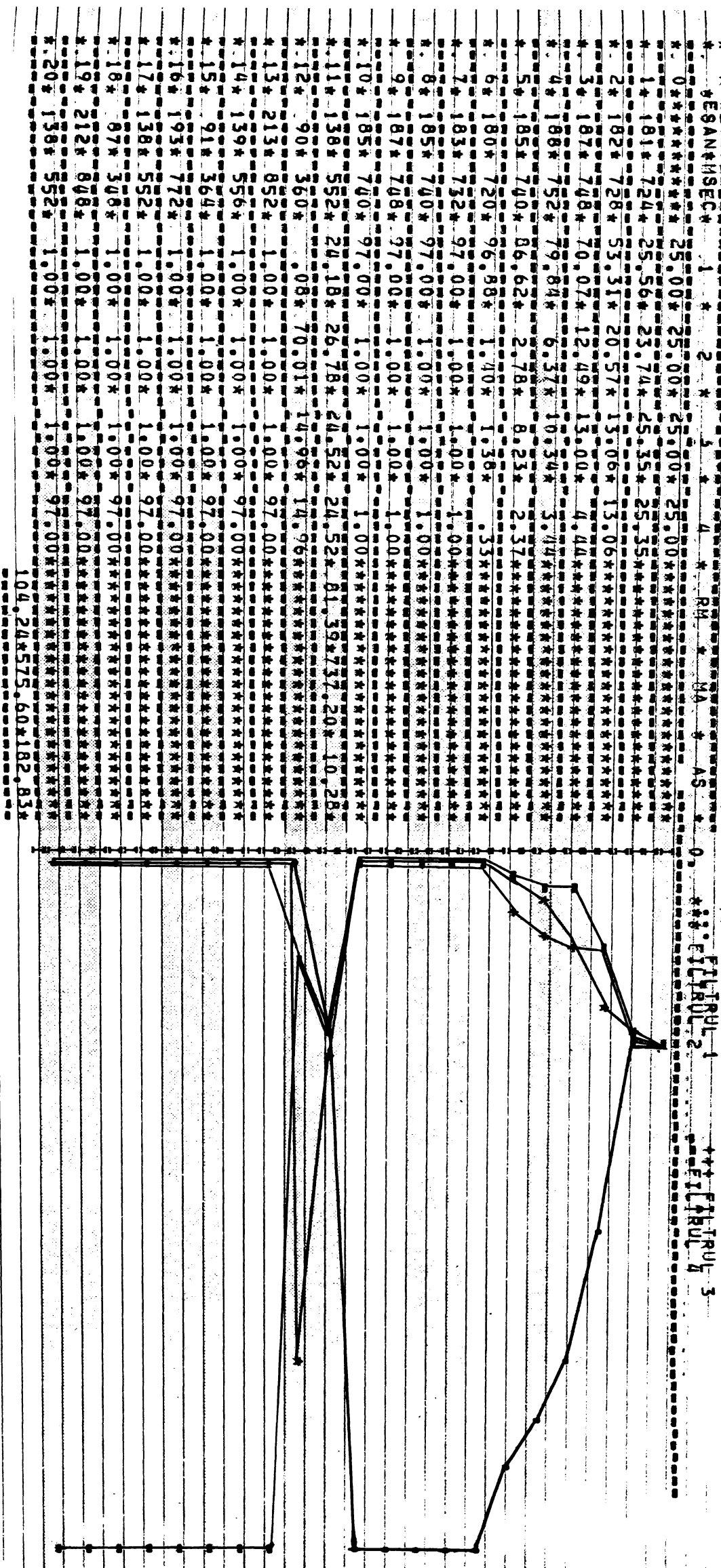
\* \* ESAN & SEC \* 1 \* 2 \* 3 \* 4 \* RH \* MA \* AS \* 0.

INT. RB	Filtrul 1	Filtrul 2	Filtrul 3	Filtrul 4
0	0.0	0.0	0.0	0.0
2	0.5	0.5	0.5	0.5
4	1.0	1.0	1.0	1.0
6	1.5	1.5	1.5	1.5
8	2.0	2.0	2.0	2.0
10	8.5	7.5	6.5	5.5
12	2.0	2.0	2.0	2.0
14	1.5	1.5	1.5	1.5
16	0.5	0.5	0.5	0.5
18	0.0	0.0	0.0	0.0
20	0.0	0.0	0.0	0.0

X.  
PROBABILIALE APOSTERIORI. SEMIRU. VARIATI. MCL. SI. RITH. TRIGEMIN.

## PROBABILITÄTEN + RISIKO + MEDIENARTEN LEGENDA

G R A - 2 C



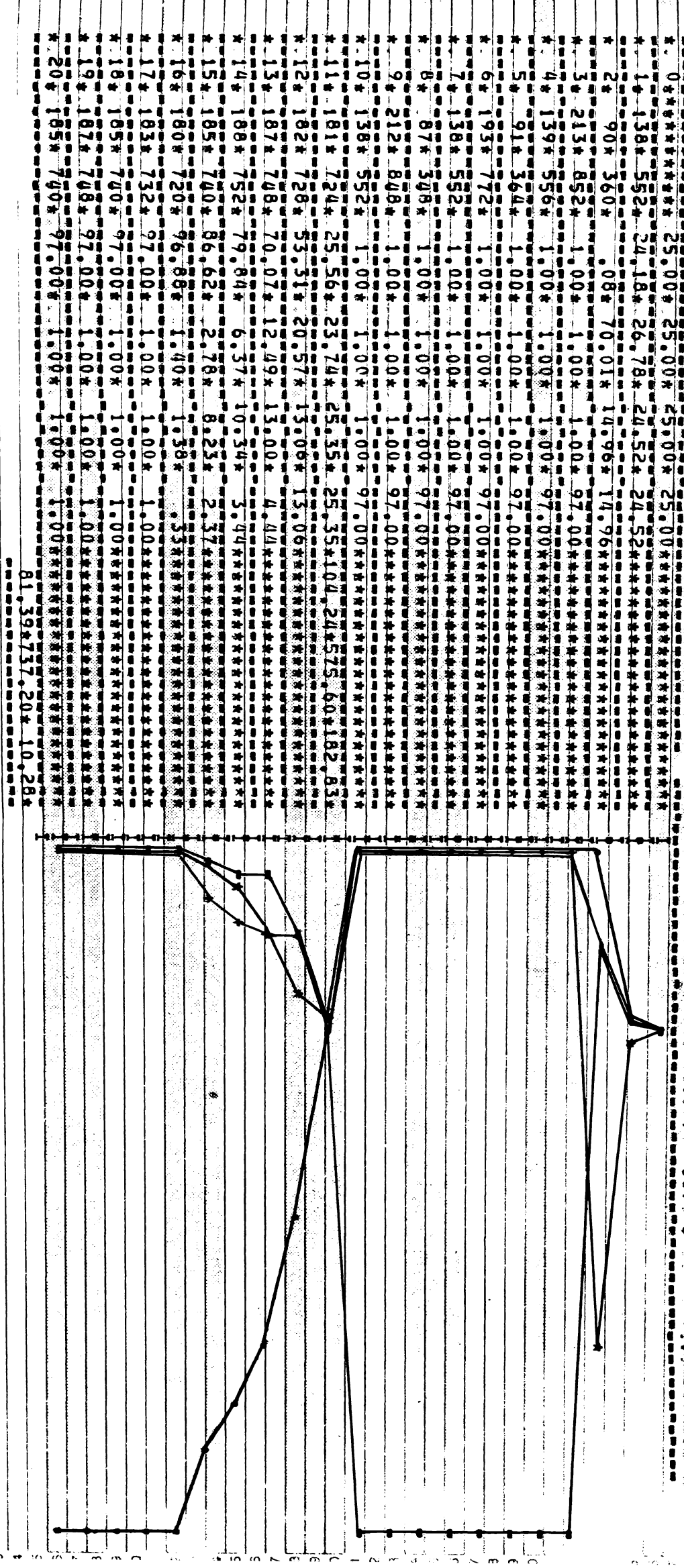
XI. PROBABILITATE APOSTERIORII PENTRU RIM-TRIGEMIN SI VARIABILI MICI

T A B E L

O R A F I C

## LEGENDA

\* INT. RB \* PROBABILITATE \* RTM \* MEDIA\*BEST\* \* FILTRU-1 \* FILTRU-2 \* FILTRU-3 \* FILTRU-4



B I B L I O G R A F I E

1. Ahmed N., s.a., "Electrocardiographic Data Compression Via Orthogonal Transforms", IEEE Transactions on Biomedical Engineering, november 1975, p.484-487.
2. Alexiu Ion, s.a., "Circuite cu semiconductoare în industrie. Aparate de măsurat", Editura tehnică, Bucureşti, 1970.
3. Antila K., s.a., "An off-line Technique for statistical heart-rate analysis", Symposium Data Processing in Electrocardiology, Helsinki, 1976 p.17-20.
4. Ary I.P., "A Head-Mounted 24 - Channel Evoked Potential Freamplifier Employing Low-Noise Operational Amplifiers", IEEE Transactions on Biomedical Engineering, may 1977, p.293-297.
5. Beeler W. George and Bleil T. Bruce, "Long-Term Free Ranging Recording Using Data Integral to Pulse Frequency Signal", IEEE Transactions on Biomedical Engineering, may 1974, p.245-246.
6. Benda D., "Electronische Patientenüberwachung", Elektronik, Heft 10, 1971, p.349-354.
7. Benda D., "Electronische Patientenüberwachung", Elektronik, Heft 11, 1971, p.389-394.
8. Benda D., "Electronische Patientenüberwachung", Elektronik, Heft 12, 1971, p.427-432.
9. Bertolccini M., s.a., "A Nonlinear Filtering Technique for the Identification of Biological Signals", IEEE Transactions on Biomedical Engineering, march 1973, p.159-165.
10. Bonner E Raymond and Schwetman D. Herbert, "Computer Diagnosis of Electrocardiograms III. A Computer Program for Arrhythmia Diagnosis", Computers and Biomedical Research 1, 1968,

p.387-407.

11. Brandon C.W., "A hardware trigger for temporal indexing of the Electrocardiographic signal", Computers and Biomedical Research 3, 1970, p.47-57.
12. Brown J.H.U., "The Biomedical Engineer and the Health care System", IEEE Transactions on Biomedical Engineering, march 1975, p.95-100.
13. Bulucea C. ș.a., "Circuite Integrate liniare", Editura tehnica, București, 1975.
14. Bünau H.V., ș.a., "Enregistrement ECG pour interpretation au moyen de Calculateurs digitaux", Electromedica 3/1969, p.82-85.
15. Ciocloa Gh., "Analizor al ritmului cardiac", Lucrări științifice comunicate la Sesiunea din cadrul Festivalului Cîntarea României. Seria electro-tehnică vol.2, Inst.Pol."Traian Vuia", Timișoara 1977, p.215-220.
16. Ciocloa Gh., "Sistem cu precizie ridicată în recunoașterea complexului QRS din unda ECG", Lucrări științifice comunicate la Sesiunea din cadrul Festivalului Cîntarea României. Seria electro-tehnică, vol.2, Inst.Pol. "Traian Vuia", Timișoara, 1977, p.221-223.
17. Ciocloa Gh., "Metode de măsurare a biopotențialelor". Referat susținut în cadrul pregătirii de doctorat, în fața Catedrei de Electronică a facultății de Electrotehnică.Timișoara, februarie 1977.
18. Ciocloa Gh., "Prelucrarea potențialelor bioelectric". Referat susținut în cadrul cîmpiei de doctorat în fața catedrei de Electronică a facultății de Electrotehnică.Timișoara, aprilie 1977.
19. Ciocloa Gh. și Orha I., "Aparat pentru analize ritmului

cardiac", Lucrările simpozionului: Contribu-  
ții în dezvoltarea aparaturii electronice me-  
dicale. Inst.Pol. "Traian Vuia", Timișoara  
1978, p.72-77.

20. Ciocloa Gh. și Policec A, "Aparat pentru obținerea unui impuls întîrziat reglabil față de complexul QRS din unda ECG", Lucrările simpozionului: Contribuții în dezvoltarea aparaturii elec-  
tronice medicale. Inst.Pol."Traian Vuia", Timi-  
șoara,1978, p.156-159.
21. Ciocloa Gh., Policec A, și Saus N, "Cardiotahometru analogic cu urmărire rapidă a pulsului", Lu-  
crările simpozionului:Contribuții în dezvol-  
tarea aparaturii electronice medicale. Inst.  
Pol."Traian Vuia", Timișoara,1978,p.89-92.
22. Ciocloa Gh., "Convertor A/N și multiplexor pentru bio-  
potențiale", Lucrările simpozionului. Contri-  
buții în dezvoltarea aparaturii electronice  
medicale. Inst.Pol."Traian Vuia", Timișoara  
1978, p.93-98.
23. Ciocloa Gh., "Metodă de analiză automată a electrocar-  
diogramelor", Lucrările simpozionului:Contri-  
buții în dezvoltarea aparaturii electronice  
medicale.Inst.Pol."Traian Vuia" , Timișoara  
1978, p.243-247.
24. Ciocloa Gh., "Algoritm pentru analiza aritmilor", Se-  
siunea de comunicări științifice de Electro-  
nică aplicată.Inst.Pol."Traian Vuia", Timi-  
șoara 1979.
25. Ciocloa Gh., Kovacs Bela, Sisu Vasile,"Sistem hibrid  
pentru analiza aritmilor", Seciunea de comu-  
nicări științifice de Electronică aplicată.  
Inst.Pol."Traian Vuia", Timisoara 1979.
26. Ciocloa Gh., "Analizor pentru biopotențialele mușchii-  
lor scheletici", Sesiunea de comunicări știin-

șifice de Electronică aplicată. Inst. Pol.  
"Traian Vuia" Timișoara, 1979.

27. Ciocloa Gh., "Analiza spectrală numerică a undei ECG", Sesiunea de comunicări științifice de Electronică aplicată. Inst. Pol. "Traian Vuia" Timișoara, 1979.
28. Ciocloa Gh., "Algoritm pentru măsurarea parametrilor undei ECG cu ajutorul calculatorului numeric". Sesiunea de comunicări științifice de Electronică aplicată. Inst. Pol. "Traian Vuia" Timișoara, 1979.
29. Ciocloa Gh., Branea I., "Analiza tulburărilor ritmului cardiac cu ajutorul calculatorului numeric" Al 6-lea Simpozion de Informatică și conducere, Cluj-Napoca, 26-28 mai 1980.
30. Stanciu L., Branea I., Ciocloa Gh., Popescu V. "Metode noi în diagnosticul bolilor cardiovasculare prin mijloace electronice", Lucrările celui de-al doilea Simpozion : "Contribuții la dezvoltarea aparaturii electronice medicale", Timișoara, 5-6 sept. 1980.
31. Ciocloa Gh., "Identificarea ritmului cardiac de bază prim metode statistice", Lucrările celui de-al doilea simpozion "Contribuții la dezvoltarea aparaturii electronice medicale", Timisoara 5-6 sept. 1980.
32. Ciocloa Gh., Măruță D., Branea I., "Inregistrator portabil al ritmului cardiac", Lucrările celui de-al doilea simpozion "Contribuții la dezvoltarea aparaturii electronice medicale", Timișoara 5-6 sept. 1980.
33. Ciocloa Gh., "Preprocesarea analogică a undei ECG", Lucrările celui de-al doilea simpozion "Contribuții la dezvoltarea aparaturii electronice medicale", Timisoara 5-6 sept. 1980.

34. Ciocloa Gh., Branea I."Un nou algoritm de interpretare automată a electrocardiogramelor", Al 7-lea Simpozion de Informatică și Conducere , Cluj-Napoca, mai 1981.
35. Cobbald Richard,"Transducers for biomedical Measurements: Principles of Applications", Institute of Biomedical Engineering University of Toronto, Canada, 1974.
36. Constantin Luca,"pH-ul și aplicațiile lui", Editura Tehnică, București, 1964.
37. Crystal H Thomas and Kershman Leonard", The Design and Applications of Digital Filters with Complex coefficients", IEEE Transactions on Audio and Electroacustics, vol.Au 16, Nr.3, sept.1968,p.303-314.
38. Darius S. și Tudorache R., "Aspecte fundamentale ale securității echipamentului electric utilizat în practica medicală", Lucrările simpozionului:Contribuții în dezvoltarea aparaturii electronice medicale, Inst. Pol."Traian Vuia", Timișoara, 1978, p.37-41.
39. Dell'Osso F. Louis,"An arrhythmia - Anomalous Beat Monitoring System", IEEE Transactions on Biomedical Engineering, Nr.1, 1973, p.43-50.
- 40.Dobkin C. Robert, Low Drift amplifiers", National Semiconductor Corp, Linear Applications, LB 22, June 1973.
41. Dobkin C.Robert,"Op Amp Circuit Collection", National Semiconductor Corp, Linear Applications, AN 31, february 1970.
42. Dobkin C.Robert," Instrumentation Amplifier", National Semiconductor Corp, Linear Applications,

LB1, march 1969.

43. Dobkin C. Robert, "High Q Notch Filter", National Semiconductor Corp, Linear Applications, LB5, march 1969.
44. Dorofejewa S.S., s.a., "L'essai Clinique du Système Sicord pour L'interprétation automatique de L'ECG", Electromedica 4/1975, p.113-116.
45. Dvorak T. und Schmid C., "Ein Cardiotachometer zur Kontinuierlichen Erfassung der Herzrate", Elektronik, Heft 9, 1975, p.100-102.
46. Dymond A.M. "Characteristics of the Metal-Tissue Interface of Stimulation Electrodes", IEEE Transactions on Biomedical Engineering, July 1976, P. 274 - 280.
47. Eykhoff Pieter, "Identificarea sistemelor", Editura tehnică, Bucureşti 1977.
48. Ferguson J. Michael, Matoy E. Patrick, "Automatic Frequency Control via Digital Filtering", IEEE Transactions on Audio and Electroacustics, vol.Au 16, Nr.3, sept.1968,p.392-397.
49. Frankel P., s.a. "A Computerized System for ECG Monitoring", Computers and Biomedical Research 8, 1975, p.560-567.
50. Geddes L.A., Baker L.E., "Principles of applied biomedical Instrumentation", Second Edition. Wiley-Interscience, 1975.
51. Gersch-Will ,s.a."IVC Detection by the Heart-Beat Interval Data - Markov Chain Approach", Computers and Biomedical Research 8, 1975, p.370-378.
52. Geselowitz D.B., "Comments on Threshold Se-iz Current Required for Ventricular Fibrillations in

Subjects of Various Body Weights", IEEE Transactions on Biomedical Engineering, november 1974, p.493-494.

53. Gheorghiu Tr., s.a., "Introducere în biofizică", Editura științifică, București, 1967.
54. Gîrlăsu Stefan, "Prelucrarea în timp real a semnalelor fizice", Scrisul Românesc, Craiova 1978,
55. Golden M.Roger, "Digital Filter Synthesis by Sampled-Data Transformation", IEEE Transactions on Audio and Electroacoustics, vol.Au 16, Nr.3, sept.1968, p.321-329.
56. Golden M. Roger, White A.Stanley, "A holding Technique to Reduce Number of Bits in Digital Transfer Functions", IEEE Transactions on Audio and Electroacoustics, vol.Au-16, Nr.3, sept.1968, p.433-436.
57. Goovaerts H.G, s.a., "A Digital QRS Detector Based on the Principle of Contour Limiting", IEEE Transactions on Biomedical Engineering, march 1976, p.154-160.
58. Grant E. Michael and Hanson S. John, "A Totally Computerized Cardiac Pacemaker Surveillance Systems", Computers and Biomedical Research 8, 1975, p.580-589.
59. Gustafson D., g.a., "A prototype System for Automated Interpretation of Vectorcardiograms", WP 25-4, p.776-781.
60. Gustafson D. g.a., "ECG/VCG Rhythm Diagnosis Using Statistical Signal Analysis", IEEE Transactions on Biomedical Engineering, iuly 1978, p.344-352.
61. Haisty W.K.s.a., "Discriminant Function Analysis of RR Intervals: An Algorithm for on Line Arrhythmia Diagnosis", Computers and Biome-

- dical Research 5, 1972, p.247-255.
62. Hambley A.R., s.a., "The Use of Intrinsic Components in an ECG Filter", IEEE Transactions on Biomedical Engineering, November 1974, p.469-473.
63. Hatch D.J. and Raber M.B., "Grounding and Safety", IEEE Transactions on Biomedical Engineering, January 1975, p.62-65.
64. Haywood Julian L., s.a., "On-Line Real Time Computer Algorithm for Monitoring the ECG Waveform", Computers and Biomedical Research 3, 1970, p.15-25.
65. Heinrich U., "Cardalarm S., S1 et S2. Appareils de surveillance cardiaque avec ordinateur d'arythmie", Electromedica Nr.3/1973, p.134-137.
66. Helms D.Howard , "Nonrecursive Digital Filters: Design Methods for Achieving Specifications on Frequency Response", IEEE Transactions on Audio and Electroacoustics, vol.Au-16, Nr.3, sept.1968, p.336-342.
67. Henke G., "Telemetric de l'electrocardiogramme au Sport", Electromedica , 3/1972, p.100.
68. Hoeschel F. David, "Analog-to-Digital/Digital-to-Analog Conversion Techniques", New York, 1968.
69. Holsinger William,"A QRS Preprocessor Based in Digital Differentiation", IEEE Transaction on Biomedical Engineering Nr.2, 1971, p.212-217.
70. Hoopen M.T."The Effect of Measurement Errors on Correlation Estimates in Interval Sequences", IEEE Transactions on Biomedical Engineering, sept.1975, p.451-454.
71. Horacek B.M., "Correlation of activation data with electrocardiograms", Symposium Data Processing in Electrocardiology, Helsinki,

- 1976, p.103-108.
72. Huhta C. James and Webster G.John,"60 Hz. Interference in Electrocardiography", IEEE Transactions on Biomedical Engineering, Nr.2, 1973, p.91 - 101.
73. Jackson B. Leland,"An approach to the Implementation of Digital Filters", IEEE Transactions on Radio and Electroacoustics, vol. Au-16, Nr.3, sept.1968, p.413-421.
74. Jazwinski A."Stochastic Processes and Filtering Theory", Academic Press, New York, 1970.
75. Johnson A.T."Analog Sample/Hold Circuit for Physiological Signal Monitoring", IEEE Transactions on Biomedical Engineering, sept. 1975, p.420-423.
76. Jokinen Y., s.a., "Design principles of the System for automated ECG analysis in the area of Kuopio University Hospital", Symposium Data Processing in Electrocardiology, Helsinki, 1976, p.83-92.
77. Kirmaier N., s.a."Histogramm zur automatischen Analyse der Herzrhythmik", Elektronik, Januar 1978, p.61-65.
78. Klee George, s.a.,"Computer Detection of Distortion in Arterial Pressure Signals", IEEE Transactions on Biomedical Engineering, January 1974, p.73-75.
79. Koch R.,"Une nouvelle méthode de l'analyse de la forme et de l'enregistrement automatique des arythmies d'electrocardiogrammes de longue durée," Electromedica , Nr.4/ 1972, p.120-124.
80. Kooi Vander K.Marwin, Cleveland George,"Micropower Circuits using the LM 4250 programmable OP Amp", National Semiconductor Corp,

Linear Applications, AN '71 July 1972.

81. Kooi Vander K. Marvin, "Predicting OP AMP Slew Rate Limited Response", National Semiconductor Corp, Linear Applications, LB 19, August 1972.
82. Krestel E. Par, "La sécurité des appareils électroniques médicaux". Electromedica Nr.3/1973, p.120-125.
83. Kuhrt K, "Electronique et informatique en technique médicale", Electromedica, Nr.1/1973, p.1-12.
84. Lee Y.Tak, "An amplitude - Modulation Model for the QRS Complexes of Electrocardiograms", IEEE Transactions on Biomedical Engineering, September 1974, p.381-386.
85. Macfarlane W.Peter, "ECG Waveform identification by digital computer", Cardiovascular Research, 1971, 5, p.141-146.
86. Macfarlane W.Peter, s.a., "A Basis for computer Interpretation of Serial Electrocardiograms", Computers and Biomedical Research 8, 1975, p.189-200.
87. Mansourian P., "Recording the cardiac interbeat interval distribution", Bul. WHO Geneva 1974.
88. Marghescu I., Bădescu Gh., "Transmiterea discretă a semnalelor", Editura tehnică, Bucureşti 1978.
89. Martin R.Albert, "Apeak Amplitude Selector for Electrophysiological Data Analysis", IEEE Transactions on Biomedical Engineering, Nr.2, 1969, p.152-159.
90. Mason L. Richard, "An Automatic Zeraing Circuit", IEEE Transaction on Biomedical Engineering, september 1975, p.427-428.
91. Mateescu A.D., "Analiza și sinteza circuitelor electронice", Editura didactică și pedagogică, Bucureşti 1975.

92. Manser R., "Hybrid-Rechner zur Analyse Cardialer Arrhythmien", Elektronik, Heft 7, 1975, p.61-64.
93. Manser R., "MeBeinrichtung zur His.Bündel-Analyse am Herzen", Elektronik, Heft 12, 1977, p.51-54.
94. Maxwell John, "The Low Noise JFET - The Noise Problem Solver", National Semiconductor Corp, Linear Applications, AN 151, January 1976.
95. Mihoc Gheorghe, Craiu Virgil, "Tratat de statistică matematică. Selectie și estimatie", Editura academiei, București, 1976.
96. Mihoc Gheorghe, Craiu Virgil, "Tratat de statistică matematică. Verificarea ipotezelor statistice", Editura Academiei București, 1977..
97. Miyahara Hideo, s.a., "Cardiac Arrhythmia Diagnosis by Digital Computer", Computers and Biomedical Research 1, 1968, p.277-300..
98. Mylrea K.C. and Sivertson S.E., "Biomedical Engineering in Health Care - Potential Versus Reality", IEEE Transactions on Biomedical Engineering, march 1975, p.114-119.
99. Nagle Troy Hubert, Caroll C.Chester, "Organizing a Special-Purpose Computer to Realize Digital Filters for Sampled- Data Systems", IEEE Transactions on Audio and Electroacoustics vol.Au-16, Nr.3, sept.1968, p.398-412.
100. Nestianu V. s.a., "Electronica în medicină", Editura tehnica, București 1964.
101. Nowak J., David, Schmid E. Pierre, "A Nonrecursive Digital Filter for Data Transmission ",

- IEEE Transactions on Audio and Electroacoustics vol.Au -16, Nr.3, sept.1968,  
p.343-349.
102. Nicolau C., Simion Z., "Biofizica moleculară", Editura științifică, București 1968.
103. Orr W.C. and Hoffman H.J.", A 90 - Min Cardiac Biorhythm: Methodology and Data Analysis Using Modified Periodograms and Complex Demodulation", IEEE Transactions on Biomedical Engineering, March 1974, p.130-143.
104. Otnes K. Robert, "An Elementary Design Procedure for Digital Filters", IEEE Transactions on Audio and Electroacoustics vol.Au-16, Nr.3, sept.1968, p.330-335.
105. Papadopol S., "Contribuții la proiectarea unei instalații de monitorizare informațională a unor parametri biologici ai sistemului circular și respirator, inclusiv teleprelucrarea informațiilor", Rezumatul tezei de doctorat, Institutul Politehnic București, 1978.
106. Pipberger H., s.a., "Clinical Application of a Second Generation Electrocardiographic Computer Program", The American Journal of Cardiology, volume 35, may 1975, p.597-608.
107. Pop Eugen, Stoica Vasile, "Principii și metode de măsurare numerică", Editura Facla, Timișoara 1977.
108. Pryor T.Ailon, "A note on Filtering Electrocardiograms", Computers and Biomedical Research 4, 1971, p.542-547.
109. Pyöräläk., s.a. "Comparison of Minnesota code classi-

fication and computer analysis of the ECG in Gävle population study", Symposium Data Processing in Electrocardiology, Helsinki 1976, p.39-52.

110. Rader C.M., "On digital Filtering", IEEE Transactions on Audio and Electroacoustics, vol.Au 16, Nr.3, sept.1968, p.303 - 314.
111. Randall R.B., Tech B., "Application of B& K Equipment to Frequency Analysis", Brüel & Kjaer, sept.1977.
112. Riedl H., "Problèmes de l'interpretation automatique de l'ECG", Electromedica, Nr.2/1968, p.50-51.
113. Ruch C. Theodore, Fulton F.John, "Fiziologie medicală și biofizică", Editura medicală, București 1963.
114. Sass D.J., "Time, Date, and Event Code Generator to Identify Physiologic Events Simultaneously Recorded on Magnetic Tape and Oscillographic", IEEE Transactions on Biomedical Engineering, Sept. 1977, p.425-429.
115. Schmid H., "Electronic Analog Digital Conversion", New York 1970.
116. Schwartz Mischa and Shaw Leonard, "Signal Processing. Discrete Spectral Analysis, Detection, and Estimation", Mc GRAW-HILL, New York, 1976.
117. Sheppard C.Louis, s.a., "The Digital Computer in Surgical Intensive Care Automation", Computer, Iulie 1973, p.29-34.
118. Sheppard J., "Some performance characteristics of commercially available ECG transmission systems",

- Symposium Data Processing in Electrocardiology, Helsinki 1976, p.11-15.
119. Simoons M.L., s.a., "On -Line Processing of Orthogonal Exercise Electrocardiograms", Computers and Biomedical Research 8, 1975, p.105-117.
120. Stallmann W.Friedeman and Pipberger U.Hubert, "Automatic Recognition of Electrocardiographic Waves by Digital Computer", Circulation Research, vol.IX, nov.1961, p.1138-1143.
121. Strong Peter, "Biophysical Measurements", Tektronix, 1970.
122. Swenne C.A. and Duisterhont J.S."An interactive computhized coronary Care monitoring System", Symposium Data Processing in Electrocadiology, Helsinki 1976,p.17-20.
123. Swenne C.A., "A computhized Interactive Coronary Care Unit Monitoring System", IEEE Transactions on Biomedical Engineering, Jan. 1977, p.63-67.
124. Talman J.L., "A modular approach to ECG/VCG processing", Symposium Data Processing in Electrocadiology, Helsinki 1976, p.60-66.
- 125.Taylor K.D., "An FM Telemetry Demodulator for Telephone Pacemaker Clinics", IEEE Transactions on Biomedical Engineering , Jan.1973, p.87-90.
126. Valenzuela W.R., and Donald J.S., "Pattern Recognition Applied to Monitoring Wave forms", IEEE Transactions ou Biomedical Engineering, Jan. 1975, p-18-24.
127. Vlaicu R., Dudea C., "Propedeutica bolilor cardio-vasculare", Editura medicală Bucureşti 1976.

128. Voinea R., Nicu N., "Contribuții românești în bioinginerie și biotehnologie", Lucrările Simpozionului: Contribuții în dezvoltarea aparatului electronice medicale", Inst.Pol. "Traian Vuia", Timișoara 1978, p.11-22.
129. Weaver S.Charles, s.a., "Digital Filtering with Applications to Electrocardiogram Proccessing, IEEE Transactions on Audio and Electroacoustics, sept.1968, p.350-391.
130. Weiss H.George and Fischmann J.Eugene, "Effect of Surface Electrode Number on Estimates of Cardiac Dipole Moment", IEEE Transactions on Biomedical Engineering, Nr.1, 1970, p.58-64.
131. Weisz T. and Lee H.C., "A controlled Filter for Bio-Electric Potentials", IEEE Transactions on Biomedical Engineering, march 1978, p.199-201.
132. Whiteman R.John, s.a., "Automation of Electrocardiographic Diagnostic Criteria", Jama, June 12, 1967, p.932-938.
133. Zăgoreanu Ioan, "Electrocardiografie clinică", Editura Dacia, Cluj-Napoca 1976.
134. Zywietsz Chr., "Computer analysis of the ECG as part of a hospital information system", Symposium Data Processing in Electrocardiology, Helsinki 1976, p.53-59.